

В.И.ГУГУШВИЛИ

ПОСТВУЛКАНИЧЕСКИЙ
ПРОЦЕСС
В ДРЕВНИХ ОСТРОВНЫХ
ДУГАХ И ИНТРАДУГОВЫХ
РИФТАХ

* МЕЦНИЕРЕБА *

1980

საქართველოს სსრ მთხოვნებათა აკადემია
ადამ. პ. ჯანილიძის სახ. გოლოგიშვილი ინსტიტუტი
შრომები, აზალი სერია, ნუვ. 68

3. გუგულვილი

პოსტვერცენი პერიოდი და სასაჩვევლო ნაბახვის
სტატიურის ფრაგმენები ინფრასტრუქტურულ პროცესების
და კუნძულობა აუდეგი

(კავკასიის აჭარა-თანამდებოւს ზონის მაგარიზე)

გამომცემლობა „მთხოვნება“
თბილისი
1980

АКАДЕМИЯ НАУК ГРУЗИНСКОЙ ССР
ГЕОЛОГИЧЕСКИЙ ИНСТИТУТ им. А. И. ДЖАНЕЛИДЗЕ
Труды, новая серия, вып. 68

В. И. ГУГУШВИЛИ

**ПОСТВУЛКАНИЧЕСКИЙ ПРОЦЕСС И
ФОРМИРОВАНИЕ МЕСТОРОЖДЕНИЙ
ПОЛЕЗНЫХ ИСКОПАЕМЫХ В ДРЕВНИХ
ОСТРОВНЫХ ДУГАХ И ИНТРАДУГОВЫХ
РИФТАХ**

(НА ПРИМЕРЕ АДЖАРО-ТРИАЛЕТСКОЙ ЗОНЫ КАВКАЗА)

ИЗДАТЕЛЬСТВО «МЕЦНИЕРЕБА»
ТБИЛИСИ
1980

553 (C4I)
ББК12 26.325(2Г)

УДК 553 (47.922) Г 933

Вследствие изучения поствулканических процессов в древней островодужной андезитовой серии и в рифтогенной - толеит-щелочнобазальтовой была установлена информативность поствулканических метасоматитов как образований, отражающих геодинамические обстановки их формирования; определены генетические взаимоотношения различных метасоматических и рудных формаций в условиях единой гидротермальной системы на примерах Аджаро-Триалетской зоны и других регионов. Выявлены закономерности вертикальной метасоматической зональности в фоновых пропилитах толеит-щелочнобазальтовой серии и причины отсутствия таковой в андезитовых толщах. Ведущая роль в этом отведена тепловому режиму в различных геодинамических обстановках. Установлены: сходство поствулканических преобразований в интраподгенных и океанических рифтах; зависимость метаморфизма и метасоматоза от глубинности мантийного диапиризма и тепловых режимов; взаимоотношения метаморфизма средиземно-океанических хребтов а также регионального метаморфизма активных континентальных окраин и магматизма; петрогенетическая сущность различия между постмагматическим метасоматозом и домагматическим метаморфизмом.

Редактор М.А.Беридзе

Г — 20801
М 607(06)-80 20-80

© Издательство
"Мецниреба", 1980

В В Е Д Е Н И Е

Поствулканические процессы—обязательные спутники вулканизма. Их продукты — метасоматиты и руды — очень широко распространены в земной коре. Имея огромное экономическое значение, они давно стали предметом кропотливого исследования геологов, петрологов, минералогов и геохимиков.

В вулканических толщах Аджаро-Триалетии поствулканический процесс проявился во всем многообразии. Наиболее широкое распространение имеют пропилиты, вторичные кварциты и аргиллиты. С основными среднекремнистыми интрузивными телами связаны внутриинтрузивные и приконтактовые преобразования, выраженные в пропилитизации, полевошпатово-серпентитовом метасоматозе, грейзенизации, скарнообразовании и аргиллитизации. С отмеченными метасоматическими формациями генетически связано медно-полиметаллическое, серноколчеданное и магнетитовое рудообразование, имеются касситерит-молибденитовые проявления. Важную роль играют также нерудные бентонитовые и агат-халцедоновые месторождения.

Как показали исследования последнего десятилетия в области петрологии, геодинамическое развитие земной коры четко отражено в характере и направленности вулканической и интрузивной деятельности. Именно вулканализм и интрузивный магматизм наиболее информативны для расшифровки геодинамических режимов различных областей земной коры. Определенные успехи были достигнуты в выявлении зависимости регионального метаморфизма с развитием активных континентальных окраин (Miyashiro, 1961; Миасиро, 1976), а также в определении роли геодинамических режимов в процессе рудообразования (Силлитэ, 1974; Соукинс, 1974 и др.). На этом фоне естественно возникла проблема зависимости поствулканического метасоматоза от геодинамических режимов и обстановок, и для этой цели соответствующим объектом оказалась Аджаро-Триалетская складчатая зона, которая в процессе развития претерпела воздействие различных геодинамических режимов, что определило сложный характер вулканической деятельности в этом регионе. Детальное изучение поствулканических метасоматитов, развитых по меловым и палеогеновым вулканическим толщам Аджаро-Триалетии позволило заключить, что различные геодинамические обстановки отражаются на характере и направленности гидротермальной деятельности. Последняя так же, как и магматизм, может служить индикатором геодинамического режима. Эта особенность четко выражена в характере пропилитизации и сопряженными с нею процессами. В предлагаемой работе, на примере Аджаро-Триалетии мы попытаемся показать специфику пропилитизации в интрагубовых рифтах и островодужных областях и сопоставить ее с данными по пропилитизации в других регионах в аналогичной геодинамической обстановке. В работе с петrogenетических позиций сопоставляются пропилиты, метаморфиты океанического дна и региональные метаморфиты, на основании геодинамических режимов их формирования; уста-

новлены их взаимоотношения с магматизмом и вулканической деятельностью. Определены генетические взаимоотношения пропилитизации с сопряженными гидротермальными метасоматическими процессами и выявлена сущность этих взаимоотношений. Изучена гидротермальная минерализация пустот, сопряженная с пропилитизацией, выявлены ее генетические взаимоотношения с фоновым процессом. Определены основные петрогенетические факторы пропилитизации.

Исследован характер вертикальной метасоматической зональности пропилитизации в интрагородовых рифтах и в островодужных зонах. Выявлены петрогенетические, физико-химические и геодинамические факторы, определяющие зональность. Детально изучена петрохимия процесса на основании привноса-выноса основных петрогенных элементов.

Как уже отмечалось, помимо пропилитов в Аджаро-Триалетской складчатой зоне широко распространены и другие метасоматические преобразования: вторичные кварциты, полевошпатово-серпентитовые метасоматиты, аргиллиты и др. С ними связаны серноколчеданные и медно-полиметаллические оруденения. В работе предпринята попытка выявить петрогенетические и физико-химические закономерности формирования этих пород и руд, выяснить их генетические взаимоотношения. Поставлена задача определения зависимости направленности гидротермального процесса от геодинамического режима и характера магматической деятельности.

В процессе работы над поставленной проблемой постоянно, в продолжение долгих лет, оказывал помощь академик Г.С.Дзоценидзе и мне хочется почтить его память глубокой благодарностью.

Трудно переоценить соучастие и полезные советы на завершающем фоне работы Н.С.Схицладзе. Очень большое значение имело обсуждение широкого круга вопросов геологии и геодинамического развития региона с Ш.А.Адамиа. Основные положения работы неоднократно обсуждались с В.П.Логиновым, В.Г.Гогишвили, И.П.Щербанем и В.Л.Русиновым. Автор считает своим долгом выразить всем им свою искреннюю признательность .

I. ГЕОЛОГИЧЕСКОЕ СТРОЕНИЕ, ГЕОДИНАМИЧЕСКОЕ РАЗВИТИЕ АДЖАРО-ТРИАЛЕТСКОЙ СКЛАДЧАТОЙ ЗОНЫ И ВУЛКАНИЗМ В ЕЕ ПРЕДЕЛАХ

Аджаро-Триалетская складчатая зона является северо-западной частью Малого Кавказа. Она расположена на юге Грузии и распространена от берегов Черного моря до г.Тбилиси. Восточнее Тбилиси ее складки постепенно затухают и сливаются со структурами Закавказского срединного массива. С севера зона ограничена Грузинской, а с юга Артвино-Болниской глыбой (см.рис.1).

Протяженность зоны 300 км, ширина 70-40 км. Она сложена в основном мел-палеогеновыми вулканическими образованиями. Подчиненную роль играют верхнеэоцен-неогеновые терригенные осадки и меловые карбонатные отложения.

Аджаро-Триалетская складчатая зона издавна привлекала внимание геологов. Геологическое строение ее различных районов описано в работах Б.Ф.Мефферта (1923, 1933), С.С.Кузнецова (1937), И.В.Качарава (1961) и многих других. Однако описание геологического строения Аджаро-Триалетии в целом, основанное на оригинальном исследовании и обобщении материала предшествующих авторов, произведено П.Д.Гамкрелидзе (1949). По его данным, Аджаро-Триалетский трог зародился в аlte на Закавказском срединном массиве, развиваясь в геосинклинальную структуру и в мио-пиоцене сформировался в складчатую зону. Им были выявлены глубинные разломы, вдоль которых произошло формирование трога, а также целый ряд региональных дислокативных и пликативных структур субширотного простириания. П.Д.Гамкрелидзе (1949) произвел первое дробное стратиграфическое расчленение палеогеновой вулканической толщи в Аджаро-Триалетской зоне.

70-ые годы ознаменовались привлечением идей новой глобальной тектоники к изучению геологического строения и геодинамического развития Кавказа в целом и Аджаро-Триалетской зоны в частности. Новая концепция постпалеозойского геологического строения Кавказа и геодинамического развития Аджаро-Триалетской складчатой зоны отражены в работах Ш.А.Адамия с соавторами (1974, 1974₁, 1977, 1977₁), И.П.Гамкрелидзе (1976), Г.С.Закариадзе и М.Б.Лордкипанидзе (1975). С юры до верхнего мела Кавказ рассматривается ими как активная континентальная окраина островодужного типа по отношению к Анатолийско-Малокавказскому океаническому бассейну. В связи с замыканием последнего, обусловленного поддвиганием Афро-Аравийской плиты под Восточноевропейскую, Кавказ перешел на постколоизационную раннеорогенную стадию развития.

Аджаро-Триалетский трог был заложен в мелу (в конце алта) на Закавказском сиалическом блоке (бывшей основной дуге) и до конца мела развивался, как и другие части Кавказского раннеорогенного бассейна, с характерной для этой обстановки, в основном, сиалическим вулканализмом базальт-андезит-риолитового состава.

С раннего палеогена начинается интенсивное растяжение Аджаро-Триалетского трога. Оно выразилось в формировании турбидитов (палеоцен-нижнеэоценовый флиш), за которыми последовал интенсивный базальтовый вулканализм, завершившийся формированием базальт-деленитовой бимодальной серии пород. Наиболее интенсивное растяжение трога произошло в среднем эоцене. Оно определило мощный толеит-базальтовый вулканализм в западной и центральной Аджаро-Триалетии и формирование "безграничной" центральной части Черноморской впадины. Латеральная зональность, установленная в среднеэоценовой толще Г.С.Закариадзе и М.Б.Лордкипанидзе (1975) и выраженная центральной толеитовой зоной с внешними щелочно-базальтовыми зонами, позволила рассматривать среднеэоценовый Аджаро-Триалетский трог, вместе с центральной "безгранитной" зоной Черного

моря, как рифтогенную структуру, относящуюся к типу интрагорловых рифтов (см. рис.2). Тогда как западная и центральная части Аджаро-Триалетского трога в среднем эоцене преобразовалась в типично рифтовую структуру с характерным для нее толеит-базальтовым вулканизмом, ее восточное окончание оставалось на островодужной стадии развития, выраженной андезитовой вулканической деятельностью. Следовательно, с запада на восток происходит постепенное ослабление рифтинга. Соответственно, М.Б.Лордкипанидзе по признаку интенсивности рифтинга подразделяет Аджаро-Триалетскую зону на три сегмента: западный с толеитовыми вулканами в центральной зоне и щелочными базальтами в периферических, центральный, состоящий лишь из базальтовых вулканитов, и восточный, характеризующийся андезитовым вулканизмом островодужного типа.

С верхнего эоцена по всей зоне рифтинг прекращается, трог испытывает складчатость, после чего он продолжает свое орогенное развитие с характерной для этой обстановки, андезит-шамонитовой вулканической деятельностью (Закариадзе, Лордкипанидзе, 1975).

Вулканическая активность в Аджаро-Триалетии известна с верхнего мела, однако меловой вулканизм здесь значительно слабее палеогенового. Обнажения меловых вулканитов имеются в основном в восточной части зоны в пределах Триалетского хребта (географическое районирование Аджаро-Триалетии показано на рис. 1). Меловые вулканические породы слагают ядра антиклинальных структур и в пределах зоны являются наиболее древними отложениями. Возраст меловой вулканической толщи альт-нижний турон. Максимальная мощность пород в естественных обнажениях порядка 1000 м. Лишь в северной части хребта, в окрестностях с.Хведурети, по данным бурения, мощность толщи достигает 1900 м (И.Гамкрелидзе, 1976). Меловая вулканическая толща сложена дифференцированной серией от базальта через базальтовые андезиты до дацитов и риолитов. По данным М.Б.Лордкипанидзе основные породы альтско-альбского возраста, по своим петрохимическим свойствам соответствуют островодужным толеитам. За меловой вулканической толщей следует турон-датская известковая свита, мощность которой на разных участках колеблется от 300 до 1000 м. Выше залегает палеогеновая флишевая и вулканическая толщи.

Палеогеновая вулканическая деятельность по всей Аджаро-Триалетии началась отнюдь не одновременно и интенсивность ее весьма неравномерна. В западной части трога вулканизм начался значительно раньше и длился гораздо дольше. По данным М.Б.Лордкипанидзе (1977), в западном и центральном сегментах зоны палеогеновая толща состоит из трех комплексов: нижнего, среднего и верхнего. Нижний базальтовый комплекс сформирован на первой стадии растяжения трога и представлен, в основном, лавами и массивной вулканокластикой слабощелочных и толеитовых роговообманковых и оливиновых базальтов. Мощность комплекса 1000 - 2000 м. Средний комплекс (мощность порядка 1000 м) очевидно формировался в период ослабления интенсивности растяжения и представлен дифференцированной

серий пород – базальт–трахиандезит–делленит. Верхний базальт–толентовый комплекс (мощность 4000 м) сформирован в условиях максимального растяжения и в западном сегменте характеризуется очень четкой латеральной петрохимической и геохимической зональностью: южная зона состоит из субшелочных базальтов, центральная – низкокалиевые роговообманковых толентов, северная – высококалиевые щелочные базальты. Во всех трех зонах базальты составляют 85–90% всей массы пород. Восточнее в центральном сегменте выклинивается толентовая зона, и комплекс сложен базальтовыми лавами и пирокластикой. Уменьшается мощность пород и интенсивность вулканической деятельности. В восточном сегменте зона испытала наименьшее растяжение, она характеризуется андезитовой вулканической активностью. Еще более сокращается мощность палеогеновой толщи и за пределами г. Тбилиси она и вовсе выклинивается, замещаясь терригенимыми осадками.

Верхнеэоценовая вулканическая толща в западной части Аджаро–Триалетской зоны занимает относительно небольшую площадь. Она сформирована в наземно–мелководных условиях. М.Б.Лордкипанидзе и Г.С.Закариадзе (1974) относят ее к калиевой шошонитовой серии. В составе толщи преобладают породы средней кислотности – шошониты, трахиандезиты и высоко–калиевые роговообманковые андезиты. Судя по условиям и характеру вулканализма с верхнего эоценена происходит полное вырождение рифта, и Аджаро–Триалетская зона продолжает свое орогенное развитие.

В силу того, что в палеогене Аджаро–Триалетский трог на различных участках развивался по–разному, наблюдается дифференциальное ослабление рифтинга с запада на восток, соответственно изменяется и характер вулканической деятельности. Поэтому с запада на восток меняется состав и строение вулканических комплексов, слагающих вулканическую толщу, и они подразделяются на разные свиты. В западной Аджаро–Триалетии нижний базальтовый комплекс представлен перангской свитой, которая состоит из лав и вулканокластики роговообманковых и оливиновых базальтов, к востоку она редуцируется и, начиная с Месхетии, латерально переходит в флишевую толщу (нижняя часть) и в слоистую тuffогенную свиту, по составу аналогичную перангской, известную под названием ликанской. Возраст ликанской свиты – низы среднего эоценена.

Средний дифференцированный комплекс представлен нагваревской свитой, которая продолжается вплоть до восточной части Триалетского хребта и далее замещается андезитовой грубослоистой толщей. В районе Месхетии нагваревская свита состоит преимущественно из лав, и здесь М.Г.Татишвили (1974) выделил ее под названием – Квабисхевской.

Верхний базальтовый комплекс слагается чидильской свитой, подобно другим утоняющейся в восточном направлении. Свита массивная и сложена базальтовыми лавами и грубообломочной вулканокластикой. В восточной Триалетии она вырождается в грубослоистую андезитовую свиту, которая в верхней части становится тонкослоистой.

Верхнеэоценовая вулканическая толща расположена в западной части зоны - в Аджарии, Месхетии и Гурии. В Аджарии и Месхетии она подразделяется на две свиты - адигенскую и нададигенскую. Обе - андезит-шомонитового состава и отличаются друг от друга по текстурно-структурному признаку. В отличие от адигенской, нададигенская свита характеризуется грубослоистым строением и большей мощностью (2000 м), тогда как мощность адигенской свиты 500 м. В Гурии верхнеэоценовые вулканиты являются составной частью зенобанской вулканогенно-терригенной свиты. Они представлены трахандезитовыми и трахитовыми туфами, мощность которых не превышает 450 м. Верхнеэоценовая толща в целом занимает относительно небольшую площадь и выклинивается в верхнеэоценовые терригенные осадки.

Стратиграфическое расчленение палеогеновой вулканической толщи произведено Ш.А.Адамия, М.Б.Лордкипанидзе, Н.Ш.Салуквадзе в Аджарии, И.В.Качарава, Н.И.Мрвелишвили, М.Г.Татишвили и Р.Л.Шубладзе в Месхетии, З.Д.Вольским, И.П.Гамкрелидзе и Г.Ш.Надарейшвили в Гурии и Имеретии, Г.А.Микадзе и Д.Ю.Папава в районе Триалетского хребта (см.табл. I).

Палеогеновую вулканическую толщу прорывает множество интрузивных тел разного размера. Все эти тела либо среднекремнекислого диоритового и сиенит-диоритового, либо основного габбродиабазового и габбро-монцонитового состава. Первые на основании кали-argonового определения абсолютного возраста датируются верхним эоценом (в среднем 34-36 млн. лет). Вторые средним эоценом - 41-42 млн. лет (Рубинштейн и др., 1973). Среднеэоценовые интрузивы по петрохимической природе и минеральному составу аналогичны породам верхнеэоценовой вулканической толще, основные - среднеэоценовой. Следовательно, первые являются комагматами верхнеэоценового андезит-шомонитового вулканизма, вторые среднеэоценового толеит-базальтового. Комагматическую природу Аджаро-Триалетских интрузивных тел с вмещающей палеогеновой толщей впервые выявили Г.С.Дзоценидзе (1949). Позднее Г.С.Закариадзе и М.Б.Лордкипанидзе (1973) на богатом материале подтвердили это предположение. Большинство интрузивных тел, исходя из их поликристаллической структуры и высокотемпературного приконтактового изменения - роговики, грязиены, полевошпатовые метасоматиты, вероятно, формировались на завершающей стадии среднеэоценового вулканизма - габбродиабазовые и габбро-монцонитовые тела и верхнеэоценового вулканизма - диоритовые и сиенит-диоритовые.

Таблица I

Общая стратиграфическая схема палеогеновых вулканических образований
Аларо-Гризелетти

Возраст свит	Алария /свиты/	Месхетия /свиты/	Имеретия /свиты/	Гурия /свиты/	Зап. Гризелетти ^X Борисовский р-н /свиты/
Олигоцен (?) Верх. зонен	<u>Нападижен- ская</u> Аларгенская			Зенобанская Терригенные породы	Терригенные породы
	Чицильская	Дзвирская	Чицильская	Чицильская (Чапчегель- ская, Сагара- ройская, на- полхванская, туринская подсвиты)	Чицильская (по И.Л. Гамк- релидзе)
Cп. зонен					
	Нагваревская	Хадис- хевская	Нагварев- ская	Нагварев- ская	Грубообломочная перерасчленен- ная
			Ликанская	Ликанская	Ликанская
Нижний зонен- палеоцен	Перангская				

^X Расчленение палеогенного комплекса условное, так как он полностью сложен слоистыми породами, которые трудно разделять на свиты.

2. МЕТАСОМАТИЧЕСКИЕ И РУДНЫЕ ФОРМАЦИИ В АДЖАРО-ТРИАЛЕТСКОЙ СКЛАДЧАТОЙ ЗОНЕ

Меловая и палеогеновая вулканические толщи подвержены интенсивным поствулканическим и постмагматическим изменениям, что выразилось в образовании целого ряда метасоматических и рудных формаций. Здесь широко распространены пропилиты, вторичные кварциты, полевошпатово-серicitовые метасоматиты, грейзены, скарны, аргиллизиты. Имеются медно-полиметаллические, серноколчеданные, магнетитовые, молибденит-касситеритовые месторождения и рудопроявления. Кроме того, очень широко распространены амигдалоиды и гидротермальные жилы, формирование которых обусловлено отложением различных минералов в геологические пустоты из гидротермальных растворов.

Геологические пустоты - это трещины и поры, межшаровье пространства в шаровых лавах, межбломочные пространства в агломератах и т.п. Гидротермальный минерагенез пустот, естественно, происходит в иных физико-химических условиях, чем метасоматическое преобразование пород и характеризуется специфической минералогией.

Большинство из перечисленных метасоматических формаций характеризуется взаимоперходами и явлениями телескопирования, и мы вслед за Д.В.Рундквистом и И.Г.Павловой (1974) выделяем ту или иную ассоциацию пород в отдельную формацию, ориентируясь на ее внутренние зоны.

Распределение метасоматических формаций в Алжаро-Триалетской зоне показано на рис.3. Пропилиты пользуются региональным распространением. Вторичные кварциты занимают обширную площадь (50 км^2) и геометризируются в форме линзовидного тела в пропилитах. В приконтактовой зоне среднекремнистых тел, прорывающих трахиандезит-трахитовые и андезитовые вулканические толщи, развиты полевошпатовые и серicitовые метасоматиты и грейзены. Очень широко распространены аргиллизиты. Причем они встречаются в совершенно различных геологических и петrogenетических условиях. Они развиты в приконтактовых зонах малых интрузий, формируя внутренние зоны во вторичных кварцитах. Приурочены к зонам дробления в низкотемпературных пропилитах, замещают и телескопируют последние в самых верхах метасоматической колонки. Аргиллизиты телескопируют также полевошпатово-серicitовые метасоматиты и грейзены. Все перечисленные формации взаимосвязаны: прослеживается взаимосвязь между полевошпатово-серicitовыми метасоматитами и пропилитами, грейзенами и пропилитами, пропилитами и вторичными кварцитами. Четкие генетические и пространственные взаимоотношения наблюдаются между рудами и метасоматитами. Медно-полиметаллические руды тяготеют к серicitовым метасоматитам, серноколчеданные - ко вторичным кварцитам. Молибденит-касситеритовая минерализация тесно связана с грейзенами. Безрудны лишь региональные пропилиты. С экономической точки зрения интересны крупные залежи Асканских бентонитов, которые являются аргиллизитами, развитыми по трахитоидным туфам, а также агат-халцедоновая минерализация, генезис которой связан

с выполнением пустот.

3. ФОРМАЦИЯ ПРОПИЛИТОВ

В Аджаро-Триалетской складчатой зоне пропилитизация наиболее широко распространенное гидротермальное изменение. Она создает зелено-каменный фон как в палеогеновой, так и в меловой вулканических толщах. Пропилитизированы также интрузивные тела и их приконтактовые зоны.

Основная отличительная черта пропилитов от других метасоматических формаций - ее зеленокаменная минералогия. Зеленокаменный облик определяется минеральным составом пропилитов, которые в больших количествах содержат хлорит, эпидот, клиноцоизит, пренит, актинолит. Кроме того, в состав пропилитов входят альбит, цеолиты, кварц, карбонаты, серицит и пирит.

Пропилитизация в Аджаро-Триалетии по существу региональный процесс. Она распространена повсеместно. Однако не следует думать, что палеогеновая и меловая вулканические толщи полностью и равномерно пропилитизированы. Наоборот, пропилитизация, особенно ее высокотемпературные фации, развита крайне неравномерно. Интенсивно измененные участки тяготеют к районам вулканических центров и зонам дробления. Немаловажную роль играет и литологический фактор. Лавы, туфоловы и плотные туфы менее проницаемые для растворов и изменены слабее агломератовых и крупнообломочных туфобрекций. Имеются случаи, когда породы с благоприятным литологическим фактором изменены слабо. Встречаются участки совершенно не подверженные пропилитизации. Следовательно, исходя из вышесказанного пропилитизация в Аджаро-Триалетии процесс региональный лишь в том смысле, что он характерен для регионов в целом. Однако интенсивность процесса крайне неравномерна.

Для среднеэоценовой базальтоидной толщи характерна вертикальная метасоматическая зональность, тогда как в верхне- и среднеэоценовых андезитовых формациях она не наблюдается и пропилиты представлены низкотемпературными приповерхностными фациями.

3.1. Распространение пропилитизации в меловой и палеогеновой вулканических толщах Аджаро-Триалетии

Для четкого представления распространения и масштабов пропилитизации в вулканических толщах Аджаро-Триалетской зоны мы приводим материал по опорным разрезам различных участков зоны.

Опорные геологические разрезы составлены по профилям, наиболее полно отражающим как геологию определенного участка региона, так и петрографию изверженных и пропилитизированных пород. По каждому из них вычерчены геологические профили, на которых выражена стратиграфическая последовательность свит и характер пропилитизации. Для каждого разреза приводится краткое литологическое и петрографическое описание извержен-

ных пород. Опорные разрезы группируются по сегментам, отражающим геодинамическое развитие зоны, с целью иллюстрации влияния геодинамических режимов на развитие прошиллитизации.

В западном сегменте зоны опорные разрезы в палеогеновой вулканической толще составлены по ущельям рек Аджарисцхали, Нагваревисцхали, Схалты, Чаквисцхали и Кинтриши (Аджария); по ущ.р.Губазеули (Гурия). В центральном сегменте – по ущельям рек Кершавета (Имеретия), Абастумнисцхали, Цинубнисцхали и Уравели (Месхетия), по ущелью рек Куры и Гуджаретисцхали (Боржомский район), по ущельям притоков рек Храми-Хачков, Хабара, Хандрас и др. (Цалкский район), по ущелью реки Дзами (Карельский район). В восточном сегменте разрезы составлены по ущельям рек Дрис-Хеви, Тана и Тедзами. Характеристика пород и процессов изменения в меловых вулканитах приводится по опорным разрезам в ущельях рек Звартура и Дзами (центральный сегмент) и в ущелье реки Тедзами (восточный сегмент).

Опорные разрезы западного сегмента

Западный сегмент – зона наиболее интенсивного рифтинга в среднем зооцене. Среднеэоценовая вулканическая толща здесь обнажена полностью от самой нижней перангской свиты до чидильской включительно. В чидильской свите отмечена латеральная зональность с толеитами в центральной зоне и субщелочными и щелочными базальтами по периферии. Именно со становлением чидильской свиты связано максимальное растяжение трога. После замыкания рифта с верхнего зоцена зона продолжает островодужное развитие, выраженное в андезит-шошонитовой вулканической деятельности, вследствие чего здесь формируются адигенская и нададигенская свиты в Аджарии и Зенобанская свита в Гурии.

В Аджарии из-за неблагоприятных рельефных условий и сильной задернованности мы не имели возможности составить опорный разрез по одной линии, так что приводимые данные основаны на материалах разных разрезов и обобщены в сводной литологической колонке (см.рис.4) и сводном геологическом профиле (см.рис.5).

Наиболее древние вулканические породы обнажены в ядре Перангской антиклинали в ущ.р.Нагваревисцхали, известные под названием перангской свиты. Свита представлена лавами и лавовыми брекчиями пироксен-рогово-обманковых и оливиновых базальтов. Породы имеют мандельштейновую тексттуру. В целом эта свита прошиллитизирована относительно слабо, но основной массе базальтов развита хлоритизация, с участием эпидот-цизитовых масс, характерна интенсивная пиритизация; по шлагиоклазу в некоторых случаях развита пренитизация. В перангской свите наиболее интересны амигдалоиды. Поры выполнены в одних случаях относительно низкотемпературными баритобоями минеральными ассоциациями: цеолитом (ломонит), анальцитом, халцедоном и хлоритом, либо высокотемпературными актинолит

+ кварц, кварц + эпидот + хлорит и кварц + пренит + карбонат. Имеются амygдалоиды, состоящие из карбоната и кварца.

Породы вышележащей нагваревской свиты обнажены в уш.р.Кинтриши, в окрестностях с.Чахати, в ядре Чахатской антиклинали. Свита представлена дифференцированной серией пород: щелочной базальт-трахандезит-деленит. На этом участке она, в основном, состоит из пирокластики: слоистые туфы и туфобрекции, изредка лавовые брекции в нижней части, чередующиеся с известковыми слоями. Породы значительно изменены. Плагиоклаз, как правило, альбитизирован, часто замещен эпидотовыми массами. Иногда по плагиоклазу вместе с эпидотом образуется кварц (Т обр. 360°–380°C на основании данных декриптизации и гомогенизации, см.табл. 2). Пироксены замещены эпидот-хлоритовыми и хлоритовыми массами. Основная масса обломков пород замещена эпидотом и хлоритом, участками окварцована. Как по основной массе, так и по фенокристаллам наблюдается вкрапленность пирита.

Примечательно, что на участках, где чередуются вулканические и карбонатные породы, в пропилитизированных базальтоидах резко уменьшается роль эпидота, цоизита и пренита и преобладающее развитие имеет карбонат, ассоциирующийся с высокотемпературным кварцем и хлоритом. Мощность нагваревской свиты порядка 1100 м. В уш.р.Кинтриши за нагваревской свитой следует чидильская. Здесь она представлена в основном лавами, лавовыми брекциями и массивными туфобрекциями щелочных базальтов, с подчиненным участием андезитов. Чидильская свита на этом участке формирует северную зону щелочных базальтов, латеральной зональности, выявленной М.Б.Лордкипанидзе и Г.С.Закариадзе (1978). Низы свиты относительно слабо изменены. Плагиоклаз часто свеж и лишь слабо альбитизирован. Пироксен и оливин также большей частью не изменены и лишь в некоторых случаях замещены хлоритом. По основной массе развит хлорит, ассоциирующий с эпидот-цоизитовыми массами и кварцем. Стратиграфически выше картина несколько меняется – возрастают роль пирокластики и интенсивность изменения. Плагиоклаз и фемические минералы уже существенно изменены. Значительную роль начинает играть пренит, характерна преитализация по плагиоклазу и по основной массе. По-прежнему большая роль принадлежит хлориту, который замещает основную массу и фемические минералы. С возрастанием количества пренита уменьшается роль эпидота, последний лишь кое-где просвечивает в основной массе.

Так же, как в перангской свите, здесь очень интересны амygдалоиды. Крупные поры заполнены цеолитами (ломонтит, анальцим), карбонатом, хлоритом и халцедоном. Однако есть поры, заполненные актинолитом в ассоциации с высокотемпературным кварцем.

Другой разрез в чидильской свите составлен нами несколько ниже, в верховых р.Кинтриши. Свита здесь определено толеитового состава и представлена крупнообломочными брекциями и псевдитовыми туфами, кото-

Таблица I6

Полевошпатово-сернистые метасоматиты (Авария).

Оксиды	Исходные	Измененные						Ингредиенты					
		II	III	IV	V	VI	VII	Atomи	II	III	IV	V	VII
SiO ₂	54,00 2516	63,62 2504	72,12 1411	58,37 1428	66,82 2500	72,29 2508	71,31 2509	64,54 2514	Si Ti Al Fe Fe Ca MnO Mg Ca Na K P H п.п. сумма	+16,19 -0,14 -3,47 -2,92 -2,75 -0,32 -8,31 -14,07 -21,90 +9,02 +5,73 +0,48 -0,16 +0,97 -19,61 -3,74 -60,96	+22,03 -0,26 +9,09 -4,45 -9,07 -0,26 -11,43 -14,70 -8,09 +7,39 +6,96 +0,23 +0,34 +7,13 +2,22 -1,II -20,36 +27,74 -0,31 +5,86 -2,32 -3,73 -5,75 -0,18 -9,91 -2,78 -7,80 -0,32 -0,32 -10,95 -15,06 -23,26 +0,39 +0,14 +0,59 +12,75 -5,46 -15,52 +27,25 +38,53 -0,48 -9,91 -2,78 -7,91 -8,23 -0,32 -11,06 -14,21 -14,96 -10,40 +4,70 +0,19 -1,28 -11,20 -3,46 -39,03		
d _r	2,75	2,57	2,60	2,64	2,57	2,45	2,49						

I - трахигнейзант, верх зооцен, дигенская смыга, окр. с. Мериси, Ул. р.Лоднари,

II - кв-сер-пг (грн-ка-кл), III - кв-сер-пг, V - аб-кпп-кв-пг, (хл-сер), VI - кв-сер-пг, VII - кв-сер-пг, (грн), VIII - кв-сер-пг.

I - кальцит-альбитовая фация

II - сернистая фация

рые сечет крупное субвулканическое тело толеитового состава. По составу и расположению этот участок представляет центральную толеитовую зону вышеупомянутой латеральной зональности. Туфобрекции интенсивно пропилитизированы. По плагиоклазу формируется альбит, эпидот, иногда пренит. Основная масса замещена эпидотом, хлоритом, кварцем, карбонатом и пиритом. По пироксену и оливину развиты эпидот, карбонат и хлорит. Здесь, как и в нагваревской свите, в которой туфобрекции чередуются с известковыми слоями, вместо эпидота, формируется карбонат, ассоциирующийся с высокотемпературным кварцем.

Следующий разрез в Чидильской свите был сделан несколько южнее — по ущелью р. Чаквисцикали. Здесь свита состоит из роговообманковых и оливиновых субщелочных базальтов с подчиненным участием андезитов и отражает южную субщелочную зону и сложена массивными лавобрекциями и крупнообломочными туфобрекциями. В резко подчиненном количестве участуют пачки толстослоистых псевдитовых туфов. В самых низах свиты наблюдается слабая эпидотизация роговой обманки. В целом чидильская свита, мощность которой в ущ. р. Чаквисцикали порядка 1500 м, подвержена хлорит-альбитовой пропилитизации. Плагиоклаз альбитизирован и серicitизирован. Фемические минералы — оливин, роговая обманка и пироксен — замещены хлоритом. По основной массе развита хлоритизация, серicitизация, иногда карбонатизация. Характерна пиритизация породы.

Верхи чидильской свиты обнажены в ущ. р. Аджарисцикали, в окрестностях с. Цхмориси. Они подвержены значительной цеолитовой пропилитизации. Основная масса замещена ломонтитом, в то время как плагиоклаз альбитизирован. На фоне интенсивного изменения основной массы роговая обманка лишь слабо хлоритизирована. Наблюдается интенсивная пиритизация. По зонам дробления формируются аргиллизиты. Мощность аргиллитизированных зон 5–10 м. Аргиллитизация выражена каолинизацией, гидрослюдизацией и окварцеванием. Внутренние зоны аргиллизитов сложены гидрослюдой и серицитом с кварцем, к флангам преобладают каолинитовые массы. По аргиллизитам развита равномерная пиритовая вкрапленность.

Породы Адигенской верхнезоценовой свиты хорошо обнажены в ущ. р. Аджарисцикали, на участке от районного центра Кеда до с. Мацуцета. Адигенская свита сложена туфами андезитового и трахиандезитового состава. Превалируют роговообманковые андезиты. Свита в основном состоит из слоистых псаммитовых и псевдитовых туфов, редко встречаются туфобрекции и лавы. Пропилитизация имеет цеолитовую направленность. Именно на этом участке (окр. с. Кведа Агара) наблюдается чередование пропилитов трансильванского типа (по Коржинскому, 1961) с цеолитовыми пропилитами. Первые характеризуются совершенно свежим плагиоклазом при интенсивно хлоритизированной и карбонатизированной основной массе. В цеолитизированных же пропилитах плагиоклаз и основная масса замещены цеолитами (ломонтитом, томсонитом и натролитом), а хлоритизация играет значительно подчиненную

роль. Следует отметить, что для цеолитизированных туфов, даже для наиболее измененных разновидностей характерна свежесть роговой обманки и широксена.

Чередование цеолитовых и трансильванских пропилитов наблюдается также в окрестностях с. Цхмориси и Вайо. Как цеолитовые, так трансильванские пропилиты характеризуются значительной ширитизацией.

Мощность адыгской свиты на участке с. Цхмориси до с. Дологани (ущ. р. Аджарисцкали) порядка 500 м.

Самая верхняя нададигенская свита хорошо обнажена в ущелье р. Схалта и в верховых р. Аджарисцкали. По составу она аналогична адыгской и состоит из тех же роговообманных и субшелочных андезитов. Однако мощность ее достигает 2000 м и сложена она массивными и грубослоистыми, часто грубообломочными брекчиями и псевдитовыми туфами. Свита подвержена цеолитовой пропилитизации, аналогичной наблюдавшейся в адыгской свите, однако здесь не были обнаружены пропилиты трансильванского типа. В верхах нададигенской свиты резко возрастает роль аргиллитизации, которая приобретает фоновый характер. Аргиллиты в верхах свиты телескопируют пропилитизированные породы.

В Гурии, в ущелье р. Губазеули составленный нами опорный разрез наиболее четко отражает картину пропилитизации в западном сегменте. По схеме латеральной зональности этот район относится к северной-щелочной зоне. Стратиграфическая последовательность пород в этом разрезе, а также пространственные взаимоотношения зональности пропилитов показаны на рис. 4 (литологическая колонка II) и на геологическом профиле этого разреза (рис. 6).

Наиболее древние обнажения здесь породы нагваревской свиты, представленные слоистыми пестроцветными мелко- и среднеобломочными базальтовыми туфами. Мощность обнаженной части свиты не превышает 150 м.

Выше следует мощная чидильская свита, которую в Гурии Г. Ш. Надарейшили (1974) подразделил на целый ряд подсвит (см. рис. 6). Самая нижняя Гадрекильская подсвита имеет базальтовый и андезит-базальтовый состав, с преобладанием роговообманных базальтов и представлена чередованием мощных лавовых покровов и грубообломочных массивных брекчий. Мощность подсвity - 1800 м. За ней следует баумаройская подсвита, в отличие от массивной гадрекильской она имеет слоистый облик и сложена псевдитовыми туфами и туфобрекчиями базальтового состава, мощность свиты 400-500 м. Выше залегает напоцхварская подсвита, состоящая из массивных грубообломочных брекчий и лав лимбургитов, лимбургитовых трахибазальтов, оливиновых трахибазальтов, оливиновых базальтов и роговообманных базальтов. Туфобрекчии преобладают под лавами. Лавы, в основном, шаровые. Мощность подсвity порядка 1500 м. Самая верхняя подсвита чидильской свиты - гурийская (мощность 1000 м). Она состоит из чередования лав и пирокластолитов трахитового, трахиандезитового, трахибазальтового и базанитового состава, подчиненную роль играют лимбургиты и оливиновые базальты. Подсвита имеет ярковыраженный щелочной харак-

тер. Над чидильской свитой согласно залегает верхнеэоценовая зенобанская свита, которая коррелируется с адигенской свитой Аджарии. Ее нижняя часть состоит из вулканогенных разнообломочных брекчий-конгломератов трахитового и трахиандезитового состава, трахитовых туфов и туффитов, вулканомиктовых карбонатных брекчий и брекчий-конгломератов. Мощность вулканогенной части зенобанской свиты 350–450 м. Выше следуют терригенные верхнеэоценовые осадки.

Общая мощность палеогеновой вулканической толщи в разрезе по р. Губазеули порядка 5000 м. Здесь наиболее полно выражена вертикальная метасоматическая зональность пропилитизации, хорошо прослеживающаяся в едином разрезе.

В базальтовых туфах нагваревской свиты плагиоклаз альбитизирован и замещен эпидотовыми массами. Альбит большей частью свеж, изредка хлоритизирован. Основная масса изменена – замещена хлорит-эпидотовыми массами, альбитизирована, иногда окварцирована. Породы подвержены значительной пропилитизации. Эпидот-хлоритовое изменение хорошо выражено во всей гадрекильской подсвите. Значительно изменены и лавы и пирокластика. Массивный облик подсвиты, мощные покровы, чередующиеся с массивной грубообломочной пирокластикой, свидетельствуют о близости вулканического центра.

В базальтах гадрекильской подсвиты плагиоклаз замещен либо эпидотом и альбитом, либо пренитом. Примечательно, что там, где плагиоклаз преимущественно пренитизирован, эпидот-циозитовые массы играют второстепенную роль. Фемические минералы (пироксен, роговая обманка) замещены эпидотом. По основной массе пород развита эпидотизация, окварцевание, хлоритизация и альбитизация. Наблюдается значительная пиритизация. Измененные подобным образом породы иногда чередуются с пирокластолитами, где на первый план выходит карбонатизация и окварцевание (кварц высокотемпературный, Т образования 380°C), в данном случае эпидот начинает играть второстепенную роль, а то и вовсе исчезает. В низах гадрекильской подсвиты в пропилитизированных базальтах наблюдается замещение пироксена актинолитом. Иногда актинолит развит и по плагиоклазу. Кроме того наблюдается замещение эпидотом и хлоритом основной массы, альбитизация плагиоклаза и значительная пиритизация всей породы. В окрестностях с. Зоти гадрекильская свита считается крупным интрузивным телом. Зотская интрузия имеет габбро-монцонитовый состав и значительно пропилитизирована. Пропилитизированные интрузивные породы обладают унаследованной панициноморфной и гипациноморфной структурой. Пироксен и роговая обманка замещены эпидотом и актинолитом, иногда циозитом. Полевые шпаты альбитизированы, серицитизированы, окварцеваны и карбонатизированы, в некоторых случаях частично замещены эпидотом. Характерна интенсивная пиритизация. Зотская интрузия обрамлена контактовыми роговиками, состоящими из пла-

гиоклаза, биотита и роговой обманки, либо из двуминерального парагенезиса - плагиоклаза + роговой обманки. На контактовые роговики наложена высокотемпературная пропилитизация, выраженная в замещении их эпидотом и актинолитом и кварцем.

В приконтактовой зоне Зотского интрузивного массива развита та же высокотемпературная пропилитизация, что и в чадрекильской подсвите в целом. Однако в радиусе 200–300 м вокруг интрузии она имеет свою специфику. Если в удалении от интрузивного массива базальты и их туфы даже в интенсивно измененных разновидностях всегда наследуют первичную порфировую структуру, то в приконтактовых ореолах в наиболее измененных участках первичная структура исходных пород совершенно стерта. Для пропилитизированных приконтактовых ореолов характерна приверженность к зонам дробления серпентолитов. Мощность зон серпентитизации около десятка метров. Вместе с кварцем и серпентитом в их составе значительное участие принимают эпидот-цианитовые и карбонатовые массы и пирит.

Вышеупомянутая бахмаройская подсвита состоит, в основном, из слоистой базальтовой пирокластики. Базальты представлены роговообманковыми и пироксен-роговообманковыми разновидностями. В нижних частях подсвиты наблюдается эпидотизация по пироксену и иногда по основной массе. Плагиоклаз замещается альбитом лишь частично. Основная масса интенсивно хлоритизирована и пиритизирована, участками замещена карбонатом. По зонам дробления развита карбонатизация. К верхам бахмаройской подсвиты роль эпидотизации постепенно уменьшается.

Вышележащая напоцхварская подсвита состояла, в основном, из лимбургитовых и оливиновых базальтов подвержена, в основном, хлорит-альбитовой пропилитизации.

В лимбургитовых базальтах пироксен большей частью свеж, основное стекло хлоритизировано. Единичные кристаллы плагиоклаза замещены фенитом, поры заполнены хлоритом. Характерна пиритизация. Более интенсивно изменены оливиновые базальты, которые превалируют в верхней части напоцхварской подсвиты и, в основном, представлены шаровыми лавами. Плагиоклаз в них, как правило, альбитизирован, однако фенитические минералы пироксен и оливин большей частью свежи. Основная масса хлоритизирована и пиритизирована. Поры выполнены цеолитом (β -леонгардит, анальцим) и хлоритом, иногда карбонатом. Межшаровые пространства минерализованы теми же цеолитами, хлоритом, монтмориллонитом и карбонатом, иногда адуляром.

Гурийская подсвита, следующая в восходящем разрезе за напоцхварской, имеет ярко выраженный щелочной – трахит-трахиландезитовый состав, где подчиненную роль играют базальтоидные породы (трахибазальты, оливиновые базальты и лимбургиты). В самых низах гурийской подсвиты, в трахиландезитовых туфобрекциях еще наблюдается альбитизация плагио-

клаза, тогда как в цементе и частично в основной массе появляется анальцим. Выше цеолиты (ломонтит, анальцим, натролит) постепенно вытесняют альбит, по фемическим минералам и основной массе вместе с хлоритом развита гидрослюдца, которая в верхах горийской подсвиты играет превалирующую роль, в некоторых случаях наблюдается слабая карбонатизация. К зонам дробления в трахитовых туфах приурочены аргиллизиты, состоящие из монтмориллонит-гидрослюдистых минеральных ассоциаций, с участием анальцима. Следует отметить, что и в данном случае, на фоне интенсивного изменения фемических минералы (пироксены и роговая обманка) большей частью остаются свежими.

Вулканические породы верхнезооценовой зенобанской свиты также подвержены значительному изменению. Они состоят из туфов и туфобрекций трахитового, трахиандезитового и базальтового состава, кроме того участвует базальтовый материал, перемытый из нижележащей среднеэоценовой вулканической толщи - оливиновые и лимбургитовые базальты. Верхнезооценовая вулканическая свита подвержена цеолитовой прошиллитизации. Особенno интенсивно изменен цемент туфобрекций и туфоконгломератов. Цемент представлен мелкозернистой пирокластикой, которая почти полностью цеолитизирована, неизмененными остались лишь кристаллы фемических минералов, пироксена и роговой обманки. Что касается валунов и туфоконгломератов, состоящих из оливиновых базальтов, то для них характерна анальцимизация плагиоклаза и карбонатизация основной массы. Плагиоклаз в некоторых случаях подвержен замещению гидрослюдисто-каолинитовыми массами. В цементе помимо цеолита, преимущественно анальцима, участвуют хлоритовые массы и много пирита.

Опорные разрезы центрального сегмента

Центральный сегмент зоны охватывает Имеретию, Месхетию и часть Триалетского хребта вплоть до водораздела рек Дзама и Тана. Он состоит из палеогеновых и частично меловых отложений. Меловая вулканическая толща обнажается лишь в ущельях рек Зварула и Дзама. Палеогеновая вулканическая толща состоит из ликанской, нагваревской (квабисхевской) и чидильской свиты. В отличие от западного сегмента здесь отсутствует толеитовый вулканит, и чидильская свита представлена субшелочными базальтами, что является свидетельством ослабления рифтинга. В направлении от западного к центральному сегменту уменьшается мощность палеогеновой толщи.

Опорный разрез в Имеретии составлен по ущелью р.Кершавета, через Зекарский перевал и далее продолжен по ущелью р.Абастумани (см.рис.7). Он расположен восточнее предыдущего и несмотря на то, что среднеэоценовая вулканическая толща обнажена здесь почти полностью, исключая верхи чидильской свиты, ее мощность не превышает 2500 м. Низы толщи представлены ликанской свитой, состоящей из базаль-

товых слоистых туфов и туфобрекчий. Ликанская свита по составу аналогична перангской и отличается от последней слоистой текстурой. Ликанские базальты представлены оливиновыми, пироксен-роговообманковыми и роговообманковыми разновидностями. Мощность свиты - 700 м. За ликанской свитой следует нагваревская. Она представлена дифференцированной серией пород базальт-андезит-андезито-дацит и состоит из чередования лавовых покровов, лавовых брекчий и туфобрекчий. Мощность свиты - 500 м. За ней следует массивная чидильская свита, состоящая из грубообломочных массивных туфобрекчий базальтового состава. Верхняя часть чидильской свиты размыта, и ее видимая мощность не превышает 1300 м.

Для ликанских базальтовых туфов характерной чертой, особенно в низах свиты, является преитеризация плагиоклаза; пироксен, роговая обманка и оливин, часто не изменены, лишь изредка хлоритизированы и замещены эпидот-цоизитовыми массами. Основная масса обладает гиалопильтовой структурой. Она состоит из основного стекла с микролитами плагиоклаза и микрокристаллами пироксена. Стекло хлоритизировано, замещено эпидот-цоизитовыми массами, иногда участками окварцованием. Порода в целом пиритизирована. В верхах ликанской свиты, вместо преитеризации развивается альбитизация по плагиоклазу, все меньшую роль играют эпидот-цоизитовые массы, преобладает хлоритизация и карбонатизация. Ликанская свита сечется прожилками кварца, преитита и ломонитита.

По породам нагваревской свиты развита хлорит-альбитовая пропилитизация. Плагиоклаз замещается альбитом, основная масса хлоритизирована, иногда карбонатизирована. Фемические минералы: пироксен и роговая обманка частично хлоритизированы, однако большей частью они остаются свежими. Интересные явления наблюдаются в некоторых шлифах (г 385) из базальтов квабисхевской свиты - альбитизация наложена на предварительно цеолитизированный плагиоклаз. Остаточный цеолит оказался ломонитом ($Mg=1,519$, $Mn=1,512$). Хлорит-альбитовым изменениям подвержены и низы чидильской свиты, которые обнажены в мульде синклинали в районе Зекарского перевала, однако в ее верхах постепенно начинает преобладать цеолитизация. Если фенокристаллы плагиоклаза еще альбитизированы, то по основной массе чидильских базальтов развита цеолитизация, вместе с хлоритизацией и пиритизацией. Цеолит представлен и анальцином, β -леонгардитом, натролитом. Низы чидильской свиты секутся множеством гидротермальных жил, состоящих из β -леонгардита и кальцита. Для самых верхних горизонтов характерна цеолитизация всей породы за исключением фемических минералов.

Еще один разрез в Имеретинской части центрального сегмента составлен в северной части зоны, в ущ. р. Зварула (см. рис. 8, кол. I). Здесь вместе с палеогеновой толщей обнажается меловая вулканическая. Она роговообманково-андезитового состава и представлена грубослоистыми

туфами и туфобрекчиями. В верхней части толща становится более тонко-слоистой и состоит из псаммитовых туфитов с карбонатовым цементом. По зонам дробления и межблочным пространствам развита интенсивная цеолитизация. Меловые вулканические образования слагают ядро и крылья антиклинальной структуры. Мощность их не превышает 500 м. В целом толща подвержена хлорит-альбитовому замещению. По плагиоклазу развит альбит, иногда вместе с хлоритом. Основная масса хлоритизирована, цеолитизирована (гейландит, β -леонгардит), карбонатизирована (кальцит). Туфобрекции скементированы цеолитами (гейландит, β -леонгардит) и хлоритом. Характерна интенсивная пиритизация.

В некоторых случаях в меловых породах наблюдается альбитизация предварительно цеолитизированного плагиоклаза. Замещенный гейландитом ($N_d' = 1,498$, $N_p' = 1,496$) плагиоклаз по краям замещается альбитом ($N_d' = 1,542$, $N_p' = 1,533$) - /см.рис.9, пл.507, 523/.

В восходящем разрезе за меловой вулканической толщей следуют верхнемеловая карбонатная свита, нижнепалеогеновый флиш и палеогеновая вулканическая толща. Последняя здесь, относительно, маломощна (1200 м). Она состоит из пироксеновых базальтовых туфов и туфобрекций. Ее верхняя часть значительно размыта. Толща подвержена интенсивной пропилитизации. В нижней части толщи породы подвержены хлорит-альбитовым изменениям. Плагиоклаз замещен альбитом, частично - хлоритом. Основная масса хлоритизирована. Пироксен, как правило, свеж, изредка слабо хлоритизирован. Характерна интенсивная пиритизация породы. Выше альбитизация уступает анальцимовому замещению. Свежим остается лишь пироксен, все остальное: плагиоклазы и основная масса и цемент туфов почти полностью замещены анальцимом, хлоритом и гидрослюдистыми массами. Порода интенсивна пиритизирована.

Месхетия, расположенная в южной части центрального сегмента, подразделяется на две структурно-морфологические единицы. Ее северная часть представлена южным склоном Ахалцихско-Имеретинского хребта. Она гипсометрически резко возвышена над южной частью - Ахалцихской депрессией. Соответственно, здесь разная степень обнаженности и денудации пород палеогеновой толщи. Составленные для Месхетии два опорных разреза отражают геологическое строение и характер пропилитизации в ее северной и южной части. Первый разрез, составленный по ущелью р. Цинубани (приток р. Куры), пересекает южный склон Ахалцихско-Имеретинского хребта (см.рис.4, колонка IV, рис.10). Второй, по ущелью р. Уравели (приток р. Поцхов-чай) расположен в Ахалцихской депрессии (см. рис.11).

Разрез по ущ.р.Цинубани начинается у ее слияния с речкой Дземертиецкали, где на терригенном флише согласно залегают породы ликанской свиты. Мощность ликанской свиты здесь порядка 1100 м. Она представлена оливиновыми и пироксен-роговообманковыми базальтами и сос-

тоит из слоистых, в верхней части грубослоистых туфов и туфобрекций. За ней следует мощная квабисхевская свита. В отличие от других разрезов здесь она почти полностью состоит из лав. В 1974 г. М.Г.Татишвили выделил ее как свиту лавовых покровов. Эта свита представлена дифференцированной серией пород базальт-андезито-базальт-андезит-андезито-дацит-делленитового состава. Мощность квабисхевской свиты 1500 м. За ней следует гуркельский горизонт – стратиграфический аналог чидильской свиты. Он представлен туфогравелитами, туффитами, туфами и имеет слоистую текстуру. Состав его, в основном, базальтовый, определенную роль играет также андезитовый, андезито-дацитовый и делленитовый материал, который, по данным М.Г.Татишвили (1974) является продуктом размыва нижележащей квабисхевской свиты. Мощность Гуркельского горизонта порядка 300 м.

Базальтовые туфы и туфобрекции ликанской свиты подвержены интенсивной пропилитизации. В самых низах свиты наблюдается некоторая эпидотизация плагиоклаза, однако, в основном, он замещен альбитом. В основной массе преобладает хлорит. Характерна интенсивная ширитизация породы. Стратиграфически выше эпидот исчезает. и по плагиоклазу развит лишь альбит, иногда вместе с соссюритовыми массами. Примечательно, что роль цемента играет анальцим вместе с ломонитом. Ликанская свита на этом участке подвержена сильному дроблению. По зонам дробления развита цеолитизация (ломонит, анальцим). В ликанской свите некоторые туфы подвержены значительной цеолитовой пропилитизации. Наблюдается замещение плагиоклаза и основной массы анальцимом и ломонитом ($N=1,514$). Пироксен и основная масса замещены также хлоритом и гидрослюдой, характерна интенсивная ширитизация. Цеолитовая пропилитизация некоторых слоев ликанской свиты кажется несколько неожиданной, тем более что вышележащая квабисхевская свита подвержена более высокотемпературному хлорит-альбитовому замещению. Лавы квабисхевской свиты пропилитизированы относительно слабо, лишь плагиоклаз подвержен частичной альбитизации. Кое-где по основной массе и фемических минералам развита хлоритизация. В основной массе рассеяны зернышки пирита. По зонам дробления наблюдается значительная цеолитизация (ломонит, томсонит, анальцим, натролит). Выше андезит-дацитовые и делленитовые покровы уже интенсивно цеолитизированы и цеолитизация тоже, в основном, тяготеет к зонам дробления. Однако она распространяется и значительно дальше этих зон, породы метасоматически замещаются цеолитами: β -леонгардитом, гейландином и анальцимом. Кроме того, по основной массе наблюдаются явления хлоритизации, гидрослюдизации и монтмориллонитизации. По зонам дробления в верхах квабисхевской свиты андезит-дацитовые и делленитовые породы замещаются гидрослюдой и монтмориллонитом, пустоты выполнены халцедоном, преобладающим в центральной части этих зон. Появляется гейландин и эрионит, а также кальцит. Именно к

таким зонам приурочено Мескетское агат-халцедоновое месторождение, о котором более детально будет говориться ниже.

В цеолитовой пропилитизации, развитой по гуркельскому горизонту, значительную роль играют и аргиллитизация, выраженная в замещении пород монтмориллонитом и гидрослюдой. Цеолиты в гуркельском горизонте наиболее низкотемпературны и представлены низкотемпературным анальцимом, гейланцитом и клиноптилолитом.

Если на южном склоне Ахалцихе-Имеретинского хребта палеогеновая вулканическая толща обнажена по всей мощности, то в Ахалцихской депрессии она обнажена лишь с квабисхевской свиты. В разрезе по р.Уравели (см.рис. II) самые древние обнажения это породы квабисхевской свиты, сложенной преимущественно лавами оливиновых базальтов, андезито-базальтов, трахиандезитов и дацитов. За ней следует чидильская свита, которая в отличие от предыдущего разреза, где она составляет маломощный слоистый гуркельский горизонт, представлена массивной свитой, сложенной из чередования грубообломочных туфобрекций, лавовых брекций и шаровых лав, в основном базальтового состава. Мощность чидильской свиты 1600 м.

В квабисхевской свите пропилитизация выражена исключительно хлорит-альбитовой фацией. Процесс относительно слабоинтенсивен. Плагиоклаз альбитизирован. Его альбитизация крайне неравномерна, иногда в одном ширфе вместе с полностью альбитизированным плагиоклазом встречаются лишь частично альбитизированные, либо совершенно свежие кристаллы. В некоторых же случаях наряду с альбитизированным плагиоклазом встречается и частично хлоритизированный. Основная масса базальтов, обладающая гиалопилитовой текстурой, хлоритизирована и карбонатизирована. В трахиандезитах и дацитах роль хлорита резко падает, однако плагиоклаз и частично основная масса, по сравнению с базальтами, здесь альбитизированы интенсивнее. Хлорит-альбитовая пропилитизация развита и в базальтах чидильской свиты. Она представлена теми же парагенезисами, что и в квабисхевской свите. Нередко цемент туфов сложен анальцимом. Пропилитизация в целом выражена неравномерно. Вместе с интенсивно пропилитизированными туфами и туфобрекциями встречаются значительно слабее измененные разновидности. К верхам свиты основная масса замещается цеолитами, анальцимом, β -леонгардитом, натролитом, а затем и плагиоклаз полностью цеолитами. Основная масса, наряду с цеолитами, замещена хлоритом, гидрослюдой и карбонатом. На всех уровнях развита ширитизация. В Уравельском разрезе по всей мощности зоны дробления и амигдалоиды, а также межшаровые пространства в пилью-лавах и межобломочные пространства в грубообломочных брекциях заполнены цеолитами. Причем на нижних уровнях палеогеновой толщи превалируют ломонит и анальцим в ассоциации с карбонатом. Выше их место занимает β -леон-

гардит, гейландин и низкотемпературный анальдин.

Восточную часть центрального сегмента занимают западные районы Триалетии-Боржомский, Цалкский и Карельский, тогда как восточное окончание Триалетского хребта представлено восточным сегментом зоны. Последний в среднем эоцене характеризовался отличным от остальной Аджаро-Триалетии геодинамическим режимом.

В Боржомском районе составлено два опорных разреза: по ущ.р.Куры от Боржоми до Ташискари и по ущ.р.Гуджаретискали (см.рис.8, кол.И., рис.12). В первом над мощной флишоидной толщей залегает слоистая вулканогенная свита Ликани. Г.П.Лобжанидзе (1957) делит ее на две части: нижнюю, где вместе с туфогенными слоями участвуют мергелисто-карбонатные прослои, и верхнюю – в основном туфогенную, более толсто-слоистую. Она состоит из грубослоистых туфобрекций. Мощность нижней части 400 м, верхней порядка 1400 м. Ликанская свита базальтового состава и представлена роговообманково-пироксеновыми известково-щелочными базальтовыми туфами. В нижней части значительную роль играют мергели, аргиллиты, карбонатовые туфопесчаники. Средняя мощность Ликанской свиты 1800 м. Над ликанской свитой залегает свита лавовых покровов, известная под названием Квабисхевской. Квабисхевская свита на этом участке состоит из чередования лавовых покровов и пачек туфов и туфобрекций. Причем по мощности пачки пирокластического материала преобладают над покровами, тогда как несколько юго-западней в районе Ахалцихской депрессии наблюдается значительное преобладание лав, и пирокластика содержится в явно подчиненном количестве. В Квабисхевской свите имеется всего десять покровов. В Боржомском районе так же, как в Ахалцихской депрессии, квабисхевская свита представлена дифференцированным рядом пород от базальтов до андезит-дацитов (делменитов). Мощность свиты порядка 700 м. Над квабисхевской свитой в мульде синклинали в районе с. Ахалдаба-Ташискари обнажается чицильская свита, представленная массивными грубообломочными брекциями пироксеновых базальтов. Верхи свиты размыты и ее мощность не превышает 500 м.

Другой разрез вдоль ущелья р.Гуджаретискали и по ее притокам аналогичен первому по литологическому составу и стратиграфической последовательности, а также по мощности отдельных свит. Лишь чицильская свита, обнаженная в мульде синклинали севернее р.Гуджаретискали, размыта в меньшей степени и ее мощность достигает 800 м. Кроме того, квабисхевская свита в полосе Бакуриани-Митарби-Гуджарети полностью сложена пирокластикой и представлена гомодромно дифференцированной серией от базальтов до дацитов.

Породы среднеэоценовой вулканической толщи подвержены значительной пропилитизации. Здесь, как в западной и центральной Аджаро-Триалетии, в пропилитах наблюдается вертикальная метасоматическая зональ-

ность. Породы ликанской и квабисхевской свиты подвержены в основном хлорит-альбитовой пропилитизации, начиная с чидильской пропилитизации носит цеолитовый характер.

Здесь, как и на других участках, в среднеэоценовой толще пропилитизация развита крайне неравномерно. Встречаются полностью измененные участки в туфобрекчиях и лавах, однако имеются и сравнительно свежие и даже вовсе неизмененные породы. Даже в полностью пропилитизированной породе сохраняется первичная порфировая структура и очертания первичных фемических минералов и полевых шпатов. Структура первичной породы стерта лишь на участках очень интенсивной цеолитизации. Наиболее полно измененные разновидности, например, базальтов (шл.р.379), подверженных хлорит-альбитовой пропилитизации, характеризуются первичной порфировой структурой. Плагиоклаз преимущественно альбитизирован, лишь кое-где имеются неизмененные остатки, часто наряду с альбитизацией он несколько хлоритизирован. Пироксен и роговая обманка почти полностью хлоритизированы, иногда частично карбонатизированы. Часто в хлоритовой и карбонатовой массе просвечивают остатки пироксена и роговой обманки. Изредка встречаются совершенно свежие кристаллы авгита и роговой обманки. Основная масса, как правило, полностью изменена, замещена хлорит-альбитовыми массами и интенсивно пиритизирована. Пиритизация характерна для породы в целом.

Менее измененные разновидности базальтов также обладают первичной порфировой структурой, кое-где сохранена и структура основной массы. Плагиоклаз альбитизирован лишь частично и значительную роль играют остатки основного лабрадора, слабее хлоритизированы и карбонатизированы пироксен и роговая обманка. Появляется значительное количество совершенно свежих кристаллов авгита и роговой обманки. Но в основной массе развита хлорит-альбитовая минерализация. Пиритизация выражена значительно слабее.

Аналогично пропилитизированы и крупнообломочные туфобрекчи, лишь цемент обломков состоит почти полностью из хлорита и карбоната.

Что касается мелкозернистых алевро-псаммитовых туфов, которые играют значительную роль в ликанской свите, особенно в ее нижних горизонтах, то они почти полностью хлоритизированы, карбонатизированы и интенсивно пиритизированы. Мергелистые и известковые породы, чередующиеся пропилитизированными туфогенами практически не изменены.

Некоторые слои алевритовых и алевро-псаммитовых туфов ликанской и квабисхевской свиты интенсивно хлоритизированы и одновременно цеолитизированы - подвержены анатолит-натролитовому замещению. Любопытная картина наблюдается и в базальтовых покровах квабисхевской свиты (шл.р.379). Эта порода, в основном, подвержена хлорит-альбитовой пропилитизации, однако в некоторых случаях наблюдается альбитизация по предварительно цеолитизированному плагиоклазу (см.рис.13), остаточ-

ный цеолит оказался ломонитом ($N_d = 1,520$, $N_p = 1,512$).

Следовательно, в данном случае, хлорит-альбитовой пропилитизации предшествовало цеолитовое замещение.

Как уже отмечалось, метасоматическая цеолитизация – приповерхностный процесс и происходит он на глубинах не более одного километра. В данном случае же литостатическая нагрузка значительно превышает этот предел. Поэтому цеолитизация здесь, по-видимому, сингенетична вулканизму, тогда как наложенная альбитизация эпигенетическое поздне-среднеэоценовое явление.

Внутри чидильской свиты можно наблюдать переход от хлорит-альбитовой зоны в цеолитовую. В цеолитовой зоне основную роль играют цеолиты и такие вторичные минералы, как хлорит, гидрослюдя и каолинит, явно подчиненного значения. Не исключено, что ассоциирующиеся с цеолитами глинистые минералы, являются продуктами регрессии, связанной с остыванием и раскислением раствора. Цеолитизация в чидильских туфобрекчиях проявилась в замещении фенокристаллов плагиоклазов и основной массы обломков пород. Вместе с цеолитизацией, выраженной в замещении анальцином, натролитом и ломонитом, наблюдается некоторая хлоритизация и карбонатизация фемических минералов и основной массы. Цемент обломков представлен хлорит-гидрослюдистыми массами и цеолитами, среди которых главную роль играют анальцим и ломонит. Порода в целом интенсивно пиритизирована. Пирит развит по основной массе обломков, участвуя и в цементе туфобрекций.

Юго-восточнее от Боржомского района, на южной периферии Аджаро-Триалетской складчатой зоны, в Цалском районе, в среднеэоценовой вулканической толще нами изучено несколько литологических разрезов (см. рис.8, кол. II, I4, I5). Нижние части среднеэоценовой толщи (ликанская и квабисхевская свиты) обнажены в ущ.речки, текущей от г.Иурис-Кеди к югу до с.Ардженан-Сарван. У этого села среднеэоценовые породы погружаются под молодые лавы. Западнее, в ущ.р.Хачков (приток Храми) и в его притоках обнажается вышележащая чидильская свита, которая также перекрывается молодыми лавами. Общая мощность обнаженной части палеогеновой вулканической толщи порядка 3000 м. Ликанская свита и здесь представлена слоистыми туфами базальтового состава. В нижней части свиты цемент туфов карбонатный. С туфами чередуются известковые и мергелистые прослои. Туфы в основном псаммитовые и алевро- псаммитовые и лишь в верхах свиты наблюдается укрупнение материала. Состав базальтов, по данным Г.А.Микадзе (геол. отчет, 1975), известково-щелочной – пироксен-рогово-обманковый. Мощность ликанской свиты порядка 700 м. За ликанской, следует квабисхевская свита, которая, как в ущ.р.Гуджаретисцкали, представлена туфобрекциями и состоит из гомодромно дифференцированного ряда от базальтов до дацитов. Мощность квабисхевской свиты до 800 м. Над ней залегают массивные грубообломочные базальтовые брекции чидиль-

ской свиты. Южнее с.Ариджеван-Сарван туфобрекции чидильской свиты перекрываются молодыми плиоцен-четвертичными лавами. Разрез продолжается в ущ.р.Хачков и ее притоках Хандрас и Хабара. Здесь обнажена чидильская свита (мощность - 1500 м), к югу также перекрытая молодыми лавами. Чидильская свита состоит, главным образом, из пироксеновых базальтов, с подчиненным участием роговообманковых базальтов. Примечательно, что в ущельях р.Хачков и ее притоков чидильскую свиту сечет множество малых интрузивных тел, штоков и жил диоритового, габбро-диоритового и габбрового состава. Породы среднезооценовой толщи довольно интенсивно пропилитизированы. Фоновая пропилитизация здесь, в основном, хлорит-альбитовая, лишь самые верхи чидильской свиты подвержены цеолитизации. Ликанская и квабисхевская свиты изменены значительно слабее чидильской. Мергелистые и известковые слои, чередующиеся с туфами ликанской свиты, практически не изменены. Пропилитизация в базальтовых туфах выражена в альбитизации плагиоклаза, хлоритизации пироксена, роговой обманки и основной массы. Характерна пиритизация. В ликанской свите в большом количестве встречаются вулканокласты халцедона. Туфобрекции квабисхевской свиты тоже пропилитизированы, причем в более кислых дифференциатах этой свиты - андезит-дацитах альбитизация по плагиоклазу и основной массе превалирует над хлоритизацией. Особенно интенсивно пропилитизирована чидильская свита, обнаженная в ущ.р.Хачков и в ее притоках. Вместе с фоновой хлорит-альбитовой здесь хорошо выражена высокотемпературная эпидот-хлоритовая и актинолитовая пропилитизация, развитая в приконтактовых зонах диоритовых и габбро-диоритовых тел. Сами тела тоже пропилитизированы. Для них характерна эпидотизация и замещение актинолитом пироксенов и роговой обманки. Плагиоклаз альбитизирован, частично серпентинизирован, иногда окварцовирован. Порода интенсивно пиритизирована. Мощность зоны приконтактовой пропилитизации несколько десятков метров. В отличие от фоновой хлорит-альбитовой пропилитизации, в приконтактовой зоне породы подвержены более сильному изменению. На наиболее интенсивно измененных участках порода полностью замещена эпидот-хлоритовыми массами, карбонатизирована, окварцирована и пиритизирована, отсутствуют следы первичной структуры. В удалении от контактов сохраняется порфировая структура базальтов, но плагиоклаз альбитизирован полностью и иногда замещен эпидотом. Пироксен и роговая обманка замещаются актинолитом и эпидотом. По основной массе развит альбит, хлорит, карбонат. Наблюдается значительная пиритизация. В ущ.р.Хачков чидильскую свиту сечет интрузивная порода, резко отличающаяся лейко-кратовым обликом от других интрузий этого района. Она вскрыта шурфом и имеет кварцево-диоритовый состав. Сама порода пропилитизирована - подвержена хлоритизации, замещению эпидотом, серпентитом, пиритом. Обладает приконтактовыми роговиками с наложенной серпентинизацией. В удалении от контактов породы чидильской свиты (базальтовые туфобрекции)

карбонатизированы, интенсивно ширизированы и замещены эпидотом. За-на приконтактового изменения этой интрузии сечется кварцевыми жилами.

В целом в Цалкском районе чидильская свита подвержена фоновой хлорит-альбитовой пропилитизации. Однако и здесь, как и в Боржомском районе, в ряде случаев наблюдается замещение альбитом предварительно цеолитизированного плагиоклаза. Эти явления хорошо видны в шлифах З103, З104, где фенокристаллы плагиоклаза часто полностью замещены альбитом и цеолитом, причем мутные массы метасоматического альбита как бы обволакивают прозрачные островки цеолита – ломонитта ($N_p = 1,523$) внутри кристалла (см. рис. I6, I7), что указывает на более раннее происхождение цеолита.

Восточнее, в Карельском районе, нами были изучены разрезы мел-палеогеновых вулканических серий в бассейне р.Дзама: в ущ.р.Ткемлованисциали и ее правого притока Абухало и в ущ.р.Сатибе. В ущ.р.Абухало обнажен терригенный флиш, не представляющий особого интереса, так как карбонатные туфопесчаники, песчаники и глины почти не изменены.

Лишь туффиты, имеющиеся в верхах флиша подвержены хлорит-альбитовой пропилитизации. Она выражена в альбитизации и в хлоритизации и карбонатизации по основной массе.

В ущ.Ткемлованисциали, в окрестностях с.Ципловани, в ядре антиклинали обнажены меловые туфы андезитового состава. Они чередуются с мергелями и известняками. Общая мощность меловых образований 50 м. Нижняя часть этой пачки, датируемая сеноманом, сложена в основном мелкозернистыми алевролитовыми и алевропсаммитовыми туфами, чередующимися с мергелями и туфопесчаниками с примесью пирокластического материала. Верхняя часть пачки, датируемая нижним туроном, сложена псаммитовыми туфами и туфобрекчиями андезит-базальтового состава, над которыми залегают турон-маастрихтские известняки, южнее перекрывающиеся породами карбонатного флиша. Меловые вулканиты пропилитизированы. Фенокристаллы плагиоклаза замещены альбитом, основная масса хлоритизирована, карбонатизирована и ширитизирована. Пропилитизация развита крайне неравномерно. Наряду с измененными встречаются совершенно свежие участки. Наиболее полный разрез палеогеновых вулканитов обнажается в ущ.р.Сатибе. Они слагают мульду синклинальной структуры и представлены грубосложистыми и массивными туфобрекчиями базальтового состава. Базальтовые туфобрекции ущ.р.Сатибе представлены авгит-роговообманковыми разновидностями, с плагиоклазом битовитового ряда. Видимая мощность пород 500 м. Туфобрекции пропилитизированы. Плагиоклаз альбитизирован и хлоритизирован. Фемические минералы – авгит и роговая обманка – хлоритизированы и карбонатизированы. По основной массе также развита хлоритизация, альбитизация и карбонатизация. Порода, в целом, ширитизирована. В зонах дробления и трещинах развиты цеолиты-ломонит, анальцим,

карбонаты и хлориты. По-видимому, большая часть пород среднеэоценовой толщи здесь смыта эрозией, так как даже верхи обнаженной толщи не проявляют цеолитовой пропилитизации.

Опорные разрезы в восточном сегменте

Восточный сегмент охватывает восточное окончание Триалетского хребта, восточнее водораздела рр.Дзами и Тана. В этом сегменте обнаружено несколько выходов меловой вулканической толщи. Аджаро-Триалетская зона на этом участке не претерпела рифтинга и в продолжение всего среднего эоцена пребывала на островодужной стадии развития. Опорные разрезы составлены по ущ.рр.Дрисхеви и Тана, по ущ.р.Хведурети и по ущ.р.Тедзами и ее притока р.Шавцала.

В ущельях рр.Дрисхеви и Тана среднеэоценовая вулканическая толща обнажена по всей мощности (см.рис.8, кол.У, I8). Она состоит из двух частей: нижней слоистой, аналога ликанской свиты, и верхней грубослоистой, занимающей стратиграфическое пространство квабисхевской и чидильской свиты. Среднеэоценовые вулканиты перекрыты верхнеэоценовыми терригенными породами. Общая мощность вулканической толщи 900 м. В ущ.р.Дрисхеви в верхах карбонатного флиша появляются прослои туфов по составу соответствующие роговообманковому андезиту. Слоистые ликанские туфы также андезитового состава и представлены алевро- псаммитовыми разновидностями. За ними следуют туфобрекчии, псевдофитовые и псаммитовые туфы. Они толстослоисты и состоят из андезитово-андезит-базальтовой вулканокластики. В верхних частях разреза с ними чередуются два маломощных (3 м) андезитовых покрова.

Среднеэоценовая вулканическая толща на этом участке почти полностью пропилитизирована. Пропилитизация в ликанских литокластических туфах выражена замещением ломонтитом порфировых вкрашенников плагиоклаза и основной массы. Роговая обманка большей частью хлоритизирована – по основной массе развиты анальцим, хлорит и гидрослюдисто-каолинитовые массы. Цемент породы состоит из ломонтита, иногда с карбонатом, характерна пиритизация, которой подвержены как обломки пород, так и цементирующая масса. Алевролитовые прослойки, в основном, замещены хлорит-гидрослюдистыми и цеолитовыми массами и подвержены мелкозернистой пиритизации.

Залегающие над ликанской свитой грубослоистые псаммитовые и псевдофитовые туфы, также подвержены цеолитовой пропилитизации. Крупные обломки пород изменены сравнительно слабее. В отличие от туфов ликанской свиты здесь более значительную роль играют гидрослюдисто-каолинитовые массы, которые вместе с цеолитом слагают цемент туфов. Возрастает роль анальцима, замещающего основную массу обломков псаммитовых и псевдофитовых туфов. Среднеэоценовая толща сечется множеством прожил-

ков. Последние сложены цеолитами, пренитом и карбонатом. В нижней части толщи преобладают пренит-ломонтит-карбонатовые прожилки, выше пренит исчезает, и трещины и зоны дробления заполнены ломонтитом и кальцитом (см.рис.8, кол.У).

В ущ.р.Хведурети, южнее с.Трехви, в ядре антиклинальной структуры обнажена меловая вулканическая толща. Она состоит из слоистых туфов, туфобрекций, изредка покровов андезитового и базальтового состава. В нижних частях преобладают роговообманковые, в верхних – аугит-роговообманковые базальты и андезиты. Меловая толща пропилитизирована (см.рис.8, кол.ІУ). Для этого участка характерно чередование интенсивно цеолитизированных пород с хлорит-карбонатовыми пропилитами. Последние характеризуются свежими фенокристаллами плагиоклаза, аугита и роговой обманки и интенсивно измененной основной массой. Это, вероятно, аналогичные адгарским пропилиты трансильванского типа. В нижних частях разреза цеолит представлен ломонтитом. Ломонтитом замещается плагиоклаз, а также и основная масса, которая одновременно хлоритизирована и замещена гидрослюдой. Характерна значительная ширитизация всей породы. Кроме того, низы толщи секутся ломонтит-кальцитовыми прожилками. Выше роль ломонтита уменьшается и появляются анальцим и натролит. В верхней части разреза превалируют гейландит, ассоциирующийся с кальцитом и анальцимом. За вулканической толщей мела следует 400-метровая свита карбонатного мела турон-датского возраста, которую трангрессивно перекрывают среднезоценовые туфы, интенсивно замещенные клиноптилолитом. Мощность последних примерно 150 м.

В восточном сегменте были составлены еще два опорных разреза по ущ.р.Тедзами и его притока р.Шавцкала. Здесь обнажены как меловая, так и палеогеновая толщи, однако, последняя, в отличие от предыдущего разреза, характеризуется значительной мощностью – порядка 2 км.

Меловая толща обнажена в ядрах двух антиклинальных структур. Первая находится в окрестностях с.Чкопиани, вторая южнее Рионского монастыря. Меловые отложения с вышележащей палеогеновой толщей имеют тектонические контакты. Мощность вулканогенного мела в ущ.р.Тедзами порядка 1000 м. Меловые вулканиты представлены гомодромно дифференцированной серией пород базальт-андезит-риолитового состава.

Нижняя часть толщи (альб) состоит из лав базальтового и андезитового состава, выше развиты андезитовые туфы и туфобрекции, а верхи разреза (нижний турон?) занимают риолитовые микробрекции. Наиболее ярковыраженный процесс в Тедзамских разрезах – цеолитовая пропилитизация (см.рис.8, кол.УІ, УІІ, I9). Материал представлен по двум разрезам в меловых и палеогеновых отложениях. I – по ущ.р.Тедзами в Чкопианской антиклинали и II – в пределах Рионской антиклинали, по ущ.р.Тедзами и р.Шавцкала. Меловая вулканическая толща в обоих разрезах интенсив-

но пропилитизирована. В нижней части толщи пропилитизация, развитая по базальтам и андезитам, проявилась в замещении плагиоклаза и основной массы породы анальцином, ломонитом, кальцитом и хлоритом, а также монтмориллонитом. Авгит и роговая обманка хлоритизированы и карбонатизированы. Цемент туфов состоит из анальцима, монтмориллонита и карбоната (кальцита). В верхней части толщи, наряду с цеолитизацией, значительную роль начинает играть гидротермальная аргиллитизация. Риолитовые туфы интенсивно аргиллитизированы. Неизмененными остались лишь фенокристаллы кварца, основная масса же замещена каолинитом, монтмориллонитом и гидрослюдой. В цементе вместе с названными минералами участвуют халцедон и мелкозернистые скопления кварца. Эти породы секутся цеолитовыми прожилками, где основную роль играют: β -леонгардит, гейланит, томсонит, анальцим. В одном случае имеется клиноптилолит и апфофилит.

В окрестностях с.Чхониани, в базальтах, к зонам дробления и аргиллитизации, выраженной в замещении породы монтмориллонитом и гидрослюдой и к аргиллитизированным контактам андезитовых жил (по Г.Ш.Надарейшвили, это кольцевые дайки) приурочено агатхалцедоновое месторождение. Халцедон и горный хрусталь аметистовой разновидности образуют гнезда и жилы в монтмориллонитовой массе, вместе с ними ассоциируется кальцит и морденит. Замещение халцедоном наблюдается и стратиграфически выше, в риолитовых туфах, где он метасоматически замещает основную массу обломков пород и участвует в цементе туфов. Некоторая халцедонизация замечена в мергелях, в самых низах турон-датской карбонатной толщи. Кроме того, в меловой толще по зонам дробления и пустотам широко развита цеолитизация (см.главу о минерализации пород).

В южном крыле Чхонианской антиклинали, над меловыми вулканитами несогласно залегает среднеэоценовая вулканическая толща (см.рис.19) (мощность - 1700-1900 м), сложенная сложными андезитовыми туфами. Породы представлены роговообманково-пироксеновыми разновидностями и интенсивно пропилитизированы. Пропилитизация цеолитового типа. Толща, в основном, состоит из литокластических туфов. Обломки пород в туфах замещены цеолитами, среди которых главную роль играют анальцим и ломонит; хлоритизация здесь явно подчинена и на первый план выходит замещение монтмориллонитом и гидрослюдой. Характерна ширитизация. Цемент туфов представлен глинисто-цеолитовыми массами. Трещины и зоны дробления выполнены ломонитом, анальцимом, монтмориллонитом и кальцитом.

3.2. Фациальный и минералогический анализ зональности.

Из описания опорных разрезов следует, что пропилитизация в палеогеновой вулканической толще носит региональный характер. В западном и центральном сегменте Аджаро-Триалетской складчатой зоны пропилиты, развитые по среднеэоценовым породам, проявляют довольно четкую верти-

кальную зональность. В восточном сегменте несмотря на значительную мощность меловых и палеогеновых вулканитов и в верхнеэоценовой вулканической толще западного сегмента зональность отсутствует. Прежде чем, объяснить причину этого явления, следует познакомиться с характером вертикальной метасоматической зональности, с минеральным и фациальным составом зоны, их взаимоотношениями, с миграцией вещества в процессе их становления и с петрогенетическими и физико-химическими закономерностями их формирования.

Наиболее высокотемпературные, одновременно глубинные зоны (> 3 км) представлены актинолитовой, эпидот-хлоритовой и пренитовой фацией, промежуточные зоны (< 3 км > 1 км) – хлорит-альбитовой фацией и приповерхностные зоны (< 1 км) – цеолитовой и трансильванской. Следует отметить, что взаимопереходы между фациями не всегда четкие и, как видно из описания опорных разрезов, на определенных промежутках низкотемпературные фации как-бы телескопируют высокотемпературные, что, по-видимому, связано с постепенным остыванием растворов и регрессией процесса во времени.

Рассматривая фации различных метасоматических формаций, мы будем выделять типоморфные парагенезисы – ассоциации минералов, представляющие лицо фации, отражающие суть физико-химических условий ее формирования. В составе фации вместе с типоморфными парагенезисами могут участвовать и реакционные минералы. Этот термин заимствован нами у Д.В.Рундквиста и И.Г.Павловой (1970). Он обозначает минералы, которые хотя и участвуют в составе фации, но не отражают условий ее формирования, поскольку они образовались вследствие изменения физико-химических параметров: падения температуры раствора, перепада давления, местного прогрева локального участка породы и т.д. При минералогической характеристике фаций реакционные минералы приводятся в скобках.

Зональность в пропилитах наиболее полно выражена в западной части Аджаро-Триалетского трога, где палеогеновая вулканическая толща достигает наибольшей мощности. В восточном, а также в меридиональном направлении на юг и на север, вместе с утонением толщи исчезают высокотемпературные и глубинные зоны, и их место занимают промежуточные и приповерхностные зоны.

Высокотемпературные фации пропилитов, как это видно из описания опорных разрезов, лучше представлены в перангской и нагваревской свитах и в низах чадильской свиты в Аджарии и Гурии. Они характеризуются следующими типоморфными парагенезисами: I акт-эп-цо-кв-пт, II акт-эп-хл-кв-пт, III – акт-эп-аб-кв-ка-пт, IV эп-цо-хл-аб-кв-пт, V эп-ко-кв-пт, VI пр-эп-кв-аб-пт, VII пр-хл-пт, VIII ка-кв-пт.

Актинолит, эпидот и цоизит замещают как фемические минералы, так полевые шпаты и основную массу. Хлорит развит по основной массе и фемическим минералам (оливин, пироксен, амфиболы, биотит). Пренит фор-

мируется в основном по полевым шпатам. Примечательно, что с возрастанием роли пренита уменьшается количество эпидота, цоизита и кварца, причем, когда начинает преобладать пренит, кварц совершенно исчезает. Следует обратить внимание еще на одно любопытное явление: там, где туфы и туфобрекции чередуются с известковыми слоями в пропилитизированных породах эпидот и цоизит вытесняются карбонатом, который вместе с кварцем и пиритом образует типоморфный парагенезис породы (УШ). Кварц, участвующий в типоморфных парагенезисах высокотемпературных пропилитов, в том числе ассоциирующийся с карбонатом всегда высокотемпературен, то же касается альбита (см.табл.2).

В ряду вертикальной зональности следующая по глубинности фация - хлорит-альбитовая. Переход от эпидот-хлоритовой фации к хлорит-альбитовой постепенный. Постепенно уменьшается количество эпидота за счет хлорита, исчезает кварц. Есть случаи, когда переход в хлорит-альбитовую фацию от высокотемпературных фаций совершается через промежуточную интенсивную пренитизацию по плагиоклазу. Такая картина наблюдается в чидильской свите Аджарии (разрез по ущ.р.Кинтриши) и в Гурии (разрез по р.Губазеули). Здесь эпидот постепенно вытесняется пренитом, исчезает кварц, а выше наблюдается переход в хлорит-альбитовую фацию. Хлорит-альбитовая фация очень широко распространена во всей палеогеновой толще, она возможно уступает лишь цеолитовой. Эта фация характеризуется довольно выдержаным парагенезисом: I хл-аб-пт, реже встречаются парагенезисы II хл-аб-ка-пт, III хл-аб-сер-пт и IV хл-аб-сер-ка-пт. Карбонат и серцит всегда играют резко подчиненную роль.

При фоновой хлорит-альбитовой пропилитизации, даже в случае наиболее полного изменения породы всегда сохраняется первичная порфировая структура. Полевошпатовая фаза, в интенсивно пропилитизированных разновидностях полностью альбитизирована. Фемические минералы и основная масса замещены хлоритом. Встречаются пропилитизированные породы, в которых плагиоклаз одновременно альбитизирован и серпентинизирован, а хлоритизированный фемический минерал замещается также карбонатом. Некоторая карбонатизация характерна и для основной массы.

За хлорит-альбитовой зоной в ряду вертикальной зональности следует цеолитовая зона, которая состоит из цеолитовой и трансильванской (хлорит-карбонатовой) фации. Цеолитовая зона выявлена как в рифтогенных, так и в островодужных толщах. Если в глубинных и промежуточных зонах фоновой пропилитизации сохраняется первичная порфировая структура пород, то в цеолитовой зоне, в наиболее измененных участках та-ковая часто отсутствует. Полностью цеолитизированный плагиоклаз сливаются с основной массой. Иногда по плагиоклазу формируется адуляр. Неизмененными остаются лишь кристаллы фемических минералов (роговой обманки и авгита). В верхах палеогеновой толщи Аджарии и Месхетии

приповерхностная зона пропилитизации представлена двумя фациями: цеолитовой и хлорит-карбонатовой. Последняя – трансильванская по Коржинскому (1961) характеризуется значительной карбонатизацией и хлоритизацией основной массы, роговой обманки и аугита, и совершенно неизмененным плагиоклазом.

В западном сегменте цеолитовая зона развита по верхам чидильской свиты и по верхнезооценовой толще. В центральном сегменте она спускается ниже и охватывает большую часть чидильской свиты. В восточном сегменте цеолитизирована вся среднезооценовая и меловая толща.

Цеолитовая зона пропилитов, по сравнению с промежуточной и глубинной, имеет менее зеленокаменный облик. Хлориты, придающие породам зеленую окраску, здесь играют второстепенную роль и превалируют минералы гидрослюды. В верхах цеолитовой зоны наблюдается интенсивная аргиллитизация, возрастает содержание каолинита, монтмориллонита и иллита.

Переход от хлорит-альбитовой зоны в цеолитовую постепенный. На их границе развиты породы с альбитизированными фенокристаллами полевых шпатов и цеолитизированной – замещенной ломонитом и томсонитом основной массы.

Цеолитовая зона на разных участках региона неоднородна по составу минеральных парагенезисов.

В Аджарии по андезитам, трахиандезитам и их туфам, в адигенской и нададигенской свитах развиты следующие типоморфные парагенезисы: I лом-том-гру-хл-пт, II лом-гру-ка-пт, III лом-нат-гру-пт, IV лом-ски-хл-гру-пт, V ан-нат-хл-пт (каол.).

В южной Гурии гурийская подсвита чидильской свиты по трахитам развиты: I ад-лом-хл-пт, II нат-лом-ан-ад-гру-пт, III ан-ад-гру-хл-пт.

В северной Гурии (верхний эоцен – верхи среднего эоцена) по трахитам и трахитовым и трахиандезитовым туфам формируются парагенезисы: I ан-стб-том-ка-хл-гру-пт, II ад-це-хл-ка-хл-гру-пт, III ан-нат-том-стб-ка-гру-пт, IV мон-ил-хл-пт (ан-нат-том).

В Месхетии, по андезито-базальтам дмитровской (чидильской) свиты: I ге-мо-хл-пт, II том-лом-хл-пт, III лом-кц-хл-пт, IV ан-кц-ге-пт, V кл-мон-пт.

По андезитам адигенской свиты: I ге-том-пт, II ге-ан-гру-пт.

В Имеретии нерасчлененная палеогеновая толща (ущ. р. Зварула) по андезитовым туфам: I ан-ка-пт, II ан-хл-гру-пт, III ан-ка-хл-пт, IV ан-гру-пт, V ан-каол-гру-хл-пт, VI ан-нат-хл-гру-пт.

В районе Триалетского хребта по андезитам среднезооценовой толщи развиты следующие типоморфные парагенезисы: I лом-ан-хл-пт, II лом-гру-хл-пт, III ан-гру-хл-пт, IV ан-хл-пт, V лом-хл-пт.

В верхней части цеолитовой зоны в ряде случаев наблюдается теле-

скопирование аргиллизитами и постепенный переход в гидротермальные аргиллизиты. Аргиллизиты тяготеют к зонам дробления. В Аджарии превалируют аргиллизиты каолинитового типа, состоящие из минеральной ассоциации: каол-грс-кв-сер-пт. В северной Гурии и Месхетии превалируют монтмориллонитовые аргиллизиты, состоящие из мон-ил-хл-пт и мон-х-грс-пт.

3.3. Внутриинтрузивные и приконтактовые пропилиты

В палеогеновой вулканической толще западного и центрального сегмента была отмечена строгая вертикальная зональность в пропилитах. Последовательность зональности определялась фактором глубинности. Однако в Аджаро-Триалетии, как и в других регионах, на фоне приповерхностного процесса на уровне цеолитовой зоны появляются локальные участки, в которых выражена актинолитовая и эпидот-хлоритовая пропилитизация. Такие участки всегда ограничены районами распространения интрузивных тел и, по образному выражению М.М. Васильевского (1973), именуются "горячими пятнами".

В Аджаро-Триалетии интрузивные тела разного состава внедрены в палеогеновую толщу на разных уровнях, следовательно, они кристаллизовались под разным литостатическим давлением и соприкасались с вмещающими породами разного состава.

Важно подчеркнуть, что габброидные и габбромонцонитовые интрузии не встречаются выше среднеэоценовой базальтовой толщи, комагматами которой они являются. Одновременно среднекремнекислые диоритовые и сиенитовые тела секут и вышеэоценовые трахиандезит-андезитовые и трахитовые породы. Габбро-монцонитовые интрузии характеризуются приконтактовой и внутриинтрузивной высокотемпературной пропилитизацией. Среднекремнекислые тела, секущие комагматические им вышеэоценовые породы, также подвержены внутриинтрузивной пропилитизации, однако в их приконтактовых зонах развиты совершенно другие процессы: полевошпатовый метасоматоз, серicitизация, грейзенизация и аргиллитизация, о которых будет идти речь в последующих главах работы.

Как внутриинтрузивная, так и приконтактовая пропилитизация хорошо выражены в Зотской габбромонцонитовой, Кабурской и Хачковской габброидных интрузиях. Первая находится в западном сегменте и в ущ. р. Гу-базеули (Гурия), прорывает роговообманковые базальты чидильской свиты. Внутриинтрузивная пропилитизация по габбро Зотской интрузии выражена следующими минеральными ассоциациями: I акт-эп-кв-аб-ка-хл-пт, II акт-эп-ка-аб-кв-пт, III акт-эп-сер-кв-пт, IV акт-эп-до-аб-кв-пт, V эп-до-ка-хл-аб-кв-пт, VI акт-эп-до-аб-пт, VII акт-эп-хл-пт.

Пропилитизация распространяется и за пределами самого интрузивного тела. Она наложена как на приконтактовые роговики, так и на вмещающие базальты. Роговики представлены плагиоклаз-широксен-роговообман-

ковыми и плагиоклаз-биотит-роговообманковыми разновидностями. По ним развиты следующие типоморфные парагенезисы пропилитов: I акт-эп-кв-аб-пт, II эп-кв-аб-пт, III эп-кв-пр-пт.

Приконтактовая пропилитизация, наложенная на базальты, выражена парагенезисами: I акт-эп-пр-хл-кв-пт, II акт-эп-пр-хл-кв-пт, III акт-эп-пр-цо-хл-аб-кв-пт, IV акт-эп-хл-аб-пт, V акт-эп-цо-кв-аб-хл-пт, VI акт-эп-цо-аб-кв-пт, VII акт-цо-пр-аб-пт, VIII - акт-эп-пр-цо-хл-кв-сер-пт.

В приконтактовом ореоле пропилитов по зонам дробления развита серicitизация. Серicitизированные зоны представлены типоморфными парагенезисами: I кв-сер-хл-пт, II кв-сер-ка-хл-пт, III сер-кв-ка-цо-пт, IV сер-кв-ка-эп-цо-пр-пт.

VII парагенезис пропилитов и IV - серicitолитов составляют внешние зоны, связанные взаимоперходами.

По минеральному составу внутриинтрузивные пропилиты аналогичны приконтактовым. Разница лишь в том, что первые характеризуются значительной серicitизацией полевошпатовой фазы, тогда как в приконтактовых пропилитах серicitизация примурочена к зонам дробления и не характерна для собственно пропилитизированных участков.

Как видно из описания опорного разреза в ущ.р.Губазеули, приконтактовая пропилитизация Зотского интрузивного массива происходила на уровне глубинной эпидот-хлоритовой фоновой пропилитизации, и пропилитизированные ореолы интрузии отличаются от фона лишь по структурно-текстурным признакам и по интенсивности изменения.

Что касается приконтактовой пропилитизации Хачковского и Кабурского габброидных интрузивных тел, то здесь она наложена на фоновое хлорит-альбитовое изменение. Внутриинтрузивный процесс аналогичен зотскому, те же парагенезисы развиты и в приконтактовой зоне. Типоморфные парагенезисы пропилитов представлены следующими ассоциациями: I акт-эп-хл-аб-кв-пт, II эп-аб-ка-хл-пт, III эп-аб-кв-хл-пт, IV эп-аб-кв-пт.

Типоморфные парагенезисы зоны серicitизации: I кв-сер-ка-пт, II сер-кв-пт.

В данном случае высокотемпературная пропилитизация формирует т.н. "горячие пятна" на фоне среднетемпературной хлорит-альбитовой зоны и приконтактовые пропилиты отличаются от фоновых как по структурно-текстурному признаку, так и по составу.

"Горячие пятна" в Аджаро-Триалетии имеются и на менее глубинных уровнях.

Высокотемпературная пропилитизация развита по интрузивным телам Аджарии - Мерисское, Намонастревское, Чалатское, Учамское, Схалтинское и Верхнеаджарисцкальские интрузии. Эти тела внедрены в Адигенскую свиту, подвергнутую цеолитовой пропилитизации. Высокотемпературные парагенезисы, развитые по интрузивным телам, представлены: I акт-эп-хл-

аб-кв-пт, II эп-хл-аб-кв-пт, III эп-хл-пр-кв-пт.

Инtrузивные тела имеют, в основном, средний диорит-сиенит-диоритовый состав и пропилитизированы относительно слабо и неравномерно. Первичная гипидиоморфная и панидиоморфная структура сохранена полностью. По полевым шпатам развита альбитизация, пренитизация, иногда окварцевание. Пироксен-роговая обманка и биотит частично замещаются хлоритом, эпидотом, актинолитом. Изредка наблюдается карбонатизация полевошпатовой фазы и фемических минералов. Характерна некоторая пиритизация. Измененные подобным образом участки инtrузивных тел перемежаются с совершенно свежими участками. Примечательно, что тепловое воздействие инtrузивов распространено также на измененные приконтактовые ореолы и на фоне низкотемпературной цеолитовой пропилитизации в районах распространения инtrузивных тел появляются неравновесные эпидот и цоизит.

"Горячие пятна", подобные вышеописанным, имеются также в Гурии. в верхах чидильской свиты (гурийская подсвита) по инtrузивным телам Вакиджварской группы. Высокотемпературная пропилитизация, развитая по этим инtrузиям, аналогична Аджарским как по характеру, так и по минеральным парагенезисам.

3.4. Петрохимия процесса пропилитизации

Петрохимия пропилитизации изучалась методом сопоставления свежих (исходных) и измененных пород. Сопоставление производилось на основании петрохимических пересчетов по атомно-объемному методу (Казицин, Рудник, 1968). По результатам пересчета воспроизводилась картина миграции основных петрогенных компонентов в процессе пропилитизации, что играет немаловажную роль для понимания сущности процесса.

Высокотемпературные фации пропилитов актинолитовая и эпидот-хлоритовая, как фоновые, так и формирующие "горячие пятна" в отношении миграции основных петрогенных элементов проявляют следующие тенденции. Фоновые пропилиты характеризуются тенденцией привноса кремнезема, трехвалентного железа, алюминия и кальция. Остальные элементы ведут себя различно. В процессе высокотемпературной фоновой пропилитизации замещение преобладало над выщелачиванием, что выражено в положительном балансе миграции вещества, определяющим соотношение привноса-выноса основных петрогенных элементов, рассчитанных в интрамилях (табл.3-4, см.рис.20).

Привнос кремнезема минералогически выражен в формировании кварца. Привнос железа, алюминия и кальция - в значительной эпидотизации и хлоритизации породы. Кварц высокотемпературен по данным гомогенизации и декристаллизации газово-жидких включений; его Т образования $350 - 400^{\circ}\text{C}$. Близкие температуры дают эпидотовый ($360 - 470^{\circ}\text{C}$) и альбитовый термометры ($380^{\circ} - 450^{\circ}\text{C}$).

Таблица 3
Пропилиты актинолитовых эпидот-хлоритовых
фации (Урал)

Оксиды	Ис- ходные H-2543	Изменение						Атомы Н-2472	Миграция					
		II	III	IV	У	УI	УII		Ш	ШI	ШII	У	УI	УII
SiO ₂	51,30	46,82	47,85	46,25	56,26	49,73	50,92	Si	- 8,91	- 1,96	- 7,76	0,79	+ 23,23	+ 5,03
TiO ₂	0,46	0,75	0,63	0,68	0,52	0,62	0,77	Ti	+ 0,60	+ 0,35	+ 0,53	+ 0,14	+ 0,37	+ 0,11
Al ₂ O ₃	17,57	16,01	19,31	17,23	19,14	17,12	17,82	Al ₂	- 1,54	+ 8,61	+ 0,93	+ 8,52	+ 3,02	+ 4,24
Fe ₂ O ₃	3,27	8,96	3,67	5,49	4,33	3,27	4,10	Fe ₂	+12,14	+ 1,26	+ 4,62	+ 2,65	+ 0,42	+ 2,19
FeO	4,14	2,16	3,36	1,44	3,78	3,40	2,60	Fe ₁	- 3,92	+ 0,12	- 5,63	- 0,22	+ 1,04	- 7,47
MnO	0,17	0,18	0,10	0,10	0,14	0,14	0,24	Mn ₁	+ 0,18	- 0,02	- 0,03	+ 0,06	+ 0,09	+ 0,11
MgO	5,46	5,06	4,29	4,77	4,05	5,24	4,60	Mg ₁	- 0,23	- 3,49	- 1,92	- 4,34	- 0,39	- 2,09
Ca ₂ O	9,41	8,86	10,39	12,60	9,17	7,63	12,04	Ca ₁	+ 0,10	+ 4,37	+ 13,36	+ 1,03	+ 4,71	+ 10,70
Na ₂ O	2,70	2,70	4,20	2,20	4,80	2,60	2,50	Na ₁	+ 1,43	+ 9,18	- 1,52	+ 12,52	+ 1,14	- 0,17
K ₂ O	0,60	3,20	0,35	1,20	0,30	0,30	0,30	K ₁	+ 9,17	- 0,74	- 2,12	- 0,32	- 0,89	- 1,36
P ₂ O ₅	0,17	0,60	0,21	0,08	0,25	0,20	0,21	P ₁	+ 1,16	+ 0,26	- 0,05	+ 0,35	+ 0,25	- 0,03
H ₂ O	0,62	0,70	0,18	0,63	0,42	0,08	0,14	O	+29,303	+43,565	-12,99	+ 0,049	+97,56	+57,88
п.п.	3,88	3,90	4,56	7,23	4,66	3,96	5,18	OH	+ 0,29	- 8,97	- 1,44	- 4,80	- 10,97	- 9,90
сумма	33,75	33,70	99,90	99,73	99,81	99,83	99,76	даванс	+39,773	+59,415	-13,82	+15,822	+130,05	+51,20
d _v	2,55	2,72	2,70	2,65	2,77	2,72	2,78							

I - базальтовый туф, ср. зонен, чирильская свита, окр. Бахмачро, II - эп-хл-эп-
п-р-хл-к-п, III - эп-хл-пр-хл-п, IV - эп-пр-дко-п, V - эп-хл-б-г-п, VI - эп-

Химическое изменение в этой и других габброках, производилось в хим. лабораториях
Геологического института им. А.Джиннице АН ТССР и Управления геологии при ОМ ГССР. Анализчики:
Бутманович В.К., Митуашвили К.И., Коновалов М.Л., Исаевшили В.И., Сандозе Г.Г., Ареманов Р.Ш.,
Джадаев Н.Н., Геремах Э.Л., Абседзе Г.Г., Насладчанили Т.Н., Басиставели Л.М., Эсванян Л.К., Дар-

Опис.	Изменение										Металлургия									
	IX	X	XI	XII	XIII	XIV	XV	XVI	XVII	XVIII	Алюн	IX	X	XI	XII	XIII	XIV	XV	XVI	
H-2479	51,85	47,06	52,55	50,12	50,44	57,42	51,13	50,25	51,05	+16,00	+3,04	+15,92	+8,61	+6,97	-28,28	+11,41	+1,42	+2,49		
H-2480	0,70	0,46	0,42	0,70	0,77	0,62	0,33	0,43	0,44	Si	+0,57	+0,50	-0,04	+0,55	+0,55	-0,38	-0,23	-0,06		
TiO ₂	18,07	16,00	17,05	16,53	17,72	16,53	18,79	20,01	20,01	Ti	+7,23	+0,31	+2,61	+1,13	+3,96	+8,52	+8,96	+8,49		
Al ₂ O ₃	5,13	7,70	3,89	4,53	6,05	3,32	5,43	5,00	4,63	Fe	+4,79	+10,16	+1,87	+3,22	+4,14	+0,68	+5,11	+3,66		
Fe ₂ O ₃	2,14	0,54	2,88	3,50	2,50	2,60	2,34	3,06	3,06	Fe	-3,79	-7,57	-2,19	-0,73	-3,16	-2,82	-3,41	-2,13		
FeO	0,10	0,14	0,14	0,14	0,14	0,14	0,10	0,21	0,17	Mn	-0,15	+0,10	+0,10	+0,10	+0,10	-0,01	+0,26	+0,14		
MnO	5,04	0,47	4,74	7,14	3,32	3,89	3,47	5,67	3,85	Mn	+0,44	-19,08	-1,25	+8,76	-4,35	-4,76	-6,44	+1,40		
MgO	9,96	9,61	10,50	10,38	13,28	8,74	11,18	8,22	9,09	Ca	+4,41	+3,34	+5,37	+5,12	+13,03	+0,13	+7,51	-2,63		
CaO	3,00	0,50	1,60	1,60	1,80	2,20	3,40	2,50	2,70	Na	+3,59	-10,66	-4,27	-4,24	-3,33	-1,04	+5,46	-0,12		
Na ₂ O	0,50	2,40	0,50	0,30	0,30	0,40	0,50	0,50	0,50	K	-0,15	+6,70	-0,18	-0,30	-0,92	-0,54	+1,59	+0,72		
K ₂ O	0,18	0,07	0,07	0,13	0,26	0,16	0,23	0,04	0,16	P	-0,07	-0,06	+0,06	+0,06	+0,38	+0,14	+0,32	-0,15		
P ₂ O ₅	0,09	1,23	0,24	0,40	0,14	0,04	0,12	0,77	0	+84,685	+21,97	+68,98	+64,075	+62,111	+83,515	+75,935	+43,615			
H ₂ O	3,03	8,20	4,79	4,32	3,78	3,66	3,18	3,42	0H	-10,75	+10,63	-8,02	-5,06	-9,88	-11,70	-10,23	+1,05			
п.п.	сумма	100,09	99,77	99,79	100,10	99,68	98,81	100,23	99,83	данные	+106,80	+18,87	+78,84	+50,72	+69,20	+93,28	+36,86	+41,66		
d _r	2,82	2,81	2,76	2,77	2,76	2,77	2,76	2,72	2,62											

IX - эп-цо-пр-хл-кз-пг, X - эп-пр-хл-кз-пг, XI - эп-цо-хл-кз-пг, XII - эп-пр-хл-кз-пг, XIII - эп-пр-хл-кз-пг, XIV - эп-цо-хл-кз-пг, XV - эп-пр-хл-кз-пг, XVI - эп-пр-хл-кз-пг (гро).

Таблица 4

Пропилиты актинолитовой и эпидот-хлоритовой фации (Гурян)

Описание	Исход- ная Г-271	Изменение						Миграция						
		II Г-55	III Г-147	IV Г-179	V Г-267	VI Г-280	VII Г-282	Атомы	II	III	IV	V	VI	
SiO ₂	47,55	50,05	48,27	48,48	50,70	46,42	56,45	Si	+ 9,87	+ 7,90	+ 8,60	+II,19	+ 9,01	+21,24
TiO ₂	0,87	0,47	0,68	0,60	0,62	0,80	0,70	Ti	- 0,67	- 0,27	- 0,41	- 0,40	+ 0,03	- 0,29
Al ₂ O ₃	17,12	17,45	18,27	17,40	16,00	17,82	18,41	Al	+ 2,56	+ 5,95	+ 3,49	- 1,66	+ 7,21	+ 3,73
Fe ₂ O ₃	6,82	9,78	5,09	4,30	6,76	8,53	6,64	Fe ⁺⁺	+ 5,80	- 2,55	- 4,00	+ 0,28	+ 4,62	- 0,28
FeO	2,42	0,36	3,96	3,24	1,44	0,50	0,50	Fe ⁺	- 4,00	+ 3,44	+ 1,96	- 1,82	- 3,65	- 3,75
MnO	0,17	0,17	0,14	0,14	0,18	0,14	0,10	Mn	+ 0,01	- 0,04	- 0,04	+ 0,03	- 0,03	- 0,14
MgO	5,06	2,32	4,64	3,57	4,44	2,67	1,27	Mg	- 9,27	- 0,57	- 4,49	- 1,66	- 7,33	-13,19
CaO	9,29	8,10	7,54	6,63	8,62	11,72	3,32	Ca	- 2,28	- 3,34	- 5,72	- 0,98	+ 9,24	-14,92
Na ₂ O	1,20	2,80	4,80	4,20	4,40	1,00	6,90	Na	+ 7,69	+17,52	+14,68	+15,15	- 0,42	+25,96
K ₂ O	2,90	1,80	0,35	4,00	0,20	4,90	1,30	K	- 3,10	- 7,55	+ 3,96	- 8,03	+ 7,54	- 4,76
P ₂ O ₅	0,19	0,43	0,23	0,62	0,23	0,60	0,37	P	+ 0,50	+ 0,10	+ 0,92	+ 0,09	+ 0,94	+ 0,36
H ₂ O	1,53	1,50	0,65	0,50	1,10	0,67	1,06	O	+19,11	+18,52	+II,13	+15,78	+33,81	+22,93
п.п.п.	4,79	5,16	5,35	6,14	5,10	4,13	2,98	OH	+ 0,34	-13,17	-15,62	- 6,15	-12,29	- 7,27
сумма	99,91	102,39	99,97	99,82	99,69	99,90	100,00		+26,56	+25,94	+14,46	+21,81	+48,67	+29,60
d	2,33	2,47	2,46	2,40	2,58	2,34								

I - базальтовый туф, ср. аоцен, Чилийская свита, УДР. Гудзевуши, II - эб-эн-до-хл-
пт(грс), III - акт-эн-еб-хл-к-к-пт (лом- в промыслах), IV - эп-но-ка-хл-п-п (ин-
цел-грс), V - эп-хл-ас-пт, VI - эп-хл-аб-пт, VII - акт-эн-кв-эб-хл-п-п (грс).

Высокотемпературная пропилитизация "горячих пятен" имеет ту же тенденцию преобладания замещения над выщелачиванием, что также выражается в положительном балансе миграции вещества. Однако в отличие от фоновых пропилитов, здесь наблюдается четкая тенденция привноса лишь для кремнезема (табл.5, рис.21). Остальные петрогенные элементы ведут себя различно, не проявляя определенной тенденции. Зоны серицитизации, связанные с зонами дробления в приконтактовых высокотемпературных пропилитах (см.табл.5, рис.21), характеризуются тенденцией привноса калия и кремнезема.

Положительный, либо отрицательный баланс миграции вещества в гидротермальном процессе во многом зависит от поведения кремнезема. Последний во всех аломосилликатных породах превалирует над остальными петрогенными элементами и даже сравнительно небольшой процент его привноса или выноса предопределяет тенденцию замещения или выщелачивания.

Хлорит-альбитовая фация, формирующая промежуточную зону в пропилитах, в отличие от высокотемпературной, характеризуется отрицательным балансом миграции вещества и, следовательно, тенденцией выщелачивания. Для этой фации характерен вынос кремнезема и полное отсутствие кварца. Остальные петрогенные элементы, не проявляя определенной тенденции, ведут себя различно (см.табл.6-9, рис.22-24).

Приповерхностная цеолитовая фация пропилитов формируется вследствие наиболее интенсивного выщелачивания и характеризуется очень высоким отрицательным балансом миграции вещества (см.табл.10,рис.22-24). Цеолитовая пропилитизация в целом проявляет тенденцию выноса кремнезема и титана, привноса или выноса щелочей в зависимости от состава преобладающего в породе цеолита.

Пропилиты трансильванского типа, чередующиеся с цеолитовыми, в целом тоже характеризуются значительным выщелачиванием и отрицательным балансом привноса-выноса основных петрогенных элементов. Как и в случае цеолитовых пропилитов, выносится кремнезем. Специфической чертой этой фации является тенденция значительного привноса кальция и трехвалентного железа и выноса щелочных металлов натрия и калия (табл.10). Такой характер миграции вещества минералогически выражен в интенсивной карбонатизации и хлоритизации.

Гидротермальные аргиллизиты, широко распространенные в цеолитовой зоне, характеризуются наиболее интенсивным выщелачиванием. Все основные петрогенные элементы проявляют тенденцию выноса, за исключением железа, что выражается в значительной пиритизации аргиллитированных зон (табл.11, см.рис.25).

Как видим, пропилиты характеризуются внутриформационным перераспределением основных петрогенных элементов с тенденцией привноса в

Таблица 5

Приконтактовые метасоматиты Зотской интрузии

Оксиды	Изменение						Атомы	Метропиля						
	Исход.	II	III	IV	V	VI	VII	VIII	II	III	IV	V	VI	
SiO ₂	50,00	55,85	53,46	47,90	54,70	50,30	49,02	60,44	Si	+17,09	+23,06	+ 9,98	-15,32	+12,96
TiO ₂	0,54	0,42	0,35	0,51	0,60	0,75	0,75	0,40	Ti	- 0,20	- 0,27	+ 0,07	- 0,11	+ 0,52
Al ₂ O ₃	17,00	15,31	11,58	17,92	16,18	16,00	18,79	17,40	Al	- 3,87	-11,71	+ 9,24	-11,65	+ 1,74
Fe ₂ O ₃	5,23	1,59	6,59	5,64	10,58	4,37	5,47	3,57	Fe	- 6,56	+ 3,84	+ 2,06	+ 5,85	- 0,77
FeO	3,24	3,42	2,88	3,60	0,54	4,32	4,32	1,62	Fe	+ 0,51	- 0,07	+ 1,68	- 5,68	+ 3,06
MnO	0,18	0,14	0,28	0,14	0,14	0,14	0,14	0,10	Mn	- 0,08	+ 0,27	- 0,04	- 0,37	- 0,05
MgO	5,30	2,94	3,17	4,76	2,94	6,75	5,89	1,75	Mg	- 8,28	- 6,38	+ 0,28	-10,65	+ 7,68
CaO	8,08	6,52	8,16	8,84	0,55	8,39	8,39	5,75	Ca	- 3,68	+ 2,61	+ 4,95	-19,81	+ 2,99
NaO	3,50	1,70	0,20	3,30	0,30	2,60	2,80	4,60	Na	- 8,27	-15,38	+ 1,07	-15,30	- 3,00
K ₂ O	2,60	2,80	2,30	1,30	3,70	1,70	0,30	1,30	K	+ 0,81	- 0,12	- 3,49	+ 1,09	- 2,25
P ₂ O ₅	0,35	0,39	0,23	0,23	0,57	0,34	0,06	0,18	P	+ 0,10	- 0,19	- 0,18	+ 0,22	+ 0,05
H ₂ O	0,23	1,03	0,60	0,42	1,45	0,37	0,24	0,35	O	+ 9,77	+25,50	+44,25	-55,51	+41,04
п.п.п.	3,57	7,61	9,88	5,08	7,35	3,70	3,01	2,39	OH	+13,28	+ 7,07	+ 3,95	+54,29	+ 2,86
сумма	99,82	99,72	99,68	99,70	100,14	99,73	99,74	99,95	交代анс	+10,61	+28,22	+73,83	-72,97	+66,84
d ₁	2,41	2,46	2,68	2,72	1,93	2,65	2,66	2,68					+71,78	+104,20

I - базальт, ср. зонен, Мидильская свита, ул. р. Губазеузы, II - из-сер-хл-пг,

III - сер-хв-из-хл-пг (грс), IV - ал-хл-из-сер-пг, V - из-сер-пг (грс),

VI - акт-эн-пр-хл-из-пг (грс), VII - акт-эн-пр-хл-из-пг.

Оксиды	Изменение							Атомы	Магнитика						
	X	XI	XII	XIII	XIV	XV	XVI		IX	X	XI	XII	XIII	XIV	XV
Исходная IX	3324	3328	3335	3344	3346	3355	3366	Si	+27,64	+17,60	+51,19	+30,87	+24,06	+12,99	+9,14 +14,55
TiO ₂	0,62	0,60	0,35	0,33	0,67	0,75	0,60	Ti	+0,29	+0,24	-0,30	-0,28	+0,39	+0,58	+0,41 +0,12
Al ₂ O ₃	15,66	16,88	16,70	14,44	14,27	14,62	21,05	Al	+1,76	+5,42	+2,44	-2,59	-0,85	+6,70	+2,09
Fe ₂ O ₃	4,35	3,73	2,13	2,73	5,13	7,03	5,59	Fe ⁺⁺	-0,61	-1,92	-5,37	-3,72	+1,01	+5,05	+6,38 +0,68
FeO	3,06	5,76	0,36	3,24	3,06	2,34	2,88	Fe ⁻	+0,41	+6,49	-5,73	+1,09	+0,43	-1,15	-2,38 -1,25
MnO	0,10	0,14	0,03	0,14	0,10	0,03	0,07	Mn	-0,14	-0,05	-0,30	-0,03	-0,14	-0,30	-0,25 +0,04
MgO	5,88	4,21	0,55	8,26	6,51	8,97	3,35	Mg	+4,74	-2,12	-17,00	+15,64	+7,36	+17,81	+2,55 -4,05
CaO	6,30	4,64	5,08	7,62	7,18	4,75	8,84	Ca	-2,57	-7,48	-6,87	+2,10	+0,04	-6,89	-9,48 -0,10
Na ₂ O	4,40	4,20	5,80	4,10	2,70	2,10	3,40	Na	+6,81	+5,64	+12,68	+6,02	-2,14	-5,18	+8,32 -15,38
K ₂ O	0,70	2,00	1,00	1,70	2,30	2,60	2,00	K	-5,60	-1,11	-4,73	-1,90	-0,02	+1,14	+0,11 +6,85
P ₂ O ₅	0,46	0,57	0,13	0,41	0,41	0,67	0,46	P	+0,34	+0,59	-0,43	+0,26	+0,23	+0,62	+0,57 +0,18
H ₂ O	0,21	0,30	0,25	0,36	0,41	0,31	0,40	O	+61,55	+42,37	+70,63	+77,97	+45,55	+43,42	+36,83 +27,37
п.п.	3,43	5,70	1,01	2,64	3,81	7,21	2,64	OH	+0,10	+1,71	+0,60	+3,07	+3,75	+2,00	+4,08 +5,60
сумма	99,77	99,89	99,94	99,77	99,91	99,79	99,73	Оксиды	+94,73	+67,38	+96,76	+130,64	+87,96	+69,22	+62,96 +36,89
d _f	2,71	2,70	2,58	2,81	2,72	2,75	2,76								

I табл: IX - эп-эп-хл-кв-пг, X - эп-пр-хл-ка, сер-му, кв-вб-пг, XI - кв-вб-эм-эм-пг, XII - ант-ан-пр-вб-пг, XIII - ант-эм-цо-кв-вб-ха-пг, XIV - ант-эм-цо-вб-кв-пг (грс), XV - кв-кв-хл-чи (грс).

(продолжение)

Окислы	Изменение						Атомы	Маргашая							
	XVII	XVIII	XIX	XX	XXI	XXII		XVII	XVIII	XX	XXI	XXII	XXIII		
SiO ₂	50,04	52,31	51,22	68,05	74,20	49,04	40,93	Si	+23,67	+13,80	+50,78	+69,03	-23,42	-18,12	-18,49
TiO ₂	0,54	0,35	0,65	0,27	0,15	0,82	0,67	Ti	-0,25	+0,30	-0,47	-0,69	+0,24	+0,28	+0,28
Al ₂ O ₃	15,83	9,57	14,96	14,10	1,22	13,40	19,66	Al	-17,30	-2,08	-6,54	-44,83	-17,07	+9,76	+9,64
Fe ₂ O ₃	5,00	9,59	5,02	0,51	12,97	3,09	4,89	Fe	+10,43	+0,42	-8,55	+15,47	-4,90	-0,28	-0,08
FeO	2,34	0,72	2,16	0,54	0,36	2,34	4,14	Fe	-4,89	-1,80	-5,42	-5,78	-2,66	+2,14	+3,23
MnO	0,18	0,32	0,10	0,05	2,15	0,10	0,14	Mn	+0,38	-0,15	-0,26	+4,30	-0,20	-0,07	-0,06
MgO	3,73	1,69	6,57	1,35	1,74	8,33	6,98	Mg	-12,15	+6,66	-14,04	-12,47	+5,59	+7,03	+7,07
CaO	7,18	9,49	13,04	4,97	1,10	10,94	6,41	Ca	+7,17	+15,82	-7,51	-17,93	+2,37	-3,69	-3,70
Na ₂ O	0,20	0,30	2,90	2,20	0,10	1,00	0,20	Na	-14,82	-1,62	-5,66	-15,93	-12,57	-15,45	-15,23
K ₂ O	4,30	3,00	0,30	3,10	0,20	1,40	3,80	K	+2,56	-7,02	+1,96	-7,38	-4,47	+4,16	+4,14
P ₂ O ₅	0,39	0,28	0,18	0,05	нет	0,51	сл.	P	-0,06	-0,32	-0,61	-0,72	+0,14	-0,72	+0,71
H ₂ O	0,52	0,40	0,73	0,30	1,90	2,19	0,90	O	+22,60	+45,69	+45,54	+61,67	-69,70	-17,79	-22,52
П.п.п.	9,58	11,64	1,95	4,56	3,70	6,59	10,98	OH	+3,67	+9,11	-3,71	+28,76	+25,36	+II,38	+II,38
Сумма	99,58	99,66	99,78	100,05	99,79	99,75	99,70	баланс	+21,01	+76,80	+45,52	+73,48	-101,30	-21,36	-46,15
d _r	2,70	2,75	2,62	2,52	2,55	1,98	2,50								

XVII - сер-хл-ка-ка-пг (грс), XVIII - сер-кв-ка-пг (грс), XIX - акт-эп-пр-цо-хл-аб-кв-пг, XX - кв-сер-ка-пг, XXI - кв-сер- гидроокись железа и марганца, XXII - акт-эп-хл-вб-пг (грс), XXIII - сер-грс-ск-пг.

Таблица 6

Пропеллы хлорит-альбитовых фации (Азария)

Исход- ный окислы	I	Изменение								Магнитные										
		II	III	IV	V	VI	VII	VIII	IX	X	Атомы	II	III	IV	V	VI	VII	VIII	X	
SiO ₂	58,23	59,65	55,85	54,74	59,01	58,12	47,50	45,34	43,34	47,11	Si	- 6,30	- 6,60	- 18,52	+ 4,36	- 1,26	- 31,34	- 33,60	- 45,72	- 32,32
TiO ₂	0,57	0,63	0,55	0,55	0,35	0,50	0,85	0,70	0,53	0,83	Ti	+ 0,04	- 0,04	- 0,10	- 0,43	- 0,14	+ 0,53	+ 0,27	- 0,13	+ 0,49
Al ₂ O ₃	17,80	17,90	18,75	17,80	17,90	17,05	16,20	16,01	15,18	17,05	Al	- 3,26	+ 2,94	- 3,50	+ 1,13	- 2,71	- 5,22	- 5,06	- 10,64	- 3,39
Fe ₂ O ₃	4,00	3,47	3,69	6,54	2,37	4,25	5,82	0,36	3,16	5,32	Fe	- 1,51	- 0,63	+ 4,32	- 3,32	- 0,45	+ 3,44	- 7,39	- 2,01	+ 2,47
FeO	2,08	1,36	3,38	1,00	2,59	1,22	5,30	7,74	2,08	5,40	Fe	- 1,51	+ 2,92	- 2,57	+ 1,23	- 1,95	+ 7,02	+ 12,91	- 0,22	+ 7,25
MnO	0,14	0,07	0,07	0,25	0,14	0,10	0,21	0,14	0,63	0,10	Mn	- 0,17	- 0,16	+ 0,21	- 0,004	- 0,09	+ 0,15	+ 0,002	+ 1,04	- 9,55
MgO	3,32	2,07	3,83	4,23	3,26	3,37	3,50	3,57	4,09	4,00	Mg	- 5,54	+ 2,02	+ 2,60	- 0,05	- 8,87	+ 0,45	+ 1,01	+ 2,30	+ 2,43
CoO	7,88	2,04	6,52	5,09	4,51	3,05	8,43	9,38	14,60	7,29	Co	- 17,26	- 3,35	- 8,96	- 9,54	- 13,99	+ 1,12	+ 6,32	+ 17,37	- 2,09
Na ₂ O	2,40	5,00	2,80	4,70	4,30	4,40	2,10	2,90	2,20	4,42	Na	+ 11,94	+ 2,07	+ 10,49	+ 10,24	+ 10,31	+ 1,77	+ 2,75	- 1,60	+ 10,12
K ₂ O	1,10	4,70	1,60	0,50	2,00	4,70	1,60	2,20	2,60	1,72	K	+ 11,36	+ 1,71	- 2,17	+ 3,19	+ 12,27	+ 1,61	+ 3,86	+ 4,72	+ 2,02
P ₂ O ₅	0,29	0,29	0,25	0,36	0,25	0,32	0,50	0,39	0,3	0,23	P	- 0,04	- 0,09	+ 0,10	- 0,08	+ 0,06	+ 0,45	+ 0,24	+ 0,12	- 0,14
H ₂ O	0,70	0,57	0,56	1,18	0,33	0,51	0,92	0,80	0,62	0,34	O	- 34,42	- 8,59	- 37,50	- 6,59	- 16,41	- 53,87	- 60,45	- 89,32	- 50,13
п.п.	0,30	1,73	1,98	3,10	2,39	2,03	6,73	9,52	10,72	5,58	OH	- 2,98	- 2,53	+ 5,63	- 6,56	- 3,47	+ 3,64	+ 1,32	- 1,97	- 6,58
Сумма	99,65	100,19	100,32	99,76	99,56	100,11	99,89	100,43	100,07	99,94		- 49,96	- 10,94	- 49,97	- 0,21	- 20,63	- 74,59	- 77,37	- 126,0	- 74,97
d _v	2,68	2,51	2,69	2,53	2,72	2,60	2,64	2,71	2,57	2,64										

I - Иллюзант, ср. зооцен, Чилийская синева, У.р. Альваресчили, II - вб-хл-пг (грс), III - вб-хл-кк-пг (грс), IV - вб-хл-пг, V - вб-хл-пг (грс), VI - вб-хл-сер-пг, VII - вб-хл-кк-пг (грс), VIII - вб-хл-кк-пг (грс), IX - вб-хл-кк-пг (грс, сер.).

(приложение)

Оксиды	Изменение									Маркация									
	XI	XII	XIII	XIV	XV	XVI	XVII	XVIII	XIX	XI	XII	XIII	XIV	XV	XVI	XVII	XVIII	XIX	
SiO ₂	59,02	58,09	45,16	49,60	53,53	51,00	56,37	60,31	61,15	Si	- 0,56	-16,56	-43,18	-22,14	-16,38	-20,88	-11,81	+ 4,12	- 1,40
TiO ₂	0,77	0,60	0,70	0,55	0,55	0,45	0,50	0,50	0,50	Ti	+ 0,38	- 0,06	+ 0,17	+ 0,27	- 0,07	+ 0,14	- 0,09	- 0,25	- 0,19
Al ₂ O ₃	14,96	15,53	16,53	15,13	15,83	19,50	17,40	15,49	15,67	Al	-13,46	- 7,48	- 8,09	- 7,51	+ 4,77	- 4,21	- 7,79	- 9,57	- 2,22
Fe ₂ O ₃	4,22	3,54	8,06	5,60	3,93	2,36	2,53	0,50	3,08	Fe	+ 0,30	- 1,67	+ 7,16	+ 3,34	- 0,22	- 3,77	- 3,25	- 7,10	- 1,24
FeO	2,52	2,70	4,74	3,78	3,96	1,98	1,62	1,62	Fe	+ 0,30	+ 0,76	+ 4,03	+ 3,90	+ 2,04	+ 4,14	- 0,46	- 0,26	- 5,02	- 0,16
MnO	0,07	0,07	0,14	0,10	0,14	0,07	0,17	0,10	0,07	Mn	- 0,16	- 0,18	- 0,02	- 0,08	- 0,08	- 0,16	+ 4,78	- 0,09	- 3,29
MgO	2,17	2,17	4,19	7,37	4,83	1,90	2,70	2,09	2,65	Mg	- 4,77	- 5,52	+ 2,39	+ 18,94	+ 5,58	- 5,78	- 3,07	- 9,26	- 13,21
CaO	5,38	3,94	8,63	8,63	9,08	6,00	5,00	4,71	3,50	Ca	- 7,48	- 7,37	+ 0,53	+ 2,37	+ 2,81	- 5,61	- 9,08	+ 3,51	+ 0,77
Na ₂ O	3,20	3,60	3,10	2,60	3,20	3,30	4,60	3,10	2,70	Na	+ 3,90	+ 4,32	+ 2,60	+ 1,16	+ 1,13	+ 4,53	+ 10,22	+ 6,44	+ 5,85
K ₂ O	1,30	2,83	1,00	1,00	1,30	3,00	1,50	3,00	1,50	K	+ 2,64	+ 4,34	+ 1,36	- 0,31	+ 0,57	+ 6,43	+ 1,10	+ 0,04	- 35,23
P ₂ O ₅	0,32	0,13	0,20	0,20	0,23	0,43	0,36	0,31	0,19	P	+ 0,05	- 0,39	- 0,23	+ 0,06	- 0,15	+ 0,31	+ 0,11	- 26,66	- 35,23
H ₂ O	1,06	0,23	1,77	0,32	1,34	0,79	0,67	0,43	0,84	O	- 89,07	- 69,03	- 69,59	- 38,69	- 39,79	- 42,22	- 4,93	+ 1,67	- 47,28
п.п.п.	3,94	4,91	3,53	3,56	3,54	6,79	5,29	6,81	4,54	OH	+ 6,15	- 8,87	+ 17,15	- 6,78	+ 10,90	+ 1,47	- 1,16	- 58,38	- 53,80
сумма	99,53	99,94	95,57	99,28	99,62	99,75	99,62	99,28	99,61	баланс	-101,18	-113,10	-85,10	-36,12	-33,01	- 53,80	- 63,91	- 47,28	
d ₅	2,64	2,42	2,52	2,77	2,62	2,66	2,54	2,66	2,53										

I - 86-К-К-Л (лов), II - 86-Х-П (гро), III - 86-86-П (гро),
 IV - 86-Х-86-П, V - 86-86-П (лом), VI - 86-86-Х-П (сер, гро),
 VII - 86-Х-Х-П (Х, сер), VIII - 86-Х-Х-П (гро).

Таблица 7

Пропилиты хлорит-альбитовой фации (Гурия)

Оксиды	Изменение					Атомы	Миграция							
	Исходная I 5306	II Г-64	III Г-80	IV Г-84	V Г-87		II	III	IV	V	VI	VI		
SiO ₂	49,18	45,30	51,92	45,00	44,65	53,02	46,43	- 9,64	- 3,95	-14,49	-13,70	+ 9,03	- 3,38	
TiO ₂	0,57	0,50	0,60	0,60	0,65	0,60	0,90	- 0,13	- 0,03	+ 0,01	+ 0,12	+ 0,05	+ 0,67	
Al ₂ O ₃	12,20	15,66	17,05	16,33	15,13	17,45	16,20	+10,14	+10,05	+10,37	+ 7,61	+15,19	+13,15	
Fe ₂ O ₃	5,49	8,32	6,13	7,77	8,75	5,26	7,56	+ 5,29	+ 0,24	+ 3,74	+ 5,74	- 0,47	+ 4,29	
FeO	1,24	2,16		1,80	1,62	0,39	2,60	+ 1,91	- 2,58	+ 1,03	+ 0,71	- 1,77	+ 2,99	
MnO	0,17	0,21	0,17	0,25	0,21	0,21	0,17	+ 0,08	- 0,03	+ 0,14	+ 0,07	+ 0,08	+ 0,01	
MgO	8,15	6,27	2,73	4,42	7,10	1,98	5,37	Mg ₉	- 6,97	-20,93	-14,42	- 4,47	-22,89	- 9,70
CaO	13,84	8,85	3,32	8,97	8,08	2,98	7,08	Na ₆	-13,29	-28,76	-13,84	-15,82	-28,96	-17,44
Na ₂ O	0,40	3,10	6,80	3,80	3,80	6,30	1,80	K	+13,02	+28,13	+15,73	+15,99	+28,33	+ 7,01
K ₂ O	3,80	2,70	2,70	2,40	1,00	4,00	4,10	K	- 5,39	- 4,20	- 4,72	- 8,35	+ 0,59	+ 1,34
R ₂ O ₅	0,32	0,43	0,60	0,46	0,32	0,37	0,85	R	+ 0,23	+ 0,48	+ 0,26	- 0,01	+ 0,10	+ 1,17
H ₂ O	1,36	1,25	1,33	0,59	3,70	0,88	1,42	O	-11,18	-32,84	-35,19	- 4,42	- 2,58	+ 4,64
п.п.	3,26	5,27	5,61	7,61	5,16	6,12	5,36	OH	- 1,82	- 2,34	-13,13	+37,48	- 8,02	+ 1,87
сумма	99,98	100,27	98,96	100,00	100,17	99,56	99,84	баланс	-17,74	-56,76	-64,46	+20,35	-11,31	+ 6,62
d ₅	2,48	2,53	2,25	2,39	2,43	2,46	2,55							

I - базальтовый тгф, ср. зоцен, Гурийская подсвита, ю. р. Губазеули,
 II - аб-хл-шт (грс-ан), III - хл-с-б-шт (грс), IV - аб-хл-ка-шт (нат-
 лом), V - хл-аб-шт (грс), VI - аб-хл-шт (грс-кв), VII - аб-хл-шт (це-грс).

I - базальтовый тюфяк, ср. зоны, горный подъем, Уч.-Р. Губаевский,
 II - аб-хл-пг (грн), III - аб-хл-пг, IV - вб-хл-пг (эн-це-вог),
 V - вб-хл-сар-на-пг (грн), VI - вб-хл-пг (ан-це-вог), VII - вб-хл-пг
 (грн-ен), VIII - аб-хл-пг (грн).

Таблица 8

Пропилит хлорит-альбитовой фации (Гурни)

Оксиды	Изменение								Миграция							
	I	II	III	IV	V	VI	VII	VIII	Atoms	II	III	IV	V	VI	VII	VIII
SiO ₂	47,77	45,97	44,02	45,37	47,46	46,48	49,45	43,31	Si	-16,98	-18,06	-18,78	-6,70	-13,55	-7,15	-21,19
TiO ₂	0,87	0,70	0,70	0,65	0,65	0,80	0,70	0,70	Ti	-0,49	-0,44	-0,58	-0,58	-0,03	-0,05	-0,46
Al ₂ O ₃	13,39	15,48	16,00	17,25	13,40	14,84	18,86	12,42	Al	+ 1,90	+ 4,80	+ 6,88	+ 1,32	+ 0,09	+ 12,27	+ 6,18
FeO	6,73	8,05	8,12	7,45	6,50	5,23	4,33	7,56	Fe	+ 1,11	+ 1,75	-0,04	-1,07	-3,32	-5,68	+ 0,51
Fe ³⁺ O	2,16	1,98	1,62	1,80	3,96	4,41	2,16	2,50	Fe	-0,84	-1,47	-1,23	+ 3,68	+ 4,32	-0,04	+ 0,35
MnO	0,14	0,21	0,21	0,17	0,14	0,25	0,14	0,14	Mn	+ 0,11	+ 0,13	+ 0,03	-0,01	+ 0,02	-0,02	-0,02
MgO	9,52	5,79	5,35	3,79	6,25	7,56	3,14	12,12	Mg	-17,39	-18,33	-24,75	-14,40	-10,38	-25,97	+ 6,75
CaO	8,84	9,06	10,80	9,31	9,52	7,27	5,85	10,95	Ca	-1,91	+ 3,64	-1,33	+ 0,72	-6,26	-10,20	+ 3,69
Na ₂ O	2,24	3,00	3,00	4,80	3,40	3,59	5,70	0,70	Na	+ 2,48	+ 2,97	+ 10,98	+ 5,30	+ 5,61	+ 15,62	- 4,41
K ₂ O	2,60	3,20	1,50	1,00	3,40	3,89	2,50	2,30	K	+ 1,01	- 4,16	- 5,90	+ 2,24	- 6,18	- 1,10	- 1,66
P ₂ O ₅	0,49	0,55	0,64	0,60	0,54	0,79	0,65	0,41	P	+ 0,02	+ 0,24	+ 0,12	+ 0,05	+ 0,23	- 0,26	- 0,26
R ₂ O	1,18	1,18	1,72	F,40	0,62	1,56	0,20	1,80	O	-49,72	-39,00	-52,17	-30,36	-43,19	-42,36	-42,36
П.п.п.	3,60	4,82	6,54	6,28	4,18	6,24	5,80	4,94	OH	-2,07	+ 7,75	+ 1,47	-10,67	+ 4,64	-18,10	+ 8,73
Сумма	99,53	99,99	100,22	99,87	100,02	99,91	99,75	99,85	баланс	-62,79	-53,98	-45,28	-53,65	-43,32	-84,19	-60,52
d _v	2,70	2,45	2,54	2,44	2,59	2,50	2,47	2,50								

Таблица 9

Проплавлены хлорат-алюминовой пастой (Мехетия)

Основы	Исходная	Изменение			Изменение			Изменение			Изменение			Изменение			Изменение			Изменение			Изменение				
		I	II	III	IV	V	VI	VII	VIII	IX	X	XI	XII	XIII	XIV	XV	XVI	XVII	XVIII	XIX	XII	XIII	XIV	XV	XVI	XVII	XVIII
SiO ₂	390	227	232	519	264	273	362	575 ^a	575	56,43	-2,87	-2,75	-5,86	-28,39	-6,93	-7,60											
TiO ₂	48,66	47,00	46,55	52,81	54,47	53,51	58,10	57,46	56,43	0,65	+ 0,43	+ 0,61	+ 0,43	+ 0,46	- 1,79	- 1,71											
Al ₂ O ₃	0,87	0,97	1,15	0,47	0,67	0,80	1,50	0,62	0,65	- 6,71	+ 4,76	+ 4,64	- 9,17	- 3,27	- 2,02												
Fe ₂ O ₃	16,83	14,36	17,68	18,19	19,04	17,00	16,15	15,64	15,84	4,46	- 6,23	- 0,70	- 1,55	+ 3,08	+ 0,26	- 0,97											
FeO	4,99	8,28	4,41	5,19	4,22	7,66	3,21	3,45	2,78	Fe	- 1,42	+ 2,61	+ 2,11	- 5,83	- 1,53	- 0,22											
MnO	3,24	2,52	4,32	4,04	4,86	5,56	5,04	5,58	5,58	Mn	+ 0,19	- 0,20	+ 0,009	- 0,10	+ 0,06	- 0,007											
MgO	0,05	0,14	0,14	0,11	0,11	0,07	0,14	0,17	0,14	Mg	+ 0,33	- 1,44	- 0,32	- 1,87	- 1,21	+ 2,54											
CaO	4,68	4,72	4,10	2,46	2,29	2,21	2,24	2,00	2,96	Ca	+ 3,81	+ 2,38	- 4,12	- 7,88	- 1,17	+ 0,78											
Al ₂ O ₃	6,41	7,78	7,00	7,60	5,96	5,28	3,91	3,62	4,28	Al	- 7,45	- 4,44	+ 3,76	- 6,81	+ 5,74	+ 6,58											
Na ₂ O	4,80	3,20	3,70	4,50	3,60	3,50	3,80	3,10	5,20	Na	- 2,79	- 0,27	+ 0,60	- 0,79	+ 1,53	+ 0,73											
K ₂ O	1,80	0,90	1,64	2,20	2,30	2,20	3,60	4,20	3,90	K	+ 0,05	- 0,31	- 0,18	- 0,06	- 0,06	- 0,06											
P ₂ O ₅	0,16	0,18	0,01	0,12	0,21	0,30	0,30	0,30	0,28	P	- 19,87	+ 12,36	- 7,94	- 59,34	- 20,30	- 15,77											
H ₂ O	1,43	4,53	1,88	2,30	2,52	6,12	0,55	0,80	0,65	O	- 23,41	+ 8,75	+ 5,29	+ 52,97	+ 3,91	+ 1,51											
П.П.Н.	6,19	5,39	7,28	0,26	0,28	0,18	0,75	1,40	1,27	OH	- 53,172	+ 24,39	- 10,66	- 62,48	- 24,75												
сумма	100,II	99,97	99,86	100,34	100,34	99,81	99,81	99,95	99,95	баланс																	
d _r	2,45	2,47	2,54	2,53	2,65	2,26	2,62	2,53	2,57																		

I - Базальтовый туф, ср. золен., Красногорская синта, ул. р. Красногорск, II - Альбиг-Базальт, Альбиг-Базальтова синта, ул. р. Красногорск, J - аб-хл-пг, У - аб-хл-пг (48), УП - Альбиг, Р - Красногорская синта, ул. р. Красногорск, УН - аб-хл-пг (гр-де).

Таблица 10

Пропеллы цементовой фазы (Алмаз)

Оксиды	Исходная	Изменение						Магнитные					
		I	II	III	IV	У	VI	VII	VIII	IX	X	XI	УІІ
SiO ₂	54,00	53,33	59,32	51,09	54,36	57,05	62,26	62,98	-21,84	-1,74	-22,36	-17,37	+ 8,90 + 8,92
TiO ₂	0,69	0,50	0,50	0,50	0,57	0,65	0,50	0,50	-0,53	-0,50	-0,50	-0,39	-0,26 - 0,47 - 0,48
Al ₂ O ₃	16,73	18,14	17,05	17,20	16,70	15,76	17,05	17,05	-3,44	-4,51	-4,17	6,75	-10,00 - 3,43 - 4,00
FeO ₃	3,15	4,23	4,12	3,27	3,44	3,57	2,26	1,50	+ 1,04	+ 1,15	-0,44	-0,27	-0,12 - 2,22 - 3,70
FeO	4,60	4,03	2,08	4,46	2,73	2,06	1,72	2,08	-2,58	-6,28	-1,37	-4,97	-6,48 - 6,96 - 6,23
MnO	0,14	0,21	0,07	0,10	0,10	0,14	0,10	0,10	+ 0,10	-0,18	-0,12	-0,12	-0,04 - 0,11 - 0,17
MgO	3,45	4,27	2,33	3,50	3,66	4,05	2,37	1,77	+ 0,97	-5,55	-1,26	-0,98	+ 0,24 - 5,22 - 7,55
CaO	3,42	3,50	4,62	8,32	8,32	7,76	4,62	4,82	Ca	-7,07	-3,72	+ 6,05	1,54 + 3,84 - 3,46 - 3,06
Na ₂ O	4,40	3,10	3,10	2,46	2,30	2,00	2,40	4,00	Na	-9,19	-8,60	-11,70	-12,72 -14,24 -11,71 - 4,08
K ₂ O	2,40	2,90	2,10	1,30	1,10	0,80	2,90	1,90	K	+ 0,37	-1,79	-4,33	-5,04 - 5,99 + 0,98 - 2,36
P ₂ O ₅	0,13	0,34	0,32	0,29	0,50	0,23	0,25	0,27	P	+ 0,38	+ 0,36	+ 0,30	+ 0,72 + 0,16 + 0,23 + 0,27
H ₂ O	0,30	0,92	0,80	1,25	0,87	1,02	0,66	0,31	O	-55,86	-25,68	-49,03	-49,44 -47,79 - 9,36 -14,43
п.п.п.	4,59	3,80	2,94	5,47	4,93	5,98	2,78	3,02	OH	+ 9,07	+ 7,71	+15,11	+ 8,51 +10,72 + 5,63 + 0,33
			0,21	0,20	0,28	0,39	0,30	0,33					
сумма	100,12	99,48	99,55	98,93	100,02	100,47	100,20	99,74	баланс	-88,59	-49,33	-73,82	-83,31 -82,63 -27,24 -37,24
d _v	2,75	2,36	2,46	2,44	2,41	2,39	2,53	2,49					

Г - флюзит, вер. зонен, эвапоративная смеся, уч.р. Альбрехсиан, II - це-ка-пг
(грес-каол), III - це-ка-пг (грес-каол), IV - це-ак-та-хл-пг (грес), У - лом-
хл-пг, VI - це-хл-пг (грес-каол), VII - це-хл-пг (грес), VIII - це-од-хл-пг.

(продолжение)

Пропилиты цеолитовой и трансильванской фации (Альпий)

Окислы	А з и м е н и и												М а г р а ц и я							
	IX	X	XI	XII	XIII	XIV	XV	XVI	XVII	XVIII	XIX	XX	XXI	XXII	XXIII	XXIV	XXV			
SiO ₂	756	789	870	802	773	808	812	817	882	47,23	51	-29,98	-18,19	-33,32	+31,80	+30,53	-25,23	-39,78	-45,69	-15,34
TiO ₂	53,03	56,08	46,00	55,17	45,88	44,32	40,22	38,65	47,23	51	-0,75	-0,43	-0,30	+0,007	-0,05	-0,41	+0,06	+0,43		
Al ₂ O ₃	0,40	0,57	0,60	0,70	0,35	0,66	0,50	0,75	0,38	τ ₁	-0,75	-0,43	-0,30	+0,007	-0,75	-0,41	+0,06	+0,43		
Fe ₂ O ₃	21,51	17,22	15,13	16,00	20,06	13,74	17,22	17,22	16,18	A ₂	+ 2,45	- 7,07	- 9,81	+ 2,85	+ 6,54	- 9,19	+ 0,65	- 0,75	- 0,70	
FeO	4,15	3,34	5,83	3,18	5,40	4,38	9,33	6,76	6,38	F _e	+ 0,46	- 0,68	+ 4,41	+ 0,0007	+ 12,47	+ 2,65	+ 6,49	+ 6,49	+ 6,36	
MnO	3,06	2,52	3,24	3,42	4	6,0	3,06	2,52	4,50	F _e	- 4,96	- 5,69	- 3,83	- 2,79	- 0,69	- 3,46	- 4,88	- 0,66	- 1,28	
MnO	0,03	0,10	0,14	0,14	0,21	0,35	0,07	0,07	0,14	M _n	- 0,27	- 0,13	- 0,03	- 0,33	+ 0,13	+ 0,50	- 0,16	- 0,33	+ 0,007	
MgO	3,86	2,17	7,97	2,57	4,27	3,22	1,53	5,23	5,15	M _g	- 1,28	- 6,63	+ 15,47	- 3,71	+ 2,21	- 0,79	- 7,38	+ 6,40	+ 7,41	
CaO	6,27	7,29	8,63	6,28	8,86	17,60	16,03	14,24	9,75	C _a	- 0,35	+ 2,18	+ 7,07	+ 2,36	+ 8,43	+ 36,52	+ 30,50	+ 24,26	+ 13,37	
Na ₂ O	1,40	2,80	3,20	2,60	2,60	1,68	1,60	1,60	1,51	N _a	- 17,42	- 10,86	- 8,01	- 9,74	- 23,49	- 14,42	- 15,09	- 15,31	- 15,31	
K ₂ O	0,98	0,52	1,63	2,60	2,60	0,52	1,00	0,48	0,52	K	- 5,63	- 6,89	- 3,24	+ 0,62	- 8,43	- 6,58	- 4,98	- 6,81	- 6,57	
P ₂ O ₅	0,25	0,23	0,23	0,20	0,18	0,59	0,48	0,20	0,23	P	+ 0,17	+ 0,15	+ 0,18	+ 0,16	+ 0,09	+ 1,08	+ 0,80	+ 0,14	+ 0,24	
п.п.п.	3,39	6,49	5,59	6,76	6,02	9,11	9,11	9,80	4,36	C _H	+ 18,67	+ 8,46	+ 20,45	- 4,05	+ 23,32	+ 17,35	+ 3,34	+ 4,76	+ 4,76	
d ₄	1,00,33	100,39	100,06	99,96	97,80	1,47					0,25								+52,92	
сумма						99,70	100,35	100,31	100,23	безл.	-105,64	-109,22	-64,35	-29,83	-33,64	-51,75	-75,14	-90,82		

IX - лом-хл-пг, X - лом-хл-пг (вс), XI - лом-хл-пг (вс), XII - хл-це-(грс),

XIII - хл-кз-пг, XIV - хл-пг (грс), XV - кз-хл-пг, XVI - кз-хл-пг,

XVII - кз-хл-пг.

IX-XII - цеолитовая фация
XIII-XVI - трансильванская фация.

I - фракционный, верх. зооцен, дигенесис соли, У.Р. Альарис-чалы, II - каол-грн-пг,
 III - каол-грн-ка-пг, IV - грн-каол-пг, V - каол-грн-сер-ка-пг, VI - лом-каол-грн-пг,
 VII лом-сер-грн-пг, VIII - лом-ка, IX - сер-грн-грн-пг, X - сер-грн-каол-из-пг.

Таблица II

ГЛНН гидротермальных аргиллитов в пропилитах Алдана

Окислы	Исходная	Изменение								Минерализация										
		I	II	III	IV	У	V	VI	VII	X	Атаки	II	III	IV	У	V	VI	VII	IX	X
SiO ₂	54,17	60,40	57,82	63,62	44,47	50,47	58,48	55,86	54,17	62,00	Si	-II,45	-II,51	-18,23	-55,85	-45,70	-71,92	-34,59	-23,39	-16,34
TiO ₂	0,57	0,50	0,50	0,50	0,62	0,70	0,50	0,50	0,46	0,66	Ti	-0,36	-0,17	-0,45	-0,15	-0,05	-0,71	-0,43	-0,41	-0,12
Al ₂ O ₃	20,09	16,20	14,45	16,88	14,46	17,05	22,79	17,74	11,48	17,22	Re	-24,08	-27,50	-26,74	-30,53	-24,80	-29,31	-33,58	-37,52	-23,91
FeO ₃	3,06	3,55	4,34	4,81	4,63	2,24	1,33	5,21	5,35	3,90	Fe	-0,21	+ 1,71	+ 1,39	+ 1,68	-3,07	-4,77	-1,37	+ 3,64	+ 0,04
FeO	0,72	1,80	0,28	2,30	0,90	4,50	0,90	0,90	0,90	0,90	Fe	-4,05	-1,88	-1,32	-1,88	+ 2,82	-0,63	+ 7,17	-1,88	-0,03
MnO	0,10	0,07	0,14	0,10	0,70	0,07	0,05	0,10	0,10	0,10	Mn	-0,11	+ 0,06	-0,06	+ 1,24	-0,12	-0,19	-0,06	-0,06	-0,06
MgO	26,6	2,76	2,25	0,68	1,08	1,17	0,64	2,33	2,41	1,28	Mg	-1,17	-2,77	-9,50	-7,81	-7,64	-10,32	-3,55	-2,25	7,21
CaO	6,77	5,64	6,16	3,16	13,59	9,89	1,57	4,39	8,63	3,10	Ca	-6,87	-4,65	-13,49	+ 4,41	+ 3,26	-19,84	+ 10,80	+ 2,22	-14,45
Na ₂ O	5,20	1,80	2,90	ca.	0,50	1,00	1,00	2,60	2,40	2,00	Na	-22,36	-16,14	-31,46	-29,00	-26,73	-28,25	-19,33	-29,38	-21,91
K ₂ O	4,00	2,60	1,00	ca.	0,80	1,40	3,60	2,00	1,90	3,60	K	-7,27	-12,45	-15,92	-10,08	-11,56	-8,30	-9,78	-9,41	-4,61
P ₂ O ₅	0,07	0,27	0,36	0,32	0,29	0,25	0,05	0,23	0,13	0,20	P	+ 0,41	+ 0,65	+ 0,46	+ 0,44	+ 0,33	-0,11	+ 0,28	+ 0,11	-0,11
H ₂ O	1,38	0,65	0,56	0,38	1,88	1,85	2,51	0,36	0,50	0,17	O	-88,65	-93,25	-133,66	-166,15	-152,58	-246,40	-140,01	-129,37	-111,12
п.п.п.	2,20	3,45	8,20	8,76	13,82	10,65	5,44	0,53	11,41	4,45	OH	-17,41	-18,55	-22,72	+ 3,19	+ 1,43	-0,93	-22,95	-19,76	-25,93
сумма	100,89	99,91	99,73	99,82	99,68	100,94	99,65	99,98	99,74	99,74	запасы	-177,4	-186,47	-271,71	-280,48	-264,41	-421,69	-258,99	-247,43	-250,42
d ₄	2,58	2,60	2,71	2,36	2,53	2,46	1,65	2,40	2,68	2,45										

Оксиды.	М е г р а в и я																				
	XI	XII	XIII	XIV	XV	XVI	XVII	XVIII	XIX	XX	XI	XII	XIII	XIV	XV	XVI	XVII	XVIII	XIX	XX	
SiO ₂	832	883	836	901	1299	1506	1317	1318	1322	1336	-13,0	-21,35	-5,13	+10,38	-46,35	-42,16	-7,19	-41,68	-15,70		
TiO ₂	0,50	59,79	38,95	66,00	0,66	0,60	0,25	0,75	0,20	0,50	0,40	0,37	0,28	+ 0,04	- 0,23	- 0,86	+ 0,03	- 0,11	- 0,33	- 0,55	
Al ₂ O ₃	17,22	79,83	15,13	14,79	13,59	16,88	17,40	14,60	17,80	17,27	16,17	-21,82	-16,47	-24,32	-31,12	-33,07	-25,53	-26,25	-27,63	-25,29	-20,33
Fe ₂ O ₃	6,25	2,63	7,86	2,33	2,08	6,68	1,86	3,02	3,99	4,10	4,88	-2,30	+ 9,25	-2,88	-3,19	+ 5,03	-3,33	-1,07	-0,23	+ 0,33	
FeO	0,72	2,16	4,54	1,26	0,72	1,26	5,58	3,06	3,96	2,54	2,58	-0,33	+ 2,58	+ 8,67	+ 0,71	-0,34	+ 0,68	+ 8,96	+ 5,00	+ 5,79	+ 3,66
MnO	0,14	0,14	0,10	0,07	0,14	0,10	0,10	0,10	0,17	0,14	Mn	-0,26	-0,26	+ 0,07	-0,06	-0,11	+ 0,02	-0,07	-0,04	+ 0,05	
MgO	1,35	1,37	5,07	1,20	1,30	4,11	3,62	3,22	4,39	2,26	Mg	-4,83	-6,86	+ 9,10	-7,52	-6,97	+ 2,00	+ 1,00	+ 3,25	-3,04	
CaO	1,79	3,47	12,11	3,02	2,60	6,17	5,27	4,80	5,09	6,62	Ca	-17,71	-13,45	+ 13,43	-14,69	-15,53	-6,56	-9,51	-8,81	-10,00	-3,97
Nb ₂ O	2,80	3,90	1,38	0,40	2,10	3,70	4,00	2,90	3,65	2,90	Nb	-17,53	-12,79	-24,03	-29,56	-21,08	-14,02	-13,44	-16,34	-15,07	-16,67
K ₂ O	3,90	3,80	1,02	3,60	2,70	2,00	0,90	1,20	1,00	1,60	K	-3,16	-3,95	-12,31	-4,65	-7,14	-9,72	-13,55	-11,81	-12,97	-10,55
P ₂ O ₅	0,09	0,20	0,16	0,11	0,07	0,49	0,25	0,36	0,23	0,17	P	+ 0,01	+ 0,23	+ 0,19	+ 0,04	-0,03	+ 0,82	+ 0,31	+ 0,63	+ 0,27	+ 0,19
H ₂ O	0,25	0,07	0,25	0,48	0,61	0,84	0,41	0,39	0,27	0,23	O	-99,04	-110,33	-142,45	-110,87	-81,58	-143,61	-153,73	-84,30	-148,92	-89,83
П.п.л.	2,93	1,95	12,37	4,74	3,31	6,04	5,19	5,85	3,71	3,17	OH	-24,45	-22,57	-24,05	-21,20	-18,35	-15,10	-22,37	-21,73	-24,55	-23,64
стуны	99,64	99,65	99,90	99,67	99,85	99,79	100,11	100,30	99,96	99,83	data	-198,22	-212,45	-247,18	-227,16	-177,99	-251,3	-275,24	-172,62	-269,71	-179,49
d ₄	2,55	2,46	2,77	2,44	2,54	2,42	2,32	2,63	2,31	2,62											

XI – сер-геро-зинок-п (ан), XII – гер-геро-зинок-п, (ан), XIII – сер-геро-зинок-на-КБ-пн,
 XIV – на-геро-зинок-п, XV – на-геро-зир-п, XVI – на-гер-гер-зир-п, XVII – на-гер-гер-п (ан), XVIII – на-гер-гер-п, (ан).

высокотемпературных (глубинных) фациях и выщелачивания в промежуточной и особенно в приповерхностных фациях. Интенсивность процесса (степень изменения породы) возрастает от высокотемпературных глубинных фаций к приповерхностным. Для каждой фации характерна определенная тенденция миграции основных петрогенных элементов, что является важным критерием фациального подразделения пропилитов.

3.5. Физико - химические условия и основные петрогенетические факторы пропилитизации

Основываясь на минеральном составе пропилитов и на характере миграции вещества в процессе пропилитизации, оперируя экспериментальными данными, моделирующими гидротермальное минералообразование, а также данными термометрии и барометрии процесса (табл.2), мы попытались восстановить физико-химические условия пропилитизации. Как показали исследования Редера (*Röeder*, 1972), основанные на богатейшем материале по химическому анализу вытяжек газово -жидких включений, эндогенные гидротермальные растворы имеют, в основном, щелочно-хлоридный и щелочно-карбонатный состав. Именно он определяет основной кислотный фон эндогенных растворов. По данным Х.Л.Барнса и У.Дж.Эрмита (1968) в щелочно-хлоридных растворах при температурах 400° анион гидролизируется слабее катиона, что, естественно, приводит к нарушению кислотно-основного равновесия в пользу последнего и раствор, нейтральный в обычных условиях, в данном случае будет иметь щелочную реакцию. Используя эти и некоторые другие данные, о которых еще пойдет речь, Г.Б.Наумов и В.А.Дорофеева (1975), исходя из стабильного состава эндогенных растворов, рассмотрели теорию кислотно-основного взаимодействия Д.С.Коржинского не меняя ее сути с температурных позиций. Ниже мы попытаемся рассмотреть кислотно-основное взаимодействие в процессе формирования Аджаро-Триалетских пропилитов аналогичным образом.

Температурные условия формирования эпидот-хлоритовых и актинолитовых пропилитов, по данным гомогенизации и декриптизации газово-жидких включений в кварце и по эпидотовому термометру, – 350–470°С, что соответствует температурным условиям щелочной реакции щелочно-хлоридных растворов. Высокотемпературные пропилиты формируются с привносом кремнезема и в их типоморфном парагенезисе всегда участвует кварц (T^o образования 360°С). По экспериментальным данным Кеннеди (*Kennedy*, 1944, 1950), резкое падение растворимости кремнезема происходит именно при этой температуре. Фоновые хлорит-альбитовые и цеолитовые пропилиты, состоящие из безкварцевых типоморфных парагенезисов, характеризуются выносом кремнезема. Следовательно, их формирование происходит в температурном интервале повышенной растворимос-

ти кремнезема, который по эксперименту Кеннеди приходится на 340–200°C. На растворимости кремнезема в гидротермальном процессе и его экспериментальном моделировании мы умышленно заостряем внимание. Дело в том, что в геологически возможных условиях растворимость кремнезема по причине незаряженности частиц SiO_4 и H_2O не зависит от ионной силы раствора, а определяется главным образом, температурой (Alexander, 1954; Loveling, 1960; Холанд, 1970). Поэтому с учетом характера миграции кремнезема в метасоматическом процессе, присутствие либо отсутствие кварца в типоморфном парагенезисе, может служить термометром гидротермального минералообразования. Вышепомеченный температурный интервал 340–200°C характерен для хлорит–альбитовой и цеолитовой фации пропилитов. Температурная граница раздела хлорит–альбитовой и цеолитовой зоны, определяется температурой фазового перехода альбит–анальцит, который по экспериментальным данным Кумбса и др. (Coombs et al., 1959) приходится на 280–300°C.

Хлорит–альбитовая фация в отличие от эпидот–хлоритовой характеризуется тенденцией выщелачивания и формируется в более низкотемпературных условиях. По данным Х.Л.Барнса и З.Дж.Эриста (1968), с падением температуры в щелочно–хлоридных растворах возрастает активность анионов, следовательно, хлорит–альбитовая фация сравнительно с эпидот–хлоритовой образуется в более кислой среде, на стадии возрастающей кислотности.

Формирование цеолитовых пропилитов происходит при температурах ниже 300°C в приповерхностных условиях. Превалирующие в их составе цеолиты, анальцит, натролит, ломонтит и др., а также адуляр являются минералами щелочной среды (Coombs et al., 1959; Сендеров, Хитаров, 1970).

Как известно, остыивание щелочно–хлоридно–карбонатовых растворов ниже 300°C способствует понижению активности хлор–аниона за счет возрастания активности углекислоты (Барис, Эрист, 1968). Так как последняя значительно слабее соляной, то растворы, за счет гидролиза сильных щелочей, приобретают щелочную реакцию. Ощелачивание раствора в приповерхностной зоне способствовало и фактор давления. Можно ожидать, что на этом уровне давление нагрузки было ниже парциального давления CO_2 . По данным Г.Б. и В.Б.Наумова (1977) падение общего давления ниже значения парциального давления углекислого газа приводит к возгону углекислоты и повышению щелочности раствора. Из вышесказанного следует, что цеолитовую пропилитизацию можно отнести к стадии возрастающей щелочности.

В процессе пропилитизации основными минералами термометрами являются эпидот, минералы кремнезема (кварц, халцедон), альбит и цеолиты.

Довольно четкими минералами барометрами для фоновой пропилитиза-

ции являются также эпидот, альбит и цеолиты. Эпидот характерен для фонового процесса, происходящего на глубине примерно 3 км, верхняя граница альбитизации, примерно, на километровой глубине, выше которой развита цеолитизация. Однако в зонах прогрева, связанных с внедрением интрузий, эпидот образуется и на значительно меньших глубинах, а цеолит в зонах разломов и других пустотах (участки перепада давления) отлагается и на значительно большей глубине. В целом же для фонового метасоматического процесса эти минералы довольно четко маркируют уровни глубинности, которые одновременно являются и температурными уровнями, так как литостатические нагрузки регулируют температурный режим процесса.

Как видно из описания опорных разрезов, амигдалоиды и зоны дробления на уровнях фоновой эпидот-хлоритовой и хлорит-альбитовой пропилитизации, состоят, преимущественно, из цеолитов, тогда как на приповерхностных цеолитовых уровнях к зонам дробления приурочены, главным образом, аргиллизиты, состоящие, в основном, из каолинита и гидрослюды, либо монтмориллонита и гидрослюды. Кроме того, в ряде случаев наблюдается замещение по восстановлению и телескопирование цеолитовых пропилитов аргиллизитами. Смена цеолититов по восстанию аргиллизитами, вероятно, является следствием вскипания инфильтрирующего по зонам дробления раствора и его расщепления на щелочную и кислотную составляющие. В условиях щелочной среды формировались цеолиты, в нейтральной и кислой – аргиллизиты (монтмориллонит, каолинит).

Исходя из унифицированного щелочно-хлоридного и карбонатного состава гидротермальных растворов, а также из того, что поступланические изменения, в основном, наложены на магматические породы, которые также унифицированы по составу, гидротермальные метасоматиты формируются в определенные формации и фации в зависимости от состава исходных пород, температуры растворов, давления, pH и δ^{H} растворов, в некоторых случаях специфика их состава, интенсивности их циркуляции и геологических условий процесса. Следовательно, образование той или иной метасоматической формации, их фациальное расчленение, взаимоотношения различных формаций и их фаций зависит от перечисленных факторов, которые в силу этого именуются нами основными петрогенетическими факторами. Они контролируют кислотно-основное взаимодействие процесса и характер миграции вещества.

Для пропилитов основными петрогенетическими факторами являются температура раствора, состав исходных пород, давление нагрузки и интенсивность циркуляции раствора. Температурный диапазон пропилитизации от 450 до 200°C. Пропилиты формируются по основным и средним породам. Для кислых пород пропилитизация не характерна. Это хорошо подтверждается на примере процесса изменения в меловой и палеогено-

вой вулканической толще Юго-Восточной Грузии , где в единой метасоматической колонке по основным и средним породам развита низкотемпературная хлорит-карбонатовая пропилитизация, а по чередующимся с ними кислым дапит-липаритовым туфам – аргиллитизация и окварцевание. Аргиллитизация выражена в замещении основной массы (кислое стекло) иллитом и монтмориллонитом. Каждая из фаций (зон) пропилитов формируется в определенном температурном интервале. Температура фонового процесса контролируется термоградиентом и давлением нагрузки. Эпидот-хлоритовая и актинолитовая зона пропилитов формировалась в температурном диапазоне от 450 до 350°C . Остывая от 350 до 300°C раствор несколько раскислялся, и формировалась хлорит-альбитовая зона. При дальнейшем остывании и ощелачивании раствора происходила цеолитизация и формирование цеолитовой зоны пропилитов.

Щелочно-хлоридные растворы на ранней щелочной стадии приводят к формированию высокотемпературных пропилитов, с одной стороны, и полевошпатовых метасоматитов – с другой. Это, по-видимому, зависит от ряда факторов и в первую очередь от состава исходных пород и интенсивности циркуляции растворов. Так, в приконтактовой зоне Зотской интрузии с вмещающими базальтами происходит образование пропилитов. Когда же исходными породами являются трахиты или андезиты, вмещающие среднекремнекислые интрузии, тогда в приконтактовой зоне формируются полевошпатовые метасоматиты (Гугушвили, 1974). В первом случае растворы, преобразуя базальты, пересыпаются основаниями и металлами и в процессе переотложения этих компонентов формируются пропилиты. Во втором случае из менее основных андезитов и трахитов растворы выносят основания и металлы, вследствие чего формируются полевошпатовые метасоматиты с локальными зонами базификации. Здесь, по-видимому, немаловажную роль играет и более интенсивная циркуляция раствора в приконтактовой зоне среднекремнекислых интрузий, так как в случае фонового процесса по средним породам, когда интенсивность циркуляции раствора заведомо слабее, происходит опять-таки пропилитизация.

3.6. Геодинамическая обстановка пропилитизации

Аджаро-Триалетская зона , начиная со среднего мела и вплоть до верхов палеогена, пребывала на различных стадиях геодинамического развития.

В мелу ее восточная часть находилась на островодужной стадии. Со среднего эоценена западный и центральный сегмент трога претерпели рифтинг, одновременно западнее формируется Черноморская впадина, тогда как восточный сегмент продолжал островодужное развитие. С верхне-го эоценена по всей зоне происходит отмирание рифта и трог полностью преобразовывается в островную дугу.

Различные геодинамические обстановки были выражены в соответствующей вулканической деятельности. Островодужные вулканические серии в целом имеют среднекремнистый известково-щелочной состав. Меловая вулканическая толща представлена дифференцированной серией пород от базальта до риолита. Средне- и верхнезоценовые толщи андезит-шонинового состава. Одновременно среднезоценовая рифтогенная серия характеризуется толеитовым и щелочно-базальтовым составом. Различные геодинамические обстановки характеризуются определенными тепловыми режимами. Наиболее высокие термоградиенты установлены в зонах рифтинга, что объясняется их связью с малоглубинными мантийными участками (Горшков, 1974). Высоким тепловым потоком обусловлено и выплавление толеит-базальтовых магм рифтогенного типа. Относительно низкие термоградиенты в верхних этажах островодужных зон определяются большой глубиной выплавления магмы и формирования андезитовых магматических очагов (100 км и более, Федотов, 1974).

Пропилитизация так же, как и характер вулканической деятельности, отражает тепловой режим региона и является индикатором геодинамической обстановки. В рифтогенных зонах, в условиях высокого термоградиента, для фоновой пропилитизации характерна вертикальная метасоматическая зональность, с высокотемпературной эпидот-хлоритовой и актинолитовой зоной на больших глубинах. Тогда как таковая отсутствует в пропилитизированных островодужных сериях.

Хорошим примером является пропилитизация в меловой вулканической толще. Она подвержена лишь цеолитовой пропилитизации. Между тем к концу палеогена она находилась под трехкилометровой литостатической нагрузкой и на нее, по всей вероятности, воздействовали и палеогеновые растворы, так как перекрывающая меловую толщу палеогеновая интенсивно пропилитизирована, однако ни в меловой, ни в палеогеновой толщах не наблюдается фоновых высокотемпературных зон пропилитов. Другим примером может служить верхнезоценовая вулканическая толща, которая несмотря на значительную мощность (2,5-3 км) подвержена лишь цеолитовой пропилитизации. Тогда как в зоне интенсивного рифтинга фоновая высокотемпературная зона выражена очень четко. Следовательно, формирование фоновых высокотемпературных зон пропилитов, в первую очередь, зависит от теплового режима.

Характер зональности – хороший барометр интенсивности рифтинга.

Как видно из описания опорных разрезов, зональность пропилитизации в разных сегментах Аджаро-Триалетии проявилась по-разному. Наиболее четко и полно она представлена в западном сегменте – в Аджарии и южной Гурии (опорные разрезы по ущ.рр. Нагваревисцкали, Кинтриши, Аджарисцкали, Чаквисцкали и Губазеули). Здесь зональность четко соответствует глубинности до трехкилометровой глубины; развиты высокотем-

пературные (глубинные) фации пропилитов – актинолитовая и эпидот–хлоритовая, выше от 3 до 1 км промежуточная хлорит–альбитовая и от глубин порядка 1 км цеолитовая и трансильванская фации.

В центральном сегменте (опорные разрезы в ущельях рр. Абастумани, Цинубинисцкали, Хачков) хотя и наблюдается вертикальная зональность в пропилитах, но на фоне более глубинных и высокотемпературных фаций имеются реликты продуктов цеолитовой пропилитизации. Последнее выражается в альбитизации предварительно цеолитизированного плагиоклаза, либо в наличии туфов, подверженных цеолитовой пропилитизации на относительно большой глубине, соответствующей уровню хлорит–альбитовой пропилитизации, тогда как над ними залегают породы, подверженные хлорит–альбитовому замещению (Цинубанский разрез). Этот район расположен восточнее и отражает ослабления рифтинга с запада на восток.

В восточном сегменте в андезитовой среднезооценовой толще не наблюдается зональности, и пропилиты, несмотря на значительную мощность палеогеновых вулканитов, представлены единственной цеолитовой фацией (опорный разрез в ущелье р. Тедзами; мощность палеогеновой вулканической толщи до 1900 м). Как уже отмечалось, под палеогеновой вулканической толщей и довольно мощной толщей карбонатного мела (500–1000 м) залегает вулканическая толща мела мощностью до 1000 м, которая также подвержена только цеолитовой пропилитизации.

Итак, формирование фоновой высокотемпературной зоны пропилитов определяется высоким термоградиентом и интенсивностью рифтинга. Однако сам факт зональности, по-видимому, зависит от характера вулканизма и от взаимоотношения вулканизма и поствулканического процесса.

В западном сегменте, в зоне наиболее интенсивного рифтинга и, соответственно, вулканизма, в процессе становления среднезооценовой толщи происходила интенсивная дегазация системы в гидросферу и атмосферу, лишь к концу среднего эоцена вместе с прекращением рифтинга, ослаблением вулканизма и закрытием каналов прекратилась дегазация и начался интенсивный метасоматоз, который и определил довольно строгую зональность в метасоматитах. В центральном сегменте, в зоне ослабления рифтинга, в среднезооценовой толще все еще наблюдается вертикальная зональность пропилитизации. Однако явления остаточной низкотемпературной и малоглубинной пропилитизации на уровне высокотемпературных зон, свидетельствуют о существовании сингенетичного вулканизму процесса, что совершенно не характерно для среднезооценовой толщи западного сегмента. Что касается зональности, то она и здесь, по-видимому, определилась к концу среднего эоцена. Следовательно, наиболее интенсивный процесс в центральном сегменте связан с закрытием рифта и ослаблением вулканической деятельности.

В среднезооценовой вулканической толще восточного сегмента и верх-

неоценовой толще отсутствие зональности и высокотемпературной зоны определено низким тепловым потоком, однако сам факт цеолитовой пропилитизации по всей толще, мощность которой достигает 3 км, свидетельствует о том, что пропилитизация в данном случае син vulkанический процесс и происходила она синхронно с вулканической деятельностью, так как цеолиты-заведомо барийфобные минералы и образование их на больших глубинах, в условиях высокой литостатической нагрузки весьма маловероятно.

ВЫВОДЫ

1. Пропилитизация в меловой и палеогеновой вулканических толщах имеет региональное развитие и, являясь фоновым процессом, определяет зеленокаменный облик пород.

2. Интенсивность процесса контролируется структурным и литологическим факторами, а также районами вулканических центров. Поэтому изменение пород неравномерно и наряду с сильно измененными, встречаются слабоизмененные и совершенно незатронутые изменением участки.

3. В Аджаро-Триалетской складчатой зоне с интрузивными телами связана локальная-внутриинтрузивная и приконтактовая пропилитизация. В высокотемпературной зоне фоновых пропилитов она отличается от последних лишь текстурно-структурными признаками. В низкотемпературной и промежуточных зонах внутриинтрузивная и приконтактовая пропилитизация формирует "горячие пятна" на фоне более низкотемпературного изменения.

4. Фоновые пропилиты обнаруживают генетическую связь со вторичными кварцитами и аргиллизитами. Генетические взаимоотношения выявлены между внутриинтрузивной пропилитизацией и другими приконтактовыми процессами: полевошпатовым метасоматозом, грейзенизацией, аргиллизацией и скарнообразованием.

5. В рифтогенных щелочно-базальт-толеитовых сериях выявлена вертикальная метасоматическая зональность пропилитизации, тогда как в островодужных известково-щелочных среднекремнистых вулканических сериях таковая отсутствует. Здесь пропилиты представлены лишь цеолитовой и хлорит-карбонатовой (трансильванской) и приповерхностными фациями.

6. Вертикальная метасоматическая зональность в фоновых пропилитах рифтогенной палеогеновой толщи определяется температурой раствора, которая контролируется глубинностью зон. Наиболее глубинная эпидот-хлоритовая и актинолитовая зона (глубже 3 км), в промежутке глубин от трех до одного километра формируется хлорит-эпидотовая зона и в приповерхностных условиях глубина менее одного километра - низкотемпературные цеолитовая и хлорит-карбонатовая зоны.

7. Формирование высокотемпературных эпидот-хлоритовых и актинолитовых фоновых пропилитов определяется высоким тепловым потоком в рифтовых зонах. Сам факт зональности обусловлен позднесреднеэоценовым возрастом процесса. Пропилитизация в рифтовой зоне связана с ослаблением вулканизма и рифтинга, тогда как в островодужных условиях она является синвулканическим процессом и происходит параллельно с вулканической активностью. Свидетельством синхронности вулканизма и пропилитизации в островодужной обстановке может служить барийфобный-цеолитовый характер процесса по всей мощности трехкилометровой толщи. Отсутствие высокотемпературных зон пропилитизации в островодужной обстановке обусловлено относительно низким тепловым потоком, в верхних структурных этажах островодужных зон.

8. В процессе пропилитизации выявлены три стадии кислотно-основного взаимодействия: ранняя щелочная, возрастающей кислотности и поздняя щелочная. Стадиальность контролируется температурным фактором, определяющим кислотный фон щелочно-хлоридных и углекислых растворов. В приповерхностных условиях важную роль играет также соотношение литостатического давления с парциальным давлением углекислоты. На ранней щелочной стадии формировались наиболее глубинные актинолитовые и эпидот-хлоритовые пропилиты, образования которых от 360 до 470°C относятся к промежуточная хлорит-альбитовая фация, а к позднеподщелочной стадии - цеолитовые и трансильванские пропилиты, формирующиеся при температуре ниже 300°C при парциальном давлении углекислого газа, превышающем общее давление.

9. Пропилитизация обусловлена внутриформационным перераспределением основных петрогенных элементов с тенденцией к замещению в глубинной зоне и с тенденциями к выщелачиванию в промежуточной и приповерхностной зонах. Характер миграции вещества отражается на минеральном составе зон. Привнос кремнекислоты и кальция в высокотемпературной зоне выражен в окварцевании и эпидотизации. Промежуточная хлорит-альбитовая и приповерхностная цеолитовая зоны характеризуются выносом кремнезема и бескварцевыми парагенезисами. Дифференциальное движение щелочей определяет образование той или иной разновидности цеолита в цеолитовой зоне.

10. Положительный, либо отрицательный баланс миграции вещества в гидротермальном процессе, во многом зависит от поведения кремнезема. Последний во всех алюмосиликатных породах превалирует над остальными петрогенными элементами и даже сравнительно небольшой процент его привноса или выноса, предопределяет тенденции замещения или выщелачивания.

II. Пропилитизация, как и характер вулканической деятельности, отражает геодинамический режим развития региона. В среднем эоцене с запада на восток наблюдается дифференциальное ослабление рифтинга,

что выражалось в постепенном выклинивании в этом направлении толеитовой зоны. По мере ослабления рифтинга с запада на восток редуцируется и высокотемпературная зона пропилитов.

4. ФОРМАЦИЯ ВТОРИЧНЫХ КВАРЦИТОВ И СЕРНОКОЛЧЕДАННЫХ РУД

Вторичные кварциты формируют обширное (50 км^2) поле, геометризующееся в линзообразное тело в верхнеэоценовой пропилитизированной вулканической толще. Оно расположено в южной Аджарии, в верховьях рр. Тбети и Дидгеле (см.рис.26). Вторичные кварциты с востока ограничены крупным разломом, вдоль которого они соприкасаются либо со среднеэоценовыми базальтами, либо с верхнеэоценовыми андезитовыми туфами. Переход от вторичных кварцитов в пропилитизированные породы отмечен окварцеванием последних, кроме того они сравнительно с фоновыми пропилитами более интенсивно хлоритизированы, карбонатизированы и пиритизированы. Одновременно пропилитизированные породы, соприкасающиеся с вторичными кварцитами вдоль разлома, ничем не отличаются от фоновых и представлены бескварцевыми парагенезисами. Следовательно, данный разлом должен быть моложе процессов изменения.

Аджарские вторичные кварциты характеризуются типичным для этой формации минеральным составом: кварц, диаспор, алюнит, диккит, рутил, каолинит, гидрослюдя, серицит. Большую роль играет пирит, который рассеян в породе и, кроме того, формирует скопления в виде гнезд, жил, а также тел изометричной формы. Эти скопления достигают значительных масштабов, формируя серноколчеданные месторождения, известные под названием Цабланского.

Наличие таких типоморфных минералов как диаспор, алюнит и рутил, а также серноколчеданного оруденения, позволяет нам, следуя классификации Н.И.Наковника (1968), отнести эту формацию ко вторичным кварцитам. Как вторичные кварциты эти породы впервые определил Г.С.Дзоценидзе (1960). Им же было установлено, что формирование аджарских вторичных кварцитов и серноколчеданных руд синхронно и сингенетично с вулканической деятельностью. Подтверждением служило наличие гальки и обломков пиритизированных вторичных кварцитов в перекрывающих и окружающих поле вторичных кварцитов пропилитизированных туфобрекчиях. Эта работа Г.С.Дзоценидзе и ряд других, часть из которых написана в соавторстве с Г.А.Твалчрелидзе (Дзоценидзе, 1969; Дзоценидзе, Твалчрелидзе, 1965, 1965₁, 1967, 1976) сыграли большую роль в разработке, ныне признанной теории син vulканического рудогенеза.

4.1. Фациальный и минералогический анализ и геологические условия формирования вторичных кварцитов и серноколчеданных руд

Алжарские вторичные кварциты представлены двумя фациями: кремнеземной и аргиллитовой. Последняя тяготеет к зонам дробления. По минеральному составу эти две фации различаются нечетко, так как сплошь и рядом они состоят из одних и тех же типоморфных парагенезисов. Основное различие состоит в том, что в кремнеземной фации отмечено значительное преобладание кварца над минералами глин и глиноzemа, тогда как последние резко преобладают в аргиллитовой. Кроме того, аргиллитовая фация характеризуется значительно более интенсивной пиритизацией и именно к ней приурочены известные здесь серноколчеданные оруденения.

Зоны интенсивной аргиллитизации тяготеют, в основном, к двум субмеридиональным зонам дробления. Эти зоны как бы залечены минералами глин и отличаются белыми и светло-желтыми оттенками от пород кремнеземной фации серых тонов.

Первая зона дробления, аргиллитизации и оруденения развита в районе Гудна (см.рис.26,27) и обнажается в ущельях притоков р.Тбети, речек Гуднис-геле, Шависсакени, Саранцуна и Зекара. На участке Зекара мощность зоны аргиллитизированных пород порядка 600 м (см.рис.27). Она тяготеет к трем параллельным зонам дробления, с которым связаны внутренние зоны метасоматической колонки, мощность которых порядка 300 м. С севера на юг мощность зоны аргиллитизации утоняется и в ущ.р.Шависсакени мощность аргиллитизированных пород не превышает 300 м при 100-метровой мощности внутренней зоны. Серноколчеданное оруденение тяготеет именно к внутренним зонам аргиллитизированных пород. В целом, как отмечалось выше, аргиллизиты проявляют тенденцию к более интенсивной пиритизации, чем породы кремнеземной фации. Оруденение не образует единого тела по всей внутренней зоне аргиллизитов, а представлено разобщенными друг от друга телами изометричной формы. Эти тела, с диаметром 0,3-1 метра представлены сплошным пиритом, либо это просто интенсивно пиритизированные участки в аргиллизитах.

На участке Гудна аргиллизитовая фация состоит из следующих парагенетических ассоциаций. Внутренние зоны со скоплением пирита сложены диккитом, диаспором, пиритом и кварцем в подчиненных количествах, встречаются совершенно бескварцевые участки, характерно присутствие рутила. В некоторых случаях существует алунит, который вытесняет диаспор. Определение минерального состава зоны по рентгенометрическим данным приведено на таблице 12.

Таблица I2

РЕНТГЕНОСТРУКТУРНЫЕ ОПРЕДЕЛЕНИЯ МИНЕРАЛОВ
ИЗ АРГИЛЛИТОВОЙ ФАЦИИ

Дифрактограмма		Дебаэграммы				
Обр. 426	Обр. 413	обр. 232	обр. 263	По Гунилава /1968/		
Диаспор	Диаспор	Кварц-диккит	Кварц-диккит	Алунит		
4,4074	5	4,69	6	<u>7,2287</u>	5	<u>7,3718</u>
3,2467	5	4,30	6	<u>4,2418</u>	10	<u>3,3854</u>
2,8097	7	3,27	4	<u>3,713I</u>	4	<u>2,3I36</u>
2,5546	2	2,58	I0	<u>3,3657</u>	5	<u>1,9600</u>
2,3II0	I0	2,38	3	<u>2,4344</u>	6	<u>1,8369</u>
2,I264	3	2,17	7	<u>2,3268</u>	3	<u>1,6463</u>
2,0723	6	2,03	5	<u>2,293</u>	9	<u>1,3842</u>
I,7994	5	I,99	4	<u>2,II49</u>	2	<u>1,3I5I</u>
I,7843	2	I,93	6	<u>I,98I4</u>	I	<u>I,2796</u>
I,7276	3	I,77	6	<u>I,8I04</u>	2	<u>I,2626</u>
I,657I	2	I,75	7	<u>I,6365</u>	I	<u>I,II29</u>
I,6287	2	I,69	5	<u>I,5420</u>	3	<u>I,II753</u>
I,5088	I0	I,64	6	<u>I,4522</u>	6	<u>I,II789</u>
I,4835	6	I,49	9	<u>I,3744</u>	5	<u>I,II5I3</u>
I,4749	5	I,45	5	<u>I,3I72</u>	2	<u>I,II399</u>
I,4275			3	<u>I,2855</u>	6	<u>I,0802</u>
I,3957			4	<u>I,2552</u>	8	<u>I,04I9</u>
I,372I			2	<u>I,23I3</u>	5	<u>I,0I33</u>
			3	<u>I,II66</u>	8	<u>0,9877</u>
			6	<u>I,II789</u>	Подчеркнуть линии диккита	
			5	<u>I,II5I3</u>		
			2	<u>I,II399</u>		
			6	<u>I,0802</u>		
			8	<u>I,04I9</u>		
			5	<u>I,0337</u>		
			5	<u>I,0I33</u>		
			Подчеркнуть линии диккита			

Условия съемки: УРС-55-А, напр. 40 к , мА-10 А, Экс.- I н,
Изл. Fe , D , камеры 57,3. D - образца 0,40.

Химический состав фракции диаспора:

SiO_2	- 11,45
TiO_2	- 0,93
Al_2O_3	- 69,62
Fe_2O_3	- 0,43
SO_3	- 0,41
п.п.п. + влага	- 16,56

Сумма - 99,3%

аналитик В.Бугианишвили

Термограмма диаспора представлена на рис.28.

Формирование внутренней зоны происходило в процессе привноса алюминия, титана, трехвалентного железа и выносе остальных петрогенных элементов с тенденцией выщелачивания, выраженной в отрицательном балансе миграции вещества (табл.13, рис.29). Во внешней зоне, граничащей с центральной, полностью отсутствуют диаспор и рутил, иногда участвует алюнит, увеличивается содержание кварца. Характерна значительная пиритизация — встречаются очень интенсивно пиритизированные участки. В отличие от центральной, она формируется с инертным поведением кремнезема и с тенденцией выщелачивания остальных петрогенных компонентов (см.рис.29). В самой внешней зоне вместе с каолинитом и кварцем существует гидрослюдя и серицит, опять-таки характерна пиритизация. Далее постепенное увеличивающееся количество кварца и прослеживается переход в кремнеземную фацию. Кремнеземная фация характеризуется значительным преобладанием кварца над другими минералами и относительно слабой пиритизацией. В ее минеральном составе существует гидрослюдя, серицит, иногда карбонат, либо каолинит и гидрослюдя. В одном случае вместе с каолинитом был обнаружен даже диаспор (шлиф № 1261). Однако в удалении от зон дробления кремнеземная фация почти монокварцитового состава, либо вместе с кварцем в подчиненных количествах присутствует каолинит- пятнами перистой текстуры рассеянный в монокварцитовой массе.

Формирование кремнеземной фации обусловлено привносом кремнезема и выносом остальных петрогенных элементов. Несмотря на значительное замещение породы кремнеземом, эта фация характеризуется тенденцией выщелачивания, выраженной в отрицательном балансе, "привноса-выноса" компонентов (табл.13, см.рис.29).

На участке Гудна, в ущельях речек Шависсакени и Саранцуна, вторичные кварциты секутся малыми субвулканическими телами и жилами андезитового состава. Эти тела сами интенсивно изменены и трудно различимы на фоне вторичных кварцитов. Однако характер изменения в них несколько отличен от фонового. Отчетливо видны реликты порфировой структуры. Кое-где наблюдаются почти неизмененные фенокристаллы плагиоклаза. Фемические минералы и основная масса обычно полностью изменены.

Вторичные кварциты Альвари

Таблица 13

Описание	Исход- ный	Измененные										Интегрированые								
		I	II	III	IV	V	VI	VII	VIII	VII	X	XI	XII	XIII	XIV	XV	XVI	XVII	XVIII	X
SiO ₂	52,96	57,95	56,60	57,60	54,20	52,82	47,66	45,82	36,22	65,19	Si	+10,39	+II,27	+ 9,86	- 3,42	-44,85	-24,07	-21,08	-36,13	+35,85
TiO ₂	0,44	0,57	0,53	0,60	0,39	1,90	1,40	0,79	1,02	0,26	Ti	+ 0,24	+ 0,19	+ 0,14	+ 0,30	+ 3,33	+ I,71	+ 0,75	+ 1,35	- 0,35
R ₂ O ₃	17,88	17,75	16,70	18,18	18,03	27,84	25,67	35,58	26,36	16,32	Y	- 1,47	- 3,18	- 0,0099	- 2,17	+40,37	+18,26	+59,26	+34,11	- 3,98
Fe ₂ O ₃	3,32	2,35	0,86	0,61	1,12	18,24	6,77	0,15	0,95	0,33	Fe	- 2,04	- 4,93	- 5,47	- 4,53	+35,75	+ 4,77	- 6,36	- 4,60	- 6,00
FeO	4,04	0,90	0,72	0,35	1,46	0,36	0,72	0,24	0,24	0,45	Fe'	- 7,06	- 7,40	- 8,26	- 5,92	- 8,14	- 7,54	+57,78	- 8,44	- 8,00
NiO	0,30	0,01	0,02	0,02	0,09	нет	0,03	-	-	нет	Mn	0,66	- 0,63	- 0,68	- 0,68	- 0,62	- 0,68	- 0,68	- 0,68	- 0,68
MgO	5,52	1,13	0,26	0,15	2,00	0,15	1,12	0,08	0,08	0,92	Mg	> 6,1	-12,98	-14,02	- 6,43	-13,36	- 9,91	-13,70	-14,02	-10,29
CaO	5,60	0,91	1,52	0,18	2,90	нет	0,27	0,06	0,18	0,15	Ca	-13,48	-11,64	-15,53	- 8,12	-16,04	-15,33	-15,86	-15,48	-15,60
Na ₂ O	3,01	< 20	1,00	0,10	4,13	нет	1,00	0,45	0,10	нет	Na	- 4,42	-10,37	-15,09	+ 4,81	-15,60	-10,82	-13,20	-15,04	-15,60
K ₂ O	2,19	3,20	4,00	нет	2,74	нет	нет	-	-	нет	K	- 0,17	+ 2,90	-10,88	- 1,97	-10,88	-10,88	-10,88	-10,88	-10,88
P ₂ O ₅	0,47	0,18	0,18	0,17	0,74	0,31	0,49	0,27	0,26	0,04	P	- 0,66	- 0,65	- 0,69	+ 0,53	- 0,29	- 0,29	- 0,29	- 0,29	- 0,29
SC ₂	0,54	1,92	0,47	0,73	0,31	0,44	0,23	0,20	0,20	0,31	O	- 5,79	-21,23	-43,14	+ 3,50	-26,63	-21,32	+50,76	+33,49	+16,81
H ₂ O	0,84	2,34	1,50	0,62	0,51	0,55	0,55	0,56	0,20	0,04	OH	+25,96	+12,04	- 4,11	+77,70	- 5,15	+66,43	- 4,69	-11,10	+22,06
П.п.п.	3,64	1,50	2,78	5,70	5,45	> 70	9,27	14,60	10,42	5,90	саланс	- 8,77	-46,61	-107,71	+53,38	-64,18	- 9,36	+81,67	-164,83	+ 2,35
сумма	99,799,39	98,37	99,90	99,50	99,34	99,22	99,67	99,19	99,14	99,14										
	5,02	5,30	6,56	2,72	11,44	0,11	1,36	10,61	3,56											
	3,45	5,93	7,50	3,22	13,08	0,13	1,56	12,13	3,94											
d _t	2,66	2,60	2,65	2,62	2,53	2,92	2,44	2,74	2,88	2,70										

I - андезит, верх. зонен аллювий светл., орн. Гудна, II - серый-каол-гро-пг., III - каол-сер-трос-вог-чт., (на), IV - из-каол-чт., У - дик-трос-чт., УI - дик-ру-пг., УII - дик-дик-пг., УIII - дик-дик-пг., УIV - дик-дик-пг., УV - дик-дик-пг., УVI - дик-дик-пг., УVII - дик-дик-пг., УVIII - дик-дик-пг., УIX - дик-дик-пг., УX - кв-каол-гро-пг., П - Х артилитовая фация.

Оксиды	Изменение концентрации												Изменение концентрации								
	XI	XII	XIII	XIV	XV	XVI	XVII	XVIII	XIX	XX	XI	XII	XIII	XIV	XV	XVI	XVII	XVIII	XIX	XX	
SiO ₂	68,70	78,81	77,70	84,80	73,55	75,20	66,50	73,04	74,47	51	551,58	553,42	+54,88	+61,41	+49,72	+35,56	+44,70	+38,43	+52,43	+48,07	
TiO ₂	0,35	0,26	0,40	0,21	0,40	0,32	0,54	0,31	0,40	Ti	0,14	0,32	0,40	-0,12	-0,51	-0,10	-0,32	+0,21	-0,23	-0,09	-0,27
Al ₂ O ₃	14,98	14,48	12,53	9,60	12,07	13,31	15,92	13,14	12,68	Al ₂	9,01	14,11	-19,00	-29,26	-19,34	-19,44	-5,82	-13,12	-16,64	-17,80	
Fe ₂ O ₃	0,49	0,15	2,14	0,55	0,81	1,89	0,04	0,22	4,16	Fe ₂	5,64	6,40	-2,61	-5,69	-5,05	-5,33	-6,59	-6,21	+1,64	-5,90	
FeO	0,56	0,07	0,36	0,25	0,36	0,24	0,59	0,39	0,72	Fe	7,71	8,88	-8,27	-8,53	-8,22	-8,56	-7,70	-8,12	-7,45	-7,50	
MnO	0,011	0,011	0,011	0,011	0,011	0,011	0,011	0,011	0,011	Mn	0,68	0,68	-0,68	-0,68	-0,68	-0,68	-0,68	-0,68	-0,52	-0,59	
MgO	0,52	0,34	0,22	0,25	0,24	0,21	0,22	0,08	0,75	Mg	11,84	12,77	-13,19	-13,15	-13,09	-14,04	-13,14	-13,69	-11,05	-13,49	
CaO	0,18	0,09	0,06	0,06	0,06	0,06	0,12	0,15	0,70	Ca	15,50	15,80	-15,88	-15,80	-15,31	-16,04	-15,31	-16,04	-14,05	-15,30	
Na ₂ O	-	0,15	0,08	-	0,08	-	0,08	-	0,08	Na	15,60	16,88	-15,60	-15,88	-15,60	-15,60	-15,60	-15,60	-14,52	-14,62	
K ₂ O	-	0,26	0,20	0,20	0,20	0,20	0,20	0,20	0,20	K	10,88	10,06	-10,23	-10,98	-10,88	-10,88	-10,88	-10,88	-10,20	-8,28	
P ₂ O ₅	0,07	0,42	0,18	0,08	0,12	0,22	0,13	0,15	0,23	P	0,90	0,90	-0,48	-0,90	-0,80	-0,62	-0,77	-0,71	-0,55	-0,91	
S ₂ O ₃	0,10	0,04	0,31	0,10	0,17	0,50	0,38	0,37	0,30	O	22,43	17,72	+19,69	+8,68	+5,52	-24,92	+13,50	-11,97	+30,19	+6,90	
H ₂ O	0,56	0,11	0,32	0,06	0,34	0,04	0,22	0,13	0,26	OH	4,48	13,17	-9,58	-14,02	-9,08	-14,31	-11,03	-12,56	-10,37		
п.п.п.	5,74	4,84	5,28	3,65	4,21	7,42	7,00	6,14	6,56												
Fe	3,58	0,05	0,05	0,05	3,21	0,23	2,90	6,36	0,11												
сумма	99,11	100,06	99,90	100,08	99,43	99,74	100,54	99,49	100,38	100,37	сумма										
d ₈	2,78	2,47	2,52	2,39	2,56	2,70	2,77	2,64	2,55												

XI - кв-каол-сер-гис-ник, XII - кв-каол-ник, XIII - кв-каол-ник, XIV - кв-каол-ник, XV - кв-каол-ник, XVI - кв-каол-ник, XVII - кв-каол-ник, XVIII - кв-каол-ник, XIX - кв-каол-ник(зап), XX - кв-каол-ник(зап), XI-XVIII - кремнеземная цемента.

Превалирует окварцевание, замещение гидрослюдисто-серицитовыми массами, значительную роль играет карбонатизация. Порода интенсивно пиритизирована. В приконтактовой зоне этих тел развиты аргиллизиты, аналогичные по составу внешним зонам описанных выше метасоматических колонок со значительным участием карбоната.

Другой участок серноколчеданного оруденения – участок Гома расположен в ущ.р.Дид-геле и на правом ее берегу, на склоне горы Гома (см. рис.26,30,31). Оруденение и здесь, как и на участке Гудна, приурочено к внутренним зонам аргиллитовой фации, которая проявляет латеральную зональность подобно аргиллизитам на участке Гудна. В отличие от Гудна здесь оруденение значительно беднее и вместо сплошных пиритовых тел имеются лишь интенсивно-пиритизированные зоны. Мощность аргиллитовой фации на данном участке (400–450 м), мощность внутренних зон, приуроченных непосредственно к зонам дробления, менее – 200 м. Внутренняя зона состоит из диккита, диаспора, алюнита, пирита, в подчиненном количестве существует кварц, характерен рутил. В соседней с ней внешней зоне отсутствует диаспор и увеличивается содержание кварца; в самой внешней зоне, которая состоит из каолинита, гидрослюды (серицита), кварца и пирита, наблюдается возрастание количества кварца, а пирита значительно меньше, чем во внутренних зонах. Далее наблюдается постепенный переход в породы кремнеземной фации вторичных кварцитов. Миграция вещества в процессе формирования вторичных кварцитов здесь совершенно аналогична вышеописанной.

Если разрез, приведенный на рис.30, составлен в субмеридиональном направлении вкрест простирации пород и вкрест зональности в аргиллизитах, то разрез на рис.31 составлен в субширотном направлении на том же участке, и вдоль одной из зон аргиллизитов. Она прослежена на 700 м и постепенно с увеличением количества кварца за счет минералов глин и разубоживания пиритом, переходит в кремнеземную фацию вторичных кварцитов. На рис.31 показано взаимоотношение вторичных кварцитов с трахиандезит-трахибазальтовым комплексом лав, лавовых брекчий и туфобрекчий, слагающих вершину г.Гома. Этот комплекс, по данным Ш.А.Адамия и др. (1974₂) датирован верхним эоценом. Примечательно, что гомский комплекс, который перекрывает вторичные кварциты, совершенно не затронут окварцеванием и аргиллизацией. Эти породы изменены относительно слабо и большей частью сохраняют свежий облик. Для них характерна лишь карбонатизация и хлоритизация, развитые, преимущественно, по основной массе. В некоторых случаях (шл.1266, см.рис.32, 33) в гомских лавовых брекчиях встречаются вулканокласты кварцита. На участке Гудна, в ущ.речки Шавассакени, вторичные кварциты секутся жилами трахиандезитов, совершенно аналогичных гомским. Они также подвержены лишь хлоритизации и карбонатизации. Приведенные данные однозначно свидетельствуют о том, что формирование адгарских вторичных кварцитов – процесс синхронный с верхнеэоценовым вулканизмом и вто-

ричное окварцевание моложе гомского комплекса.

Как известно, с верхнего эоценена после закрытия и отмирания рифта Аджаро-Триалетская зона продолжает орогенное развитие. Геодинамическая обстановка соответствует современному средиземноморскому типу, что выразилось в вулканической деятельности андезит-шошонитового состава и мелководном характере седиментации. Именно в этой геодинамической обстановке, сингенетично с андезитовым вулканализмом, в мелководном бассейне, в условиях вулканических островов, происходило формирование вторичных кварцитов и серноколчеданное рудообразование.

4.2. Петрогенетические и физико-химические аспекты формирования вторичных кварцитов и их рудогенерирующая роль

Как видно из данных по миграции вещества, внутренние зоны аргиллитовой фашии формировались с привносом глиноzemса, титана и железа и выносом остальных петрогенных элементов. Одновременно для кремнеземной фашии вместе с привносом кремнеземса характерен вынос остальных петрогенных элементов, в том числе алюминия, титана и железа. По-видимому, эти элементы как наименее подвижные (первые два из них занимают два последних места в ряду подвижности Коржинского, 1953) отлагаются в зонах дробления, образуя минералы глиноzemса диаспор, алунит, цикбит; минерал титана-рутин и серноколчеданное оруденение. Остальные более подвижные компоненты щелочи и основания, по-видимому, выпариваются из зоны изменения.

Кремнеземная фашия формируется с привносом кремнеземса. Источником кремнеземса, возможно, были отчасти внутренние зоны аргиллизитов, где аргиллитизация сопутствовало его выщелачивание. Не исключено, что кремнезем выносился из подстилающих кварциты пород в процессе пропилитизации последних. Как видно, из предыдущей главы, формирование цеолитовых пропилитов сопровождалось значительным выносом кремнеземса, растворимость которого, как известно, в низкотемпературных условиях резко падает (Келледж, 1944, 1950). Следовательно, на верхних уровнях с остыанием раствора могли возникать условия отложения кремнезема и кремниевого метасоматоза.

Аджарские вторичные кварциты относятся к каолинит-диаспоровому типу и представляют собой наиболее низкотемпературную разновидность формации. Его верхний температурный предел устойчивости по термодинамическим расчетам 200–250°C (Щербань, Боровикова, 1977). Формирование зональности в аргиллитовых зонах обусловлено нейтрализацией кислых растворов от диаспоровых и цикбит-алунитовых внутренних зон к внешним – каолинит-гидрослюдисто-серцицитовым. Последнее подтверждается термодинамическим анализом аналогичной зональности, произведен-

ным И.П.Щербанем и Г.А.Боровиковой (1977).

Итак, вторичные кварциты Аджарии образовались при воздействии восходящих низкотемпературных растворов, которые в зонах дробления производили преимущественно аргиллитизацию, а в целом окварцевание. Причем формирование вторичных кварцитов в мелководном бассейне верхнего эоценена происходило, по-видимому, в островных (субаэральных) условиях, о чем свидетельствует наличие гальки кварцитов в окружающих породах (Дзоценидзе, 1960), а также участие в парагенезисе алунита-минерала-индикатора высокого окислительного потенциала и субаэральных условий (Велинов и др., 1976). Островные, субаэральные условия должно быть благоприятствовали вскипанию интенсивной циркуляции и быстрому остыванию гидротермальных растворов, не исключено и участие грунтовых вод. Все эти факторы обусловили формирование вторичных кварцитов. Одновременно в окружающих остров подводных условиях происходила приповерхностная пропилитизация.

Серноколчеданное рудообразование генетически связано с формированием вторичных кварцитов. Кремнеземная фация, особенно монокварциты, относительно слабо пиритизированы. Если учесть тот факт, что в исходных андезитах $FeO + Fe_2O_3 = 6\%$, а в монокварцитах лишь 0,93%, а также большой объем пород кремнеземной фации, то железа, вынесенного в процессе ее формирования, было бы вполне достаточно для образования данного серноколчеданного месторождения. В пропилитизированных породах под вторичными кварцитами к зонам дробления тоже приурочены аргиллиты, хотя они и пиритизированы, но в них нет значительного серноколчеданного оруденения, что объясняется отсутствием выщелачивания и переотложения больших количеств железа в процессе пропилитизации. Последнее косвенно свидетельствует о генетической связи серноколчеданного оруденения со вторичными кварцитами, в процессе формирования которого происходит выщелачивание из вмещающих пород железа и его переотложение в аргиллизитовые зоны.

ВЫВОДЫ: 1. Аджарские вторичные кварциты относятся к наиболее низкотемпературному диаспор-каолинитовому типу.

2. Формирование их кремнеземной фации обусловлено привносом кремнезема и выщелачиванием остальных петрогенных элементов, в том числе наиболее инертных-алюминия и титана, которые с железом переотлагаются во внутренние зоны аргиллизитов, что выразилось в формировании диаспора, алунита, рутила, а также пиритового оруденения. Остальные более подвижные элементы: щелочи и основания выносились из зоны изменения.

3. В процессе формирования вторичных кварцитов имело место переотложение кремнезема из внутренних зон аргиллизитов в зоны окварцевания. Кроме того, кремнезем, по-видимому, выносился и из нижележа-

ших пород в процессе их пропилитизации в этом проявились генетические взаимоотношения пропилитов и вторичных кварцитов.

4. Формирование латеральной зональности в аргиллизатах обусловлено постепенной нейтрализацией кислых растворов от внутренних диаспоровых зон к внешним диккит-алунитовым и гидрослюдисто-серпентитовым.

5. Формирование вторичных кварцитов происходило в субаэральных условиях синхронно с андезитовой вулканической деятельностью на орогенной стадии развития Аджаро-Триалетской складчатой зоны.

5. ГИДРОТЕРМАЛЬНАЯ МИНЕРАЛИЗАЦИЯ ПУСТОТ И ФОРМИРОВАНИЕ АГАТ-ХАЛЦЕНОВЫХ МЕСТОРОЖДЕНИЙ

Гидротермальный процесс выражен как в метасоматическом замещении, так и в гидротермальной минерализации пустот. Восходящие гидротермальные растворы, метасоматически видоизменяя породу, отлагают минералы в пустотах, которые встречаются на пути их следования. Минерализованные пустоты – это гидротермальные жилы и амигдалоиды, а также минерализованные межшаровые, межглыбовые и межбломочные пространства в шаровых лавах, агломератах и туфобрекциях. В строении меловой и палеогеновой вулканической толщи принимают участие мощные покровы пильво лав, агломераты и грубообломочные туфобрекции. Обе толщи были подвержены воздействию интенсивной дислокативной тектоники и обильно промывались гидротермальными растворами, что, естественно, способствовало значительной минерализации пустот. Этот процесс играет существенную роль. Гидротермальные образования подобного рода очень широко распространены как в палеогеновой, так и в меловой вулканических толщах. Минерализация пустот происходит одновременно с метасоматическим преобразованием пород, однако гидротермальные растворы, отлагающие в пустотах минералы, по физико-химическим параметрам (в первую очередь P, T) отличаются от тех порций раствора, которые по-соседству производили метасоматическое замещение. Поэтому гидротермальные жилы и амигдалоиды по минеральному составу отличаются от фоновых гидротермальных метасоматитов.

Амигдалоиды, гидротермальные жилы и минерализованные межшаровые и межбломочные пространства состоят, в основном, из цеолитов, карбонатов, монтмориллонита, адуляра и минералов кремнезема (кварца, халцедона, кристобаллита, опала). Встречаются также высокотемпературная минеральная ассоциация актинолит – эпидот–пренит – кварц.

Выполняющие пустоты минеральные ассоциации подобно пропилитам, проявляют довольно четкую вертикальную температурную зональность.

Палеотермометрия минерализованных пустот определялась методом гомогенизации и декриптизации газово-жидких включений в минералах, по рентгенометрическим температурным критериям, по минеральным парагенезисам температуры образования которых, на сегодняшний день, хорошо изу-

чена. В ряде случаев для установления палеотемператур, мы пользовались результатами экспериментов, моделирующих гидротермальное минералообразование.

Декриптизация и гомогенизация производилась по газово-жидким включениям в кварце и карбонатах. Температуры по рентгенометрическим критериям определялись по эпидоту и цеолитам. Мы пользовались эпидотовым термометром К.Г.И.Стренса (Strenz, 1964). Причем в ряде случаев термометрия по эпидоту контролировалась температурой гомогенизации и декриптизации газово-жидких включений парагенетически сосуществующим с эпидотом кварца. Надежными минералами-термометрами являются цеолиты: ломонит, β -леонгардит и анальцим. Для минералов группы ломонита был установлен рентгенометрический критерий, позволивший различать между собой высокотемпературные (собственно ломониты) и низкотемпературные (β -леонгардиты) разности. Этим критерием явились, в частности, интенсивности пика 3,5 Å, который для ломонита равен 7 условным единицам, а для β -леонгардита - 4 (см.рис.34). По рентгенометрическим данным определяются также низкотемпературные и высокотемпературные разновидности анальцима. Высокотемпературный анальцим ($a=13,71$ Å), по экспериментальным данным (А.Г.Хундадзе и др., 1970), формируется при температуре 250–300°C, а низкотемпературный ($a=13,64$ Å) – в интервале 120–170°C. Отмеченные рентгенометрические температурные критерии были установлены Р.А.Ахвледиани. Эталонные дифрактограммы ломонита, β -леонгардита и анальцима приведены на рис.34. Достоверность полученных выводов подтверждается существованием ассоциации ломонита с высокотемпературным анальцимом и преитом, с одной стороны, и низкотемпературного анальцима и β -леонгардита – с другой. С низкотемпературным анальцимом в парагенетических соотношениях находится и низкотемпературный кальцит, температура образования которого 100–150°C (данные гомогенизации).

В таблице I4 приводится перечень минеральных ассоциаций из минерализованных пустот меловых и палеогеновых вулканических толщ, по которым определялась термометрия процесса.

5.1. Распределение и характер зональности минеральных ассоциаций пустот выполнения в палеогеновой вулканической толще

Минеральные ассоциации, выполняющие пустоты в палеогеновой вулканической толще, проявляют вертикальную температурную зональность. Она хорошо прослеживается по основным опорным разрезам.

В Аджарии в разрезе по ущельям рек Кинтриши и Нагваревисцкали в перангской и нагваревской свитах нами описаны амигдалиды, состоящие из высокотемпературной ассоциации: актинолит-эпидот-кварц, эпидот-преит-кварц, актинолит-кварц. Температура их образования по эпидоту и

Таблица Г4

МИНЕРАЛЫ И МИНЕРАЛЬНЫЕ АССОЦИАЦИИ ОПРЕДЕЛЯЮЩИЕ ТЕМПЕРАТУРУ ИНТЕРСОМАТИТОВ
В МЕЛОВОЙ И ПАЛЕОГЕННОЙ ВУЛКАНИЧЕСКИХ ТОЛЛАХ

№	№ опр.	Минералы и минеральные ассоциации	Выделяющие породы и их возраст	Форма нахождения	Т°С формирования	Обоснование
I	2	3	4	5	6	7
I	I 135, Г 1476, 15338, 25474, 2554, 2465, 2528, 2545, 2529, 3319, 3096, 3034, 3043.	Эп-ка	Базальтовые туфоморены и туфобреекчи, ср.-зоцен, чицильская свита	Гидротермальные жилы, минерализованные жилы, глыбовые и мелкоблоковые постройки в элювиальных тuffобреекчиях	360-470 по эпизону И.Гуревича (168, 1965) на основе его же листности; состав изверженного рентгеноспектрально-химического кварца на основе минералов, макропризнаков и геохимических газо-жидких показаний	Гидротермальная определена по И.Гуревич (168, 1974),
2	Х61, Х64, Х67, Х76, Х77	Пр. пр-ти-ком-жв	Андалузитовые туфы и ср. зоны	Гидротермальная жила	300°	Составлена ассоциацией по И.П.Гуревич (168, 1974).
3	Р 14, Р 165	Лом-кц	Базальтовые туфобреекчи и базальтовые шаровные лавы, ср.-зоцен	Гидротермальные жилы, выполненные минеральными пространствами в моренных насыпях	285-300	Г. собравшим ассоциации по И.П.Гуревич (168, 1974).
4	Р 25	Ом-лес-ан-жон	Базальтовые туфобреекчи, ср.-зоцен, чицильская свита.	Гидротермальная жила	220-270-320 по температуре застывания лавовых потоков и 170-120 по анализу	220-270-320 по температуре застывания лавовых потоков и 170-120 по анализу
5	Р 39, Р 42	Ан-ки-ком-жв	Базальтовые туфы, ср.-зоцен, чицильская свита	Гидротермальная жила	235-150	Г.Л.Гуревич (168, 1974) 255°C, 150°C
6	в 40	Иц-кз-ви	Верхнелавовые известники	Гидротермальная жила	250-300	Г.Л.Гуревич (168, 1974) 255°C, 150°C
7	в 60.	Лом-кц-ком	Базальт, эльб	Гидротермальная жила	235-285	Г.Л.Гуревич (168, 1974).
8	в 62, в 63	Ге-мон-жв	Андалузитовые туфы, эльб	Минерализованная зона дробления	150-230	Область стабильности регионального З3. Селлерова и Н.И.Лихарова (168, 1970)
9	в 53, в 55	Ки-ан-ком-жон	Анделант, верхи эльба	Гидротермальная жила	250-300	Г.формирована ассоциации по анализу, рентгеноаметрические критерии, на основании экспериментальных А.Куралзе и др. (167, 1970), обоснование в темпе конвекции предложенной минерализации разноступенчатой, основано на геохимических критериях аналогичных логарифмических показаний лог-пр.

(Продолжение)

1	2	3	4	5	6	7
10 e 20	Kц - β -Fe	Ангелитовый туф, ср. зоны	Гидроформальная зона	120-170	На основании гомотипизации газо- воздушных включений в кальцине	
11 e 58	β -лев-тоз	Базальт, эп.з.			120-170 по лейкограниту	Обоснование г. формирования приводится в тексте. 2000- вер- хний температурный предел устойчи- вости толбокита по эксперименталь- ным данным добреца и др. (169, 1572).
12 e 59	β -из-аподицит	Базальт, эп.з.			120-170	На основании г. формирования лейкогранита обоснование в тексте.
13 p 199, p200, p 207, p203	β -ле-мон-ки-х	Базальт-изорные языки, ср. зоны, цидальная синга	Минерализация моновар- иат пространств	120-170	" " "	
14 186/69, 190/69	3/68, 5/68, ге-х-ци-эр-лон	Деленит	Минерализация зон адро- лита	150-250 по ге- ланиту; 120-170 по кальце- ну	Область стабильности ге-ланита по З.Э.Сенярову и Н.И.Хитрову 117°C точки извержения кристал- лизации в гранитах.	
15 p 126	МОН-ВН- β -ле	Ангелитовые турборектиты, ср. зоны.	Минерализованные ме- диоморточные пространства и зоны адробакта	120-170	На основании содержания никотин- перекретного анальгина в лейког- раните, обоснование в тексте	
16 e 91	КИР	Ангелитовые туфы, ср. зоны сенона-верми эп.з.	Гидроформальная зона	120-100	Г. формирования кальцитового	
17 x 51	КИР	Ангелитовые туфы, ср. зоны	Цемент туфов	" "	по З.Э.Сенярову и Н.И.Хитрову (109,1970).	
18 e II	КВ-МОР	Ангелитовые агломераты ту- форектиты, мел.	Минерализация моновар- иат и метаболомитов	150-250	Г. область стабильности мордента по З.Э.Сенярову и Н.И.Хитров	
19 p 534, p553 p 563	ан-МОР			" "	На основании рентгеновских критерий анальгина, обоснование в тексте.	
20 Г 199, Г 200 Г 207, Г 212	β -че-мо-э-хи	Базальтовые языки, ср. зоны, чильтская свита.	Минерализация моновар- иат пространств	120-170	На основании участия в ассоциа- ции β -леонитарита.	

гомогенизации и декриптизации газово-жидких включений в кварце 470 - 370°C. Примечательно, что на том же стратиграфическом уровне встречаются и низкотемпературные халцедонсодержащие ассоциации ломонит-анальцим-халцедон-кальцит, халцедон-кальцит-хлорит, а также поры, выполненные исключительно халцедоном. Стратиграфически выше чидильскую свиту секут ломонит-кальцитовые прожилки, температура образования которых по ломонитовому термометру 250-280°C. Еще выше, в верхах чидильской свиты и в верхнеэоценовой толще, широко распространены гидротермальные жилы и амидалоиды анальцима и анальцим-натролита. Анальцим представлен низкотемпературной разновидностью - 120-170°C. Встречаются также прожилки β -леонгардита и кальцита.

В разрезе по ущ.р.Губазеули-Бахвисцкали (Гурия) /см.рис.4/, где среднеэоценовая толща достигает огромной мощности (5000 м). В ее нижней части, в породах гадрекильской подсвиты (чидильская свита) имеются кварц-актинолитовые и кварц-эпидотовые минеральные ассоциации, температура образования которых определенных по эпидоту и кварцу (гомогенизация и декриптизация газово-жидких включений) соответствует 470 - 350°C. Стратиграфически выше в шаровых лавах (напоцхварская подсвита), в межшаровых пространствах установлена минеральная ассоциация β -леонгардит-монтмориллонит-кальцит-адуляр сформированная при температуре 120-170°C. Еще выше, в верхах среднего и в верхнем эоцене пустоты выполнены низкотемпературными ассоциациями анальцим-монтмориллонита и анальцим-кальцита (120-170°C).

В Месхетии по р.Цинубани палеогеновая вулканическая толща обнажена по всей мощности (см.рис.4). Ликанская свита (низы комплекса) секут прожилки и минерализованные зоны дробления, представленные ассоциациями β -леонгардит-анальцим-кальцит и β -леонгардит-монтмориллонит-кальцит. Температура формирования этих ассоциаций определенная, на основании участия низкотемпературного анальцима и β -леонгардита, - 120-170°C. Стратиграфически выше квабисхевскую свиту секут β -леонгардит-кальцитовые прожилки. Еще выше, в верхах квабисхевской свиты (делленитовый горизонт, по Татишвили) минерализованные зоны дробления интенсивно монтмориллонитизированы, а трещины и пустоты выполнены халцедоном (β -кростобаллит, тридимит), кальцитом, эрионитом и гейландином. Нижний температурный предел формирования этой ассоциации 117°C (точка перехода β -кростобаллита в тридимит).

Гуркельский горизонт (стратиграфический аналог двирской и чидильской свит) характеризуется минеральной ассоциацией анальцим-гейландин-кальцит (с низкотемпературным анальцимом), а также интенсивной клиноптилитолитизацией. Нижний температурный предел формирования клиноптилолита менее 100°C.

В разрезе, составленном вдоль ущ.р.Куры, в районе Аспиндза (см.рис. 4), где обнаруживаются, в основном, породы двирской (чидильской) свиты, в

минералообразованных пустотах также наблюдается вертикальная температурная зональность. В низах свиты базальтовые туфобрекции секутся ломонтит-кальцитовыми прожилками, с температурой формирования 250–300°C. Там же имеются высокотемпературные минерализованные зоны дробления с ассоциацией гейландит-кальцит-пренит-хлорит. Выше базальтовые туфобрекции секутся десмин-анальцим-хлоритовыми прожилками, содержащими высокотемпературный анальцим (T 250–300°C). Еще выше обнажены шаровые лавы с межшаровыми пространствами, выполненные халцедоном, β -леонгардитом и кальцитом. Температура их формирования по β -леонгардиту 120–170°C.

Высокотемпературные минеральные ассоциации пустот выполнения характерна для палеогеновой вулканической толщи, обнаженной в ущ.р.Тана (см.рис.8). Здесь температуры их формирования колеблются от 300°C и более (для пренит-кальцитовых и пренит-ломонтитовых ассоциаций) до 250–300°C (для ломонтитсодержащих гидротермальных жил). В целом для этого разреза характерна высокая температура гидротермальной минерализации пустот по всей его мощности, хотя в самых верхних горизонтах, отсутствие пренитсодержащих ассоциаций указывает на некоторое остывание растворов в приповерхностной зоне.

Обилие цеолитовой минерализации в пустотах выполнения свидетельствует о барибобной природе этих минералов.

Наряду с цеолитами хорошим термометром гидротермального процесса являются минералы кремнезема. Наблюдаются две генерации: определенно высокотемпературная, в ассоциации с актинолитом и эпидотом, и низкотемпературная, в ассоциации с цеолитами, монтмориллонитом и кальцитом. Первая ассоциация характерна для больших глубин (Губазеульский разрез, южная Гурия, см.рис.4). Здесь кремнезем представлен кварцем. Он вместе с эпидотом и актинолитом метасоматически замещает основную массу породы. Встречаются также высокотемпературные кварц-эпидот-актинолитовые и кварц-актинолитовые гидротермальные жилы. Температура образования кварца определена методом декриптизации и подтверждается гомогенизацией газово-жидких включений – 350–370°C. Температуры по эпидоту равны 360–470°C.

Другая, низкотемпературная разновидность кремнезема – халцедон – широко распространена в Месхетии. Здесь на приповерхностных уровнях в зонах дробления и оглиниения в ассоциации с цеолитами (гейландит, эрионит), кальцитом и монтмориллонитом наблюдается очень богатая халцедоновая минерализация (группа агатовых месторождений Месхетии). Температура образования халцедона по взаимопереходу его модификации β – кристоболит-тридинит равна 270–117°C. Преобладают низкотемпературные разновидности кремнезема (150–117°C). Факт существования пространственно разобщенных высоко- и низкотемпературных разновидностей минералов кремнезема (кварца и халцедона) в минерализованных пустотах подтверждает

ранее обсуждавшуюся (глава 3) зависимость растворимости кремнезема от температуры раствора. Тяготение же высокотемпературных разновидностей кварца к глубинным уровням, низкотемпературного халцедона к приповерхностным, подтверждает существование вертикальной температурной зональности в распределении минеральных ассоциаций пустот выполнения в палеогеновой вулканической толще.

В Аджарии, в низах палеогеновой толщи (опорный разрез по ущ.р. Нагвареви) отличалось сосуществование амигдалоидов, состоящих из высокотемпературной минеральной ассоциации - актинолита, эпидота, пренита и кварца, с одной стороны, и амигдалоидов с низкотемпературной минерализацией - халцедона, анальцима и ломонтита - с другой. Однако здесь не было обнаружено амигдалоидов, в которых наблюдалось бы сонахождение низко- и высокотемпературных минералов, следовательно, низкотемпературные, барифобные ассоциации, по-видимому, отлагались в свободных пустотах.

Формирование высокотемпературных миндалин, возможно, происходило единовременно с фоновой высокотемпературной пропилитизацией, тем более, что по минеральному составу продуктов они аналогичны. Что касается амигдалоидов с барифобной низкотемпературной минерализацией, то их формирование, вероятно, обусловлено остыванием растворов к концу поствулканической деятельности и регрессией процесса. Дело в том, что в условиях высокой литостатической нагрузки остывшие гидротермальные растворы уже не могли производить метасоматическое преобразование пород в нижних горизонтах толщи и лишь отлагали низкотемпературные барифобные минералы в свободные пустоты.

В западном сегменте зоны, в пропилитизированной палеогеновой вулканической толще, с хорошо выраженной зональностью пропилитов, зоны дробления на глубинных и промежуточных уровнях, характеризуются цеолитовой минерализацией, тогда как на приповерхностных уровнях в зонах дробления превалирует аргиллитизация (каолинитизация, монтмориллонитизация, гидрослюдизация). Это явление можно объяснить вскипанием восходящего раствора с возгоном углекислоты, что привело к его расщеплению на две порции щелочную и кислую и обусловило цеолитовое минералообразование в нижней части и аргиллитизацию в верхах палеогеновой толщи.

5.2. Формирование палеогеновых агат-халцедоновых месторождений

Продуктом гидротермальной минерализации пустот являются значительные по масштабу и экономически эффективные Месхетские агат-халцедоновые месторождения. Как уже отмечалось, халцедонообразование – довольно широко распространенный процесс в верхах палеогеновой вулканической толщи. Оно связано с остыванием восходящих гидротермальных растворов на приповерхностных уровнях, что способствовало отложению из них кремнезема и формированию агат-халцедоновых месторождений. В

Месхетии известно несколько таких месторождений, размещенных в верхах квабисхевской и в двирской свитах. Наиболее значительные из них шурдойская и памачская группы месторождений известны также менее значительные агат-халцедоновые проявления в окрестностях с.Рустави, в ущ.р.Цинубани (см.рис.35). Халцедоновая минерализация имеется и в верхнеэоценовой толще (адигенская свита), в окрестностях с.Млаше, где халцедон цементирует псевдитовые туфы и туфобрекции андезитового состава и образует в них прожилки и гнезда изометрической формы.

Следует отметить, что агат-халцедоновая минерализация в Месхетии всегда тяготеет к верхам палеогеновой толщи.

Наиболее крупное месторождение известно в окрестностях с.Шурдо, в смоляно-черных делленитовых лавах, которые, по данным М.Г.Татишвили (1974), составляют агатоносный горизонт, прослеживающийся примерно на 30 км при средней мощности до 0,5 км. Этот горизонт совместно с вышележащей туфогенной свитой завершает разрез среднеэоценовых отложений в полосе между меридианами Абастумани и Ацкури. Так называемый агатоносный горизонт из чередующихся маломощных потоков пехштейновых лав почти на 85–90% состоит из кислого вулканического стекла. Кроме того, в его строении принимают участие отдельные покровы, экструзии и дайки, сравнительно лучше раскристаллизованных розовато-серых делленитов.

Халцедоновая минерализация приурочена к зонам дробления в смоляно-черных делленитах. Эти зоны подвержены интенсивному оглинению–монтмориллонитизации и цеолитизации (гейландит–эрionит), а также некоторой карбонатизации и замещению гидрослюдистыми массами. Мощность зон минерализации от 2 до 30 м. Для них характерна определенная горизонтальная зональность. В центральных частях развита минеральная ассоциация халцедон–эрionит–гейландит с подчиненным количеством монтмориллонита. Затем роль монтмориллонита постепенно возрастает, а халцедона и цеолитов снижается; к флангам превалирует минеральная ассоциация монтмориллонит–гидрослюда–карбонат–пирит с амидалоидами халцедона. В самой крайней зоне полностью сохранена исходная структура и текстура делленитов и встречаются неизмененные участки. В делленитах, граничащих с зонами дробления, прослеживается лишь слабая гидрослюдизация по трещинкам скальвания.

Хрупкие и пористые деллениты, подверженные значительному дроблению, представляли собой исключительно благоприятную среду для проникновения и циркуляции гидротермальных растворов, что привело к их интенсивному гидротермальному изменению и формированию халцедоновой минерализации.

Другое значительное агат-халцедоновое проявление известно под названием Памачской группы месторождений (участки Орали, Борбalo и Зиарети). Агат-халцедоновая минерализация здесь приурочена к межглы-

бовыми пространствами в агломератовых туфах и к зонам дробления в них. Туфы андезит-базальтового состава и относятся к среднезооценовой двирской свите. Агатопроявление приурочено к ее верхним горизонтам. Халцедон ассоциируется с цеолитами (гейландит, морденит) и с кальцитом.

Еще одно агатопроявление расположено в окрестностях с.Рустави. Оно приурочено к межшаровым пространствам пиллоу лав-плагиобазальтов. Межшаровые пустоты выполнены минералами кремнезема: халцедоном, кварцем, горным хрусталем (аметистом) в ассоциации с кальцитом и доломитом. Характерно полное отсутствие цеолитизации. Оторочки вокруг межшаровых пространств замещены монтмориллонитом, халцедоном, карбонатными массами и интенсивно лимонитизированы.

Агатоносная зона линейного простирания прослеживается также в грубообломочных агломератовых туфах и туфитах верхнезооценовой Адигенской свите на западе Месхетии, вдоль левобережья р.Кваблиани. Агатовая минерализация приурочена к оглиненному (монтмориллонитизированному) цементу агломератовых туфов (промышленного значения не имеет).

Месхетские агатовые месторождения и процесс агатообразования изучались Н.А.Аркальевым (1965) и Б.Н.Шароновым (1965). По их данным Месхетские агатовые месторождения являются низкотемпературными приповерхностными гидротермальными образованиями, формирующими по тектоническим зонам дробления, либо текстурным пустотам (межшаровые пространства).

Упомянутые авторы считают, что агатовые месторождения пространственно связаны с эфузивами среднего ряда основности. Месхетские агатопроявления они датируют миоценом, так как, по их мнению, халцедонообразование генетически связано с внедрением жил и штоков "розовых" андезитов и андезито-дацитов, которые они считают аналогами андезитов миоценовой Годердзской свиты. Кремнезем, по мнению этих авторов, выщелачивался из вмещающих месторождений андезитов в процессе их изменения и переотлагался в виде халцедоновой минерализации.

Мы вполне согласны с Н.А.Аркальевым и Б.Н.Шароновым, что агат-халцедоновые месторождения Месхетии являются приповерхностными низкотемпературными гидротермальными образованиями и вмещающие породы играли значительную роль как источник кремнезема в процессе халцедонообразования. Что же касается состава вмещающих пород и возраста халцедонообразования, то мы придерживаемся другого мнения. Агат-халцедоновые месторождения не всегда развиты в породах среднего ряда основности – андезитах, как это утверждают авторы. Таковыми отнюдь не являются андезиты, в которых расположено наиболее крупное Шурдойское месторождение, содержащие, по данным М.Г.Татишвили (1974), от 61 до 70% SiO_2 . Именно эти породы Н.А.Аркальев (1965) и Б.Н.Шаронов (1965) описывали как смоляно-черные и розовые андезиты. Памачская группа месторождений приурочена к туфобрекциям и агломератам андезит-базальтового состава,

а вмещающие породы Руставского месторождения – плагиобазальтовые лавы.

Н.А.Аркальев и вслед за ним Б.Н.Шаронов возраст халцедонообразования считают миоценовым, основываясь на генетической связи халцедоновых месторождений с розовыми андезитами (делленитами), которые они рассматривают как секущие тела миоценового возраста. Однако не все розовые деллениты, секущие тела, М.Г.Татишвили (1974), а вслед за ним и мы, наблюдали чередование покровов "розовых" делленитов, со "смоляно-черными", так что как "розовые", так и "смоляно-черные" деллениты являются эоценовыми образованиями. Кроме того, в районе месторождения, в домиоценовых песчаниках приабонского яруса и в олигоценовых конгломератах было обнаружено большое количество халцедоновых галек (Лалиев, 1964). Поэтому мы не видим основания датировать процесс халцедонообразования миоценом.

Н.А.Аркальев (1965) и Б.Н.Шаронов (1965) источником кремнезема для халцедонообразования считают вмещающие породы, из которых в процессе аргиллитизации выносились кремнекислота и переотлагалась в виде халцедона. Мы не отрицаем значительной, возможно даже определяющей роли выщелоченного из шурдойских делленитов кремния в процессе их оглинения и переотложение его в виде халцедона, тем более, что это подтверждается данными миграции вещества (табл. I5, см.рис.36). Однако памачские андезито-базальтовые туфобрекчи и тем более руставские базальты при слабом оглинении и цеолитизации (замещение высококремнеземными цеолитами – морденит, гейландит) не могли освободить достаточного для агатообразования, количества кремнезема. Следовательно, в данном случае источник кремнекислоты следует искать вне вмещающих пород. Для этого мы детально изучили миграцию вещества в процессе пропилитизации. Эоценовая серия Месхетии подвержена хлорит-альбитовой и цеолитовой пропилитизации, происходящей со значительным выщелачиванием кремнезема (табл.9).

Как известно, эоценовая серия Месхетии очень богата цеолитами. Цеолиты-ломонтит, гейландит, сколецит, шабазит, морденит, анальцим, натролит, эрионит, десмин слагают гидротермальные жилья – выполняют межшаровые пространства лав, участвуют в цементе брекчии, выполняют пустоты и миндалины в лавах и т.д. Цеолитовая ассоциация Месхетии детально была изучена Г.В.Гвахария (1951) и Т.В.Батишвили (1972). Мы тоже располагаем богатым материалом по цеолитам Месхетии как в породах, подстилающих агатоносные свиты, так и в самом агатовом горизонте.

Наиболее распространенными цеолитами, пространственно связанными с нижними и средними уровнями палеогеновой вулканической толщи Месхетии и подстилающими агат-халцедоновые месторождения, являются ломонтит, гейландит и десмин. По данным Э.Э.Сендерова и Н.И.Хитарова (1970), эти цеолиты равновесны с растворами, насыщенными кремнеземом. Следовательно,

Таблица 15

Гидротермальные аргиллиты в районе Месхетского агатового месторождения (окр. с. Шурдо)

Оксиды	Исход- нан						Изменение						Миграция					
	I	II	III	IV	V	VI	УП	УШ	1926	Атомы	II	III	IV	У	VI	УП	УШ	
SiO ₂	61,12	64,42	58,40	55,58	65,96	62,75	63,67	60,05	Si	-19,68	-37,84	-41,72	+ 4,19	- 9,03	+10,47	-29,88		
TiO ₂	0,53	0,53	0,25	0,28	0,21	0,24	0,35	0,30	Ti	- 0,45	- 0,58	- 0,56	- 0,54	- 0,53	- 0,29	- 0,50		
Al ₂ O ₃	14,27	14,09	15,49	15,32	11,66	13,40	12,58	13,74	Al	- 7,49	- 6,64	- 6,66	- 8,41	- 5,54	- 3,44	- 8,83		
Fe ₂ O ₃	3,16	1,50	2,33	0,12	0,71	0,08	3,60	Fe	- 3,59	- 2,37	- 2,34	- 5,20	- 4,30	- 5,26	- 0,49			
FeO	1,80	1,62	0,54	0,54	0,63	0,54	3,42	Нет	Fe	- 0,91	- 2,64	- 2,63	- 2,28	- 2,48	+ 3,29	- 3,42		
MnO	0,14	0,10	0,03	0,03	0,14	0,14	0,14	Mn	Mn	- 0,11	- 0,23	- 0,22	- 0,27	- 0,27	+0,009	- 0,05		
MgO	нет	1,02	1,06	2,89	0,80	1,21	0,90	1,66	Mg	+ 2,81	+ 2,73	+ 7,53	+ 3,15	+ 3,15	+ 4,49			
CaO	3,01	1,80	4,16	5,78	3,81	4,22	3,54	3,31	Ca	- 3,76	+ 0,38	- 0,25	* 1,53	+ 2,03	+ 1,57	- 0,89		
Na ₂ O	3,52	4,15	0,85	0,66	2,21	0,92	2,70	3,00	Na	- 0,62	-T2,66	-13,27	- 6,21	-II,82	- 3,23	- 4,95		
K ₂ O	2,80	4,18	1,03	0,76	2,47	1,51	3,86	3,10	K	+ 1,75	- 5,84	- 6,42	- 1,28	- 4,13	+ 3,43	- 0,94		
P ₂ O ₅	0,01	0,08	0,05	0,09	0,09	0,07	-	0,09	P	+ 0,11	+ 0,05	+ 0,15	+ 0,15	+ 0,10	- 0,02	+ 0,12		
H ₂ O	3,30	1,29	7,86	9,15	4,26	5,16	3,31	0	O	-75,08	-78,87	-74,83	- 9,18	-27,98	+16,26	-82,22		
п.п.	6,30	5,33	7,64	8,41	7,62	9,08	5,61	7,55	OH	-34,10	-40,68	+56,65	+II,62	+2I,21	+ I,77	- 9,95		
Сумма	100,16	99,71	99,69	99,82	99,84	99,81	100,10	99,99	баланс	I41,I3	-103,81	-84,59	-13,33	-39,00	+27,72	-137,50		
dur	2,27	1,84	1,72	1,74	2,16	2,06	2,34	1,81										

I - делленит, ср.эоцен, квадрохевская свита, обр.с. Шурдо, II - мон-грс-х-пг(re), III - мон-грс-ка-пг, (re), IV - мон-грс-пг, У - мон-грс-х-пг, VI - мон-ка-г-пг, УП - мон-грс-ре-пг, УШ - мон-грс-пг.

восходящие гидротермальные растворы были насыщены кремнеземом уже в зоне подстилающей агатоносный горизонт. Однако это вовсе не отрицает факта выщелачивания и переотложения кремнезема в процессе монтмориллонитизации деленитов – вмещающих пород Шурдойского месторождения, на что указывал Н.А.Аркадьев и Б.Н.Шаронов. Более того, большие масштабы Шурдойского месторождения, а оно является наиболее крупным в Месхетии, обусловлены именно этим явлением. Следует лишь отметить, что вместе с кремнеземом, который выносился непосредственно из вмещающих пород месторождения, существовал и другой источник кремнезема – мощная вулканическая толща, подстилающая агатоносный горизонт, из которой кремнекислота выносилась в процессе ее пропилитизации. Этот источник, по-видимому, являлся основным при формировании памачских и руставских месторождений. О высокой кремнекислотности восходящих растворов свидетельствует также наличие высокоокремнистых цеолитов в гидротермальных жилах и минерализованных пустотах развитых в подстилающих месторождения породах.

По наблюдениям Ц.Ш.Каргаретели (1974), на Шурдойском месторождении в порах делленитов наблюдается концентрическое чередование цеолитов с минералами кремнезема – халцедоном и кварцем. Эти чередования, по-видимому, свидетельствуют о некотором колебании температуры растворов и активностей щелочей и кремнезема в процессе гидротермальной деятельности.

5.3. Гидротермальная минерализация пустот в меловой вулканической толще

Гидротермальный парагенезис пустот в палеогеновой вулканической толще сингенетичен и синхронен с фоновой пропилитизацией, и его палеогеновый возраст не вызывает сомнения.

Минерализация пустот в палеогеновой вулканической толще проявляет довольно четкую вертикальную зональность. По иному обстоит дело в меловой толще, которая подстилает интенсивно измененную палеогеновую. Здесь, естественно, могут существовать меловое и палеогеновое гидротермальное минералообразование.

В меловой вулканической толще ведущую роль в минерализации пустот играют цеолиты. Эти барибонные минералы могут быть продуктами как мелового, так и палеогенового процесса. Учитывая высокую литостатическую нагрузку на меловую вулканическую толщу в палеогене и низкий термоградиент в восточном сегменте зоны, можно предполагать, что палеогеновое гидротермальное минералообразование проявилось лишь в цеолитизации пустот. Однако в меловой вулканической толще, подверженной интенсивной цеолитовой пропилитизации, должны быть гидротермальные жилы и амигдалиды мелового же возраста. Ниже мы попытаемся подразделить минералообразование пустот в меловой толще на меловое и палеогеновое. Для этого

рассмотрим распределение минеральных ассоциаций, формирующих амигдалиды и гидротермальные жилы в меловой и палеогеновой вулканической толще на примере Тедзамских спорных разрезов (см.рис.8, кол.У1, УП). В низах палеогеновой вулканической толщи амигдалиды состоят исключительно из высокотемпературных цеолитов ломонтита и анальцима ($T=250-300^{\circ}\text{C}$). В том же разрезе, в верхах меловой толщи амигдалиды и гидротермальные жилы состоят как из низкотемпературных, так и из высокотемпературных минеральных ассоциаций. К первым относятся кварц-низкотемпературный анальцим-кальцит ($120-170^{\circ}\text{C}$), β -леонгардит-кальцит ($120-170^{\circ}\text{C}$), β -леонгардит ($120-170^{\circ}\text{C}$), гейландит-монтмориллонит-кварц ($120-170^{\circ}\text{C}$), клиноптиллит ($100-120^{\circ}\text{C}$). Одновременно на тех же уровнях в меловой толще по соседству с низкотемпературными амигдалидами встречаются высокотемпературные разновидности анальцим-кальцит ($250-300^{\circ}\text{C}$) и ломонтит-кальцит ($285-300^{\circ}\text{C}$). В низах вулканогенного мела здесь развиты исключительно высокотемпературные гидротермальные прожилки, представленные ломонтит-кальцит-монтмориллонитом ($235-285^{\circ}\text{C}$) и анальцим-монтмориллонитом ($250-300^{\circ}\text{C}$). Кроме того, в меловых туфобрекчиях встречаются вулканокласты, сложенные ломонтитом и кальцитом ($T=285-300^{\circ}\text{C}$). Описанное распределение высокотемпературных и низкотемпературных ассоциаций в меловой и палеогеновых толщах Тедзамского разреза позволяет сделать следующий вывод: низкотемпературные цеолитовые прожилки и амигдалиды в верхах мела (учитывая наличие высокотемпературных амигдалидов в низах палеогена того же разреза), вероятно, позднемеловые и являются продуктами меловой поствулканической деятельности. Высокотемпературные прожилки в верхах мела, находящиеся по соседству с отмеченными низкотемпературными ассоциациями, по-видимому, представляют собой продукты палеогеновой гидротермальной деятельности. Наличие ломонтит-кальцитовых вулканокластов в меловой толще свидетельствует о меловой относительно-высокотемпературной ($285-300^{\circ}\text{C}$) гидротермальной активности в низах меловой толщи. Следовательно, и в меловой толще существует вертикальная температурная зональность минерализации пустот.

Кроме цеолитов и карбоната в меловой вулканической толще Тедзамского ущелья значительную роль играет агат-халцедоновая минерализация. В окрестностях с. Чхониани в меловых базальтовых андезитах она формирует экономически рентабельное и ныне разрабатываемое агат-халцедоновое месторождение. Скопления халцедона приурочены к зонам дробления и аргиллитизации, выраженной в замещении породы монтмориллонитом и гидрослюдой. Халцедон, аметист и горный хрусталь образуют гнезда и жилы в монтмориллонитизированной массе. В ассоциации с названными минералами участвуют морденит, гейландит и кальцит. Халцедон замещает и вышеалегающие риолитовые туфы. Некоторая халцедонизация наблюдается и в самых низах турон-датской карбонатовой толщи. Учитывая низкотемпературную природу халцедонообразования и его тяготение к верхам меловой вулканической толщи, можно полагать, что халцедон подобно низкотемпературным

хилам и амигдалоидам цеолитов является продуктом меловой поствулканической активности. Последнее подтверждается следующими геологическими данными. В смежном районе (см.рис.37), в низах палеогеновой толщи ущ. р.Сарван, в вулканокластитах нами было обнаружено большое количество обломков халцедона (см.рис.38). Так как в низах палеогена неизвестна халцедоновая минерализация, можно думать, что этим обломки выброшены извержением из меловых минерализованных зон. Кроме того, в ущелье р. Тана, примерно на том же стратиграфическом уровне, Г.А.Микадзе была найдена галька халцедона, андезитов и мергелистых известняков. Последняя в большом количестве содержит верхнемеловую микрофауну (см.рис.39).

Heterohelix globulosa (Eherenb) - $K_2^{t+m_1}$, *Globotruncana* sp.- K_2^{t+m} , *Heterohelix striata* (Eherenb)- K_2^{con+m} , *Globotruncana Laparenti* Brotz- K_2^{t+m} , *Heterohelix moremani* (Cushman) - K_2^{con+m} , *Globigerinoides Esheri* (Kaufman) K_2^{con} (определения Д.Г.Ахвледиани).

Из всего вышесказанного следует, что халцедонообразование является позднемеловым процессом.

ВЫВОДЫ

1. Распределение в пространстве минеральных ассоциаций, выполняющих пустоты, хорошо отражает вертикальную температурную зональность в среднеэоценовой вулканической толще Аджаро-Триалетии.

2. Гидротермальная минерализация пустот сингенетична и синхронна фоновой пропилитизации и завершающей ее гидротермальной аргиллитизации, однако вследствие особой физико-химической обстановки минеральные ассоциации пустот выполнения отличаются от фоновых продуктов метасоматического преобразования толщи.

3. Характер миграции вещества в процессе пропилитизации и гидротермальной аргиллитизации, состоящей в выносе из исходных пород значительного количества кремнезема и щелочей, обусловил образование цеолитовой ассоциации в зонах перепада давления (трещины, поры, межшаровые и межглыбовые пространства) и цеолит-халцедоновой ассоциации на малых глубинах, где наряду с падением литостатического давления быстро падала и температура раствора, что способствовало выпадению низкотемпературных минералов кремнезема.

4. Сосуществование высокотемпературных актинолит-эпидот-пренит-кварцевых амигдалоидов и более низкотемпературных ломонтит-анальцим-халцедон-кальцитовых амигдалоидов в нижних частях среднеэоценовой толщи в Аджарии свидетельствует об эволюции гидротермального раствора во времени. Низкотемпературные амигдалоиды являются более поздними и их формирование обусловлено остыанием гидротермальной системы на завершающем этапе гидротермальной деятельности.

5. Источником кремнезема для агат-халцедоновых месторождений Месхетии были породы среднеэоценовой толщи, из которых в процессе пропилитизации и гидротермальной аргиллитизации выносилась кремнекислота, которая с оставлением раствора в структурно-благоприятных условиях переотлагалась в виде агат-халцедоновой минерализации.

6. В минеральных ассоциациях пустот выполнения наиболее значительную роль играют цеолиты, что свидетельствует о барифобной природе этих минералов. Последнее иллюстрировалось и на примере пропилитизации, где цеолитизация тяготеет к приповерхностным уровням.

7. В региональных пропилитах к зонам дробления на глубине приурочены цеолиты, а на приповерхностных уровнях – аргиллизиты, где основную роль играет каолинит. Последнее свидетельствует об определенном кислотно-основном взаимодействии в процессе гидротермальной минерализации пустот и зон дробления. Цеолиты образуются в щелочных условиях, каолинит в слабокислых. Такое разделение, по-видимому, обусловлено вскипанием гидротермальных растворов и возгоном кислотных компонентов, а также его дифференциацией на кислые и основные порции.

8. Относительно низкотемпературные палеогеновые гидротермальные растворы в условиях высокой литостатической нагрузки не производили метасоматических преобразований в меловой вулканической толще восточно-го сегмента. Палеогеновая гидротермальная деятельность в меловых вулканитах проявилась лишь в формировании цеолитовых амфигалоидов и гидротермальных жил.

9. Тедзамское агат-халцедоновое месторождение является, вероятно, продуктом меловой поствулканической деятельности. Об этом свидетельствует наличие вулканокластов и гальки халцедона в низах палеогеновой толщи совместно с гальками мергеля, содержащей верхнемеловую микрофауну.

6. ФОРМАЦИИ ПРИКОНТАКТОВЫХ МЕТАСОМАТИТОВ И СВЯЗАННЫЕ С НИМИ РУДНЫЕ И НЕРУДНЫЕ МЕСТОРОЖДЕНИЯ

Палеогеновую вулканическую толщу на разных уровнях прорывает множество относительно крупных и малых интрузивных тел основного-габброидного и габбро-монцонитового и среднекремнекислого -диоритового и сиенит-диоритового состава. Первые являются комагматами среднеэоценовой толеит-щелочнобазальтовой толщи и кали-argonовым методом датируются средним эоценом, вторые, датируемые верхним эоценом, комагматы верхне-эоценовой андезит-шошонитовой толщи. Все они подвержены внутринтру-зывной пропилитизации, однако отличаются по характеру приконтактового метасоматоза. Габбро-монцонитовые тела, внедренные в базальтоидную толщу, характеризуются приконтактовой высокотемпературной пропилитизацией, тогда как приконтактовый процесс среднекремнекислых интрузий проявился в полевошпатовом метасоматозе, серпентинизации и аргиллитизации. Прикон-

тактовые процессы генетически связаны с внутриинтрузивной пропилитизацией. Они представляют особый экономический интерес, так как приконтактовая серицитизация в Аджаро-Триалетской зоне является рудогенерирующим процессом, с которым связано формирование медно-полиметаллических месторождений, а аргиллизиты, формирующие внешнюю зону метасоматической колонки приконтактового изменения Вакиджварской интрузии, представляют собой значительное месторождение бентонитовых глин.

6.1. Полевошпатовые и серицитовые метасоматиты аджарских и Триалетских интрузий и медно-полиметаллическое рудообразование

Аджарские относительно крупные интрузивные тела Мерисское и Намонастrevи-Чалатское (см.рис.26) обрамлены мощным ореолом полевошпатовых и серицитовых метасоматитов, среди которых последние играют резко преобладающую роль. Состав интрузивных тел, в основном, диоритовый и сиенит-диоритовый с подчиненным участием монцонитов. Их кали-argonовый абсолютный возраст - верхнеэоценовый и секут они верхнеэоценовые андезитовые и трахиандезитовые туфы и туфобрекчии. В районе распространения этих интрузий имеется довольно крупное медно-полиметаллическое жильное месторождение, известное под названием Мерисского рудного узла. Так как его генетически всегда связывали с интрузивными телами, естественно, с давних пор был проявлен интерес к сопряженным с ними гидротермальным преобразованиям.

Прежде чем перейти к описанию фактического материала, расскажем кратце об истории изучения приконтактовых метасоматитов на этом участке. Еще в 1929 году И.Ф.Григорьев (1929) писал, что у выходов Мерисской интрузии, в некотором удалении от контакта, ореолом располагается широкая (0,5-1 км) зона осветленных и окремненных пород со значительным количеством вновь образованного левверьеита, каолинита и серицита. Позднее В.Р.Надирадзе (1955), описывая те же приконтактовые гидротермальные явления, отмечал, "что общехарактерным для измененных пород является сильное окремнение, серицитизация, пиритизация, хлоритизация и импрегнирование пиритом, что является характерным для пропилитов". В.Р.Надирадзе указывал на заметный привнос калия и вынос щелочных земель в процессе приконтактового гидротермального изменения. Д.С.Белянкин, В.П.Петров и В.П.Еремеев (1935), изучив количественную сторону минерального состава серицитолитов, установили, что приконтактовые метасоматиты Мерисской интрузии состоят на 60% из серицита, на 30% из кварца, а на долю каолиновых минералов остается не более 5%. Т.В.Иваницкий (1963) мерисские приконтактовые метасоматиты относил к "пиритизированным пропилитам", состоящим из "кварца, серицита (возможно гидрослюды), эпидот-цизита и тонкочешуйчатых выделений глинистого минерала." Он также отметил привнос K и уменьшение содержания Na в процессе формирования

этих пород.

Изучив приконтактовые метасоматиты Мерисского интрузива, мы классифицировали их в полевошпатово-серicitовые метасоматиты, объединив в одну формацию генетически взаимосвязанные приконтактовые калишпатиты альбититы и серicitолиты (Гугушвили, 1969). Эти породы и по минеральному составу и по петрохимическому характеру процесса в корне отличаются от пропилитов и являются самостоятельной формацией, характеризующейся полевошпатово-серicitовым составом, тогда как для пропилитов обязательным условием является зеленокаменный минеральный состав, обусловленный значительным участием эпидота-циозита, пренита и хлорита.

6.1.1. Геологические условия образования, фаинальный и минералогический анализ полевошпатово-серicitовых метасоматитов, петрогенетические и физико-химические аспекты их формирования

Полевошпатово-серicitовые приконтактовые метасоматиты формируют обширный ореол (в среднем 0,5 км). Серicitовые метасоматиты значительно преобладают над полевошпатовыми. Последние развиты в виде маломощной зоны непосредственно у контакта интрузивных тел и представлены калишпат-альбит-кварцевым типоморфным парагенезисом, характерно преобладание калишпата. За полевошпатовой зоной следует зона серicitолитов. Именно они, в основном, и составляют мощный ореол вокруг интрузивных тел. Типоморфный парагенезис внутренних зон серicitолитов кварц-серцит-пирит. Однако они либо телескопируются каолинит-гидрослюдистой минерализацией, либо в их составе в небольшом количестве участвуют хлоритовые и эпидот-циозитовые массы. К зонам дробления в серicitолитах приурочены альбититы. Мощность альбититовых зон - первые десятки метров. Типоморфный парагенезис внутренних зон - альбит-кварц-пирит, во внешних зонах отмечено возрастание роли серицита. Последний постепенно полностью вытесняет альбит. Серицитизация телескопирует и приконтактовые полевошпатовые зоны и накладывается на экзоконтакты интрузивных тел. Следует отметить, что как полевошпатовый метасоматоз, так и серицитизация - очень интенсивный процесс, при котором полностью замещаются первичные породы и, как правило, отсутствуют даже реликты структуры исходных пород.

Сами интрузивные тела подвержены значительным гидротермальным преобразованиям. В контактах Чалатского интрузивного выхода развиты роговообманковые и биотит-рогообманковые кварц-полевошпатовые пегматиты и плагиоклаз-рогообманковые, плагиоклаз-биотитовые роговики с наложенной калишпатизацией и серицитизацией.

Кроме того, сами диориты и сиенито-диориты подвержены полевошпатовому метасоматозу и окварцеванию, выраженным в перититизации, антиперититизации, мирамекитизации. Характерна также внутринтрузивная эпи-

дот-хлоритовая и актинолитовая пропилитизация с типоморфными парагенезисами эп-акт-хл-кв-пт. Эпидот и хлорит развиты по плагиоклазу и по фемическим минералам, актинолит – по фемическим минералам, кварц – по плагиоклазу.

Итак, приконтактовый метасоматоз Мерисской, Намонастреви-Чалатской интрузии выражен в полевошпатовом и серицитовом метасоматозе. Приконтактовая полевошпатовая фация формируется с привносом калия и кремнезема и выносом остальных петрогенных элементов. Серицитовая фация также формировалась с привносом калия и кремнезема. Что касается альбититов, то здесь привносились натрий и кремнезем и выносились все другие петрогенные элементы. Формирование щелочных метасоматитов характеризуется тенденцией выщелачивания, что выражалось в отрицательном балансе миграции вещества (табл. 4, см. рис. 40). Термометрия процесса изучалась посредством альбитового термометра Барта, основанном на рентгено-метрических критериях Кристи, и по данным декрипитации газово-жидких включений в кварце. Температура образования альбита из альбититовых зон по параметру $\Delta d \text{ I}_3\text{I}/\text{I}_3\text{I} = 0,10-0,11$ (5 измерений) порядка 380–400°C. Близкие температуры получаются и по данным декрипитации газово-жидких включений в кварце – 400°C из альбититов (3 определения) и 340–360°C из серицитолитов (5 определений). Следовательно, приконтактовый метасоматоз алжарских интрузий – довольно высокотемпературный процесс. Переход от калишпатовой приконтактовой зоны в серицитолиты, по-видимому, обусловлен остыанием раствора, стимулирующим его кислую реакцию. Это подтверждается известным экспериментом Дж. Хемли (*Hemley*, 1959), который показал, что при воздействии калиево-хлоридных растворов в температурном интервале 100–500°C при постоянном соотношении $K\text{Cl}/\text{HCl}$ в высокотемпературных условиях устойчив калишпат; с падением температуры равновесным становится мусковит, а при дальнейшем остыании – каолинит. Результаты этого эксперимента отражены на рис. 4. Если вспомнить данные Х.Л. Барнса и У.Дж. Эрнста (1968) о том, что щелочно-хлоридные растворы при температуре порядка 400°C имеют щелочную реакцию, а с остыанием вследствие возрастания активности анионов – кислую, то переход от полевошпатовых метасоматитов в серицитолиты можно рассматривать как следствие кислотно-основного взаимодействия, обусловленного остыанием раствора, где полевошпатовые метасоматиты отражают раннюю щелочную стадию процесса, а серицитолиты стадию возрастающей кислотности. Дальнейшее остыание и раскисление растворов обусловило каолинит-гидрослюдистое телескопирование серицитолитов.

Выше отмечалось тяготение альбититов к зонам дробления. Это явление можно объяснить на основании экспериментальных данных А. Оландера и Х. Лиандера (*Ölander and Liander*, 1958), изучавших систему $\text{NaCl}-\text{H}_2\text{O}$ в высокотемпературных условиях (выше критической точки воды).

Таблица 2

Термометрия по Эннелю определенная по методу Странса (*Странс*) по кварту (главные перекинтания и гомогенизации) и по альбигу (избыточный термометр барта) из высокотемпературных пропилитов

№ осн.	Типоморфный параметр-нейзис	По эпилиту			По кварцу		По альбигу	
		%	Т °С	Т °С при- ципитации	Т °С гомо- генизации	I31/I31	T °C	
2533	Эп-ПР-АБ-КВ-ПГ	5,65	470°	370°	380°	0,11	400°	
2474	АКТ-ЭП-КВ-ХЛ	5,65	470°	360°	380°	0,11	400°	
2547	ЭП-ПР-КВ-АБ-ПГ	5,65	470°	350°	370°	0,12	450°	
2534	ЭП-ЛЗ-АБ-КВ-ПГ	5,65	470°	350°	370°			
2554	АКТ-КВ							
1147	АКТ-ЭП-АБ-КВ-К3-ПГ	5,63	35	360°	340°			
Р-1	ЭП-АБ-КВ-К3-ПГ	5,63	25	360°	350°	0,10	380°	
2551	ЭП-ХЛ-КВ-ПГ	5,65	35	470°	380°			
3328	ЭП-АКТ-КВ-АБ-ПГ	5,63	25	360°	360°			
3341	ЭП-КВ-ХЛ	5,65	35	470°	370°			
3335	АКТ-ЦО-ПР-АБ-ПГ	5,63	25	360°	380°			
3355	АКТ-ЭП-ЦО-АБ-КВ-ПГ	5,65	35	470°	360°			
814	КВ-К3-ПГ							
821	КВ-К3-ПГ							
3388	АКТ-ЭП-ХЛ-АБ-ПГ	5,65	35	470°	340°			
3340	ЭП-ХЛ-КВ-ПГ	5,63	25	360°	350°			
3333	ЭП-ХЛ-КВ-К3-ПГ	5,63	25	360°	380°			
3096	ЭП-ЦО-КВ-ПГ	5,63	25	360°	350°	440°		
3034	ЭП-ХЛ-КВ-АБ-ПГ	5,63	25	360°	350°			
3043	ЭП-КВ-ХЛ-ПГ	5,63	25	360°	320°			
1035	ЭП-ЦО-ПР-КВ-ПГ	5,63	25	360°	340°			
3309	ЭП-ЦО-ПР-АБ-ПГ	5,63	25	360°				
3313	ЭП-ХЛ-АБ-ПГ							

Аналитики: Г.А.Ахведелиани, Д.Б.Аревадзе

Оксиды	Измененные					Атомы	Миграции				
	IX	X	XI	XII	XIII		IX	X	XI	XII	XIII
	2515	2519	2524	I429	I4I4	2505					
SiO ₂	64,44	65,35	65,19	55,82	63,17	67,46	Si	+23,19	+32,83	+ 9,27	-33,09
TiO ₂	0,66	0,43	0,52	0,75	0,61	0,69	Ti	- 0,10	- 0,52	- 0,48	- 0,26
Al ₂ O ₃	17,55	14,59	18,52	17,34	15,64	17,42	Al	+ 0,32	+ 6,38	- 1,36	-II,98
Fe ₂ O ₃	3,59	1,57	3,41	10,36	5,32	1,30	Fe	+ 0,68	- 3,21	- 0,30	+ 9,47
Fe O	1,80	2,52	1,44	0,36	1,44	0,72	Fe	- 6,50	- 4,68	- 7,59	- 2,87
MnO	0,10	0,07	0,05	0,05	0,05	0,05	нег	- 0,01	- 0,16	- 0,32	- 0,24
NiO	0,52	1,32	0,56	1,20	1,20	0,65	Mg	-II,97	- 8,60	-12,01	-10,36
CaO	1,43	3,97	0,34	0,57	0,50	0,34	Ca	-II,78	- 4,11	-14,96	-14,58
Na ₂ O	1,25	1,25	с.л.	6,30	0,30	7,20	Na	-16,85	-16,58	-23,26	+ I,71
K ₂ O	5,20	3,10	> 7,0	2,00	4,00	2,20	K	+ 9,20	+ 2,55	+ 9,11	- 5,13
P ₂ O ₅	0,25	0,18	0,06	0,66	0,25	0,20	P	+ 0,26	+ 0,12	- 0,18	+ 0,84
H ₂ O	0,29	0,31	нег	1,00	0,28	0,24	O	+14,00	+26,10	-30,04	-100,04
и.п.п.	5,19	5,39	4,24	3,66	1,10	1,04	OH	- 0,34	+ 0,24	- 2,46	+ 8,18
сумма	100,07	100,05	104,40	100,04	99,69	100,16	баланс	+ 0,01	+17,61	-77,58	-163,36
d _y	2,64	2,75	2,50	2,04	2,53	2,30					

IX - сер-кв-пт, (гус-кэол-кэ), X - кв-сер-пт (ка-грс-каол), XI - кв-сер-пт,
 XII - аб-кв-пт (сер-хл), XIII - аб-кв-пт (сер-грс), XIV - аб-кв-пт (сер-грс).

X-XII - сернистовая фазия
 XII-XIV - зеленитовая фазия

Ими установлено, что с повышением давления возрастает растворимость натриевых солей. Формирование альбититов происходит при температурах порядка 400°С. Следовательно, перепад давления в зонах дробления должен способствовать повышению активности натрия, обусловившего образование альбита.

В серицитолитах приконтактового ореола в подчиненном количестве иногда участвуют эпидот-цизитовые и хлоритовые массы. Их участие, по-видимому, является следствием неполного выноса кальция, магния и железа из зоны серицитизации, тем более, что температура процесса вполне соответствует температуре образования этих минералов. За ореолами серицитолитов, в цеолитизированных андезитовых туфах, встречается неравновесный с цеолитами эпидот. Видимо, он является продуктом базификации полевошпатово-серицитового метасоматоза. Взаимоотношения пропилитизации и щелочного полевошпатового метасоматоза хорошо прослеживаются в самих интрузивных телах. Здесь вместе со значительной калишпатизацией и альбитизацией плагиоклаза заметную роль играет и высокотемпературная актинолитовая и эпидот-хлоритовая пропилитизация. Сосуществование неравновесных калишпата и актинолита или эпидота можно объяснить дифференциальной подвижностью компонентов. Более подвижные щелочные металлы осуществляли калишпатизацию, альбитизацию и серицитизацию как самой интрузии, так и ее приконтактовой зоны. Отстающие основания кальций, магний и железо определяли эпидот-хлоритовое и актинолитовое замещение и циритизацию интрузивных пород.

В процессах преобразования, связанного с даними интрузивными телами, наиболее высокотемпературным, по-видимому, было приконтактовое роговикообразование. Как известно, роговикообразование процесс изохимический, происходящий в высокотемпературных условиях – **нижний температурный** предел 600°С. С понижением температуры до 400–450°С начались метасоматические преобразования: полевошпатовый метасоматоз, высокотемпературная пропилитизация и с дальнейшим остыванием раствора – серицитизация и каолинитизация.

6.1.2. Геология Аджарских медно-полиметаллических месторождений и характер окорудного процесса

К Аджарским сиенит-диоритовым и диоритовым интрузивам Мерисскому, Намонастrevи-Чалатскому, Учамскому тяготеет несколько медно-полиметаллических месторождений жильного типа, объединенных под названием Мерисского рудного узла. Большинство и наиболее значительные из них расположены южнее Мерисского и Намонастrevи-Чалатского интрузива в районе ореола серицитизации, либо недалеко от него в пропилитизированных верхненеогеновых и средненеогеновых вулканитах. Одно рудопроявление известно во вторичных кварцитах. Эти мелкие жильные месторождения обна-

жены в ущельях небольших речек, притоков рр. Акаврета и Диц-геле. Наиболее значительные из них - Вараза (Саджогия), Оболо-Канлы-Кай, Цхалбокела, Верхнала, Велибури, Годердзис-цкали, Лаше и Вайо (см. рис. 26).

Мощность рудных жил колеблется в значительных пределах - от 1,5-3 м до 0,2 м. Жилы большей частью четкообразной формы. Максимальная мощность жил 1,5-3 м измеряется по раздувам, а на участках пережимов их мощность не превышает 0,2 м. Каждое из названных месторождений состоит из нескольких субпараллельных жил. Жилы имеют субмеридиональное либо субширотное простирание и довольно крутые углы падения 70-80°. По простиранию некоторые жилы прослежены почти на 1,5 км (Вараза, Оболо-Канлы-Кай). Другие жилы (м-ние Цхалбокела, Велибури, Вайо, Годердзисцкали) тянутся от первых сотен метров до 0,5 км. По падению большинство жил прослежены на 250-300 м.

Следует отметить, что рудные жилы Мерисского узла имеют либо преимущественно халькопиритовый состав с подчиненным содержанием минералов свинца и цинка, либо свинцово-цинковый состав с подчиненным содержанием минералов меди. Соответственно составу руды меняется минералогия оклорудных метасоматитов. С меднорудными жилами связаны хлорит-карбонатовые оклорудные метасоматиты, где серицит, кварц и сколит играют подчиненную роль. Со свинцово-цинковыми жилами с подчиненным халькопиритом в оклорудных метасоматитах преобладает серицит, кварц и сколит (впервые установленный В.Д.Гуниава), тогда как карбоната и хлорита значительно меньше.

Месторождения Вараза, Велибури, Вайо, Лаше преимущественно свинцово-цинковые, Оболо-Канлы-Кай, Цхалбокела, Верхнала - преимущественно халькопиритовые. На участке Годердзисцкали имеются как свинцово-цинковые, так и халькопиритовые жилы.

Геология Мерисского рудного узла, вещественный состав руд и структура рудных полей изучена И.Ф.Григорьевым (1929), В.Р.Надираидзе (1935), Т.В.Иваницким (1963), С.Ш.Саркисяном (1957), Н.М.Джапаридзе и др. (1968). Несмотря на то, что основными рудообразующими минералами являются халькопирит, галенит и сфalerит, рудные жилы Мерисского рудного узла отличаются разнообразным минеральным составом. Т.В.Иваницким (1963) дана сводка по минеральному составу рудных жил, где наряду с собственными определениями некоторых редких рудных минералов, приведены минералы, определенные и его предшественниками. Список редких рудных минералов довольно представителен. Кроме отмеченных трех к главным минералам причислена блеклая руда (тетраэдрит, теннантит); второстепенными минералами являются: марказит, гематит, броньядрит, беегерит, молибденит, энаргит, алтант, золото самородное, серебро самородное, виттихинит, айкнит, бурнотит, висмутин, клаусталит.

Как уже отмечалось, меднополиметаллические рудные жилы тяготеют

к ореолу серицитолитов. На участке месторождения Вараз–Саджогия (см. рис.26,42), рудные жилы, преимущественно, свинцово-цинкового состава секут породы верхнеэоценовой адыгейской свиты. Адыгейская свита на территории месторождения подвержена фоновой цеолитовой пропилитизации. Околорудные метасоматиты, слагающие зоны мощностью до 150–200 м, представлены, в основном, кварц–серийт–сколитовой минерализацией с подчиненным участием карбоната, хлорита и интенсивной пиритизацией. Во внутренних зонах околорудный процесс проявился более интенсивно; почти отсутствуют реликты исходной породы. К внешним зонам, в связи с ослаблением околорудного процесса, появляются элементы исходных пород: первичная порфировая структура, туфовая текстура, цеолиты по плагиоклазу и основной массе; наблюдается ослабление пиритизации, которая очень интенсивна во внутренних зонах. На участке Вараза встречается рудная жила, в которой халькопирит, галенит и сфалерит содержатся почти в равных количествах; соответственно, в околорудной зоне этой жилья наряду с кварц–серийтовым изменением значительную роль играет хлорит–карбонатовое замещение.

Расположенное западнее месторождение Оболо–Канлы–Кай, в отличие от вышеописанного, является преимущественно меднорудным. Здесь имеется несколько рудных жил субширотного простирания, секущих верхи среднезоценовой чидильской свиты. На месторождении не наблюдается непосредственной пространственной связи с ореолом серийтизации, но учитывая, что в керне бурowej скважины № 27, заданной на этом участке, имеется выход диорита, мы вправе ожидать под меднорудными жилами серийтоловый ореол диоритовой интрузии (см.рис.26,43). Околорудные метасоматиты меднорудных жил представлены хлорит–карбонатовой ассоциацией, с подчиненным участием серицита, сколита и кварца. Так как на этом участке рудные жилы расположены близ друг друга и расстояние между ними не превышает 200 м, то, естественно, их околорудные зоны сливаются, и на этом месторождении общая мощность зон превышает 0,5 км (см.рис. 43). По латерали околорудные метасоматиты постепенно переходят в андезито–базальтовые и базальтовые туфобрекции чидильской свиты, подверженные цеолитовой и хлорит–альбитовой пропилитизации. Как и месторождение Вараза, здесь внутренние, наиболее измененные зоны не обнаруживают порфировой структуры исходных пород, характерной для окружающих базальтов, что касается внешних зон, то здесь, несмотря на интенсивное изменение, наблюдаются реликты структуры и текстуры исходных пород.

Северо–западнее от Оболо–Канлы–Кай расположен целый ряд мелких медно–полиметаллических рудопроявлений: Цхалбокела, Верхнала, Велибури и Годердзисцкали, Вайо (см.рис.26,46). Все они непосредственно пространственно связаны с серийтовым ореолом интрузий. Эти рудопро-

явления значительно мельче описанных месторождений, и если рудные жилы последних прослеживаются на 1,5 км, то в данном случае протяженность рудных жил не превышает 0,5 км, а иногда и нескольких сотен метров.

Рудопроявления Цкалбокела и Верхнала являются преимущественно меднорудными, Велибури и Вайо – свинцово-цинковыми. На участке Годердзис-Цкали обнаружены как преимущественно халькопиритовые, так и свинцово-цинковые жилы. Составу рудных жил соответствует и характер окорудных метасоматитов – с меднорудными жилами связана преимущественно карбонат-хлоритовая минерализация, со свинцово-цинковыми серицит-сколит-кварцевая. Еще одно рудопроявление – барит-свинцово-цинковое имеется на участке Лаше (уш.р.Сванетис-геле) во вторичных кварцитах (см.рис. 26). Судя по характеру окорудной минерализации (серицит-хлорит-карбонатовый) и по составу руд, оно является частью Мерисского рудного узла.

6.1.3. Источник рудного вещества и основные рудогенетические и петрогенетические факторы формирования медно-полиметаллических руд и окорудных метасоматитов Мерисского рудного узла

За последние десять лет была детально изучена геохимия меди в палеогеновых интрузивах и эфузивах, а также в гидротермальных метасоматитах (Иваницкий, 1969; Иваницкий и др., 1969; Мchedлишвили (канд.дисс), 1974; Гугушвили, Мchedлишвили, 1975).

Позднее мы изучили содержание и миграцию свинца и меди в различных метасоматических формациях не только в районах рудных месторождений, но и в палеогеновой вулканической толще в целом. Данные по содержанию меди и свинца у нас имеются как для свежих исходных пород, так и для всех метасоматических формаций по отдельным фациям и все выводы делаются с учетом этого материала. Как видно из приведенных таблиц (табл. I7, I9), породы палеогенового комплекса Аджаро-Триалетии, как эфузивные, так интрузивные значительно обогащены медью относительно кларковых содержаний. Так, если кларковое содержание меди для андезитов и диоритов 35 г/т, то для этих же пород палеогенового комплекса содержание меди в среднем равно 203 г/т. Вдвое-втрое превышают кларковые содержания меди в аджаро-триалетских базальтах и габброидах. Фоновые пропилиты характеризуются стабильными содержаниями меди, близкими к вмещающим породам (см.табл.I5). В процессе пропилитизации наблюдаются лишь ее незначительные перемещения. То же можно сказать и о полевошпатовых метасоматитах.

Совсем по иному ведет себя медь в процессе приконтактовой серицитизации и грязенизации. Приконтактовые серицитолиты и грязены по

Таблица I7

Среднее содержание меди в свежих породах и гидротермальных метасоматитах Аджаро-Триалетского палеогенового вулканического комплекса^{x)}

Наименование породы	Минеральный парагенезис	Среднее содержание, г/т; в скобках количество анализов
Базальты и их вулканокластолиты		200 г/т
Андезиты, трахиандезиты и их вулканокластолиты		203 г/т
Пропилиты	эп+хл+аб+кв+пт; акт+эп+аб+кв+пт; хл+аб+пт; цеол+ +хл+грс+пт	177,60(20)
Приконтактовые серицитолиты Мерисской интрузии	сер+кв+пт	16,34(22)
Приконтактовые грейзены Намонастревской и Учамбской интрузий	му(сер)+кв+ту+пт	22,3(13)
Приконтактовые метасоматиты малых интрузивных тел Арджеан-Гуджаретского рудного узла	сер+кв+хл+кц+пт	136,63(46)
Из участков богатых серицитом		39,15(13)
Из участков богатых хлоритом и кальцитом		186,84(19)
Приконтактовые калишпатиты и альбититы Вакиджварской интрузии	кшп+кв+пт аб+кв+пт	250,92(8)

x) Анализы производились на спектрометре ИСП-28, чувствительность анализа $5 \cdot 10^{-5}$, средняя относительная ошибка определения $\pm 18\%$, аналитик Т.Д.Мчедлишвили. Часть анализов приконтактовых метасоматитов Арджеан-Гуджаретского рудного узла были нам представлены Д.А.Касрадзе.

Таблица I8

Охородуные метасоматиты медно-полиметаллического месторождения
Ангарии (таб. Оболо-Каменка #)

Оксиды и ионные группы	Изменение								Магрица									
	I	II	III	IV	V	VI	VII	VIII	IX	Atomы	I	II	III	IV	V	VI	VII	IX
SiO ₂	520	522	525	528	585	586	593	609	610	Si	+ 5,14	- 0,45	- 10,23	- 3,67	- 10,88	- 9,73	- 1,35	- 6,83
TiO ₂	45,79	47,17	45,14	41,14	43,61	42,90	48,65	46,34	44,13	Ti	+ 0,22	- 0,59	- 0,48	- 0,48	- 0,04	+ 0,49	+ 0,52	- 0,42
Al ₂ O ₃	0,95	0,85	0,45	0,50	0,50	0,75	0,98	0,50	0,55	Al	- 5,91	- 6,54	- 15,54	- 9,48	- 11,26	- 5,76	- 7,26	- 8,73
Fe ₂ O ₃	19,31	17,22	17,05	16,09	16,00	16,18	17,20	17,40	16,88	Fe	- 0,57	+ 19,91	+ 14,51	+ 3,19	- 2,41	+ 7,27	+ 11,71	+ 10,73
FeO	1,60	1,30	1,40	8,66	3,13	5,14	7,61	7,09	5,58	Fe	- 1,44	- 15,25	+ 9,72	+ 4,37	+ 1,53	- 1,50	- 9,76	- 5,06
MnO	0,07	0,07	0,07	0,10	0,10	0,14	0,18	0,10	0,15	Mn	+ 0,002	+ 0,002	+ 0,07	+ 0,15	+ 0,26	+ 0,06	+ 0,17	
MgO	3,70	3,38	3,30	2,82	3,06	3,58	5,02	4,40	4,59	Mg	- 1,45	- 3,28	- 2,32	- 1,64	+ 5,57	+ 2,38	+ 3,17	
CaO	7,17	8,41	8,07	8,52	10,64	12,33	9,79	7,51	8,07	Ca	+ 3,84	+ 2,82	+ 4,34	+ 10,48	+ 13,77	+ 7,94	+ 0,48	+ 2,10
Na ₂ O	5,03	2,90	4,00	2,20	1,30	1,00	2,80	2,90	2,00	Na	- 10,84	- 5,11	- 14,42	- 19,17	+ 20,99	- 11,30	- 11,36	- 15,89
K ₂ O	0,83	1,30	0,68	0,50	0,50	1,87	1,32	3,00	K	+ 1,65	- 1,11	- 0,46	+ 0,29	- 1,17	+ 3,64	+ 1,57	+ 7,18	
P ₂ O ₅	0,24	0,13	0,10	0,10	0,09	0,11	0,09	0,19	0,20	P	- 0,24	- 0,31	- 0,31	- 0,30	- 0,34	- 0,12	- 0,10	
H ₂ O	0,84	0,57	0,56	0,42	1,25	1,08	1,66	1,40	0,41	H ₂ O	- 5,26	- 2,25	- 24,01	- 11,58	- 38,50	+ 35,83	- 13,11	- 17,62
п.п.	7,72	9,83	9,00	8,70	10,69	13,00	1,20	8,68	7,65	OH	- 4,68	- 4,88	- 7,33	+ 3,74	+ 15,07	- 7,99	- 7,80	
сумма	100,33	99,86	100,39	99,49	100,36	100,84	99,84	99,98	100,50	баланс	- 19,19	- 15,22	- 47,42	- 20,94	- 68,01	+ 68,92	- 35,27	- 37,10
d _f	2,67	2,69	2,70	2,72	2,59	2,70	2,60	2,62										

I - промытыйварованный беззольным туб., хл-б-кн-пг, ср-зоцен, чицильская свита, участок особого назначения, II - хл-ка-пг (сер-сер-гр), III - хл-ка-пг, (сер-гр), IV - хл-ка-пг (кв-гр), V - кв-хл-пг (кв-сер-гр), VI - кв-хл-пг (гр), VII - хл-хл-пг (хл-сер-гр), VIII - хл-хл-пг, (хл-сер-гр-ск), IX - кв-хл-пг (сер-гр-ск).

Таблица 19

Среднее содержание свинца в свежих породах и гидротермальных метасоматитах Аджаро-Триалетского палеогенового вулканического комплекса^{х)}

Наименование породы	Минеральный парагенезис	Среднее содержание, г/т
Андезиты, трахиандезиты и их вулканокластолиты		9,3
Базальты и их вулканокластолиты		15,3
Пропилиты	хл+аб+пт; цеол.+ хл+Грс+пт	14,9(17)
Приконтактовые серицитолиты Мерисской интрузии	сер+кв+пт	92,66(4)
Приконтактовые грейзены Учамбской интрузии	му(сер)+кв+ту+пт	50,5(5)
Приконтактовые серицитолиты и грейзенизированные породы Мерисской и Намонастреви-Чалатской интрузии (по Т.В.Иванишвили и др., 1969)	сер+кв+пт, му(сер)+кв+ту+пт	97(37)

х) Анализы производились на спектрографе ИСП-28, чувствительность определения $1 \cdot 10^{-4}\%$, ошибка $\pm 12\%$.
Аналитик Н.Д.Гварамадзе.

сравнению с исходными андезитами и базальтами резко, более чем в десять раз, обогащены медью. Первые содержат в среднем 16 г/т меди, вторые - 22 г/т. Следовательно, приконтактовая серпентизация и грейзенизация, в которых основная роль принадлежит серпентит-мусковитовому замещению, способствовали интенсивному выщелачиванию меди из свежих андезитов и базальтов. Причем вынос меди в расчете на объем серпентизированных пород оказался очень значительным. Объем серпентизированных пород на Мерисском месторождении равен 250 км³, и медь, выщелоченная из этого объема пород, в процессе серпентизации составляет 140.000 тонн металла. Такая масса рудного вещества, несомненно, должна играть немаловажную роль в формировании данного месторождения. О значительной рудогенетической роли серпентизации косвенно свидетельствует хлорит-карбонатовый состав околоврудных метасоматитов меднорудных жил. Их формирование обусловлено привносом кальция железа и магния, которые выносились из пород в процессе приконтактовой серпентизации (табл. I6, I8, см. рис. 45).

Вынос меди в процессе постмагматического изменения пород в районе Мерисского рудного узла отмечался ранее и Т.Д.Мчедлишвили (канд.дисс., 1974), которая допускает здесь возможность вторичного источника меди при формировании медно-полиметаллической минерализации.

Совершенно по-иному ведут себя рудовмещающие вулканиты и комагматические им интрузивные образования по отношению к свинцу и цинку. Содержание их здесь в пределах кларка, тогда как серпентолиты значительно обогащены этими металлами. В них в 8-10 раз больше свинца и вдвое больше цинка, чем в исходных андезитах и трахиандезитах (Иваницкий и др., 1969), что подтверждается и нашими данными по свинцу (см.табл.I9). Это положение, а также и то, что свинцово-цинковые жилы характеризуются, как и зоны контакта интрузивов, кварц-серпентит-сколитовой минерализацией, свидетельствует об исключительно ювелирном источнике свинца и цинка. Миграция вещества в процессе околоврудного метасоматоза свинцово-цинковых жил отражена в табл.20.

Околоврудные метасоматиты свинцово-цинковых жил и приконтактовые кварц-серпентитовые метасоматиты характеризуются значительным привносом калия. Это явление можно объяснить когеррентностью свинца и калия, основанной на близких ионных радиусах этих металлов ($r_{\text{Pb}}^{2+} = 1,32 \text{\AA}$) и ($r_{\text{K}^+} = 1,33 \text{\AA}$). В магматических породах тесная геохимическая связь калия со свинцом на основании изоморфного замещения калия свинцом отмечалась В.М.Гольдшмидтом (Goldschmidt, 1954), Тауссоном (1961), а для Мерисской интрузии - Т.В.Иваницким и др.(1966).

По термодинамическим расчетам А.Л.Павлова (1976) с раскислением щелочных восстановительных растворов с распадом тиогидросульфидных комплексов в первую очередь начинает выпадать молибденит (pH-10,7), затем пирит (pH-10,2), халькопирит; сульфиды цинка и свинца выпадают при

Таблица 20

ОКОЛОУРДНЫЕ МЕДНОСОЛИТИЧЕСКОГО МЕСТОРОДЖЕНИЯ АДАРАМЫ

(уч. Садикова)

Источник окислов	Изоморфные и замещающие ионные пары	Миграция											
		II	III	IV	V	VI	VII	VIII	IX	X	XI	XII	
748	455	458	459	462	469	473	475	476	490	496	51	+13,42	
Si											+0,33	+21,68	
Al											+0,59	-0,14	
Fe ²⁺	52,44	55,03	65,49	62,10	57,21	55,52	56,86	67,09	51,93	52,20	53,38	Ti	+ 0,03
Ti ⁴⁺	0,32	0,32	0,60	0,40	0,60	0,25	0,37	0,57	0,30	0,52	0,62	R _C	+ 3,45
Al ³⁺	13,82	14,27	16,92	17,87	16,83	21,19	18,06	18,11	16,71	16,53	17,57	Fe ³⁺	-12,88
Fe ³⁺	9,35	2,53	5,12	6,80	6,22	7,53	2,30	1,71	2,54	3,52	3,88	Fe ²⁺	- 7,72
Fe ⁰	5,47	3,01	0,34	1,80	0,70	4,93	-	4,77	3,78	6,48	Fe ³⁺	- 4,94	
Mn ²⁺	0,10	0,09	0,03	0,06	0,07	0,12	0,15	0,11	0,23	0,07	0,28	Mn	- 0,02
Mg ²⁺	3,99	1,28	2,96	1,43	1,85	1,61	3,10	1,23	5,53	2,09	2,58	Mg	-10,09
Ca ²⁺	3,58	1,06	1,04	0,64	0,56	3,84	0,50	0,59	5,96	7,06	3,58	Ca	- 6,76
Na ⁺	1,90	0,18	1,26	1,56	3,00	0,76	0,18	0,23	1,32	1,36	0,70	Na	8,49
K ⁺	3,20	4,10	3,80	5,00	5,14	4,75	3,70	3,39	5,20	3,63	K	+ 1,25	
P ⁵⁺	0,27	0,45	-	0,37	0,25	0,46	0,38	-	0,35	0,25	0,29	P	+ 0,44
S ²⁻	■	0,13	-	-	-	-	-	-	-	-	0	-15,35	
H ₂ O	0,25	0,40	0,34	0,65	1,33	0,87	0,63	0,99	0,23	0,39	0,84	OH	+ 2,89
П.п.п.	4,25	5,33	3,78	4,15	4,07	4,87	4,72	4,99	7,77	8,71	5,98		+ 1,78
сумма	93,44	100,26	101,64	99,93	95,57	99,80	100,31	100,13	99,53	99,90	100,23	dat.	-37,08
F	0,50	5,95	0,24	0,13	1,02	0,21	0,22	0,42					+90,46
J	0,89	6,81	0,52	0,29	2,20	0,46	0,67						+20,01
d _y	2,55	2,68	2,70	2,65	2,66	2,61	2,63	2,69	2,74				+18,89

I - пропилит-зирковый, альбиг-лит., (из), ср. эоцен, чилийский санта, II - кв-сер-пг, (из),

Ш - ка-сер-ск-лит (из), III - ка-сер-гр-ск-жк-лит, (из), У - ка-сер-ск-к-лит, (из), УГ - ка-сер-гр-ок-лит, (из),

УП - ка-сер-гр-грс, си-лит, УШ - ка-вер-грс-ск-лит, IX - сер-ку-ка-лит, (из-х), X - сер-гр-к-лит, (из-х),

XI - сер-к-ск-лит, (из-х).

pH 9,5 – 8,8 – 8,2 соответственно. Исходя из этих данных представляется, что пиритизация и молибденизация наиболее ранние продукты сульфидной минерализации, связанной с кварц-серпентитовым метасоматозом и грейзенизацией. В процессе серпентитизации, сопровождающейся выпадением пирита и молибденита, из вмещающих пород выносилась медь, позднее, с последующим раскислением раствора, она отлагалась в трещинах, формируя халькопиритовые жильные руды. Свинец и цинк начинали выпадать из растворов несколько позднее халькопирита, при pH 8,8–8,2, что и обусловило образование обособленных от медно-рудных, свинцово-цинковых жил.

Последовательность рудоотложения, полученная по расчетным данным, подтверждается и нашим материалом. Серпентит-мусковитовое замещение и грейзенизация сопровождается вкрашенной пиритизацией и молибденизацией (Надирадзе, Хмаладзе, 1969; Гугушвили, 1973). С остыанием и некоторым раскислением раствора переотлагается медь, формируя халькопиритовую руду; далее с последующим остыанием и раскислением раствора отлагаются галенит-сфalerитовые руды. Такая последовательность обусловила образование определенной вертикальной зональности руд на участках Оболо-Канлы-Кай, Вараза, отмеченную Т.В.Иванишвили (1963), где некоторые рудные жилы в нижней части преимущественно халькопиритового состава, а в верхней – свинцово-цинкового. О ней также свидетельствует наблюдаемое в ряде случаев пересечение меднорудных жил свинцово-цинковыми.

Породы, специализированные на медь, характерны не только для Мерисского рудного узла. Высокое содержание меди установлено во всей палеогеновой толще, однако медно-полиметаллические рудопроявления имеются лишь на участках с хорошо развитой серпентитизацией. Например, крупный Вакицхварский интрузивный комплекс с мощным приконтактовым ореолом калишпатитов и альбититов, развитым по трахиандезитам и трахитам, содержащим 200 г/т меди, не обладает значительными медными рудопроявлениями. Сами калишпатиты содержат в среднем 250 г/т меди и так как здесь нет сколько-нибудь значительных медных полиметаллических рудопроявлений, за исключением незначительного участка Корисбуде, то по-видимому, именно серпентитизация является как рудогенерирующим процессом, так и поисковым признаком на руду.

Не наблюдается генетической, либо корреляционной связи медно-полиметаллического оруденения с пропилитизацией. Свежие и пропилитизированные породы мало отличаются друг от друга по содержанию меди (см.табл. I7) и в процессе пропилитизации происходило лишь ее незначительное перераспределение.

6.1.4. Медно-полиметаллические месторождения Триалетского хребта и их взаимоотношения с приконтактовой серпентитизацией

В палеогеновой толще Аджаро-Триалетии приконтактовая серпентитизация везде сопровождается медно-полиметаллическими рудопроявлениями.

Помимо Мерисского рудного узла, примером могут служить Зекарское и особенно Реха-Гуджаретские рудопроявления. Первое из них расположено в приконтактовой зоне Зекарского диорит-габбро-монцонитового интрузивного тела. Зекарская интрузия характеризуется приконтактовой серicitизацией, однако этот процесс здесь выражен значительно слабее, чем в Мериси и рудопроявления, соответственно, убогие.

Реха-Гуджаретское рудопроявление расположено в районе Триалетского хребта в верховьях р.Гуджаретискали, по ее левым притокам, продолжаясь через водораздел до верховьев р.Реха. Рудопроявление юркого типа; медно-полиметаллические жилы и зоны окорудного изменения имеют субширотное простирание и тяготеют к малым диоритовым и диорит-сиенитовым телам, по составу аналогичным Мерисскому. Оруденение локализовано в ликанской и квабисхевской (нагваревской) свитах среднего эоцена (см.рис.46). Малые интрузивные тела характеризуются мощными (до 100 м) измененными контактами, а также роговиковыми зонами, мощностью 7-8 м. Роговики представлены кварц-плагиоклазовым типом. На них наложена гидротермально-метасоматическая минерализация, выраженная в серicitизации, эпидотизации, карбонатизации и пиритизации. Гидротермально-метасоматические приконтактовые зоны интрузивных тел, развитые по базальтовым и андезитовым туфобрекциям, состоят из серicit-хлорит-карбонат-кварцевой ассоциации, причем зоны мозаичного строения. Богатые кварцем и серicitом участки перемежаются с участками, где превалирует хлорит-карбонатовое замещение. Приконтактовые зоны изменения характеризуются значительной пиритизацией. Рудные жилы имеют аналогичный мерисский состав, и, по данным Т.В.Иванишвиль (1963) и Д.А.Касрадзе (канд.дисс.,1969), состоят из халькопирита, пирита, галенита, сфалерита, блеклых руд (теннантит, тетраэдрит), клейофана, марматита, халькоэзина, борнита, самородного золота.

Рудные жилы расположены вдоль экзоконтактов интрузий и близ них. Примечательно, что состав околорудных зон изменения аналогичен приконтактовым, однако в них по латерали от рудных жил наблюдается четкая зональность (см.рис.47). Непосредственно в околосжильной внутренней зоне развита кварц-серicitовая минерализация, причем наблюдается заметное преобладание кварца; мощность этой зоны 8-10 м. В соседней с ней внешней зоне (10-15 м) превалирует серicit, кварц значительно подчинен, появляются карбонат и хлорит, в самой внешней зоне (8 м) возрастает роль карбоната и хлорита, кварц исчезает, и серцит присутствует в явно подчиненном количестве. Все три зоны характеризуются значительной пиритизацией. Подобная зональность отмечалась также Д.А.Касрадзе (1969).

Как в приконтактовых, так и в околорудных зонах Реха-Гуджаретского рудопроявления богатые серicitом участки значительно обеднены медью (см.табл.17) - ее среднее содержание 39,15 г/т, тогда как на

участках хлорит-карбонатовой минерализации содержание меди в среднем - 186,84 г/т. Отсюда следует, что и здесь серпентизация являлась основной причиной выноса меди из первичных пород, а хлорит и карбонат удерживали ее большую часть. Особенно наглядно это видно в околоврудном процессе - непосредственно примыкающие к рудным жилам серпентиты разубожены медью, тогда как крайние хлорит-карбонатовые зоны характеризуются ее относительно высокими содержаниями.

Вернемся к постмагматическим процессам Зекарской и Реха-Гуджаретских малых интрузий. Самые интрузивные тела, аналогично Мерисской, подвержены высокотемпературной эпидот-хлоритовой и актинолитовой пропилитизации. В их контактах имеются очень маломощные кварц-полевошпатовые -альбититовые и калишпатовые зоны, телескопируемые серпентитовым замещением. Внешний, серпентитовый ореол здесь сильно отличается от Мерисского. Если в Мериси он состоит в основном из серпента и кварца, то в случае Зекарской и Реха-Гуджаретских интрузивных тел вместе с кварцем и серпентитом значительную роль играет хлорит и карбонат.

Различный минеральный состав измененных ореолов интрузивных тел, в данном случае, можно объяснить составом исходных. Дело в том, что в Мериси исходные породы имели среднекремнистый-андезит-трахиандезитовый состав, тогда как вмещающие породы Зекарской и Реха-Гуджаретских интрузий представлены базальтоидами. В процессе серпентитизации базальты растворы быстро насыщались кальцием, магнием и железом и производили хлорит-карбонатовое замещение; разгружаясь они продолжали серпентитизацию. Возможно, такой ход процесса обусловил причину мозаичного строения приконтактовых метасоматитов, отмеченных интрузивных тел.

Миграция вещества в процессе приконтактового и околоврудного метасоматоза Триалетских рудопроявлений отражена на табл.21,22 и на рис.48,49. Как видно из приведенных таблиц, участки и зоны хлорит-карбонатовой минерализации характеризуются тенденцией привноса кальция, магния и железа, а участки и зоны серпентитизации и окварцевания — выноса этих компонентов (см.рис.48,49).

По данным кали-argonового абсолютного возраста Мерисское, Намонастыреви-Чалатское и Реха-Гуджаретские интрузивные тела датируются верхним эоценом. Они аналогичны друг другу по петрографическому и петрохимическому составу и комагматичны андезит-трахиандезит-шошонитовой верхнезооценовой вулканической толще. Следовательно, связанные с этими телами процессы приконтактового метасоматоза и рудообразования увязываются с пострифтовой орогенией стадией развития Аджаро-Триалетской складчатой зоны.

Как известно, именно с зонами субдукции и формирования известково-щелочных магм генетически связано формирование медно-свинцово-цинковых руд (Сильвое, 1974, 1974₁, Соукинс, 1974; Гилд, 1974). Эти авторы,

Таблица 21

Окологорудные метасоматиты Зекарского полиметаллического рудопроявления.

Оксиды	Исходная	Изменение						Атомы	Миграция							
		II	III	IV	V	VI	VII		III	IV	V	VI	VII	UП		
SiO ₂	49,83	39,23	37,15	63,68	59,85	47,01	51,97	45,45	Si	-20,67	-26,24	-32,47	+21,20	+ 4,29	-II,47	-I,50
TiO ₂	0,65	0,40	0,65	0,35	0,32	0,55	0,77	0,55	Ti	-0,44	+ 0,09	- 0,60	- 0,66	+ 0,04	- 0,11	- 0,04
Al ₂ O ₃	14,26	8,35	11,25	18,09	18,09	14,09	14,84	14,26	Re	-16,36	- 6,84	+10,56	+10,01	+ 3,58	- 3,96	+ 3,65
Fe ₂ O ₃	5,94	5,93	6,13	3,72	3,95	4,49	6,74	3,74	Fe	+ 0,75	+ 1,19	- 4,48	- 4,12	- 1,99	- 0,10	- 3,68
FeO	2,16	3,96	0,80	0,90	2,70	4,32	2,52	4,14	Fe	+ 4,47	- 2,83	- 2,77	+ 0,99	+ 5,57	+ 0,09	+ 5,04
MnO	0,21	0,35	0,35	0,14	0,17	0,10	0,02	0,14	Mn	+ 0,36	+ 0,36	- 0,16	- 0,10	- 0,22	- 0,42	- 0,13
MgO	5,40	15,18	7,10	2,54	4,40	10,56	0,99	8,97	Mg	+41,70	+ 8,45	-11,25	- 4,39	+23,82	+12,15	+16,69
CaO	10,38	12,70	12,41	1,10	0,68	10,16	9,78	9,39	Ca	+ 8,80	+ 8,01	-25,83	-27,00	+ 2,08	-26,42	- 0,57
Na ₂ O	2,70	0,25	нет	1,60	2,18	2,95	1,85	Na	-12,25	-13,57	- 5,70	-13,57	- 1,57	- 0,62	- 3,49	
K ₂ O	3,20	нет	0,80	3,20	4,00	1,30	0,80	1,10	K	-10,58	- 7,76	- 0,22	+ 2,24	- 5,87	- 8,27	- 6,64
P ₂ O ₅	0,25	0,28	0,25	0,20	0,30	0,23	0,28	0,21	P	+ 0,11	+ 0,04	- 0,12	+ 0,09	+ 0,04	- 0,01	- 0,05
H ₂ O	0,60	0,57	0,67	0,75	0,62	0,42	1,73	0,67	O	-21,35	-56,35	+30,75	+13,98	+37,II	-40,13	+13,67
п.г.п.	4,20	12,49	19,59	3,25	3,94	4,38	6,31	9,26	OH	+ 0,14	+ 2,01	+ 2,33	+ 0,02	- 2,42	+15,76	+ 2,18
сумма	99,74	99,69	100,24	99,52	100,15	99,93	99,70	99,93	баланс	-25,29	-93,43	+24,98	- 1,31	+64,29	-63,36	+25,06
d _v	2,58	2,75	2,77	2,52	2,51	2,83	2,25	2,80								

I - базальтовый туф, ср. зооцен, чилыкская свита, Зекарский перевал, II - из-хл-грс-шт,
 III - из-хл-грс-кв-шт, IV - кв-гр-сер-шт, (хл), V - сер-кв-шт (ка), VI - ка-хл-шт,
 грс-сер-шт, VII - сер-грс, ка-шт, VIII - ка, сер-грс, шт.

Таблица 22

ОКОЛОУДНЫЕ МЕТАСОЛПАТИ ТУДЖАРЕТСКОГО ПОЛИМЕТАЛЛИЧЕСКОГО
РУДОПРОЦЕССА

Оксиды	Изменение						Атомы	Миграция										
	Исход- ная I SiO ₂	II TiO ₂	III FeO ₃	IV MnO	V MgO	VI CaO		П Na ₂ O	II K ₂ O	III P ₂ O ₅	V H ₂ O	П.п.п.	VI сумма					
SiO ₂	48,70	65,20	44,43	46,60	49,70	58,53	52,60	55,05	49,57	Si	+42,20	-7,96	-4,67	+10,05	+12,94	+8,30	-3,21	
TiO ₂	0,70	0,16	0,70	0,70	0,63	0,63	0,55	0,80	0,80	Ti	-4,27	-3,24	-3,26	-3,47	-3,52	-4,24	-3,15	
FeO ₃	17,23	5,48	21,35	18,89	19,84	17,00	17,28	20,28	20,99	Al	-40,06	+13,79	+5,60	+4,36	-5,71	+1,36	+5,68	+6,34
FeO ₂	7,07	1,49	3,45	3,90	6,28	9,62	5,29	5,04	6,20	Fe	-10,36	-6,69	-5,91	-2,78	+3,01	-3,13	-4,37	-4,18
FeO	2,43	1,95	6,06	0,54	3,15	0,54	1,08	0,36	2,88	Fe	+6,03	+7,95	-3,96	+1,13	-4,09	-4,79	-4,40	+0,67
MnO	0,18	2,29	0,18	0,28	0,07	0,07	0,18	0,18	0,14	Mn	+4,84	+0,01	+0,22	-0,24	-0,38	+0,009	-0,02	-0,10
MgO	4,63	0,79	7,19	0,47	5,38	0,77	1,42	0,76	3,12	Mg	-14,19	+10,27	-15,58	+1,55	-15,43	-11,91	-14,67	-6,19
CaO	7,50	12,15	5,76	10,79	3,03	1,15	5,86	2,91	5,49	Ca	+14,82	-4,30	+9,22	-12,52	-17,42	-4,05	-10,27	-6,09
Na ₂ O	3,50	0,30	1,40	0,45	5,10	0,35	0,25	2,10	0,25	Na	-15,51	-10,08	-14,85	+6,57	-14,00	-15,33	-15,92	-7,29
K ₂ O	1,10	0,60	4,50	3,60	0,70	3,80	4,40	3,60	2,40	K	-1,47	+11,27	+8,16	-1,41	+7,45	+10,93	+7,38	+3,82
P ₂ O ₅	0,18	0,04	0,14	0,24	0,14	0,14	0,21	0,15	0,18	P	-0,29	-0,38	-0,08	-0,10	-0,11	+0,07	-0,08	-0,02
H ₂ O	1,80	0,12	Her	0,65	0,91	1,44	0,68	0,58	0,60	O	-11,54	-15,29	-37,97	-28,69	-37,61	-13,85	-24,26	-27,27
П.п.п.	4,60	12,24	4,52	12,61	4,85	5,65	9,74	8,62	5,18	OH	-28,06	-30,21	-19,17	-15,82	-11,47	-18,53	-21,02	-20,60
сумма	99,62	99,81	99,54	99,62	99,78	99,58	99,65	99,61	99,75	базальт	-57,87	-32,87	-81,46	-55,59	-89,25	-47,79	-87,88	-63,26
df _v	2,50	2,68	2,56	2,53	2,36	2,25	2,56	2,36	2,35									

I - базальты, II - сер. зонен. чилльская свиты, окр. с. Гуджарети, III - кв-ка-нт (сер.), IV - кв-пр-нт (ка), V - ка, сер-гру, кв-гру (ка), VI - ка, сер-гру, кв-гру, VII - сер-гру, кв-гру, VIII - сер-гру, кв-гру, IX - сер-гру, кв-гру.

Окислы	Изменение						Изменение					
	X	XI	XII	XIII	XIV	XV	X	XI	XII	XIII	XIV	XV
SiO ₂	45,58	54,65	45,20	41,22	46,97	49,89	46,83	47,95	Si	5,20	+ 5,36	+ 0,35
TiO ₂	0,63	0,78	0,80	0,83	0,63	0,63	0,53	0,52	Ti	1,11	- 3,23	- 2,96
Al ₂ O ₃	18,62	19,49	16,46	16,36	18,27	18,10	16,88	18,79	Al	5,40	+ 2,64	- 1,65
Fe ₂ O ₃	5,89	7,45	2,18	0,93	3,39	1,74	2,27	5,19	Fe	1,98	- 0,27	- 8,92
FeO	I,80	0,72	7,38	8,19	9,18	5,40	6,66	4,74	Fe	1,24	- 3,70	+ 12,90
MnO	0,18	0,35	0,18	0,25	0,14	0,21	0,18	0,14	Mn	3,54	+ 0,31	+ 3,76
MgO	2,74	2,46	3,97	4,72	6,24	3,49	4,25	5,38	Mg	6,85	- 8,78	- 1,28
CaO	8,16	1,71	10,10	10,13	3,29	6,77	7,63	10,13	Ca	2,29	- 15,94	+ 9,20
Na ₂ O	0,15	3,10	1,80	2,50	2,10	2,40	3,20	3,30	Na	16,33	- 3,01	- 7,59
K ₂ O	2,00	2,00	0,90	1,60	1,30	1,10	1,10	0,45	K	3,04	+ 2,44	- 0,41
P ₂ O ₅	0,28	0,15	0,18	0,17	0,21	0,15	0,13	0,16	P	0,23	- 0,05	+ 0,03
H ₂ O	I,20	I,80	1,35	0,22	0,17	1,12	0,23	0,19	O	20,64	- 21,79	+ 43,71
п.п.п.	I2,48	5,16	9,07	12,70	7,23	8,98	9,87	3,31	OH	9,61	- 2,11	- 5,73
сумма	99,71	99,82	99,57	99,82	99,98	99,7699	99,65	98,46	оалано	- 48,12	+ 0,21	- 78,87
d _v	2,56	2,33	2,70	2,62	2,39	2,42	2,56	2,78				

X - кв-сер-грс, ка-пт-ли, XI - сер-грс, кв-пт, (хл-каол), XII - ка-хл-пг (грс),
 XIII - ка-хл-пг (грс), XIV - хл-ка-пг (сер-грс, каол), XV - кв-хл-ка-пг, (грс-каол),
 XVI - ка-хл-кв-пг, (грс-каол), XVII - хл-ка-пг.

рассматривая рудогенез с позиций новой глобальной тектоники, на богатом геологическом материале, наглядно показали основную рудогенерирующую роль геодинамических обстановок субдукции и формирования известково-щелочных магм. В процессе субдукции океанической плиты, содержащей высокое количество меди – 100 + 1,5 г/т, вместе с вышлывлением из нее известково-щелочной магмы медь и другие металлы переходили во флюидную fazу, формируя медно-порфировые и меднополиметаллические месторождения. Рифтогенные породы Аджаро-Триалетии, как уже отмечалось, очень богаты медью (до 200 г/т). Богатыми медью оказались и трахиандезит-андезитовые породы верхнего эоцена, а также диориты и сиенит-диориты, сиениты и габбро верхнеэоценовых интрузивов (табл. 23). Отсюда следует, что в процессе субдукции формирования верхне-

Таблица 23

Среднее содержание меди в интрузивных породах Аджарии
(по данным Иванишвилли и др., 1969), в скобках кларк
по Виноградову

Наименование породы	Среднее содержание г/т	Количество анализов
Габбро	299 (100)	10
Габбро-диориты	450	5
Монцониты и калиштовое габбро	108	11
Диориты	256 (35)	7
Сиенит-диориты	137	21
Сиениты	81	38
Гранодиориты	91	8

эоценовой трахиандезит-андезитовой серии медь оставалась в магматическом расплаве и не переходила в флюидную fazу. Об этом косвенно свидетельствует также отсутствие медно-порфировых стратиморфных месторождений в верхнеэоценовой толще Аджаро-Триалетии, а также тот факт, что, по данным Т.Д.Мчедлишвили и М.Ш.Мачавариани (1977) медь в интрузивных и вулканических породах и в основных породообразующих минералах Аджаро-Триалетии находится в неструктурной форме. Эти данные свидетельствуют и о том, что по каким-то причинам медь не перешла во флюидную fazу, и осталась в магме, и содержится в первичных породах, в основном, в неструктурной форме. Следовательно, для формирования медной руды требовался процесс, способствующий растворению и переотложению меди, каковым и являлась приконтактовая серпентизация.

Приконтактовая серицитизация, по-видимому, является основным рудогенерирующим процессом, и от ее масштабов зависит и масштаб медно-металлических месторождений Аджаро-Триалетии.

Так, с Мерисским и Намонастреви-Чалатским интрузивными телами связана наиболее мощная зона приконтактовой серицитизации и, соответственно, Мерисский рудный узел является наиболее значительным среди медно-полиметаллических месторождений Аджаро-Триалетии. С Эекарской и Реха-гуджаретскими интрузивными телами, где зона серицитизации значительно слабее, связаны сравнительно мелкие медно-полиметаллическиерудопроявления. Вне взаимосвязи с зонами серицитизации в Аджаро-Триалетии не существует медно-рудных месторождений.

Совершенно по-иному проявилась геохимия меди по соседству с Аджаро-Триалетской складчатой зоной, в районе Маднеульского медно-колчеданного и полиметаллического месторождения (Южная Грузия). Маднеульское месторождение расположено в меловой вулканической толще, в основном, дацит-липаритового состава. Толща в районе месторождения подвержена интенсивной гидротермальной аргиллизации и окварцеванию. Аргиллизация и окварцевание предшествуют рудообразованию, так как руда цементирует эруптивные брекчи, представленные аналогичными вмещающими гидротермальными аргиллизитами и вторичными кварцитами. Гидротермальные аргиллизиты, непосредственно, примыкающие к рудному телу, по содержанию меди мало отличаются от исходных кислых туфов, которые, в свою очередь, содержат ее в пределах кларка (табл. 24). В данном случае ювелирный источник меди вне всякого сомнения, а геохимическое поведение этого металла в гидротермальном процессе и его содержание в свежих породах резко отличается от Аджаро-Триалетского.

Таблица 24

Среднее содержание меди в свежих и гидротермально измененных породах меловой продуктивной свиты вмещающей Маднеульское медно-колчеданное месторождение

Наименование породы	Минеральный парагенезис	Среднее содержание меди, г/т	Количество анализов
Свежие липариты, дациты и их туфы		15	20
Аргиллизиты	каол-грн-кв-сер	20	10

Анализы производились на атомно-адсорбционном спектрометре С-302, чувствительность определения ошибки $\pm 5\%$.

Аналитик Н.Меунаргия.

Примечательно, что верхнемеловая вулканическая деятельность и медно-колчеданный рудогенез Южной Грузии связан с той же активной континентальной окраиной, что и Аджаро-Триалетская складчатая зона и развит на той же зоне субдукции. Они приурочены к раннеорогенной стадии и геодинамической обстановке активных окраин двух сходящихся плит в зоне бассейна типа современного средиземноморского типа.

ВЫВОДЫ

1. В приконтактовой зоне Мерисской и Намонастrevи-Чалатской интрузий сменит-диорит-монцонитового и диоритового состава развит мощный (~ 0,5 км) ореол полевошпатовых и серицитовых метасоматитов. С малыми интрузивными телами аналогичного состава в районе Триалетского хребта, прорывающими среднеэоценовую базальтовую толщу, связаны зоны серицитизации и карбонат-хлоритового замещения.

2. В приконтактовой зоне аджарских интрузий преобладают серицitolиты, которые в основном слагают ореол вокруг интрузивных тел. Полевошпатовые метасоматиты развиты либо непосредственно в контакте интрузий (калишпатиты), либо тяготеют к зонам дробления (альбититы).

3. Серицitolиты телескопируются каолинит-гирослюдистой минерализацией, в подчиненном количестве серицitolиты содержат эпидот-циозитовые массы. За ореолами серицitolитов в цеолитизированных тuffах участвует неравновесный цеолитам эпидот.

4. Серицитизация телескопирует приконтактовые полевошпатовые зоны и эндоконтакты интрузивных тел. Сами интрузивные тела подвержены калишпатизации, альбитизации и окварцеванию, а также высокотемпературной эпидот-хлоритовой и актинолитовой пропилитизации. В приконтактовых зонах интрузий имеются роговообманковые и пироксен-роговообманковые роговики и пегматоидные тела.

5. Роговики – наиболее высокотемпературные образования. Процесс их формирования изохимический, нижний температурный предел 600°С. Наиболее высокотемпературным метасоматическим процессом является полевошпатовый метасоматоз (калишпатизация, альбитизация 400°–450°С). Его можно рассматривать как раннюю щелочную стадию метасоматического процесса. С остыванием растворов происходит серицитизация, которую вместе с каолинизацией можно рассматривать как стадию возрастающей кислотности.

6. Высокотемпературная пропилитизация по интрузивным телам обусловлена дифференциальной подвижностью петрогенных компонентов в растворе. Тогда как более подвижные щелочные металлы определили полевошпатовый метасоматоз и серицитизацию, отставшие кальций, магний и железо способствовали внутринтрузивной пропилитизации. Замещение эпидотом цеолитизированных пород за ореолом серицitolитов можно рассмат-

ривать как явление дазификации в процессе серпентизации пород в условиях повышенного термоградиента в приконтактовой зоне интрузии.

7. Серпентизация является основным рудогенерирующим процессом, определяющим выщелачивание и переотложение меди из специализированных на нее вулканических образований. Объемом серпентизированных пород определяются размеры медно-полиметаллических месторождений.

8. Медно-полиметаллическое рудообразование увязывается с геодинамической обстановкой субдукции и раннеорогенной островодужной стадией развития зоны, так как серпентизация является приконтактовым процессом верхнеэоценовых среднекремнистых интрузивных тел, формирование которых приурочено к постстратовой орогенной стадии развития Аджаро-Триалетской зоны.

6.2. Полевошпатовые метасоматиты Вакиджварской группы интрузий и Асканское месторождение бентонитовых глин

В Гурии в верхах чилильской свиты (гурийская подсвита), состоящей из пород трахитового и трахиандезитового состава, обнажено несколько выходов сиенит-монцонитовых интрузивных тел, известных под названием Вакиджварской группы. Они на основании кали-argonового метода датируются верхним эоценом. Эти тела представляют собой единый интрузивный массив, имеющий, в основном, сиенитовый состав и монцонитовое ядро. Отдельные выходы интрузива обнажены в ущельях рр. Бжуки и Натаанеби в окрестностях с. Гоми, Шемокмеди, Вакиджвари и в уроцище Ко-рисбude (см. рис. 50). В этом же районе расположено известное Асканское месторождение бентонитовых глин.

Вакиджварский интрузивный массив обладает мощными измененными контактами. Вокруг него развит обширный ореол полевошпатовых метасоматитов, мощность которого местами превышает 0,5 км. Если в приконтактовой зоне Мерисского интрузива преобладающая роль принадлежала кварц-серпентитовым метасоматитам, то в данном случае превалируют полевошпатовые метасоматиты (калишпатиты и альбититы), развитые по трахитоидам имеющей толщи и эндоконтактам сиенитовой интрузии. Они слагают внутренние зоны метасоматической колонки, первые от интрузивного тела. Внешние зоны представлены кварц-серпентитовыми метасоматитами, однако последние играют резко подчиненную роль и по мощности не превышают первый десяток метров, самые внешние зоны, по нашим наблюдениям (Гугушвили, 1974), представлены гидрослюдисто-монтмориллонитовыми аргиллизитами.

Породы Вакиджварского интрузивного массива подвержены значительным метасоматическим преобразованиям. Характерна внутриинтрузивная калишпатизация и альбитизация, наблюдаются явления мирамекитизации. Кроме

того, значительную роль играет высокотемпературная пропилитизация, выраженная в замещении породы эпидотом и альбитом, актинолитом, хлоритом, кварцем и пиритом. В приконтактовой зоне интрузивных тел в ущ. р. Натанеби и р. Чачуас-геле Г.С. Закариадзе (1973) описывает выходы пегматитовых тел. Имеются два типа пегматитов. Первый обогащенный лейкократовой составляющей с типоморфным парагенезисом пи-би-пи-киш, второй меланократовый - энст-мон. пи-би-киш. Аналогичным составом характеризуются реликты роговиков в приконтактовой зоне калишпатового замещения.

6.2.1. Геологические условия формирования, фациальной, минералогический и петрохимический анализ полевошпатовых метасоматитов

Полевошпатовые метасоматиты развиты по эндоконтактам сиенитовых интрузивных тел и по вмешающим трахитоидным породам. Они телескопируют приконтактовые роговики и пегматитовые тела. Их внутренние зоны состоят из калишпатовой и альбитовой фации, внешняя зона - из серицитовой. Полевошпатовые метасоматиты значительно превалируют над серицитолитами. Среди полевошпатовых метасоматитов преобладают калишпатиты, альбититы же тяготеют к зонам дробления внутри калишпатовой фации. Кроме того, в ущелье р. Натанеби, в окрестностях с. Вакиджвари имеются меланократовые (зеленые) зоны мощностью от 0,5 до 1,5 м, сложенные эпидозитами. Типоморфный парагенезис калишпатовой фации: киш-кв-би-пт. Однако в ее составе в подчиненном количестве участвуют реакционные минералы: хлорит, серицит, гидрослюдя, монтмориллонит. Их образование определено либо регрессией гидротермального процесса: остывание раствора в процессе гидротермального преобразования (серицит, гидрослюдя, монтмориллонит), либо перепадом давления по соседству с зонами дробления (альбит), либо неполным выносом железа и магния в процессе калиевого метасоматоза. По рентгенометрическим данным, калиевый полевой шпат представлен моноклинным ортоклазом, в некоторых образцах обнаружен калишпат и со степенью триклинисти 0,22 (табл. 25). В калишпатитах различаются два структурных типа. Первый - с унаследованной пилотакситовой структурой основной массы трахитоидов, где листы плагиоклазов и основная масса полностью замещены калишпатом, этот тип образован, по-видимому, по трахитам (см. рис. 15). У второго типа вовсе отсутствует унаследованная структура; порода состоит из изометрических хлопьеобразных мелких зерен калишпата и кварца, и, должно быть, образована по широко распространенным стекловатым туфам трахитового состава. В калишпатитах, иногда, в подчиненном количестве существует биотит. Формирование калишпатитов обусловлено калиевым метасоматозом. Процесс выражен в значительном привносе калия и в выщелачивании остальных петrogenических компонентов (см. табл. 26, рис. 51).

Таблица 25

Рентгеноструктурная диагностика минералов в приконтактовых щелочных метасоматитах Векиджварского интрузива и в сопряженных с ними аргиллизитах

№	№ обр.	Фация и её минеральный состав	Определенные минералы	Основные линии	Примечание
I	2	3	4	5	6
I	3417	Калишпатовая кшп-кв-пт	кшп	4.24, 3.46, 3.18, <u>2.965</u> , 2.947, 2.925.	По подчеркнутым линиям вычислена степень триклиноситета 0.22.
2	3425	Калишпатовая кшп-кв-пт (грс, мон)	кшп грс мон	4.23, 3.33, 3.24, <u>2.99</u> , 2.90 10.03, 4.99, 4.50 16.00, 8.55, 4.50	Подчеркнутая линия определяет моноклинность
3	8-572	Калишпатовая кшп-кв-пт	кшп	4.22, 3.31, 3.23, 3.19 <u>2.99</u> , 2.90	"—"
4	г-345	Калишпатовая кшп-кв-пт	кшп мон	4.24, 4.31, 3.19 <u>2.966</u> 15.68, 8.18, 4.52	Подчеркнутая линия широкий пик малая триклинистость.
5	3418	Калишпатовая кшп-кв-пт (сер, грс, мон)	кшп сер мон	4.23, 3.31, 3.24, <u>2.99</u> , 2.898 9.87, 4.94, 4.49 12.68, 7.69, 5.01, 4.47	Моноклинный калишпат
6	3405	Калишпатовая кшп-кв-пт	кшп кв	4.23, 3.23, <u>2.99</u> , 2.90 3.34	"—"
7	3518	Альбитовая аб-кв-пт(хл)	аб хл	4.03, 3.19, 2.96, 2.93, 2.84 14.17, 7.10, 4.72, 3.53	T C° образования 450° метод Барга, по разности пиков альбита 2.96-2.84 = 0.12.
8	3504	Альбитовая аб-кв-пт (сер-хл)	аб хл сер	4.03, 3.19, 2.957, 2.93, 2.846 14.03, 7.10, 4.84 9.94, 5.17, 4.44, 3.37	T C° образования 400°, = 0.11.
9	3493	Альбитовая аб-кв-пт	аб	4.03, 3.19, 2.96, 2.84	T C° образования 450°
10	3494	Альбитовая аб-кв-пт (сер)	аб	4.03, 3.19, 2.96, 2.93, 2.84	T C° образования 450° = 0.12.
II	3428	Монтмориллонитовая мон-грс-кв-пт	мон	12.68, 7.69, 5.01, 4.47, 3.34.	
12	Г 341	Монтмориллонитовая мон-грс-пт (кв)	мон кв	17.63, 7.90, 4.44 3.34	
13	3426	мон-грс-хл-х-пт	мон	12.68, 7.69, 5.03, 4.46	
14	3401	Кварцитовая кв-пт (кши)	кв кши	3.34 4.23, 3.23, 2.99, 2.90	Моноклинный калишпат
15	3422	Кварцитовая кв-пт (кши)	кв кши	3.34 4.23, 3.23, <u>2.99</u> , 2.90	"—"
16	3419	Калишпатовая кшп-кв-пт	кшп	4.25, 3.34, 3.24, 2.99	"—"
17	3404	Кварцитовая кв-пт (кши)	кв кши	3.34 4.23, 3.23, <u>2.99</u> , 2.90	"—"

Аналитик Р.А.АХУНДОВИЧ

Таблица 26

Полевошпатово-сернистые метасоматиты (Гуряя)

Описание	Массовая доля	Изменение								Миграция							
		I	II	III	IV	V	VI	VII	VIII	IX	X	XI	XII	XIII	XIV	XV	
SiO ₂	59,52	64,00	62,00	61,48	61,90	60,90	61,85	59,97	57,77	Si	-20,98	-34,84	-21,21	-23,51	+ 3,37	+ 6,53	
TiO ₂	0,34	0,27	0,35	0,39	0,35	0,30	0,35	0,35	0,25	Ti	-0,23	-0,16	-0,11	-0,17	-0,06	-0,16	
Al ₂ O ₃	19,95	16,26	18,24	17,57	17,56	16,43	16,78	17,55	21,40	Al	-20,57	-19,31	-16,02	-16,93	-8,14	-7,93	
Fe ₂ O ₃	2,37	2,32	2,36	2,12	3,15	6,13	3,52	2,36	3,50	Fe ⁺	0,97	-1,19	-1,16	+ 0,34	+ 7,64	-6,33	
FeO	0,70	0,18	Нет	1,08	Нет	0,72	0,36	1,26	0,27	Fe ⁻	1,17	-1,47	+ 0,41	-1,47	+ 0,11	-0,69	
MnO	0,17	с.л.	Нет	0,14	0,07	с.л.	0,18	с.л.	с.л.	Mn	0,36	-0,36	-0,17	-0,12	-0,21	-0,35	
MgO	1,67	0,71	0,93	0,85	0,53	1,57	0,30	1,10	1,51	Mg	4,12	-3,69	-5,62	-4,64	-0,09	-5,03	
CaO	3,19	0,59	0,51	0,89	0,89	0,67	0,55	0,77	2,44	Ca	7,39	-7,57	-6,60	-6,64	-6,07	-6,65	
Na ₂ O	4,21	1,10	0,30	2,70	3,10	2,80	1,40	0,35	5,00	Na	-16,21	-19,41	-9,62	-8,27	-6,22	-13,35	
K ₂ O	6,26	13,00	13,30	11,90	11,70	10,40	15,00	13,70	10,00	K	+13,22	+11,29	+11,48	+10,30	+14,81	+12,51	
P ₂ O ₅	0,46	с.л.	Нет	0,08	0,24	0,26	0,06	0,25	0,25	P	0,98	-0,98	-0,89	-0,84	+ 0,55	-0,44	
H ₂ O	0,16	Нет	0,16	0,05	0,05	0,07	0,67	0,20	0,73	Нет	0	-93,07	-120,63	-81,51	+ 1,85	+ 28,85	-0,47
п.п.п.	1,00	1,50	1,74	0,77	0,64	2,29	0,34	1,22	1,66	OH	-2,68	-0,71	-1,99	-1,73	-1,45	-10,91	
сумма	100,00	99,89	99,89	99,96	100,11	99,99	100,04	99,82	100,20	100,06	6аи.	-155,52	-199,06	-131,42	-140,52	+ 4,99	+ 22,38
d _f	2,50	2,00	1,84	2,07	2,03	2,62	2,55	1,83	2,37							-4,14	
																-43,02	

I - Трахит, ср. зооцен Гуряйская подсвита Чидильской свиты, у.р. Наканеоби, II - кип-кв-пг (грн), III - кип-кв-пг (грн), IV - кип-кв-пг (грн-мю), V - кип-кв-пг (грн), VI - кип-кв-пг (сер-грн-мю), VII - кип-кв-пг (хл-сер), VIII - кип-кв-пг (сер-грн-мю), IX - кип-кв-пг (му-сер, хл), X - кип-пг, (сер-грн-мю), XI - кип-кв-пг (фенит).

Окислы	Изменение					Атомы	Миграция						
	XI	XII	XIII	XIV	XV		XII	XI	XIII	XIV	XV		
SiO ₂	52,10	62,77	56,41	56,55	58,82	65,00	Si	-14,35	+ 1,72	-15,32	- 1,13	- 9,82	+ 7,78
TiO ₂	0,33	0,24	0,37	0,37	0,45	0,42	Ti	+0,001	- 0,21	+ 0,02	+ 0,09	+ 0,16	+ 0,12
Al ₂ O ₃	24,18	18,62	18,72	16,18	20,28	18,17	Al	+14,85	- 6,19	- 6,58	- 9,02	- 2,30	- 7,23
Fe ₂ O ₃	1,73	1,10	2,83	8,09	1,17	1,18	Fe	- 1,10	- 2,48	+ 0,58	+II,48	- 2,39	- 2,33
FeO	0,72	0,72	0,72	1,08	0,36	0,36	Fe	+ 0,09	- 0,02	- 0,04	+ 0,90	- 0,75	- 0,74
MnO	0,07	0,03	0,14	0,18	0,07	0,07	Mn	- 0,21	- 0,30	- 0,08	+ 0,04	- 0,22	- 0,36
MgO	2,70	1,59	2,22	1,03	1,93	1,00	Mg	+ 4,18	- 0,54	+ 1,62	- 2,22	+ 0,58	- 2,64
CaO	2,10	1,55	1,66	1,77	2,30	0,89	Ca	- 2,75	- 4,58	- 4,35	- 3,61	- 2,73	- 6,27
Na ₂ O	3,10	4,80	4,00	3,20	6,60	10,80	Na	- 4,91	+ 1,92	- 2,06	- 4,22	+ 9,87	+30,14
K ₂ O	7,00	6,80	8,20	9,40	4,30	0,60	K	+ 3,10	+ 0,84	+ 4,82	+II,39	- 7,03	-18,19
R ₂ O ₅	0,25	0,29	0,57	0,50	0,25	0,32	R	- 0,43	- 0,39	+ 0,17	+ 0,13	- 0,48	- 0,32
H ₂ O	0,27	0,45	0,64	0,50	0,96	0	O	- 7,73	-12,74	-36,92	+ 1,92	-22,99	- 4,72
п.п.п.	5,27	1,01	3,10	0,94	2,29	1,20	OH	+ 1,99	+ 4,55	+ 7,47	+ 2,57	+12,51	- 2,68
сумма	99,82	99,97	99,58	99,59	99,74	99,74	баланс	- 7,26	-18,42	-50,67	+ 8,32	-25,58	-7,44
d _r	2,58	2,40	2,36	2,59	2,36	2,41							

XI - сер-пг (грс), XII - мг-сер, КВ-пг, XIII - сер-КВ-пг (кни-хл-грс), XIV - сер-КВ-пг, (кни-вб-грс-ск), XV - сер-ку, аб-КВ-пг, (кни), XVI - вб-КВ-пг(сер).

XI-XV серпентиновая фация
XVI альбитовая фация

(продолжение)

Окислы	Изменение										Инградиенты											
	XIII	XIV	XV	XIX	XX	XXI	XXII	XXIII	XXIV	XXV	XXVI	XXVII	XXVIII	XXIX	XXX	XXXI	XXXII	XXXIII	XXXIV	XXXV		
SiO ₂	64,23	64,92	61,45	58,51	62,55	59,38	63,20	57,16	40,75	47,90	51	+ 6,66	+ 6,99	+ 1,80	- 3,06	+ 4,48	+26,87	- 4,49	- 8,60	-41,36	-21,17	
TiO ₂	0,39	0,25	0,25	0,25	0,25	0,25	0,25	0,25	0,37	0,37	Ti	+ 0,07	- 0,19	- 0,18	- 0,27	+ 0,09	- 0,64	- 0,004	- 0,18	+ 0,35	+ 0,10	
Al ₂ O ₃	19,31	19,31	18,54	16,88	18,10	19,31	18,54	18,44	18,54	18,44	Al	- 3,72	- 4,11	- 5,22	- 5,26	- 6,54	+ 9,27	- 6,94	- 6,48	- 1,16	- 0,84	
Fe ₂ O ₃	0,98	1,02	1,28	7,02	3,22	1,22	2,16	2,01	11,15	5,79	Fe	- 2,68	- 4,62	- 2,10	+ 6,73	+ 1,48	- 1,75	+ 0,75	+ 4,81	+ 17,80	+ 7,18	
FeO	0,54	0,36	1,98	2,34	1,03	0,18	0,18	2,16	2,70	4,52	Fe	- 0,37	- 0,74	+ 2,61	+ 3,42	+ 0,75	- 1,02	- 1,12	+ 2,98	+ 4,51	+ 8,19	
MnO	0,07	0,07	0,18	0,03	0,07	0,18	0,18	0,18	0,18	0,18	Mn	- 0,22	- 0,22	+ 0,01	- 0,30	- 0,22	+ 0,09	- 0,36	+ 0,01	+ 0,04	- 0,11	
MnO ₂	0,85	1,35	3,51	1,88	1,67	0,64	1,19	1,43	4,13	5,55	Mn ₂	- 3,17	- 1,59	+ 6,63	+ 0,76	- 0,12	- 3,41	- 2,18	- 0,99	+ 10,05	+ 15,69	
CaO	0,89	0,99	1,62	1,00	1,22	4,20	0,66	2,43	14,91	6,52	Ca	- 6,26	- 6,02	- 2,02	- 2,38	- 2,90	- 5,36	+ 4,78	- 6,95	- 2,17	+ 33,70	+ 10,11
Al ₂ O ₃	10,00	9,60	9,40	9,60	8,20	7,00	5,60	1,60	2,60	Al ₂ O ₃	+26,50	+24,42	+24,38	+25,09	+25,50	+26,71	+10,63	+ 6,25	- 12,27	- 6,99		
K ₂ O	1,40	1,40	0,60	1,20	0,80	2,20	3,20	5,60	1,00	3,60	K	-15,73	-18,16	-16,21	-17,53	-11,71	-10,68	-2,45	-16,66	- 7,75		
P ₂ O ₅	0,32	0,26	0,25	0,23	0,26	0,03	0,14	0,17	0,37	0,26	P	- 0,32	- 0,45	+ 0,46	- 0,49	- 0,44	- 0,90	- 0,71	- 0,62	- 0,15	- 0,39	
H ₂ O	0,15	0,26	0,26	0,26	0,26	0,26	0,26	0,26	0,26	0,26	H ₂ O	- 1,63	- 2,97	- 0,47	- 2,26	- 7,40	- 1,11	+69,92	- 31,05	- 16,72	- 21,58	- 4,25
П.п.п.	0,75	0,32	1,18	1,50	0,80	3,89	1,96	1,11	3,32	5,73	OH	- 0,25	- 2,68	- 0,03	- 1,03	- 0,50	+ 3,44	+ 6,36	+ 4,03	+ 5,71		
сумма	99,88	99,75	99,79	100,2499,87	92,89	99,72	99,61	99,56	99,61	99,56	бентонит	- 0,98	- 5,70	- 2,01	- 7,47	- 0,24	+118,20	- 51,07	- 17,80	- 22,70	+ 5,48	
d _r	2,42	2,40	2,45	2,50	2,45	2,75	2,28	2,45	2,63	2,66												

XII - ас-пр-(сер-про-из), XIII - ас-пр-(сер-про-из), XIV - ас-из-из-(из), XV - ас-из-из-(из),
XVI - ас-из-из-(из), XVII - ас-из-из-(из), XVIII - ас-из-из-(из), XVII - ас-из-из-(из),
XIX - ас-из-из-(из), XXI - ас-из-из-(из), XXII - ас-из-из-(из), XXIII - ас-из-из-(из),
XXIV - ас-из-из-(из), XXV - ас-из-из-(из), XXVI - ас-из-из-(из), XXVII - ас-из-из-(из),
XXVIII - ас-из-из-(из), XXIX - ас-из-из-(из), XXIII - ас-из-из-(из),
XXVII - альбитовая фация
XXVIII - эпидотит.

Альбититы, тяготеющие к зонам дробления, мощность которых достигает 5-10 м, также представлены двумя структурными разновидностями: одна с унаследованной трахитовой структурой, другая образована по стекловатым туфам и состоит из мельчайших изометрических хлопьевобразных зерен альбита и кварца. Типоморфный парагенезис этой фации, альбит, кварц и пирит, реакционные минералы хлорит, серицит, гидрослюдя. Альбититы формировались с привносом натрия и кремнезема и выносом других петрогенных элементов (см.табл.26, рис.51). Как уже отмечалось, калишпатовая фация во внешних зонах замещается серицитовой. Однако серицитовая фация в Гурийских щелочных метасоматитах выражена весьма слабо. Она наблюдается лишь во внешних зонах ореола приконтактовых метасоматитов и большей частью регressive замещается (телескопируется) монтмориллонитом. Со своей стороны серицитизация телескопирует калишпатовую фацию. Некоторая серицитизация наложена на полевошпатовую fazу сиенитов.

Типоморфный парагенезис серицитовой фации представлен серицитом, кварцем и пиритом; реакционные минералы: гидрослюдя, альбит, хлорит, монтмориллонит, встречается и калишпат, который в данной обстановке неустойчив и является остаточной фазой.

Формирование серицитовой фации обусловлено привносом калия и выносом других петрогенных элементов, однако привнос калия менее интенсивен, чем в процессе образования калишпатитов (см.табл.26, рис.51). Кварц-сериицитовый метасоматоз характеризуется значительным выщелачиванием и высоким отрицательным балансом миграции вещества (см.табл.26).

Весьма интересными образованиями являются меланократовые (зеленые) зоны эпидозитов, развитые в лейкократовых калишпатитах. Здесь отсутствует какая-либо унаследованная структура, и породу слагают эпидотовые массы. Вместе с эпидотом в подчиненном количестве участвуют актинолит, пренит, хлорит, немного альбита и пирит. Эпидозиты образовались в процессе высокой активности кальция, магния и железа, что подтверждается значительным привносом этих элементов и выносом остальных петрогенных компонентов (см.табл.26, рис.52).

6.2.2. Геологические условия формирования, фациальный, минералогический и петрохимический анализ монтмориллонитовых аргиллизитов

Как уже отмечалось, самые внешние зоны метасоматического ореола Вакиджварского массива принадлежат к монтмориллонитовым аргиллизитам, которые формируют месторождение известных асканских бентонитов. Это утверждение основано на том, что нам удалось проследить постепенный переход приконтактовых полевошпатово-сериицитовых метасоматитов, в бентонитовые глины в Мтиспирском карьере Асканского месторождения и в ок-

рестностях с.Шемокмеди, где в районе Шемокмедского монастыря прослеживается постепенный переход от выхода сиенитовой интрузии, через полевошпатовые и серпентитовые метасоматиты в бентонитовые глины асканского типа.

Минеральный состав асканских бентонитов наиболее детально изучен М.А.Ратеевым и Б.П.Градусовым (1970;1970_I). Они определили взаимопереходы от диоактозидрической гидрослюды I M, через смешеннослойные минералы, близкие к ректориту в монтмориллонит. Эти взаимопереходы они объясняют эволюцией гидротермальных растворов.

Асканские бентониты иногда наследуют туфовую текстуру исходных пород, либо реликтовую трахитоидную структуру. Большей частью структура исходных пород совершенно стерта. Типоморфный парагенезис асканских бентонитов представлен монтмориллонитом, гидрослюдой I M, ректоритом, кварцем и пиритом. Реакционные минералы – кальцит, каолинит, остаточный альбит и калишпат. Все они участвуют в резко подчиненном количестве.

Монтмориллонитовая аргиллитизация характеризуется тенденцией интенсивного выщелачивания, что выражено в очень высоком отрицательном балансе "привноса-выноса" компонентов (см.табл.27, рис.53). Лишь в некоторых случаях наблюдается незначительный привнос магния и трехвалентного железа.

В Мтиспирском выходе асканских бентонитов имеются зоны и изометричные гнезда кварцитов. Их типоморфный парагенезис: кварц, каолинит и пирит. Мелкозернистый кварц слагает 80% породы, в подчиненном количестве участвуют остаточные – калишпат и серпентит. Кварциты формировались при активном кремневом метасоматозе и интенсивном выщелачивании остальных петрогенных компонентов. Баланс миграции вещества отрицательный (см.табл.27, рис.53). Образование кварцитов, по-видимому, обусловлено выщелачиванием кремнезема из пород, в процессе их монтмориллонитизации и переотложение его с формированием зоны кварцитов. Это явление подобно взаимоотношениям монтмориллонитизации и халцедонообразования на Месхетских агатовых месторождениях.

Приконтактовые метасоматиты Вакильварского интрузивного массива, как полевошпатово-серпентитовые метасометиты, так и монтмориллонитовые аргиллизиты, развиты в зоне приповерхностной фоновой цеолитовой пропилитизации.

Следует отметить, что на участке Цихисубани в монтмориллонитовых аргиллизитах З.Д.Мжавия (1964) было обнаружено небольшое сульфидное оруденение, состоящее из маломощных прожилков и гнездообразных тел галенита, сфалерита, халькопирита. Монтмориллонитовая аргиллитизация сопровождалась выщелачиванием меди из вмещающих трахитоидных пород, содержащих медь в среднем до 200 г/т, тогда как монтмориллонитовые аргиллизиты содержат ее в среднем 22 г/т. Кварцитовая фация в

Таблица 27

Гидротермальное зонтическое (аскениит)

Описание	Исход-	Изменение фаз										Атомы	Магнитные									
		I	II	III	IV	V	VI	VII	VIII	VIII	X		II	III	IV	V	VI	VII	VIII	IX	X	XI
SiO ₄	8-579	34,13	34,05	34,08	34,26	34,50	34,27	34,74	34,01	34,00	34,22	Si	-36,32	-21,21	+ 9,86	-31,31	-69,06	-26,62	-57,03	+39,55	+20,20	+33,76
TiO ₄	59,52	42,90	68,20	34,80	63,17	57,56	60,54	44,54	81,54	73,45	78,05	Ti	+ 0,26	- 0,33	- 0,15	- 0,20	- 0,21	+ 0,20	- 0,40	- 0,17	- 0,39	
Al ₂ O ₃	0,34	0,52	0,22	0,18	0,35	0,42	0,34	0,54	0,14	0,27	0,14	Al	-1,15	-28,56	-28,91	-19,99	-32,31	-17,14	-18,57	-35,26	-27,83	-32,55
Fe ₂ O ₃	19,95	16,10	13,75	12,00	17,72	16,25	17,23	16,63	8,70	11,46	9,57	Fe	+ 7,05	1,36	+ 2,15	+ 0,39	- 0,33	+ 0,52	+ 7,06	- 2,09	- 0,58	- 1,77
FeO	2,37	6,63	2,20	1,45	3,46	5,95	3,25	7,43	1,37	2,24	1,53	Fe	+ 0,97	0,18	- 0,51	- 1,47	- 1,15	+ 1,29	- 0,54	- 1,12	- 0,43	- 1,12
MnO	0,70	1,26	0,72	0,54	нет	0,27	1,62	0,54	0,18	0,54	0,18	Mn	-0,009	0,31	- 0,31	- 0,31	- 0,15	+ 0,21	- 0,12	- 0,36	- 0,30	- 0,30
MgO	0,17	0,18	0,03	0,03	0,18	0,50	0,14	0,14	0,14	0,03	0,03	Mg	+ 10,15	3,12	+ 0,75	0,79	+ 1,51	+ 1,91	+ 13,89	- 5,14	- 3,66	- 3,48
CaO	1,67	4,76	1,11	0,87	2,12	2,28	6,55	0,77	2,60	0,77	0,56	Ca	+ 5,39	7,03	- 7,07	- 7,01	- 3,78	- 6,33	- 2,83	- 6,66	- 7,19	- 6,36
K ₂ O	3,19	5,64	0,77	0,66	0,78	5,21	0,99	2,60	0,77	0,56	0,88	Ka	- 9,28	-19,39	-18,83	+ 0,89	-16,97	-18,32	-11,28	-19,14	-19,14	-19,12
Na ₂ O	4,21	2,50	0,30	0,40	5,90	1,30	0,50	2,30	0,30	0,30	0,30	Na	- 4,12	+ 2,01	+ 3,86	-74,80	-10,61	-1,40	- 8,72	- 2,90	+ 4,41	- 2,68
K ₂ O	6,26	5,40	9,20	8,80	2,20	5,30	5,60	4,30	5,80	8,30	5,80	K	- 0,74	- 0,88	- 0,88	- 0,60	- 0,71	- 0,02	- 0,92	- 0,72	- 0,56	
P ₂ O ₅	0,46	0,78	0,28	0,13	0,06	0,32	0,15	0,55	0,03	0,13	0,21	P	+ 0,55	- 0,53	- 0,74	- 0,74	- 0,71	- 0,02	- 0,92	- 0,72	- 0,56	
H ₂ O	0,16	1,11	0,30	0,07	0,51	3,63	1,17	4,82	нет	0,06	0,17	O	-65,89	-108,26	-49,64	-108,77	-193,82	-94,89	-98,74	-5,64	-24,21	-8,32
п.л.п.	1,00	2,99	2,70	0,46	3,50	5,27	5,25	8,48	0,80	1,79	2,33	OH	+ 14,44	+ 1,08	- 2,68	+ 3,68	+ 13,51	+ 63,66	+ 2,68	- 1,75	- 0,02	
сумма	99,88	99,77	99,78,00	32,99,80	99,99,94	99,82	99,62	99,95	99,98	99,98	99,98	саманс	-91,97	-187,37	-100,99	-180,08	-239,40	-193,20	-113,05	-42,75	-61,39	
Δ ₁	2,50	2,30	1,87	2,13	1,86	1,39	2,02	2,05	2,31	2,50	2,34											

I - трахит-ср-вощен, гурийская подсвита, чидильской свиты, ул. р. Нахибеба, II - мон-трос-хх-лт (кам), III - мон-трос-хх-лт, IV - кв-шп-вощ-трос-лт, V - мон-трос-хх-лт, VI - мон-трос-хх-лт, VII - мон-трос-хх-лт (кам).

IX - кв-лт (кам), X - кв-шп-вощ-трос-лт (кам), XI - кв-шп-лт (хл-гро).

II-XI монтмориллонитовая фазия,

IX-XI кварцитовая фазия.

монтмориллонитовых аргиллизитах содержит завышенные количества меди и свинца, в среднем, соответственно, 600 и 100 г/т. Одновременно калишпатиты характеризуются завышенными содержаниями меди в среднем до 400 г/т, серпентолиты же, как и в Мериси, обеднены медью (12 г/т). Следовательно, медь в процессе серпентитизации и монтмориллонитизации выносилась из имеющих пород и аккумулировалась в кварцитовой фации монтмориллонитовых аргиллизитов.

6.2.3. Петрогенетические и физико-химические факторы полевошпатового метасоматоза и монтмориллонитовой аргиллитизации

Наиболее высокотемпературными проявлениями флюидизма являются пегматиты и роговики, развитые в приконтактовой зоне Вакиджварского интрузивного массива, телескопируемые калишпатовым замещением. По минеральным парагенезисам пи-би-пл-кли и энст-мон. пи-би-кли они соответствуют породам амфиболитовой фации, нижний температурный предел формирования которой 600°C . Явления постмагматического метасоматоза начинаются с полевошпатового замещения и высокотемпературной внутриинтрузивной пропилитизации. Полевошпатовые метасоматоз хорошо выражен как в самом интрузивном теле (пертитизация и антипертитизация), так и в приконтактовой зоне (калишпатовый и альбитовый метасоматоз). Взаимоотношения между внутриинтрузивной калишпатизацией и альбитизацией, с одной стороны, и высокотемпературной внутриинтрузивной эпидот-хлоритовой и актинолитовой пропилитизацией – с другой, по-видимому, те же, что и в Мерисском интрузивном массиве и объясняются дифференциальной подвижностью компонентов. Более подвижные щелочные металлы осуществляют калишпатизацию и альбитизацию, а отстающие основания – кальций, магний и железо – актинолитовое и эпидот-хлоритовое замещение.

В приконтактовой зоне Вакиджварского интрузивного массива, в процессе интенсивной калишпатизации и альбитизации высвобожденные основания – магний, кальций и железо – формируют эпидозитовые зоны. Температуры образования эпидозитов и полевошпатовых метасоматитов идентичны (см.табл.28), что также свидетельствует об их единовременном и син-генетичном формировании.

Как полевошпатовые метасоматиты, так и высокотемпературные пропилиты, видимо, отражают раннюю щелочную стадию процесса, так как эндогенные растворы в высокотемпературных условиях имеют щелочную реакцию. Последнее подтверждается известным экспериментом Дж.Хемли (Немлеу, 1959), по данным которого высокотемпературные условия благоприятствуют росту активности щелочных металлов и формированию калишпатов. С остывлением раствора во внешних зонах формируются серпентолиты и монтмориллонитовые аргиллизиты. Серпентитизация и аргиллитизация

Таблица 28

Термометрия полевошпатовых метасоматитов (альбитовый термометр) и эпидозитовых зон (эпидотовый термометр)

№ обр.	Типоморфный парагенез	По альбиту		По андезиту		
		Δd I3I/I3I	T °C	b(A°)	% Ps	T °C
3518	аб-кв-пт(хл)	0,12	450°			
3504	аб-кв-пт(сер.хл.)	0,11	400°			
3493	аб-кв-пт (хл)	0,12	450°			
3494	аб-кв-пт(сер)	0,12	450°			
3468	эп-пр-аб-пт			5,65	35	470°
3469	эп-акт-хл-пт			5,63	25	360°

отражают, по-видимому, стадию возрастающей кислотности, связанную с остыанием раствора ко внешним зонам.

В Мерисском ореоле развита каолинитовая аргиллитизация, в Вакиджварском – монтмориллонитовая. Последняя обусловлена, по всей вероятности, более щелочным-трахитовым составом исходных пород. Благодаря их высокой щелочнометалльности они стабилизировали щелочность раствора и препятствовали при остыании его резкому раскислению, что, вероятно, способствовало созданию благоприятной для монтмориллонитизации нейтральной среды.

Итак, щелочной приконтактовый метасоматоз и монтмориллонитовая аргиллитизация – единый петрогенетический процесс, связанный с постмагматической деятельностью Вакиджварской интрузии. Взаимопереходы их продуктов обусловлены остыанием раствора. Пространственные взаимоотношения между щелочными метасоматитами и монтмориллонитовыми аргиллитами наблюдаются в Мтиспирском карьере и в окрестностях с. Шемокмеди, в районе монастыря. В последнем случае имеется переход от сиенита через приконтактовые щелочные метасоматиты и монтмориллонитизированные породы.

Гипотеза о гидротермальном происхождении асканских бентонитов была выдвинута А.А. Твалчелидзе (1931), обоснована А.А. Твалчелидзе, Г.С. Дзоценидзе и Н.И. Схиртладзе (1959). Нами выявлены петрогенетические взаимоотношения между приконтактовыми полевошпатово-серicitовыми метасоматитами Вакиджварского интрузивного массива и асканскими бентонитами. Было установлено, что внешние зоны ореола приконтактовых метасоматитов представлены монтмориллонитовыми аргиллизитами. Эта закономерность в условиях сильной задернованности рельефа может способствовать

правильному направлению поисков новых выходов асканских бентонитов.

ВЫВОДЫ

1. Впервые установлена генетическая взаимосвязь между приконтактовыми метасоматитами Вакиджварского интрузивного массива и монтмориллонитовыми аргиллизитами (месторождение асканских бентонитов). Последние рассматриваются как внешние зоны метасоматической колонки приконтактового изменения Вакиджварского интрузива.

2. Зональность метасоматического процесса контролируется температурным фактором и отражает кислотно-основное взаимодействие метасоматического процесса. Наиболее высокотемпературные фации: калишпатиты, альбититы, эпидозиты и внутриинтрузивная калишпатизация и альбитизация, а также высокотемпературная пропилитизация отражают раннюю щелочную стадию процесса, а серпентолиты и монтмориллонитовые аргиллизиты - стадию возрастающей кислотности.

3. В отличие от Мерисского интрузива в приконтактовой зоне которого преобладает кварц-серпентитовый метасоматоз, в ореоле изменения Вакиджварского массива превалируют полевошпатовые метасоматиты. Интенсивный полевошпатовый метасоматоз в приконтактовой зоне Вакиджварского интрузивного массива обусловлен длительными высокотемпературными условиями. Последние могут зависеть от больших размеров и, следовательно, более высокой тепловой емкости Вакиджварского интрузива сравнительно с Мерисским. Не исключена также возможность влияния состава исходных пород, так как распространенные в Вакиджвари трахиты были породами более щелочными, чем мерисские роговообманковые андезиты и трахиандезиты. Они, естественно, способствовали созданию более щелочной среды метасоматоза, что могло быть причиной предпочтительной калишпатизации в контактах Вакиджварского интрузива.

6.3. Регрессивные приконтактовые аргиллизиты

С крупными интрузивными телами Мериси, Вакиджвари, Намонастреви, Учамба связаны полевошпатово-серпентитовые метасоматиты и грэйзены, пропилиты и аргиллизиты. С каждым из перечисленных интрузивных тел связан петрогенетический процесс, на определенных стадиях которого формировались разные метасоматические формации, либо их фации. Например, полевошпатовый метасоматоз и высокотемпературная пропилитизация относятся к ранней щелочной стадии, кварц-серпентитовый метасоматоз и гидротермальная аргиллитизация к стадии возрастающей кислотности, цеолитизация к поздней щелочной стадии и т.д. Эволюция гидротермального раствора, выраженная в его стадийности, как известно, зависит, в первую очередь, от температуры раствора. Так как с крупными интрузив-

ными телами были связаны мощные гидротермальные системы, характеризующиеся интенсивной циркуляцией медленно остывающих растворов. Гидротермальный раствор по пути следования от источника проходит определенные стадии эволюции и формирует довольно четко разобщенные в пространстве генетические типы гидротермальных метасоматитов. Однако, если по тем или иным причинам, происходит быстрое остывание гидротермального раствора, то на высокотемпературные образования регressive накладывается низкотемпературная минерализация и формируются метасоматиты с остаточными высокотемпературными минеральными парагенезисами, телескопированные парагенезисами низкотемпературных фаз. Подобные явления, выраженные в регressive наложенной гидротермальной аргиллитизации, наблюдались нами в приконтактовых зонах изменения малых интрузий. Эти тела прорывают верхнезоценовую трахиандезитовую вулканическую толщу в бассейне р. Аджарисцкали (Аджария). Они формируют жилы и штоки сиенит-диоритового и диоритового состава. Мощность жил не превышает 80 м. Площадь выхода штоков равна 0,2–0,5 км². Эти тела обнажены в ущельях притоков р. Аджарисцкали: рр. Схалта, Чирухисцкали, Горджомула, Диокнисис-геле, Табахмелас-геле и др.

Ту же верхнезоценовую вулканическую толщу прорывает Мерисская интрузия. Как отмеченные малые интрузивные тела, так и крупная Мерисская интрузия обрамлены значительными ореолами (0,2–0,5 км) приконтактовых метасоматитов. В контактах Мерисского интрузива, как известно, развиты приконтактовые метасоматиты, состоящие из полевошпатовых и кварц-серпентитовых метасоматитов. Формирование этих пород происходило при высокой активности щелочных металлов в растворе.

Иные явления наблюдаются в приконтактовых зонах отмеченных малых интрузивных тел, хотя сами эти тела характеризуются теми же автометасоматическими изменениями, что и породы Мерисской интрузии, но в значительно меньших масштабах. И здесь имели место автометасоматические процессы калишпатизации и альбитизации, а также и высокотемпературной пропилитизации с участием эпидота и актинолита.

Генетические взаимоотношения между внутриинтрузивным полевошпатовым метасоматозом и высокотемпературной пропилитизацией, вероятно, те же, что и в Мерисском интрузиве. В экзоконтактах интрузии развиты плагиоклаз-кварц-биотитовые роговики. Мощность зоны роговиков не превышает десяти метров и они телескопированы калишпатизацией, серпентитизацией и каолинизацией.

Приконтактовые зоны малых интрузий характеризуются очень интенсивной аргиллитизацией, и осветленные ореолы в основном состоят из каолинита, гидрослюд, кварца и алюнита, в подчиненном количестве. Диагностика минералов глин и гидрослюд основана на рентгенометрических и термических данных.

Приконтактовые аргиллизиты характеризуются очень интенсивной пиритизацией. Осветленные зоны Схалтинской малой интрузии были описаны как вторичные кварциты с кварц-каолинит-серпентитовой минерализацией (Иваницкий и др., 1969), но ввиду превалирующей роли каолинита и отсутствия минерализации типоморфной для вторичных кварцитов эти породы позднее были нами отнесены к типу аргиллизитов (Гугушвили, 1973). Следует отметить, что аргиллизиты Схалтинской и других малых интрузивных тел обладают мозаичным строением: участки с преобладанием кварца перемежаются с участками, где превалируют каолинит-гидрослюдистые массы. Первые характеризуются привносом кремния, вторые его выносом (см. рис. 54). Для обоих характерно интенсивное выщелачивание основных петрогенных элементов. Типоморфные парагенезисы аргиллизитов: 1) кв-каол-грс-пт, 2) кв-каол-ал-грс-пт.

В аргиллизированных приконтактовых ореолах довольно четко видна остаточная минерализация полевошпатового и серпентитового метасоматоза, который, по всей видимости, предшествовал аргиллитизации. Так, на приконтактовые роговики Схалтинской интрузии наложена калишпатизация, в аргиллитизированных ореолах встречаются зоны альбититов, и значительную роль на отдельных участках играет серпентит. В аргиллизитах имеются останцы кварц-серпентитовых метасоматитов. Подобно мерисским формирование этих серпентолитов и альбититов обусловлено привносом щелочных металлов (см. рис. 55).

Итак, для осветленного ореола малых интрузий на фоне интенсивной аргиллитизации, характерна остаточная минерализация более высокотемпературного полевошпатово-серпентитового метасоматоза. Следовательно, здесь пространственно сопряжены два различных генетических типа гидротермальных метасоматитов: полевошпатовые и серпентитовые метасоматиты и гидротермальные аргиллизиты.

Интенсивная каолинизация кварц-серпентитовых метасоматитов в приконтактовых зонах малых интрузий, по-видимому, явилась следствием быстрого остыния растворов. Как известно, с падением температуры падает активность кальция в растворах и калишпат замещается мусковитом (серпентитом) и далее каолинитом (Немлеу, 1959). Постмагматический процесс в контактах малых интрузивных тел начался полевошпатово-серпентитовым метасоматозом, выраженным в калишпатизации, кварц-серпентитовом метасоматозе и в формировании альбититовых зон. Однако из-за малого теплового запаса этих тел растворы быстро остывали и раскисляясь производили каолинизацию. Каолинит телескопировал кварц-серпентитовые зоны, и типичные кварц-серпентитовые метасоматиты уцелели лишь на отдельных участках. Уцелели, видимо, и менее проницаемые зоны альбититов.

Как уже отмечалось, Мерисская интрузия характеризуется приконтактовыми полевошпатово-серпентитовыми метасоматитами лишь очень слабой наложенной каолинизацией. В отличие от аналогичных ей по составу ма-

лых интрузий, это довольно крупное тело, обладающее высокой теплоемкостью. Поэтому в процессе его медленного остывания обеспечивались высокотемпературные условия в продолжении всего петрогенетического процесса, что и обусловило формирование приконтактовых полевошпатово-серпентитовых метасоматитов. Когда имеется мощная медленно остывающая гидротермальная система, продукты различных стадий пространственно разобщены. Примером могут служить приконтактовые метасоматиты Вакиджварского интрузивного массива, где в удалении от контактов полевошпатово-серпентитовые метасоматиты (калишпатиты, альбититы, серпентолиты) переходят в монтмориллонитовые аргиллизиты. Когда же мы имеем дело с быстро остывающей гидротермальной системой, продукты ранней щелочной стадии сопряжены в пространстве с продуктами кислотного выщелачивания, что и наблюдается в рассматриваемых нами случаях.

ВЫВОДЫ

В приконтактовых зонах малых интрузивных тел бассейна р. Аджарискали аргиллизиты регressiveивно наложены и почти полностью замещают ранееобразованные полевошпатово-серпентитовые метасоматиты. Тогда как в приконтактовой зоне Мерисского интрузива, который имеет аналогичный малым телам состав и формировался в аналогичных геологических условиях, развиты щелочные кварц-полевошпатовые и кварц-серпентитовые метасоматиты.

Причиной полного телескопирования раннеобразованных высокотемпературных образований, по-видимому, можно считать низкий тепловой запас малых интрузий. Ею обусловлено быстрое остывание постмагматических растворов, что привело к регressiveивному замещению высокотемпературных образований низкотемпературными и к пространственному совмещению различных метасоматических формаций.

7. ГЕОДИНАМИКА, ВУЛКАНИЗМ И ГИДРОТЕРМАЛЬНЫЙ ПРОЦЕСС

Вопрос о геодинамическом развитии Алжаро-Триалетской зоны и его взаимоотношений с вулканической деятельностью обсуждался в первой главе. Вспомним основные положения этих взаимоотношений. С позднего мела в связи с замыканием Анатолийско-Малокавказского океанического бассейна и формированием Севано-Акеринского офиолитового шва Кавказ находится на постколлизионной стадии развития. Он представляет собой структуру типа современного Средиземноморского бассейна. К этому периоду относится формирование вулканической провинции на юге Закавказского срединного массива, где от альба до нижнего турона имела место вулканическая деятельность сиалического типа. Ее продуктом является дифференцированная серия пород: базальт-андезито-базальт-андезит-риолит.

тового состава. В конце мела в Аджаро-Триалетской зоне на смену вулканической деятельности приходит карбонатное осадконакопление и формируется карбонатная толща верхнего мела, затем следует отложение палеоцен-нижнеэоценового флиша (турбидиты), которое знаменует обособление Аджаро-Триалетского трога и начало рифтогенеза. Рифтинг Аджаро-Триалетской зоны связан с продолжающейся в палеогене субдукцией океанической плиты, связанной с замыканием Анатолийско-Малокавказского океанического бассейна, реликты которого еще продолжают жить и после верхнего мела (Лордкишанидзе, геол. отчет, 1977). Субдукция океанической плиты на больших глубинах привела к возмущению мантийного диапира (диапировая модель Карига, 1974) и к раскрытию рифтовой зоны. Рифтовая зона, восточным окончанием которой является Аджаро-Триалетский трог, начинается на Балканах. От Бургасского синклиниория Болгарского среднегорья тянется, по-видимому, через весь Черноморский бассейн (его центральная "безгранитная часть") и продолжается в Аджаро-Триалетскую зону (Адамия и др., 1978).

В Аджаро-Триалетии с запада на восток происходит постепенное отмирание рифта. По степени интенсивности рифтинга М.Б.Лордкишанидзе (геол. отчет, 1977) подразделяет Аджаро-Триалетскую складчатую зону на три сегмента: западный, охватывающий в основном Аджарию и Гурию, характеризующийся наиболее интенсивным рифтингом, центральный (Имеретия, Месхетия, западная часть Триалетии) – знаменующий ослабление рифтинга и восточный (восточная Триалетия) – отражающий отмирание рифта. Одновременно, в палеогене, отмирание рифта отмечено и по вертикали – снизу вверх. Дело в том, что рифтинг наиболее интенсивно проявился в среднем эоцене. К концу среднего эоцена тенденция растяжения сменилась тенденцией сжатия, что привело к прекращению рифтинга; с верхнего эоцена зона претерпевает раннеорогенное развитие, выраженное в сиалической вулканической деятельности андезит-шошонитового состава.

Различная интенсивность рифтинга по сегментам, с запада на восток, хорошо отражена в среднеэоценовой вулканической деятельности. Среднеэоценовая вулканическая толща наибольшей мощности достигает в западном сегменте (до 7 км). Знаменательным фактом является наличие центральной толеитовой зоны и щелочных и субщелочных базальтов на флангах. В центральном сегменте мощность толщи значительно меньше (4–3 км), состав базальтовый, характерный для рифтогенных зон. Однако здесь выклинивается центральная толеитовая зона, что является признаком ослабления рифтинга. В восточном сегменте происходит дальнейшее утонение среднеэоценовой толщи (максимальная мощность 2 км), ее состав преимущественно андезитовый, рифтинг здесь проявился лишь в формировании турбидитов (палеоцен-нижнеэоценовый флиш). В этом сегменте

происходит отмирание рифта и характер вулканической деятельности отражает раннеорогенную постколлизионную стадию развития с присущим ей сиалическим вулканализмом.

В процессе описания гидротермальных формаций мы попытались выявить их взаимосвязь с геодинамическим развитием зоны. Гидротермальный процесс также хорошо отражает различные геодинамические обстановки. Зависимость характера гидротермального процесса от геодинамического развития зоны особенно четко выражено в региональных пропилитах. В западном сегменте, в зоне наиболее интенсивного рифтинга, в пропилитизированной среднезоценовой толще наблюдается четко выраженная температурная зональность по глубинности. Распределение зон в пространстве таково: до трехкилометровой глубины развиты высокотемпературные актинолитовые и эпидот-хлоритовые зоны пропилитов; от трех- до двухкилометровой глубины — промежуточная хлорит-альбитовая зона, а выше одного километра — приповерхностная цеолитовая зона пропилитов. Сам факт зональности в среднезоценовой толще западного сегмента, принимая во внимание отсутствие зональности в вышележащей, довольно мощной, пропилитизированной верхнезоценовой толще, свидетельствует о позднесреднезоценовом-верхнезоценовом возрасте пропилитизации.

Несколько иная картина наблюдается в центральном сегменте, в зоне ослабления рифтинга. Здесь также выявлена вертикальная температурная зональность фоновых пропилитов. Одновременно, на глубинных уровнях можно наблюдать остаточные явления фоновой метасоматической цеолитизации. Последнее свидетельствует о том, что в центральном сегменте происходила и синхронная со среднезоценовым вулканализмом пропилитизация, однако наличие зональности говорит о преобладающей роли эпигенетического позднесреднезоценового процесса.

В восточном сегменте, в отличие от западного и центрального, наблюдается полное отсутствие зональности; пропилиты, даже на участках, где мощность палеогенового комплекса порядка двух километров, представлены лишь приповерхностной цеолитовой фацией. Следовательно, в зоне отмирания рифта пропилитизация сингенетичный и синхронный со среднезоценовым вулканализмом процесс. Важно подчеркнуть, что в восточном сегменте под трехкилометровой литостатической нагрузкой вулканогенного палеогена и карбонатного мела, меловая вулканическая толща подвержена цеолитовой пропилитизации. Как отмечалось во второй главе, метасоматическая пропилитизация в меловой толще — синхронный и сингенетичный меловому вулканизму процесс.

Палеогеновые растворы в восточном сегменте зоны, вероятно, были относительно низкотемпературны, даже под трехкилометровой литостатической нагрузкой, в другом случае они должны были производить высоко-температурную пропилитизацию в меловой вулканической толще.

Четкая зональность и эпигенетичность пропилитизации в западном сегменте, по-видимому, обусловлена наиболее интенсивным рифтингом. Латеральная зональность с центральной толеитовой зоной свидетельствует о влиянии мантийного диапира с высоким тепловым потоком. Его влияния сказалось и на гидротермальном процессе. Во-первых, интенсивное растяжение и интенсивный базальтовый вулканизм, видимо, способствовали интенсивной дегазации водных паров и эманации из открытых трещин и вулканических каналов в атмосферу. Лишь на стадии прекращения рифтинга, ослабления вулканизма и с закрытием каналов начался интенсивный метасоматоз. Формирование высокотемпературных глубинных зон пропилитов также определено влиянием мантийного диапира с высоким тепловым потоком. Большие литостатические нагрузки удерживали высокий тепловой градиент, обусловленный высоким тепловым потоком, что способствовало образованию фоновых высокотемпературных пропилитов и на больших глубинах. Восточнее, в центральном сегменте, отмечено постепенное ослабление рифтинга и вулканической деятельности. Оно способствовало слабой сингенетичной с вулканализмом, пропилитизации, однако наличие зональности, с высокотемпературными фациями на больших глубинах, свидетельствует о влиянии теплового потока, связанного, возможно, с влиянием мантийного диапира и о преобладающей роли позднесреднеэоценовой пропилитизации. Наконец, в восточном сегменте, в зоне отмирания рифта, и сиалической вулканической деятельности в меловой и палеогеновой вулканической толще развита лишь сингенетичная вулканализму приповерхностная цеолитовая пропилитизация, что обусловлено низким тепловым потоком и слабым растяжением зоны. Отсутствие зональности в верхнезоценовой вулканической толще свидетельствует об одновременности и сингенетичности пропилитизации с верхнезоценовым вулканализмом.

Итак, пропилитизация в зависимости от влияния мантийного диапира и интенсивности рифтинга по-разному проявилась на различных участках Аджаро-Триалетской зоны. Она, в основном, эпигенетична по отношению к рифтогенной вулканической деятельности, вследствие чего формировалась вертикальная температурная зональность и представлена, единственно, приповерхностными фациями.

От характера геодинамического развития зоны зависит также формирование Аджарских вторичных кварцитов и серноколчеданное рудообразование. Как известно, формирование вторичных кварцитов генетически связано с пропилитизацией и верхнезоценовым андезит-шошонитовым вулканализмом. Сам факт локализации вторичных кварцитов в верхнезоценовой андезитовой толще, его генетическая связь с верхнезоценовым вулканализмом свидетельствует о том, что вторичные кварциты и связанное с ними серноколчеданное оруденение образовались на пострифтовой, раннеорогеной стадии развития зоны. Кроме того, формирование вторичных кварци-

тов происходило в субаэральных- островных условиях. Именно субаэральные условия и определили их генезис. Мелководные, островные условия верхнеэоценового моря обусловлены инверсией геотектонического режима и пострифтовой раннеорогенной стадией развития зоны.

В Аджаро-Триалетии значительную роль играют приконтактовые метасоматиты. Большинство из них связано с сиалическим среднекремнекислым магматизмом. К верхнеэоценовым интрузивным телам сиенит-диорит-монцонитового состава тяготеют щелочные полевошпатовые и серпентитовые метасоматиты, гряззены, скарны и аргиллитизиты (Гугушвили, 1973; 1974; Гугушвили, Купаралзе, 1975; Гугушвили, 1976). С приконтактовой серпентитизацией и гряззенизацией генетически связано медно-полиметаллическое рудообразование и кассiterит-молибденитовое оруденение, со скарнами-магнетитовое оруденение. Приконтактовый метасоматоз сиалических интрузивных тел и связанное с ними рудообразование, как и сам сиалический магматизм, обусловлен пострифтовым, раннеорогенным развитием зоны. Свинец и цинк, а также олово, молибден и железо скарново-магнетитового месторождения имеют эндогенный источник и эти металлы переходили во флюидную fazu в процессе выплавления известково-щелочной среднекремнекислой магмы из погружающейся океанической плиты (гипотеза Силлитое, 1974). По-иному обстоит дело с медью. Как известно, рифтогенные средненеэоценовые базальты и пострифтовые сиалические верхнеэоценовые андезиты, а также сиенит-диориты, сиениты и габбро очень богаты медью - в среднем 200 г/т (Иваницкий, 1969; Иваницкий и др., 1969; Гугушвили, Мchedlishvili, 1975). Важно подчеркнуть, что медь в интрузивных и вулканических породах и в их основных породообразующих минералах находится в неструктурной форме (Мchedlishvili, Machavariiani, 1977).

В процессе рифтинга и пострифтового развития зоны медь по каким-то причинам, оставалась в магматическом расплаве и не переходила во флюидную fazu. Косвенным свидетельством этому является отсутствие стратиморфных, сингенетичных вулканизму, меднопорфировых месторождений в верхнеэоценовой вулканической толще. Формирование медно-рудных жил Аджаро-Триалетских месторождений обусловлено приконтактовой серпентитизацией, которая способствовала растворению и переотложению меди из первичных рифтогенных и островодужных вулканитов. Так как приконтактовая серпентитизация связана с пострифтовыми сиалическими интрузиями, то генезис меднорудных жил относится к пострифтовой, раннеорогенной стадии развития зоны. То же самое можно сказать и об источнике железа для серноколчеданного месторождения Аджарии. Оно выносилось из вмещающих верхнеэоценовых андезитов в процессе формирования монокварцитов и переотлагалось в зоны дробления и аргиллитизации.

8. СВЯЗЬ МЕТАМОРФИЗМА И МЕТАСОМАТОЗА С ГЕОДИНАМИЧЕСКИМИ РЕЖИМАМИ

Метаморфизм и постмагматический метасоматоз приурочены к деструктивным либо конструктивным границам плит. Их характер и направленность определяются геодинамическими режимами, проявляющимися в различных обстановках.

Региональный метаморфизм мобильных зон происходит на активных континентальных окраинах, метаморфизм океанического дна - в рифтовых зонах срединно-океанических хребтов, постмагматический метасоматоз - в районах вулканической и магматической деятельности.

Зеленосланцевая и цеолитовая фации регионального метаморфизма мобильных зон и зеленокаменный метаморфизм океанического дна по минеральному составу пород и по РТ-условиям формирования очень близки к постмагматическому процессу - пропилитизации. Мы попытаемся сопоставить региональные метаморфиты активных континентальных окраин с океаническими метаморфитами и постмагматическими гидротермальными пропилитами. В основу сопоставления положены петрогенетические условия их формирования в различных геодинамических обстановках, при разных тепловых режимах и их взаимоотношения с вулканической и интрузивной деятельностью.

8.1. Пропилитизация и региональный метаморфизм активных континентальных окраин

Несмотря на большое сходство пропилитов и региональных метаморфитов зеленосланцевой фации удается установить некоторые минералогические и текстурно-структурные различия этих пород. Как было показано В.Л.Русиновым (1972), пропилиты по сравнению с зеленокаменными региональными метаморфитами характеризуются наличием генетической связи с продуктами кислотного выщелачивания - вторичными кварцитами и гидротермальными аргиллизитами - и с рудоотложением. Для пропилитов характерны пиритизация и адуляризация, отсутствие переходов к продуктам более высокой степени метаморфизма (эпидот-амфиболитовой и амфиболитовой фации). В пропилитах отсутствуют глаукофан и натровые слюды, не характерен пумпеллиит - типоморфные минералы регионального зеленокаменного метаморфизма. Кроме перечисленных критериев различия мы предполагаем существование еще ряда других. В первую очередь это отсутствие сланцеватости в пропилитах, интенсификация процесса в районах расположения вулканических центров, структурный и литологический контроль, неравномерность изменения толщ:присутствие в них реликтовых участков совершенно неизмененных пород.

Пропилитизация-постмагматический процесс. Она развита исключи-

тельно по вулканическим и интрузивным породам, синхронна и сингенетична магматизму.

Иными взаимоотношениями с магматизмом характеризуются региональные метаморфиты мобильных зон. Они образуются как по вулканическим, так и по осадочным породам и по степени интенсивности метаморфизма подразделяются на гранулитовую, амфиболитовую, эпидот-амфиболитовую, пренит-пумпеллитовую, зеленосланцевую и цеолитовую фации. Характерной чертой региональных метаморфитов является наличие спаренных метаморфических поясков. По признаку их расположения от континента к океану они подразделяются на внутренние и внешние и различаются один от другого по РГ-условиям формирования и по составу метаморфитов.

Внешние (от континентов) пояса формировались в условиях низких температур и высоких давлений. Эти условия определяются хадеит-глаукофановым и глаукофановым составом сланцев. Внутренние же пояса, содержащие индекс-минералы андалузит, кианит и силлиманит, формировались в условиях высоких температур и относительно низких давлений (*Miyashiro*, 1961). Именно во внутренних поясах развиты все перечисленные фации метаморфизма, за исключением хадеит-глаукофановой и глаукофановой. Важно подчеркнуть, что характерной чертой региональных метаморфитов мобильных зон является их непременная сланцевая текстура. Региональный метаморфизм характеризуется относительно слабой миграцией вещества и его прогрессивная направленность связана с обезвоживанием минералов в условиях высокого термоградиента (*Миасиро*, 1976).

Основное петрогенетическое различие между постмагматическим метасоматозом и региональным метаморфизмом мобильных зон заключается в их взаимоотношениях с вулканической и интрузивной деятельностью. Первые генетически и во времени тесно связаны с магматизмом, с остывлением магматических очагов и затуханием теплового потока, обусловившего генерацию магмы. Что касается регионального метаморфизма активных континентальных окраин, то он имеет прогрессивную направленность и обусловлен воздействием теплового потока, которое чаще всего оканчивается генерацией андезитовой магмы. Итак, если постмагматический метасоматоз сопровождается магматической деятельностью и завершает ее, то региональный метаморфизм предшествует последней. В геологической литературе известно множество примеров, когда в одном и том же метаморфическом поясе за эпизодами метаморфизма следуют эпизоды вулканической и интрузивной деятельности. Подобные явления наблюдаются в округе Лейк в Уэллсе, где события регионального метаморфизма, возраст которых - 475-420 млн лет - предшествовали кислому и среднему вулканизму (*Read*, 1961). Другой пример известен в Герцинской цепи Западной Европы - в Молданубской структурной зоне мигматиты, имеющие возраст 340-320 млн лет, перекрываются нижнекаменноугольной молассой.

которая местами включает мощные трахиандезитовые толщи (Сатон, 1967). Дж. Сатон (1967) приводит в качестве еще одного примера нижнедевонские неметаморфизованные вулканические породы Шотландии, перекрывающие регионально метаморфизованные толщи, испытавшие 420–400 млн. лет назад последний – каледонский этап метаморфизма. В свою очередь отмеченные вулканические породы секутся гранитными интрузиями Глен-Кое и Бен-Невис, возраст которых определен в 410–400 млн. лет. В тихоокеанском кольце, под зоной интенсивного андезитового вулканизма предполагается существование пояса регионального метаморфизма низкого давления (Миаэшиго, 1972). В герцинском метаморфическом комплексе кристаллического ядра Большого Кавказа эпизод метаморфизма завершается в конце девона – начале карбона, а в среднем карбоне в этой зоне проявляется андезит–дацит–липаритовый вулканизм (Адамия, 1968; 1977).

Можно было бы привести еще много примеров, когда эпизоды регионального метаморфизма предшествуют андезитовому вулканизму. Однако следует отметить, что не каждый из них завершается вулканической деятельностью. Иногда воздействие теплового потока не идет дальше формирования амфиболитовой, либо гранулитовой фации регионального метаморфизма, которые с затуханием теплового потока к земной поверхности постепенно трансформируются в эпидот–амфиболитовую, пренит–пумпеллитовую, зеленосланцевую и цеолитовую фации.

8.2. Метаморфизм срединно–океанических и интрагубовых рифтов и сопоставление его с региональным метаморфизмом активных континентальных окраин

За последние годы, на основании информации, полученной по драгированию и бурению океанического дна, было установлено, что метаморфизм проявился по–разному во втором и третьем геофизических слоях океанической коры в пределах срединно–океанических хребтов. Во втором слое он выражен относительно низкотемпературными преобразованиями с формированием зеленосланцевой и цеолитовой фаций (Аументо и др., 1973) и придонной аргиллитизации (Jones, Bassett, 1975; Raschka, Eckhardt, 1974). В третьем геофизическом слое породы подверглись метаморфизму лишь высоких ступеней – от низких до высоких ступеней альмандин–амфиболитовой фации (Аументо и др., 1973).

Зеленокаменный метаморфизм второго ("базальтового") слоя представляют собой метасоматическое преобразование пород со значительной миграцией основных петrogenных элементов (Аументо и др., 1973; Миасиро, 1976). Измененные породы сохраняют реликтовую магматическую структуру эфузивов (с реликтами порфировых вкраплениников). Процесс выражен неравномерно и контролируется структурным и литологическим фак-

торами. Прослеживается вертикальная метасоматическая зональность от зеленокаменных эпидотсодержащих фаций к цеолитовым фациям и к придонной аргиллитизации. Примечательно, что в зонах срединно-океанических хребтов цеолитовая фация распространена до глубины одного километра, глубже она сменяется фацией с зеленосланцевым минеральным составом.

Метаморфиты третьего слоя отличаются от описанных выше метаморфитов полной утратой реликтовых минералов, магматических структур и наличием четкой, преимущественно линейной, ориентировки - сланцевой и гнейсовых текстур.

В амфиболитах третьего слоя Ф.Аументо и его соавторы (1973) выявили две характерные минеральные ассоциации. Первая типична для относительно низкой ступени альмандин-амфиболитовой фации, представлена кварцем, плагиоклазом андезин-олигоклазового ряда, биотитом, зеленой плеохроичной роговой обманкой, эпидотом, ортоклазом, магнетитом и сфеном. Вторая относится к более высокой ступени метаморфизма и состоит из роговой обманки, диопсида (диаллага), плагиоклаза (олигоклаз-андезина), ортоклаза и небольшого количества биотита. Она приближается к самой высокой ступени альмандин-амфиболитовой фации. В амфиболитах установлено только незначительное уменьшение содержания воды. Следовательно, метаморфизм высоких ступеней, в отличие от зеленокаменного метаморфизма, протекал без миграции элементов, т.е. осуществлялся в условиях относительно закрытой системы при давлении нагрузки 4000 бар и минимальной температуре 550°C. Такие условия могли существовать в третьем слое, на глубине 6 км, при воздействии аномально высокого теплового потока (Аументо и др., 1973).

По данным Дж.Р.Канна (1973), наиболее достоверный калий - аргоновый возраст амфиболитов третьего слоя хребта Пальмер составляет 60 млн. лет. В подошве "базальтового" слоя описываются тектонические брекчи (олистостромы). Их обломки представлены амфиболитами и серпентинитами третьего слоя. Они подвергены ретроградному метаморфизму: хлоритизации, эпидотизации, замещению актинолитом, сфеном, железорудными минералами (Кенн, 1973). Возраст ретроградно метаморфизованных пород и, следовательно, возраст ретроградного метаморфизма, по данным Дж.Р.Канна (1973), - 27 млн лет и он вполне сопоставим с возрастом "базальтового" слоя, который датируется здесь мио-плиоценом. По мнению А.В.Пейве (1975), базальты второго слоя срединного хребта не связаны ни во времени, ни генетически с габброидами и другими породами метаморфического комплекса третьего геофизического слоя, и "все разнообразные деформации и метаморфизм, как видно по материалам бурения и драгирований, существовали в породах метаморфического комплекса до отложения офиолитовых олистостром и брекчий, т.е. по крайней мере до излияния базальтов верхнего миоцена и плиоцена, которые слагают второй геофизический слой хребта" (стр.8).

Развитой во втором слое зеленокаменный метаморфизм совершенно аналогичен ретроградному метаморфизму в тектонических брекчиях (олистостромах). Формирование второго слоя (базальтовая зона) происходит в процессе раздвигания морского дна и базальтовых извержений (Мелсон, Томпсон, 1973). Следовательно, зеленокаменный метаморфизм, проявившийся во втором слое, и ретроградный метаморфизм в олистостромах можно рассматривать как постмагматические изменения, аналогичные процессу пропилитизации.

Итак, в зоне океанических хребтов выявляются два типа метаморфизма. Первый развит в третьем геофизическом слое и сходен с метаморфизмом внутренних поясов активных континентальных окраин. Для него характерна хорошо выраженная амфиболитовая фация, настораживает лишь отсутствие обособленных, относительно низкотемпературных фаций -пренит-пумпелиитовой, зеленосланцевой и цеолитовой. Также, как на активных континентальных окраинах, океанический метаморфизм высоких степеней предшествует магматической деятельности, проявившейся в формировании второго слоя. С океаническим магматизмом генетически и во времени связан другой тип метаморфизма, выраженный в постмагматическом изменении типа пропилитизации с зеленокаменными и цеолитовыми фациями и в придонной аргиллизации.

Строение дна окраинных морей и интрагрутовых рифтов вполне сопоставимо со строением океанического дна в зонах срединно-океанических хребтов. На примере Южно-Чилийского мезозойского интрагрутового рифта, развитого за юрской островной дугой и состоящего из офиолитового комплекса, можно видеть, что метаморфические и метасоматические процессы здесь вполне аналогичны процессам во втором и третьем слоях срединно-океанических хребтов. В нижней части мезозойского офиолитового комплекса развиты амфиболиты, по минеральному составу и гнейсово-сланцевой текстуре вполне соответствующие амфиболитам третьего геофизического слоя срединно-океанических хребтов.

Толеитовые базальты, габброиды и амфиболиты Южно-Чилийского мезозойского офиолитового комплекса сопоставимы с аналогичными породами океанических хребтов и по целому ряду геохимических индикаторов: по содержанию Rb и соотношению K/Rb , по содержанию Zr , Y , Sr и Ti , по низкому содержанию редких земель (*Talnay et al.*, 1976).

Выше по разрезу в офиолитовом комплексе по толеитовым базальтам развиты зеленокаменные метаморфиты, аналогичные метаморфитам второго геофизического слоя как по минеральному составу, так и по характеру миграции вещества и текстурно-структурным признакам. По данным К. Стерна и его соавторов (*Stern et al.*, 1976) зеленокаменный метаморфизм верхней части офиолитового комплекса характеризуется зональностью от зеленокаменной фации в низах разреза до цеолитовой, развитой выше. Метаморфизм развит неравномерно, сланцевая текстура отсут-

ствует. Характерна значительная миграция основных петрогенных элементов, особенно кремнекислоты и железа и сульфидная минерализация.

Зеленокаменный метаморфизм второго слоя срединно-океанических хребтов и верхней части Ижно-Чилийского офиолитового комплекса сопоставим с пропилитизацией, развитой в толеит-щелочно-базальтовой палеогеновой вулканической толще, слагающей интраподговую палеорифтовую структуру Аджаро-Триалетии. Эти образования имеют аналогичный минеральный состав и одну и ту же направленность вертикальной метасоматической зональности от высокотемпературных эпидотсодержащих фаций к низкотемпературным цеолитовым. Они характеризуются значительной миграцией основных петрогенных элементов и являются результатом метасоматических процессов. Ни в тех, чи в других не устанавливается генетическая связь и пространственное взаимоотношение их продуктов с более глубинными фациями метаморфизма. Для пород не характерна сланцевая текстура. Ни в зонах интраподговых рифтов, ни в рифтах срединно-океанических хребтов не обнаружены спаренные метаморфические пояса, характерные для региональных метаморфитов активных континентальных окраин. Еще одной характерной чертой этих процессов является переход по направлению вверх, к морскому дну цеолитовой зоны в аргиллизитовую. Настигивает лишь отсутствие обособленной хлорит-альбитовой фации в океанических метаморфитах, характерной для аджаро-триалетских интраподговых пропилитов. Причина ее выпадения неясна. Возможно, это связано со специфическими условиями метаморфизма океанического дна; либо она пока просто не выявлена из-за относительной скучности информации по океаническим метаморфитам.

Одна и та же направленность процесса, сходный минеральный и фациальный состав, свидетельствуют о том, что зеленокаменные метаморфиты океанических рифтов и пропилиты интраподговых рифтов формировались под воздействием одних и тех же постмагматических флюидов, по идентичным исходным породам толеитового и щелочно-базальтового состава. Зеленокаменный метаморфизм океанического дна коррелируется со спредингом и приростом океанической плиты на срединно-океанических хребтах, что в сущности является магматическим процессом. Следовательно, как зеленокаменный метаморфизм океанического дна, так и пропилитизация генетически и во времени тесно связаны с магматизмом и являются постмагматическими процессами. Это их главное отличие от региональных метаморфитов мобильных зон и метаморфитов третьего геофизического слоя океанического дна, формирование которых предшествует магматической деятельности.

8.3. Пропилитизация в интрандуговых рифтах и в островных дугах

В островодужных андезитовых вулканических сериях и в толеит-щелочно-базальтовой серии интрандугового рифта Аджаро-Триалетской зоны пропилитизация проявилась по разному. Если в интрандуговых рифтах фоновой пропилитизации свойственна хорошо выраженная вертикальная метасоматическая зональность, обусловленная возрастанием с глубиной геотермического градиента, то в андезитовых сериях Аджаро-Триалетии она отсутствует. Даже на больших глубинах (до 3 км) здесь не были обнаружены высокотемпературные фации фоновых пропилитов, и пропилитизация по всей мощности вулканических серий выражена лишь в цеолитовом и низкотемпературном – карбонат-хлоритовом-преобразовании пород. Высокотемпературные фации пропилитов встречаются исключительно в приконтактовых зонах интрузивных тел, что, вероятно, обусловлено подъемом термоградиента в связи с прогревом интрузией вмещающих пород.

По минеральному составу и петрохимическим особенностям пропилиты островодужных серий аналогичны пропилитам приповерхностной зоны интрандуговых рифтов и второго слоя океанического дна. Для них характерны те же взаимоотношения с зоной приповерхностной аргиллизации. Они вполне сопоставимы и по текстурно-структурным признакам. Для островодужных пропилитов тоже характерны и преемственность магматических структур и отсутствие сланцеватости и неравномерность процесса, обусловленные структурными и литологическими факторами.

Характер пропилитизации в других островодужных вулканических сериях аналогичен Аджаро-Триалетской. В меловых и палеогеновых андезит-дацитовых и андезит-дацит-липаритовых вулканических толщах (мощность более 3 км), прилегающих с юга к Аджаро-Триалетской зоне, фоновая пропилитизация выражена лишь в низкотемпературных – цеолитовой и карбонат-хлоритовой – фациях.

В неогеновых андезитовых сериях Камчатки, по свидетельству В.Л. Русинова (1972), высокотемпературные фации пропилитов обнаружены лишь в районах распространения гипабиссальных и субвулканических интрузивных тел, где они тяготеют к приконтактовым ореолам последних. В целом же в андезитовых сериях Камчатки вертикальная метасоматическая зональность пропилитизации, с фоновыми высокотемпературными зонами на больших глубинах не установлена.

По данным Р.И.Петраченко (1972), в мезозойских и кайнозойских кислых вулканических толщах Сихоте-Алиня (Приморье, Тихоокеанская континентальная окраина) высокотемпературные пропилиты развиты лишь в приконтактовых и приразломных зонах и формируют внешние краевые зоны вторичных кварцитов. В основном, эти толщи подвержены низкотемпе-

ратурной цеолитовой пропилитизации и гидротермальной аргиллизации (Е.Петраченко, Р.Петраченко, 1978).

В пропилитизированной андезит-дацитовой неогеновой толще зеленых туфов Японии, с которой связаны известные месторождения типа куруко, развита в основном цеолитовая пропилитизация. Цеолиты представлены клиноптилолитом, морденитом, гейландитом, анальцином и ломонитом; из других минералов участвуют опал, халцедон, кварц, монтмориллонит, адуляр, альбит, кальцит, хлорит, изредка эпидот (Мацукума, Хирокоси, 1973). Эпидотсодержащие минеральные ассоциации и здесь тяготеют к приконтактовым зонам диоритовых интрузивных тел (Миасиро, 1976).

В западной части Болгарского среднегорья островодужная андезитовая серия мелового возраста подвержена низкотемпературной фоновой пропилитизации. По данным И.Батанджиева и И.Велинова (1973) высокотемпературные фации пропилитов тяготеют лишь к приразломным зонам либо развиты в приконтактовом ореоле Витошского plutона.

8.4. Зависимость метаморфизма и метасоматоза от тепловых режимов

Итак, процессы метаморфизма и метасоматоза, в основном, происходят в зонах срединно-океанических хребтов и на активных континентальных окраинах в островодужных зонах и тыловых бассейнах (окраинные моря и интрагородовые рифты).

Срединно-океанические хребты и тыловые бассейны активных континентальных окраин представляют собой зоны спрединга и сопоставимы по тепловым и геодинамическим режимам развития. Основные дуги, развитые над деструктивными зонами, характеризуются другими тепловыми и геодинамическими режимами. Соответственно тепловым режимам меняется характер метаморфизма и метасоматоза.

Наиболее высокий тепловой поток установлен в зонах срединно-океанических хребтов – от 2,5 до 8,30 е.т.п. (е.т.п. – единица теплового потока, равная 10^{-6} кал/ $\text{см}^2 \text{ с.}$). Именно высокие тепловые потоки обусловили высокий термоградиент в этой зоне, равный $166^\circ\text{C}/\text{км}$ (*Langseth, Von Herzen*, 1970). Подобные тепловые потоки были выявлены и в тыловых бассейнах. Значение теплового потока вдоль оси Курильской впадины соответствует $3,90 \pm 0,69$ е.т.п. (Смирнов и др., 1979). Высокие тепловые потоки порядка 5 е.т.п. были установлены и в других интрагородовых бассейнах (Ле Пишон и др., 1977). По данным Т.Ватанабе и его соавторов (*WatanaBe et al.*, 1976), изучивших тепловые режимы в тыловых бассейнах Западного побережья Тихого океана, значение тепловых потоков в тыловых бассейнах возрастает с омоложением последних. Если в меловых бассейнах (Восточно-Берингское и Карибское моря) величины тепловых потоков определяются -1-2,5 е.т.п., то

В миоцен-плиоценовом бассейне - Северного Фиджи и в плиоцен-плейстоценовом Окинавском троге значения тепловых потоков колеблются в широких пределах от 1 до 7 е.т.п.; они вполне сопоставимы со значениями тепловых потоков в зонах срединно-океанических хребтов. В Аджаро-Триалетском интраподигитом палеорифте, судя по вертикальной метасоматической зональности зоны пропилитизации, предполагается довольно высокий термоградиент порядка $120^{\circ}\text{C}/\text{км}$. Это свидетельствует о существовании высокого теплового потока в процессе формирования этой структуры.

В островодужных зонах тепловые потоки значительно ниже чем на срединноокеанических хребтах и в тыловых бассейнах: они равны 0,7 е.т.п. на океанической стороне и 3 е.т.п. в тылу дуги (Хатертон, 1978).

Разные величины тепловых потоков в разных геодинамических обстановках обусловлены глубиной воздействия мантийного диапира. О малоглубинном мантийном диапире в зоне срединно-океанических хребтов свидетельствуют высокие уровни генерации магмы - порядка 15-20 км (Горшков, 1974). Наряду с этим низкие значения тепловых потоков в островодужных зонах свидетельствуют о больших глубинах диапирисма. По данным С.А.Федотова (1974) генерация магмы в зоне Курило-Камчатской дуги происходит на глубинах 100-230 км.

Тепловые режимы, обусловленные разными глубинами диапирисма в различных геодинамических обстановках, определяют особенности метаморфических и метасоматических процессов. Так, если региональные метаморфиты мобильных зон представлены полным рядом метаморфических фаций от гранулитовой и амфиболитовой до цеолитовой, то в океанических метаморфитах третьего слоя и в метаморфитах глубинных зон тыловых бассейнов пока не обнаружены метаморфиты ниже амфиболитовой фации. Последнее, по-видимому, связано с малоглубинным диапирисмом в зонах срединно-океанических хребтов и тыловых бассейнов. Аналогичное объяснение напрашивается и для зеленокаменных постмагматических метасоматитов (пропилитов) второго океанического слоя, интраподигитовых рифтов и островных дуг. Зональность процесса с высокотемпературными фоновыми фациями пропилитов определяется высоким тепловым потоком в верхних структурных этажах океанической коры и дна тыловых бассейнов, тогда как на верхних структурных этажах островодужных окраин отсутствие зональности и фоновых высокотемпературных поствулканических преобразований связано с глубинным диапирисмом и низким тепловым потоком.

ЗАКЛЮЧЕНИЕ

Основные результаты исследования суммированы в следующих общих выводах:

I. Направленность и характер постмагматического метасоматоза, также, как метаморфизма и магматизма, определяются особенностями гео-

динамического режима региона.

2. Зеленокаменные преобразования во втором геофизическом слое срединно-океанических хребтов и в верхней части омфолитового комплекса интраподовых рифтов являются постмагматическими процессами аналогичными пропилитизации. Генетически и во времени они тесно связаны с магматизмом.

3. Степень метаморфизма и гидротермального метасоматоза определяется глубиной мантийного диапира и соответственно тепловыми режимами с одной стороны. Наиболее высокие тепловые потоки в интраподовых и океанических рифтах, связанные с малоглубинным диапиром в этих зонах, обусловили метаморфизм высокой степени в третьем геофизическом слое океанической коры, соответствующем альмандин-амфиболитовой фации. Здесь отсутствуют обособленные фации более низкотемпературных метаморфитов, начиная с пренит-пумпеллитовой до цеолитовой. С другой стороны большие глубины диапира в островодужной обстановке, по-видимому, определили формирование полного зонального ряда от гранулитовой до цеолитовой фации, характерного для региональных метаморфитов мобильных зон.

4. Метаморфизм третьего геофизического слоя и региональный метаморфизм мобильных зон обусловлены прогрессивным воздействием мантийного диапира, завершающегося генерацией магмы и магматической деятельностью. Пропилитизация же представляет собой регressiveный процесс, сопутствующий магматической деятельности и завершающий ее, обусловленный затуханием мантийного диапира.

5. От глубины диапира и от теплового режима зависит также и характер постмагматического процесса. В зонах океанических и интраподовых рифтов в условиях высокого теплового потока пропилитизация характеризуется вертикальной метасоматической зональностью и фоновыми высокотемпературными фациями на больших глубинах. В островодужной обстановке вследствие большой глубины проявления диапира и низкого термоградиента на верхних структурных этажах, пропилиты, наоборот, не обнаруживают вертикальной метасоматической зональности и фоновые высокотемпературные зоны не формируются даже в низах мощных вулканических толщ.

6. Вертикальная метасоматическая зональность в пропилитизированной рифтогенной толеит-щелочнобазальтовой толще является следствием высоких тепловых режимов в интраподовых рифтах. В условиях высокого термоградиента, в начале палеогеновой вулканической деятельности высокотемпературные флюиды улетучивались из вмещающих пород и зеленокаменный метасоматоз не сопутствовал раннему палеогеновому вулканизму. Лишь после того, как вулканическая толща достигла значительной мощности, литостатическая нагрузка начала препятствовать потере флюидов и регулировать газовый режим растворов; началось метасоматическое преобра-

зование толщ и формирование вертикальной метасоматической зональности.

7. Хотя общая направленность гидротермального процесса зависит от геодинамического развития региона, однако образование конкретных метасоматических и рудных формаций, их генетические взаимоотношения и фациальное расчленение, а также кислотно-основное взаимодействие процесса определяются петрогенетическими и рудогенетическими факторами. Под ними подразумеваются: температура, pH и Σh растворов, специфика их состава, активность основных петрогенных элементов, давление нагрузки, состав исходных пород, интенсивность циркуляции раствора, геологические условия формирования.

8. Формирование метасоматической формации в целом определяется более широким диапазоном действия определенных петрогенетических факторов, чем формирование ее отдельных фаций. Если основными петрогенетическими факторами возникновения пропилитизации следует считать температуру растворов в диапазоне 450–200°C и состав исходных пород, то фациальное расчленение пропилитов будет обусловлено более мелкими температурными интервалами в пределах отмеченного диапазона. Так, например, высокотемпературные актинолитовые и эпидот–хлоритовые фации сформировались в интервале 450–360°C, хлорит–альбитовая при 360–280°C, цеолитовая – ниже 280°C.

9. Фациальное расчленение фоновых пропилитов выражено в вертикальной метасоматической зональности, которая со своей стороны является отражением кислотно-основного взаимодействия, контролируемого РТ-условиями процесса. Следовательно, с определенными температурными интервалами, внутри крупного температурного диапазона можно увязать фациальное расчленение и зональность в полевошпатово–серицитовых метасоматах и их переход в аргиллизиты.

10. Формационные взаимопереходы определяются изменением характерных особенностей, отличающих данную формацию от других и объединяющих внутри нее отдельные фации. Для пропилитов такой особенностью является зеленокаменный минеральный состав, для вторичных кварцитов–кремне–кислотный метасоматоз и специфический минеральный состав (алунит, диаспор, зуннит, андалузит и др.); для полевошпатово–серицитовых метасоматитов–щелочнометальный метасоматоз и полевошпатовый и серицитовый минеральный состав; для грейзенов–высокая активность галогенидов, выраженная в специфической минералогии (топаз, турмалин и др.); для аргиллизитов – интенсивное выщелачивание и характерный минеральный состав (минералы глин) и т.д.

II. Метасоматические формации генетически взаимосвязаны как продукты единой гидротермальной системы и их взаимоотношения и взаимопереходы определяются изменением геологической обстановки формирования и других петрогенетических факторов – в основном физико–химических параметров растворов, как во времени (время в процессе существования

вания гидротермальной системы), так и в пространстве (по удалению от очага – источника гидротермальной системы), а также составом исходных пород и эволюцией раствора в системе – флюид-гидротермы – зона дегазации – зона конденсации в понимании С.И.Набоко (1979). Немаловажным фактором является и интенсивность циркуляции растворов.

12. Приконтактовые метасоматические процессы контролируются тепловым режимом в зоне влияния магматического тела. Это влияние определяется тепловым запасом и, следовательно, размерами тела. Характер и направленность приконтактовых преобразований зависят также от состава исходных пород и интенсивности циркуляции растворов. Так, например, в приконтактовой зоне крупных интрузий по вмещающей андезит–трахиандезитовой толще формируются полевошпатово–серпентитовые метасоматиты, которые лишь во внешней части ореола переходят в аргиллизиты и телескопируются ими. В приконтактовых зонах аналогичных по составу малых интрузий, занимающих ту же геологическую позицию, развиты в основном аргиллизиты, почти полностью телескопирующие полевошпатово–серпентитовые метасоматиты. В то же время в приконтактовой зоне габбродиных интрузий по вмещающим породам базальтового состава формируются высокотемпературные пропилиты. В приконтактовом ореоле интрузии среднего состава с известняками развиты скарны и постскарновые метасоматиты.

13. Рудообразование теснейшим образом связано с гидротермальным метасоматозом. По меткому выражению В.А.Жарикова (1976) "руды понятие не генетическое, а экономическое", она, подобно метасоматитам, является продуктом гидротермального процесса. Все метасоматические формации Аджаро–Триалетии рудоносны, за исключением пропилитов. Гидротермальные растворы по отношению одних металлов инициально рудоносны, другие же они могут выносить из вмещающих пород в процессе гидротермального изменения этих последних и переотлагать в структурно благоприятных условиях. К первым относятся свинец и цинк медно–полиметаллических месторождений Аджаро–Триалетии, молибден и олово молибденит–кассiterитового рудопроявления и железо скарново–магнетитовых руд; вторым – медь медно–полиметаллических руд и железо серно–колчеданного месторождения.

14. Рудоотложение обусловлено совокупностью рудогенетических факторов (T , P , pH , ℓ и других параметров раствора). Естественно, что отложение тех или иных металлов связано с определенным этапом эволюции гидротермального раствора. Эволюцией же контролируется и гидротермальный метасоматоз, поэтому вполне естественно тяготение определенных руд к определенному типу метасоматитов. Хорошим примером этого служат генетические взаимоотношения медно–полиметаллического рудообразования с приконтактовой серпентитизацией. Установлено, что на Аджаро–Триалетских месторождениях серпентизация происходит в условиях, благоприятствующих

приятных для свинцово-цинкового рудоотложения из богатых этими металлами флюидов, так как серицитолиты сравнительно со свежими породами значительно обогащены свинцом и цинком и в них локализованы свинцово-цинковые рудные жилы.

Одновременно серицитизация способствовала выносу меди из аномально богатых ею свежих базальтов и андезитов. Выщелоченная медь аккумулировалась в благоприятных условиях, формируя медно-рудные жилы. Следовательно для медно-полиметаллических месторождений Аджаро-Триалетии серицитизация являетсяrudогенерирующим процессом и может служить поисковым признаком на руду. Расчеты объема серицитизированных пород с учетом интенсивности серицитизации и сопоставление этих данных с запасами руды на месторождениях показали, что по масштабу серицитизации, зная геологию месторождения, можно судить о реальных масштабах последнего. Работы этого направления должны способствовать доразведке известных месторождений и поискам новых рудных тел.

15. С метасоматическим процессом генетически связана гидротермальная минерализация пустот. Она происходила на фоне пропилитизации и гидротермальной аргиллизации, была синхронна и сингенетична с ними. Однако в виду того, что физико-химическая обстановка отложения минеролов в пустотах отличалась от таковой метасоматического преобразования пород, минеральный состав миндалин и вмещающей их породы был различным. В процессе фоновой пропилитизации и аргиллизации происходило выщелачивание кремнезема, щелочей и глиноzemса, которые, переотлагаясь в пустотах, образовывали ассоциации цеолитов, карбонатов, минералов глин и кремнезема (халцедон, опал, кварц и др.). Халцедонообразование готово к верхним горизонтам палеогеновой и меловой вулканических толщ. Резкое охлаждение раствора в приповерхностных условиях, способствовало выпадению кремнезема из насыщенных кремнекислотой растворов, что обусловило формирование экономически рентабельных агат-халцедоновых месторождений Месхетии и Тедзамского ущелья.

16. Кислотно-основное взаимодействие в разных петрогенетических процессах выражено совершенно разными формациями и фациями руд и метасоматитов. Так например, скарны, магнетитовые руды, высокотемпературные фации пропилитов и полевошпатовые фации полевошпатово-серицитовых метасоматитов формировались на ранней щелочной стадии соответствующих процессов. Стадия возрастающей кислотности выражена в образовании пропилитов хлорит-альбитовой фации, кварц-серицитовых метасоматитов, вторичных кварцитов, аргиллизитов, медно-полиметаллических, серно-колчеданных и молибденит-кассiterитовых руд. На стадии возрастающей щелочности формируются цеолитовые пропилиты. Следует отметить, что формации далеко не всегда отражают полный цикл кислотно-основного взаимодействия. Например, скарны, вторичные кварциты, грейзены и аргиллизиты отражают лишь одну стадию цикла. Первые – раннюю щелочную „осталь-

ные – кислотную. Полевошпатово-серицитовые метасоматиты – две стадии – раннюю щелочную (полевошпатовые метасоматиты) и возрастающей кислотности (серицитолиты). Лишь пропилиты отражают три стадии цикла.

17. Щелочность-кислотность в гидротермальном процессе является понятием относительным как внутри одной формации, отражающей несколько стадий процесса, так и в межформационном смысле. Например, среди щелочных метасоматитов полевошпатовые метасоматиты отражают раннюю щелочную стадию, серицитолиты – стадию возрастающей кислотности; в пропилитах эпидот-хлоритовая фация формируется на ранней щелочной стадии процесса, тогда как хлорит-альбитовая – на стадии возрастающей кислотности. Из последнего примера следует, что продукты, относящиеся к стадии возрастающей кислотности, не обязательно формируются в кислой среде, они могут образовываться и в слабо щелочной, которая будет более кислой по отношению к предшествующей стадии определенного петрогенетического процесса. Естественно, что вторичные кварциты и гидротермальные аргиллизиты, отражающие кислотную стадию гидротермального метасоматоза, являются продуктами более кислой среды, чем хлорит-альбитовые пропилиты, возникающие на стадии возрастающей кислотности пропилитизации.

Л и т е р а т у р а

- Адамия Ш.А. Дюорские образования Кавказа. Тбилиси, "Мецниереба", 1968, с.293.
- Адамия Ш.А. Тектоника и геологическая история Абхазии. Тр.геологического ин-та АН ГССР, новая серия, 1977, вып.54.
- Адамия Ш.А., Гамкрелидзе И.П., Закариадзе Г.С., Лордкипанидзе М.Б. Место Аджаро-Триалетии в Альпийском складчатом поясе. "Проблемы геологии Аджаро-Триалетии". Тбилиси, "Мецниереба", 1974, с.112-123.
- Адамия Ш.А., Гамкрелидзе И.П., Закариадзе Г.С., Лордкипанидзе М.Б. Латеральная зональность базальтоидов Черноморско-Аджаро-Триалетского палеорифта. ДАН СССР, 1974, т.216, №4, с.901-903.
- Адамия Ш.А., Закариадзе Г.С., Лордкипанидзе М.Б., Салуквадзе Н.Ш. Геологическое строение Аджарии. "Проблемы геологии Аджаро-Триалетии", Тбилиси, "Мецниереба", 1974₂, с.60-70.
- Адамия Ш.А., Гамкрелидзе И.П., Закариадзе Г.С., Лордкипанидзе М.Б. Латеральная зональность базальтоидов Черноморско-Аджаро-Триалетского палеорифта. ДАН СССР, 1974₃, т.216, №4, с.901-904.
- Адамия Ш.А., Гамкрелидзе И.П., Закариадзе Г.С., Лордкипанидзе М.Б. Аджаро-Триалетский прогиб и проблема образования впадины Черного моря. Геотектоника, №1, 1977, с.78-94.
- Адамия Ш.А., Закариадзе Г.С. и Лордкипанидзе М.Б. Эволюция древней активной континентальной окраины на примере альпийской истории Кавказа. Геотектоника, №4, 1977₁, с.88-103.
- Адамия Ш.А., Беляевский Н.А., Гамкрелидзе И.П., Михайлов А.Е. Строение и происхождение черноморской впадины. "Тектоника Средиземноморского пояса", М., 1978, с.42-43.
- Аркальев Н.А. Об условиях образования некоторых месторождений агата Закавказья. Зап.ЛГИ, 1965, т.XIX, вып.2, с.165-170.
- Аументо Ф., Лапкаревик Б.Д., Росс Д.И. Геология срединно-атлантического хребта (профиль Гудзон, 45° с.ш.). Петрология изверженных и метаморфических пород дна океана. "Мир", М., 1973, с.168-198.
- Барнс Х.Л., Эрнст У.Дж. Идеальность и ионизация в гидротермальных флюидах. Система $MgO \cdot H_2O \cdot NaOH$ "Термодинамика постмагматических процессов". М., "Мир", 1968, с.183-211.
- Батиашвили Т.В. Термографическое исследование цеолитов среднеэоценовых вулканогенных толщ Грузии. Тбилиси, "Мецниереба", 1972, с.79.

- Белянкин Д.С.,Петров В.П., Еремеев В.П. Неоинтрузии Аджаристана и Гурии. Тр.СОПС-а , серия Закавказская,1935, вып.14.
- Белянкин Д.С.,Петров В.П. Новое по минералогии и петрографии Асканс-ких глин. Сб.трудов.Ин-т геологии и минералогии АН ГССР,1951, Тбилиси,с.5-14.
- Василевский М.М. Вулканизм, пропилитизация и оруденение. "Недра",М., 1973,с.276.
- Велинов И.А.,Логинов В.П.,Радонова Т.Г.,Русинов В.Л. Особенности гене-зиса колчеданных месторождений среднегорской зоны НРБ и СФЮ. Метасоматизм и рудообразование.Тезисы докладов на IV всесоюзной конференции,1976, Л.,с.100-101.
- Гамкрелидзе И.П. Механизм формирования тектонических структур (на при-имере Аджаро-Триалетской зоны) и некоторые общие проблемы текто-генеза."Мецниереба",1976, Тбилиси,с.225.
- Гамкрелидзе П.Д. Геологическое строение Аджаро-Триалетской складчатой системы. Ин-т геологии и минералогии АН ГССР,Монографии, № 2, Изд-во АН ГССР,1949.Тбилиси,с.508.
- Гвахария Г.В. Цеолиты Грузии.ГИН АН ГССР,Монографии, 3, Изд-во АН ГССР, 1951,Тбилиси,248 с.
- Гильд Ф. Металлогения и новая глобальная тектоника. В сб.: "Новая глобаль-ная тектоника. "Мир",1974, М.,с.351-358.
- Горшков Г.С.Новая глобальная тектоника и вулканализм. Геодинамика,магмо-образование и вулканизм. 1974,Петропавловск-Камчатский,с.21-31.
- Григорьев И.Ф. Медные и свинцово-цинковые месторождения района сел Мериси и Вайо в Аджаристане. Изв.Геол.Ком.,1929, №I,т.Х,УШ, с.39-52.
- Гугушвили В.И.Приконтактовые постмагматические метасоматиты Аджарии. Сообщ.АН ГССР,1969,т.53,№I,с.133-136.
- Гугушвили В.И. О метасоматических формациях Аджарии."Вопросы геохимии и петрологии","Мецниереба",1973,Тбилиси,с.103-128.
- Гугушвили В.И. Шелочные метасоматиты и гидротермальные аргиллиты Гу-рии.В сб."Проблемы геологии Аджаро-Триалетии", "Мецниереба",1974, Тбилиси,с.52-60.
- Гугушвили В.И.,Купарацзе М.Д. Эволюция постмагматического процесса на примере метасоматитов Квиранской интрузии.Сообщения Академии наук Груз.ССР,1975,79, №I,с.117-120.

- Гугушвили В.И., Мчедлишвили Т.Д. Роль поствулканического метасоматоза в формировании медно-полиметаллических и серно-колчеданных месторождений Аджарии. В сб.: "Метасоматизм и колчеданное оруденение". Изд-во АН Арм. ССР, 1975, Ереван, с. 23-24.
- Гуниава В.Д. К минералогии вторичных кварцитов Аджарского рудного района. Труды КИМС, 1965, вып. УІ (8), с. 173-181.
- Гуниава В.Д. Сколитсодержащие оклорудные метасоматиты Аджарского района. Сообщ. АН ГССР, 1968, т. 50, №3, с. 671-675.
- Гуревич Л.П. Условия образования минеральных парагенезисов цеолитовой и пренит-пумпеллитовой фации. В сб.: "Очерки физико-химической петрологии." Наука", М., 1974, с. 5-22.
- Дзоценидзе Г.С. Домиоценовый эфузивный вулканализм Грузии. Ин-т геологии и минералогии АН ГССР, Монографии, I, Изд-во АН ГССР, 1949, Тбилиси, с. 407.
- Дзоценидзе Г.С. Роль эфузивного вулканализма в образовании месторождений железных ископаемых. В кн.: "Магматизм и связь с ними полезных ископаемых". Госгеолтехиздат, 1960, М., с. 274-288.
- Дзоценидзе Г.С. Роль вулканализма в образовании осадочных пород и руд. - "Недра", 1969, М., с. 343.
- Дзоценидзе Г.С., Твалчрелидзе Г.А. О некоторых общих особенностях вулканализма и металлогении Болгарии и Грузии. Карпатско-Балканская геологическая ассоциация, УП, конгресс, доклады, 1965, ч. III, София, с. 256-271.
- Дзоценидзе Г.С., Твалчрелидзе Г.А. О типах рудных месторождений, связанных с вулканализмом геосинклинальных зон. Материалы междуведомственного совещания по проблеме "Рудоносность вулканогенных формаций". Рудоносность вулканогенных формаций. "Недра", 1965, I, М., с. 136-148.
- Дзоценидзе Г.С., Твалчрелидзе Г.А. О рудоносности эфузивного вулканализма. "Советская геология", 1967, №9.
- Дзоценидзе Г.С., Твалчрелидзе Г.А. О классификации вулканогенных месторождений. Тр. Института геологии и геофизики СО АН СССР, 1976, вып. 376, с. 7-17.
- Жариков В.А. Основы физико-химической петрологии. Изд-во Московского Университета, 1976, М., с. 419.
- Закариадзе Г.С., Лордкипанидзе М.Б. Древние аналоги интраплатформовых рифтов в мел-палеогеновой островной дуге Малого Кавказа. В сб.: Проблемы рифтогенеза. Изв. СО АН СССР, 1975, Иркутск, с. II2-II4.

- Заридзе Г.М. Метасоматизм и рудообразование. Изв.АН СССР, сер.геолог., 1968, №1, с.20-30.
- Заридзе Г.М. Метасоматические процессы в геосинклинальном цикле. В кн.: Метасоматизм и рудообразование."Недра", М, 1975, с.20-24.
- Иваницкий Т.А. Геология, минералогия и геохимия свинцово-цинковых и полиметаллических месторождений Грузии. ГИН АН ГССР, Монографии, № 12, Изд-во АН ГССР, 1963, Тбилиси, с.369.
- Иваницкий Т.В. Гидротермальный метаморфизм пород, вмещающих свинцово-цинковые и полиметаллические месторождения Грузии."Геология рудных месторождений", 1959, №6, с.102-113.
- Иваницкий Т.А. К вопросу металлогенической специализации интрузивов Аджарии. Известия Геологического об-ва Грузии, 1969, и, У1, вып.1, 2, с.33-42.
- Иваницкий Т. В., Гварамадзе Н.Д. Мчелашвили Т.Д. К вопросу распределения свинца, цинка и меди в метасоматически измененных магматических породах. Геохимия, №12, 1966, с.1450-1456.
- Иваницкий Т.В., Гварамадзе Н.Д., Мчелашвили Т.Д., Шавишвили И.Д., Надарейшвили Д.Г., Мачавариани М.Ш. Геохимия и металлогеническая специализация интрузивов Аджарии. "Мецниереба", 1969, Тбилиси, с.148.
- Казицин Ю.В., Рудник В.А. Руководство к расчету баланса вещества и внутренней энергии при формировании метасоматических пород."Недра", 1968, М., с.340.
- Канн Дж.Р. Петрология пород основания хребта Палмер в северо-восточной части Атлантического океана. В кн.: Петрология изверженных и метаморфических пород дна океана. Изд-во "Мир", 1973, М., с.154-168.
- Каргаретели Ц.Ш. Некоторые вопросы минералогии агатовых месторождений Месхетии. Труды геол.ин-та АН ГССР, новая серия, 1974, в.43, с.50-52.
- Кариг Д. Происхождение и развитие окраинных бассейнов западной части Тихого океана. В кн.: Новая глобальная тектоника."Мир", 1974, М., с.266-288.
- Качарава И.В. Очерк геологии Ахалцихской депрессии. Тр.Геол.ин-та АН ГССР, геол.серия, 1961, т.12, с.103-196.
- Коржинский Д.С. Зависимость метаморфизма от глубинности в вулканогенных формациях. Тр.лаб.вулканологии, 1961, вып.19, с.3-15.

- Кузнецов С.С. Аджаро-Триалетская складчатая система. Мат. по геол. и петр. Грузии, вып. 4, Тр. СОИС АН СССР, 1937, вып. 22.
- Купарадзе М.Д. Геологическое строение, вещественный состав и условия формирования Дзамского скарново-железорудного месторождения. "Мецниереба", 1966, Тбилиси, с. 61.
- Лалев А.Г. Олигоцен. В кн.: Геология СССР, т.Х "Недра", 1964, М., с. 655.
- Лордкипанидзе М.Б., Закариадзе Г.С. Корни палеогенового вулканизма Аджарии. В сб.: Вопросы геохимии и петрологии. "Мецниереба", 1973, Тбилиси, с. 70-94.
- Лордкипанидзе М.Б., Закариадзе Г.С. Палеогеновый вулканизм Аджарии в кн.: Проблемы геологии Аджаро-Триалетии. Изд-во "Мецниереба", 1974, Тбилиси, с. 74-87.
- Лордкипанидзе М.Б., Закариадзе Г.С. Латеральная петрохимическая зональность палеогенового магматического комплекса западной Аджаро-Триалетии. В сб., посвященном 70-летию со дня рождения акад. П.Д. Гамкрелидзе. Изд-во "Мецниереба", 1978, Тбилиси.
- Масалович А.М. Перенос вещества при отложении пирита в гидротермальных системах. Мат. всесоюзного симпозиума "Метасоматизм и колчеданное оруденение". Изд-во АН Арм. ССР, 1975, Ереван, с. 151-153.
- Мацукума Т., Хорикоси Е. Обзор месторождений Куроко в Японии. "Мир", 1973, М., с. 129-151.
- Мелсон У.Т., Томпсон Н. Петрология зоны трансформного разлома и прилегающих сегментов океанического хребта. В кн.: Петрология изверженных и метаморфических пород дна океана. Изд-во "Мир", 1973, М., с. 30-50.
- Мейфферт Б.Ф. Геологический очерк бассейна Верхней Куры. Мат. к общей схеме использования водных ресурсов Кура-Араксинского бассейна. Изд-во Закгипровода, 1933, вып. 5.
- Мейфферт Б.В. Геологический очерк области Боржома и Бакуриани между Карельской долиной Куры и Ахалкалакским лавовым нагорьем. Труды Всесоюзного геол. разв. объедин., 1923, вып. 303.
- Мжавия З.Д. Сульфидная минерализация в бентонитах Цхисубанского месторождения. В сб.: Автоаннотации докладов КИМС-а, 1969, Тбилиси, с. 39-40.
- Мимасиро А. Метаморфизм и метаморфические пояса. "Мир", 1976, М., с. 535.

- Миасиро А., Сидо Ф., Юнг Г. Метаморфизм в пределах Срединно-Атлантического хребта близ 24-30° с.ш. В кн.:Петрология изверженных и метаморфических пород дна океана. "Мир", 1973, М., с.140-154.
- Мchedлишвили Т.Д., Мачавариани М.Ш. О форме нахождения меди в породах и минералах Мерисского рудного узла. В сб.: Геохимия Грузии ,Изд-во "Мецниереба", 1977, Тбилиси, с.166-174.
- Набоко С.И. Условия формирования и особенности современной гидротермальной метасоматической формации Камчатско-Курильской вулканической дуги. "Наука", 1969, М., с.323.
- Набоко С.И. Современные гидротермальные процессы и их связь с тектономагматической активностью. В сб.:Геодинамика,магмообразование и вулканизм.1974,Петропавловск Камчатский, с.155-167.
- Надарейшивили Г.Ш.Эоценовый вулканизм Иго-восточной Гурии.В сб.: Проблемы геологии Аджаро-Триалетии ".Мецниереба", 1974, Тбилиси, с.37-52.
- Надирадзе В.Р.,Хмаладзе И.И. Некоторые особенности распределения молибдена в магматических образованиях Аджарского рудного района.Сообщения АН ГССР,1969 ,54, №3,с. 633-636.
- Наковник Н.И. Вторичные кварциты СССР и связанные с ними месторождения полезных ископаемых."Недра",1968,М., с.334.
- Наумов Г.Б., Дорофеева В.А. Химическая природа эволюции кислотности эндогенных растворов.Геохимия, № 2,1975, с.15-629.
- Наумов Г.Б.,Наумов В.Б. Влияние температуры и давления на кислотность эндогенных растворов и стадийность рудообразования. Геология рудных месторождений, №1,1977, с.13-23.
- Павлов А.Л . Эволюция физико-химических параметров систем при рудообразовании."Недра",1976,М., с.306.
- Пампера В.Д.,Труфанова Л.Г. Литий и цезий в зонах аргиллизации Балейского золоторудного месторождения (Восточное Забайкалье),Геохимия, № 8,1968.
- Пейве А.В. Тектоника Срединно-Атлантического хребта. Геотектоника, №5, 1975, с.3-18.
- Петраченко Р.И. Вторичные кварциты, пропилиты и оруденение в мезозойских и майнозойских эффузивах Приморья.Изд-во "Наука",СО,1974, Новосибирск, с.168.
- Петраченко Е.Д., Петраченко Р.И.Цеолиты в гидротермально измененных вулканитах Дальнего Востока.Тезисы докладов Всесоюзного семинара. "Геология,генезис и использование природных цеолитов", ч. I,1978, Звенигород, с.20-21.

- Ле Пишон К., Франшто Ж., Бонин Ж. Тектоника плит. Изд-во "Мир", 1977, М., с. 283.
- Ратеев М.А., Градусов Б.П. Парагенетический ряд слоистых силикатов, связанный с преобразованием витрокластов в зоне гидротермального сульфидного оруденения. ДАН СССР, 1970, т. 193, № 2, с. 429-432.
- Ратеев М.А., Градусов Б.П. Структурные фазы преобразования андезито-трахитовых туфов в зоне гидротермального сульфидного оруденения. Литология и полезные ископаемые, № 1, 1970, с. 51-70.
- Роква М.Л. К петрографии и минералогии гумбринна и бентонитовых глин. Тр. Груз. гос. Геол. Управления, 1941, вып. 5, Тбилиси, с. 23-25.
- Рубинштейн М.М., Хуцайдзе А.Л., Насиадзе Г.И., Добрыдин В.Н., Девнозашвили Д.И. Об аргоновом возрасте некоторых магматических образований Аджаро-Триалетской складчатой системы. В сб.: Вопросы геохимии и петрологии. Изд-во "Мецнера", 1973, Тбилиси, с. 5-16.
- Рундквист Д.В., Павлова И.Г. Грейзеновая формация метасоматических пород и закономерности ее проявлений. В сб.: Проблемы метасоматизма, "Недра", 1970, М., с. 188-197.
- Рундквист Д.В., Павлова И.Г. Опыт выделения формаций гидротермально-метасоматических пород. Зап. ВМО, 1974, вып. 3, с. 289-304.
- Русанов В.Л. Геологические и физико-химические закономерности пропилитизации. "Наука", 1972, М., с. 202.
- Сарჯисян С.Ш. К вопросу о формировании полиметаллического оруденения Аджарии. Медгиз, 1957, Тбилиси, с. 120.
- Сатон Дж. Современные представления о факторах, контролирующих метаморфизм. В кн.: Природа метаморфизма. "Мир", 1967, М., с. 24-48.
- Сендеров Э.Ж., Хитаров Н.И. Цеолиты их синтез и условия образования в природе. "Наука", 1970, М., с. 283.
- Силлитоу Р. Связь металлогенических провинций запада Американских континентов с поддвиганием (субдукцией) океанической литосферы. В сб.: Новая глобальная тектоника. "Мир", 1974, М., с. 330-335.
- Силлитоу Р. Модель тектоники плит в применении к процессу образования месторождений медно-порфировых руд. В сб.: Новая глобальная тектоника. "Мир", 1974, М., с. 335-351.
- Смирнов Я.Б., Сугробов В.М., Меркулов В.Н., Нуждин И.М., Попова А.К. Тепловой поток в основных тектонических структурах северо-западной части Тихого океана. ДАН СССР, 1979, т. 244, № 5, стр. 1202-1206.

- Соболев В.С., Хлестов В.В., Добрецов Н.Л. Фации регионального метаморфизма умеренных давлений. "Недра", 1972, М., с.283.
- Соукинс Ф. Сульфидные рудные месторождения и глобальная тектоника (тектоника плит). В сб.: Новая глобальная тектоника. Изд-во "Мир", 1974, М., с.358-377.
- Татишвили М.Г. Эоценовый вулканизм Месхети. В сб.: Проблемы геологии Аджаро-Триалетии. Изд-во "Мецниереба", 1974, Тбилиси, с.25-36.
- Тауссон Л.В. Геохимия редких элементов в гранитоидах. Изд-во АН СССР, 1961, М., с.229.
- Твалчрелидзе А.А. Флоридиновые и бентонитовые глины Закавказья. Тр. конференции по отбелывающим глинам. 1931, Тбилиси, с.31-33.
- Твалчрелидзе А.А. Глины бентонитовые. В кн.: Минеральные ресурсы ССР Грузии. "Техника да шрома", 1933, Тбилиси, с.123-141.
- Твалчрелидзе А.А., Дзоценидзе Г.С., Схиртладзе Н.И. Петрография верхнеэоценовой щелочной вулканогенной толщи и связанные с ней проявления бентонитовых глин. Тр. Тбилисского Гос. Университета, 1959, т.72, с.95-154.
- Федотов С.А. О связи вулканов с Тихоокеанским фокальным слоем, механизм подъема магм и возможном положении мантинных областей питания вулканов. В кн.: Геодинамика, магмообразование и вулканализм, 1974, Петропавловск-Камчатский, с.9-20.
- Фон Герцен Р.П., Ли У.Х.К. Тепловой поток в океанических областях. В кн.: Земная кора и верхняя мантия. "Мир", 1972, М., с.61-70.
- Хатертон Т. Активные континентальные окраины и островные дуги. В кн.: Геология континентальных окраин, т. I, "Мир", 1978, М., с.106-119.
- Холанд Г.Д. Жильные минералы в гидротермальных месторождениях. В кн.: Геохимия гидротермальных рудных месторождений. "Мир", 1970, М., с.325-367.
- Хундадзе А.Г., Сендеров Э.И., Хитаров М.И. Экспериментальные данные по составам синтетических анальцинов. Геохимия, 5, 1970, с.588-601.
- Шаронов Б.Н. Роль вмещающих пород при формировании некоторых месторождений технического агата. Зап. ЛГИ, 1965, т. XIX, вып. 2, с.171-179.
- Щербань И.П., Боровикова Г.А. Физико-химические условия процесса образования вторичных кварцитов. Геология и геофизика, №2, 1977, с.144-148.

- ALEXANDER G.M., HECTON W.M., HER R.K. The solubility of amorphous silica in water. *J.Phys.Chem.*, 58, 1954, p.453-455.
- БАТАНДЖИЕВ ИВ., ВЕЛНОВ ИВ. Структурнообразователи и постмагматични процеси по горнокредните вулканити край с. Змейово, Старозагорско. *Известия на Геологическия институт - серия геотектоника* кн. XXI-XXII, 1973, стр. 37-59.
- BONCEV EKIM. Lineament geosynclinal zones - zones of impermanent riftogenesis. *Geologica balkanica*, 6.1. Sofia Mart. *1976, p.83 - 101.
- COOMBS D.S., ELLIS A.I., FIFE W.S., TAILOR A.M. The zeolite facies; with comments of interpretation of the hydrothermal synthesis. *Geochim. et Cosmochim. Acta* v.17, N 1/2, 1959, p.53 - 108.
- GILULY J. The tectonic evolution of the western United States. *Q.Journ. Geol.Soc.London*, 119, 1963, p.133.
- JONES D.L. BASSET RANDY; Alteration of sediment of lower part of hole Initial reports of deeps sea drilling project.V. XXX (Wellington New Zealand to Apra, Guam) .National Science Foundation, 1975, p.483-488.
- HEMLEY J.J. Some mineralogical equilibria in the system $K_2O-Al_2O_3-SiO_2-H_2O$. *Am.J.Sci.*, 1959, p.241-270.
- LINDDREN W. The nature of replacement. *Econ.Geol.* 7, 1912, p.521-535.
- Kennedy G.C. The hydrothermal solubility of silica. *Econ.Geol.* 39, 1944, p.25-25-36.
- KENNEDY G.C. A portion of the system silica-water. *Econ.Geol.* v.45, 1950, p.553-629.
- LANGSETH M.G. HERZEN R.P. Von. Heat flow through the floor of the world oceans. In: *The sea* A.E. Maxwell edited. v.4. pt.1. Interscience, New York, 1970, p.299-352.
- LOVERRING T.S., SHEPARD A.O. Hydrothermal alteration zones caused by halogen acid solutions, East Tintic district Utah. *Am. J. Sci.*, v.258-A, 1960, p.215-229
- MIYASHIRO A. Evolution of metamorphic belts. *Journ. Petrol.* 3, 1961, p.277-311.
- MIYASHIRO A. Pressure and temperature conditions and tectonic significance of regional and ocean floor metamorphism. *Tectonophis.*, 13, 1972, p.141-159.
- OLANDER A., LIANDER H. The phase diagram of sodium chloride and steam above critical point. *Acta Chem.Scand.*, 4, 1950, p.1437-1445.
- RASCHKA H., ECKHARD F.J. Geochemistry of basalts from the Norwegian-Greenland sea. Leg. 38. DSDP, National Science Foundation, v. 38, 1974.
- READ H.H. Aspects of Caledonian magmatism of Britain. *Lpool - Manchr. Geol. Journ.*, 1961, p.653.
- ROEDDER E. Composition of fluid inclusions. Data of geochemistry, Chapter - JJ. 1974, Washington, p.126.
- STERN C.R., WIT M.J.de, LAWRENCE J.R. Igneous and metamorphic processes associated with the formation of Chilean ophiolites

and their implication for the oceanic floor metamorphism, seismic layering and magnetism. *J. Geophys. Res.*, 1976, v. 81, N 13, p. 4370 - 4380.

STERNS K.G.J. Stability and relations of the Al- Fe epidotes. *Min. Mag.* 271, v. 35, 1965, p. 464 - 475.

TARNEY J., SAUNDERS A.D., WEAVER S.D. Geochemistry of volcanic rocks from island arcs and marginal basins of the Scotia arc regions. In: Island arcs, deep sea trenches and back arc basins. American Geophysical Union. Washington D.C., 1976, p. 367 - 379.

WATANABE T.L., LANGSETH M.G., ANDERSON R.N. Heat flow of the back arc basin of the Western Pacific. In: Island arcs, deepsea trenches and back arc basins. American Geophysical Union. Washington D.C., 1976, p. 137 - 167.

СПИСОК СОКРАЩЕНИЙ МИНЕРАЛОВ

Аб	- альбит	Мон пи	- моноклинный пироксен
Авг	- авгит	Мор	- морденит
Ад	- адуляр	Мт	- магнетит
Ал	- алунит	Му	- мусковит
Акт	- актинолит	Нат	- натролит
Амф	- амфибол	Пи	- пироксен
Ан	- анальцим	Пл	- плагиоклаз
Андр	- андрадит	Пр	- пренит
Ап	- апофиллит	Прт	- пирротин
Би	- биотит	Псп	- пиральспит
Ге	- гейланцит	Пт	- пирит
Грос	- гроссуляр	Рог	- роговая обманка
Грс	- гидрослюдя	Ру	- рутил
Дес	- десмин	Сер	- серицит
Дик	- диккит	Скц	- сколецит
Диас	- диаспор	Стб	- стибинит
Ил	- иллит	Том	- томсонит
Ка	- карбонат	Ту	- турмалин
Каол	- каолинит	Х	- халцедон
Кв	- кварц	Хл	- хлорит
Клт	- клиноптиолит	Хлт	- халькопирит
Клш	- калиевый полевой шпат	Це	- цеолит
Кц	- кальцит	Цо	- цоизит
β - ле - β	- леонгардит	Эг	- эгирин
Лом	- ломонтит	Эк	- экерманит
Мол	- молибденит	Энст	- энстатит
Мар	- марказит	Эп	- эпидот
Мон	- монтмориллонит	Эр	- эррионит

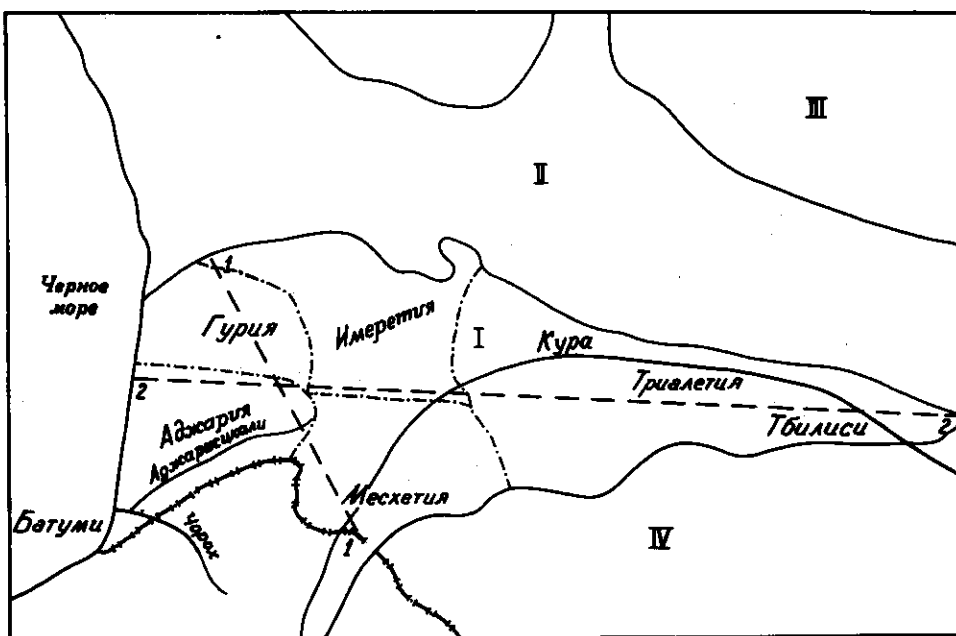


Рис.1. I - Аджаро-Триалетская складчатая зона, II - Грузинская глыба, III - Южный склон Большого Кавказа, IV - Артвино-Болниssкая глыба

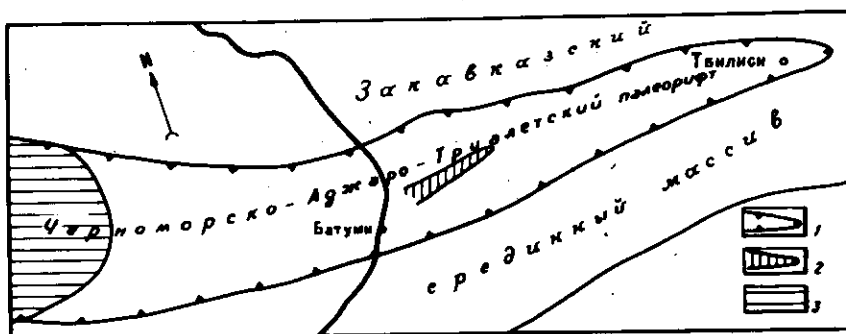


Рис.2. Схема строения Черноморско-Аджаро-Триалетского палеорифта (по Адамия и др., 1974). 1 - граница палеорифта, 2 - толеитовые базальты ее осевой части, 3 - область отсутствия "гранитного" слоя.

ГЕОЛОГИЧЕСКАЯ СХЕМА РАСПРОСТРАНЕНИЯ ГИДРОТЕРМАЛЬНЫХ МЕТАСОМАТИТОВ В АДЖАРО-ГИМЕЛЕТСКОЙ СКЛАДЧАТОЙ ЗОНЕ (геологическая основа Гимрельзее И. П.)

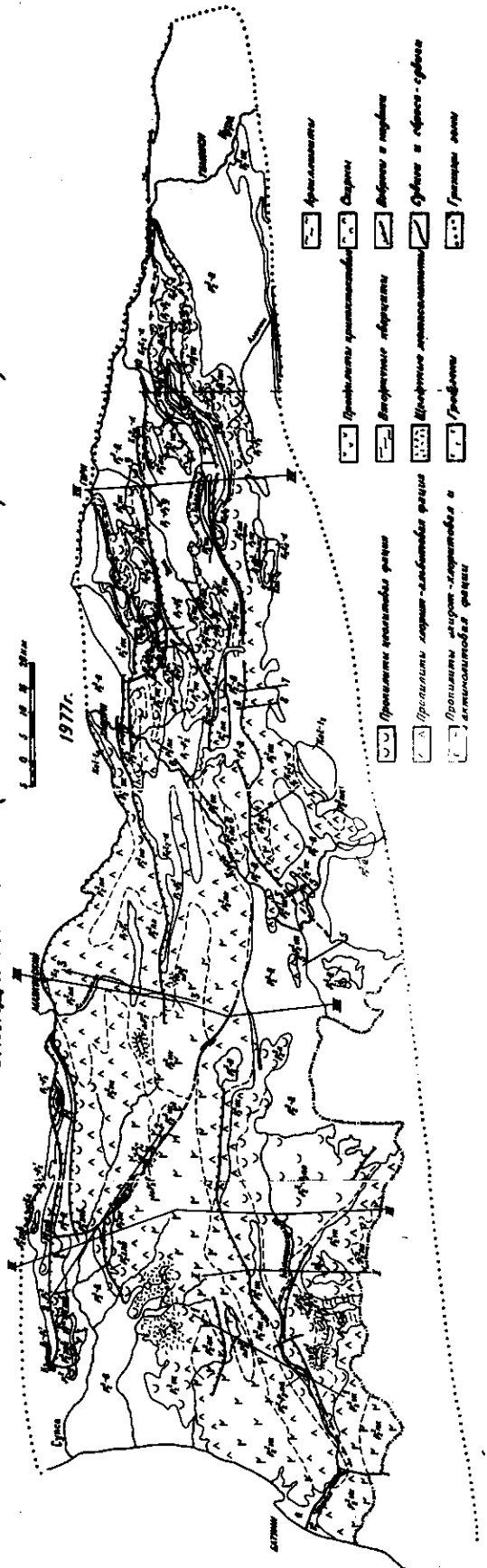


Рис. 3. P_1^3 - Q - верхний водонапорный горизонт; P_2^3 - верхний водонапорный горизонт, южно-кавказский синтаксис;
 P_2^3 - P_4^3 - верхний водонапорный горизонт, южно-кавказский синтаксис;
 P_1^1 , P_1^2 , P_1^3 - верхний водонапорный горизонт, южно-кавказский синтаксис;
 P_1^1 , P_1^2 , P_1^3 - верхний водонапорный горизонт, южно-кавказский синтаксис;
 P_1^1 , P_1^2 , P_1^3 - верхний водонапорный горизонт, южно-кавказский синтаксис;
 P_1^1 , P_1^2 , P_1^3 - верхний водонапорный горизонт, южно-кавказский синтаксис;

K_1 - A - верхний турон-вален, южн. турон. топаз;
 K_1 - B - верхний турон, лужановская топаз;
 Δ - орнитоцератитовые жилья;
 \triangle - верхнекарбонатные жилья;

I-I - I-II - линии разрезов геологических профилей в местности на рис.;
 I-I - линии разрезов геологических профилей, составленных в масштабе 1:50000 на рисунке

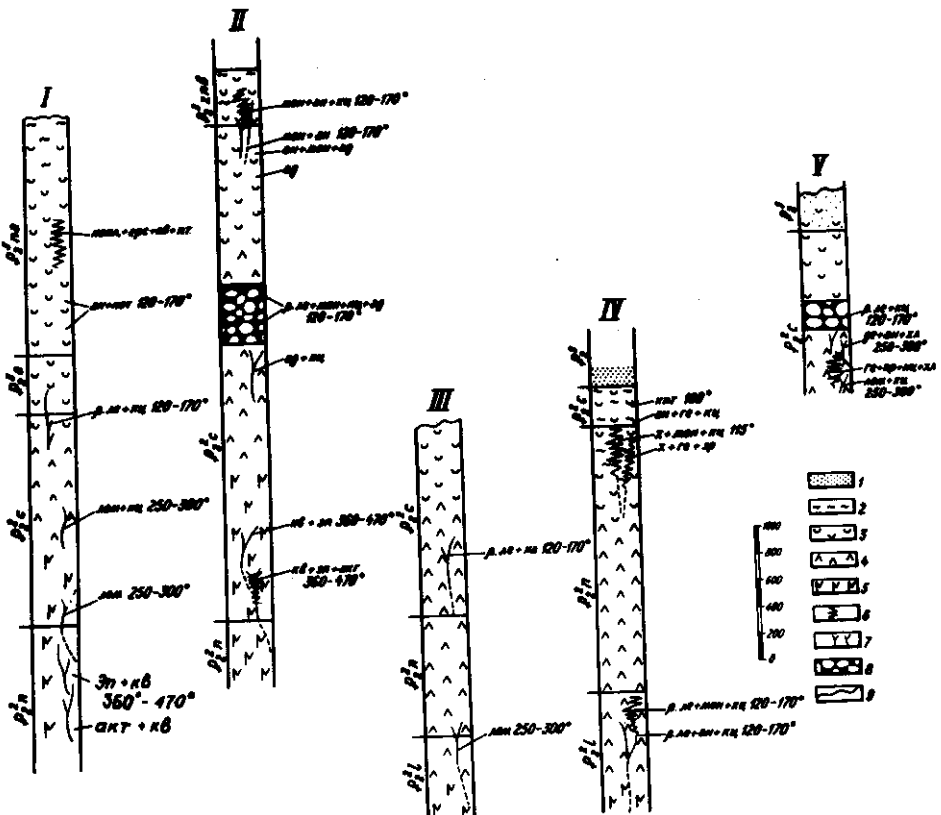


Рис.4. Колонки, иллюстрирующие зональность пропилитов в палеогеновой вулканической толще: I - по ущ.р.р. Нагваревискали, Аджарискали и Схалта, II - по ущ.р.Губазеули, III - по ущ.р.Кершавета, IV - по ущ.р.Цинубани, V - по ущ.р.Куры (окрестности Аспиндзы).

I - терригенные осадки, 2 - гидротермальные аргиллизиты, 3 - цеолитовые пропилиты, 4 - хлорит-альбитовые пропилиты, 5- эпилот-хлоритовые и актинолитовые пропилиты, 6 - зоны дробления, 7 - гидротермальные жилы, 8 - шаровые лавы, 9 - поверхности размыка, $P_2^2 l$ - средний эоцен, ликанская свита; $P_2^2 n$ - средний эоцен, нагваревская свита; $P_2^2 c$ - средний эоцен, чидильская свита; $P_2^3 a$ - верхний эоцен, адигенская свита; $P_2^3 na$ - верхний эоцен, нацадигенская свита; $P_2^3 n b$ - верхний эоцен, зенобанский свита; P_2^3 - верхний эоцен, терригенные осадки.

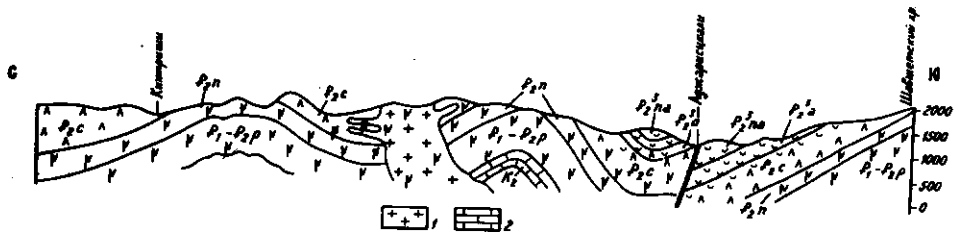


Рис.5. Геологический профиль по уш. рр.Кинтриши, Нагваревицкали, Аджарис-
ти (линия I-I рис.3) с иллюстрацией метасоматической зональности
пропилитов. 1 - суббульваническое тело Ишо, 2 - известняки. К₂ -
верхний мел карбонатная толща; P₁-P₂Р - средний эоцен; перангская
свита; P₂н - средний эоцен, нагваревская свита; P₂с - средний эоцен,
чицильская свита; P₂³а - верхний эоцен, алигенская свита; P₂³п -
верхний эоцен, нададигенская свита. Условные обозначения пропилито-
вых фаций см. на рис.4.

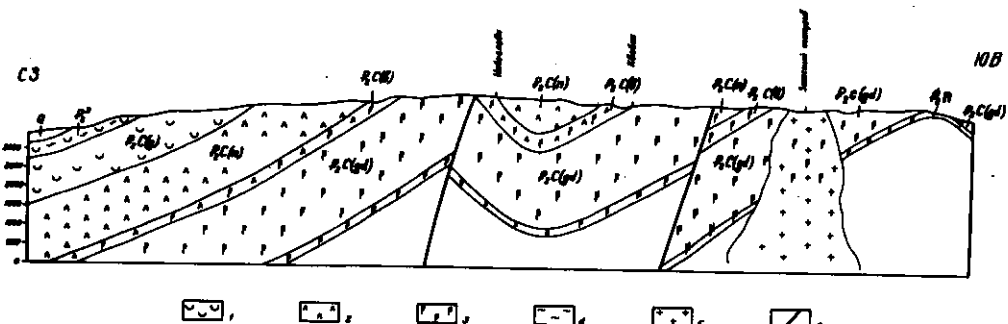


Рис.6. Геологический профиль по уш.р.Губазули (линия 2-2 см. на рис.3)
с иллюстрацией зональности пропилитов. 1 - цеолитовые пропилиты,
2 - хлорит-альбитовые пропилиты, 3 - эпидот-хлоритовые и актиноли-
титовые пропилиты, 4 - гидротермальные аргиллиты, 5 - интрузии,
6 - разлом, P₂н - средний эоцен, нагваревская свита; P₂с(ж) -
средний эоцен, чицильская свита, гангрекильская подсвита; P₂с(ж) -
средний эоцен, чицильская свита, бахмайская подсвита; P₂с(н) -
средний эоцен, чицильская свита, наподхварская подсвита; P₂с(ж) -
средний эоцен, чицильская свита, горийская подсвита; P₂³ - верх-
ний эоцен, зенобанская свита; A - четвертичные отложения.

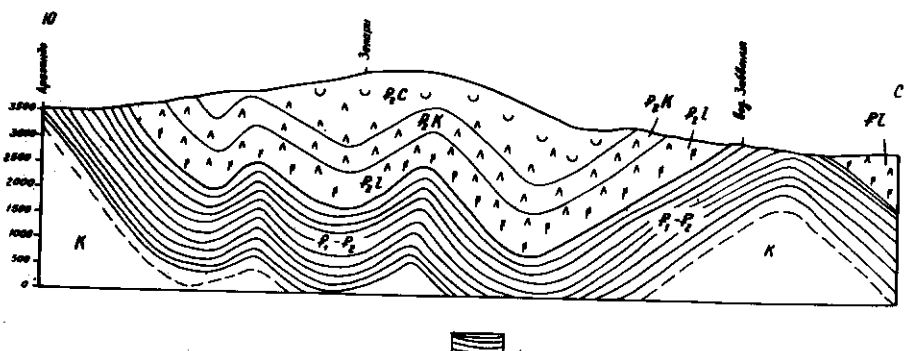


Рис.7. Геологический профиль по уш.рр.Кершавета, Абастумани (линия 3-3 см.
на рис.3) с иллюстрацией зональности пропилитов.
1 - карбонатный флис; K - меловые отложения; P₁-P₂ - палеоцен-
нижний эоцен, Бордюмский флис; P₂л - средний эоцен, ликанская
свита; P₂К - средний эоцен, хабисхевская свита; P₂с - средний
эоцен, чицильская свита. Остальные условные обозначения см. на
рис.4.

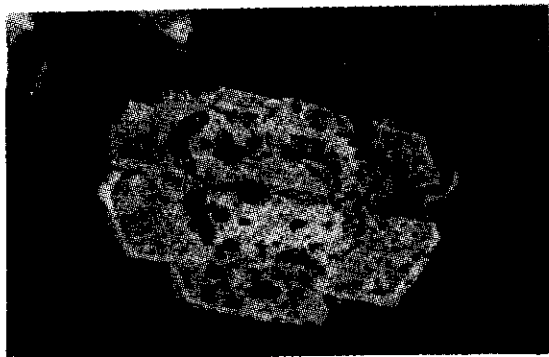


Рис.9. Альбитовая каемка по замещенному гейландитом плагиоклазу. Ник +, х 45

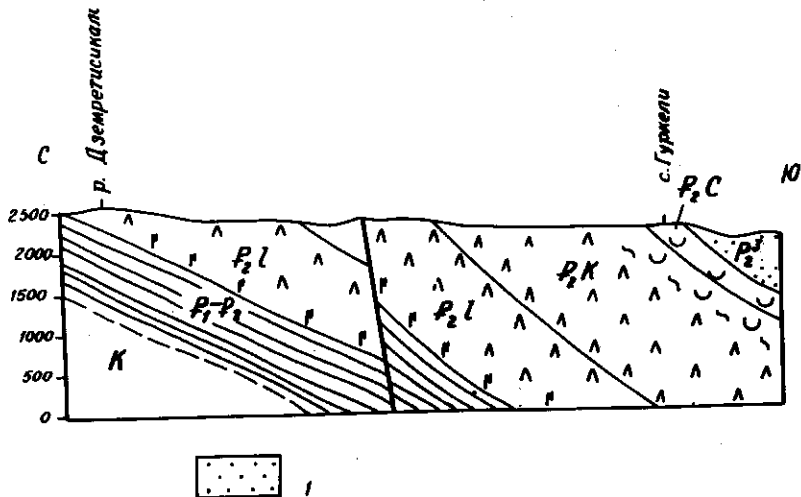


Рис.10. Геологический профиль по ущ.-р. Чинубани (линия 4-4 см. на рис.3) с иллюстрацией зональности пропилитов. I - терригенные осадки, P_3^3 - верхний эоцен, осадочная толща. Остальные условные обозначения см. на рис.4,7.

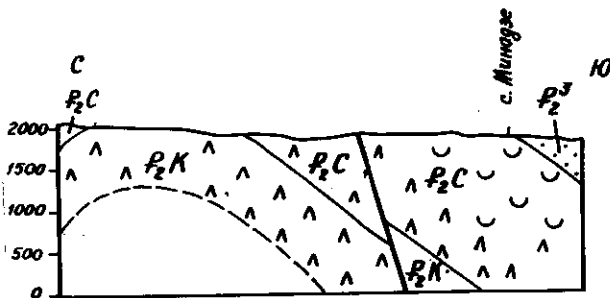


Рис.11. Геологический профиль по ущ.-р. Уравели (линия 5-5 на рис.3), с иллюстрацией зональности пропилитов. Условные обозначения см. на рис.4,7

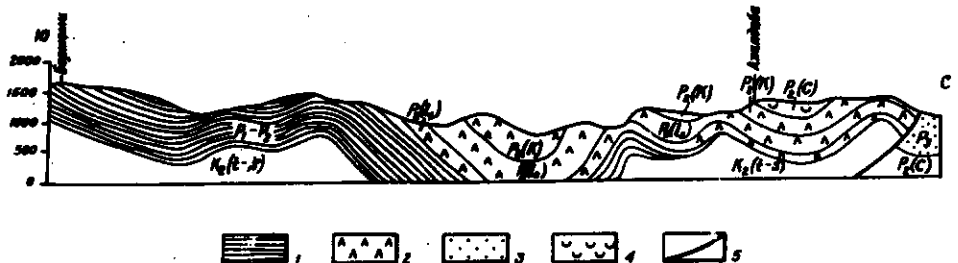


Рис.12. Геологический профиль по ул.р.Курм от Бордюма до Ташкесари (линия 6-6 на рис.3) с иллюстрацией зональности пропилитов. 1 - бордюмский флиш, 2 - хлорит-альбитовые пропилиты, 3 - терригенные осадки, 4 - цеолитовые пропилиты, 5 - разлом. $K_1(R-S)$ - верхний мел, $P_1 C_1$ - средний юоцен, нижняя часть ликансской свиты; $P_2 C_1$ - средний юоцен, верхняя часть ликансской свиты. Остальные условные обозначениясмотрите на рис.7.



Рис.13. Зарисовка прозрачного пласта
р 379, отражающей альбитизацию
по цеолитизированному плагио-
клизу.

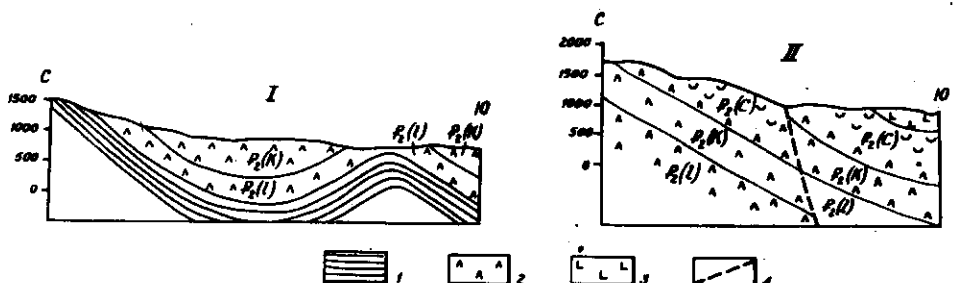


Рис.14,15. Геологические профили: I - по ул.речке Сарван (от г.Мурисбада до с.Арджеван-Сарван) и II- по ул.р.Хачков (линия 7-7 и 8-8 соответственно, на рис.3) с иллюстрацией зональности и рас-
пространения пропилитов. 1 - карбонатный флиш; 2 - хлорит-альбитовые пропилиты; 3 - неогено-
вые доломиты; 4 - разлом. Остальные условные обозначения см. на рис.7.

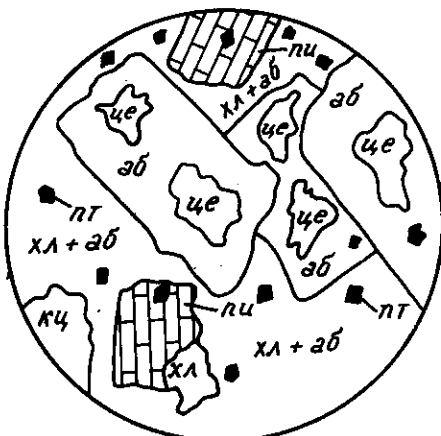


Рис. I6. Зарисовка прозрачного шлифа 3103, иллюстрирующая замещение альбитом предварительно цеолитизированного плагиоклаза.

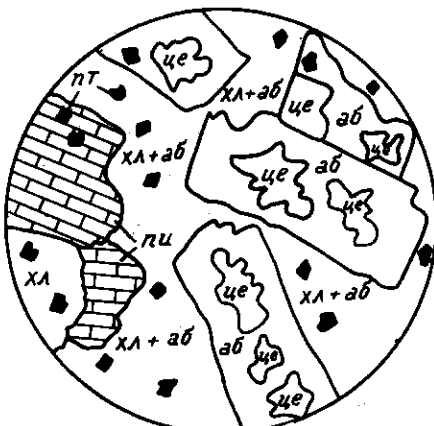


Рис. I7. Зарисовка прозрачного шлифа 3104, иллюстрирующая замещение альбитом предварительного цеолитизированного плагиоклаза.

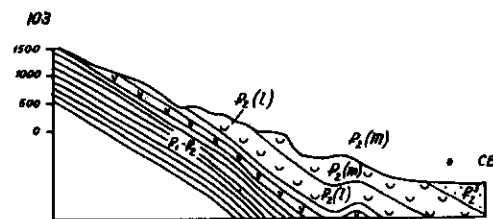


Рис. I8. Геологический профиль по ул.р. Тана (линия 9-9 см. на рис. 3), с изолиниями распространения пропилитизации. 1 - карбонатный флис, 2 - диабаз, 3 - цеолитовый пропилит, 4 - тертийные осадки. Остальные условные обозначения см. на рис. 7 и 8.

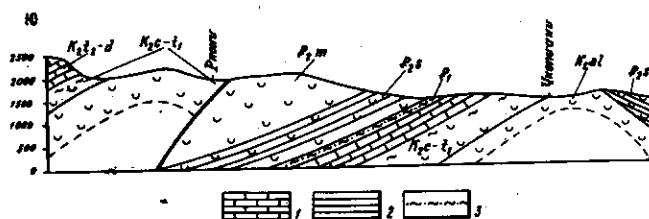


Рис. I9. Геологический профиль по ул.р. Тедиавани (линия 10-10 см. на рис. 3), характеризующий распространение пропилитовых пропилитов и гидротермальных арагонитовых в этом разрезе. 1 - известник, 2 - карбонатно-минеральный флис, 3 - глинистые почвенные.

K_2c-t_1 - альб, вулканическая толща; K_2c-t_1 - сеноман-нижний турон, вулканическая толща; $P_2(m)$ - известково-горизонт глинистых известняков; $P_2(s)$ - средний зонен - нижний слоистая синта; $P_2(t)$ - средний зонен - массовая и губоносистая вулканогенная синта. Остальные условные обозначения см. на рис. 8.

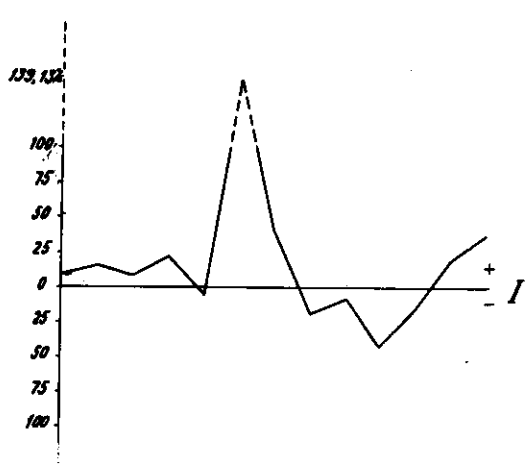
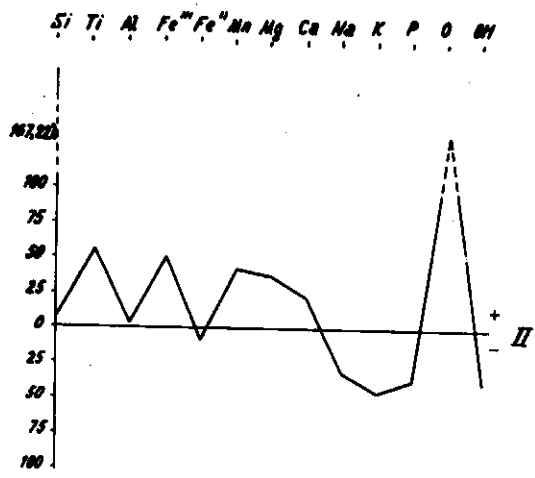


Рис.20. График миграции вещества в пр. чессе пропилитизации (Гурья). I - актинолитовая фация, II - эпидот-хлоритовая фация.

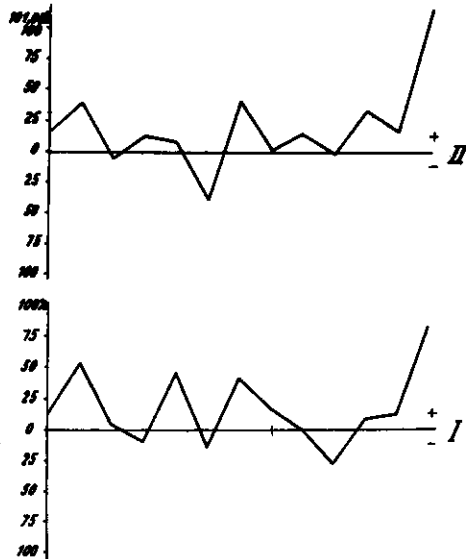
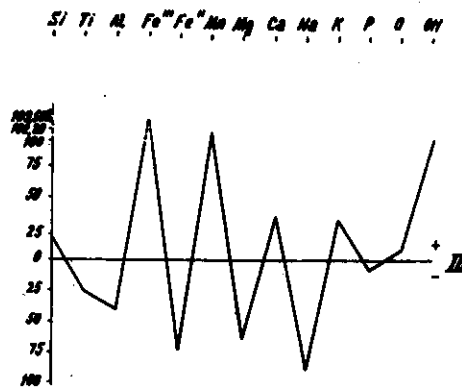


Рис.21. График миграции вещества в процессе приконтактовой пропилитизации Зотской интрузии. I-II - пропилиты актинолитовой фации, III - зоны серицитолитов.

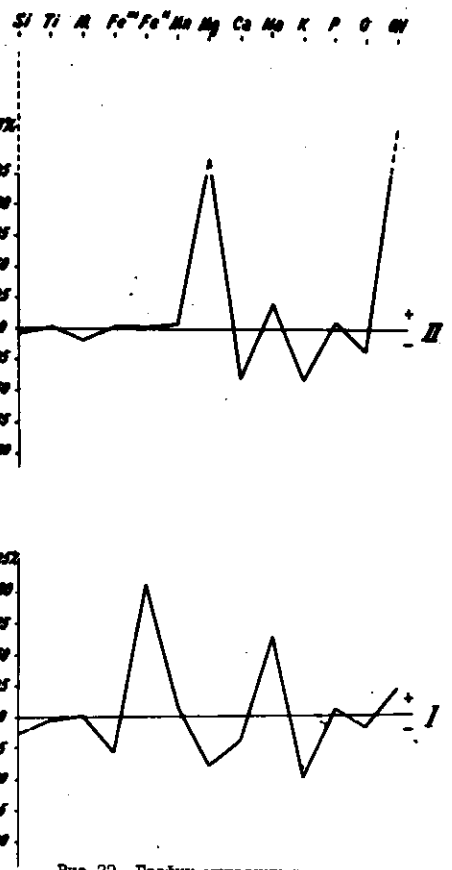


Рис.22. График миграции вещества в процессе пропилитизации (Гурия). I - хлорит-альбитовая фация, II - цеолитовая фация.

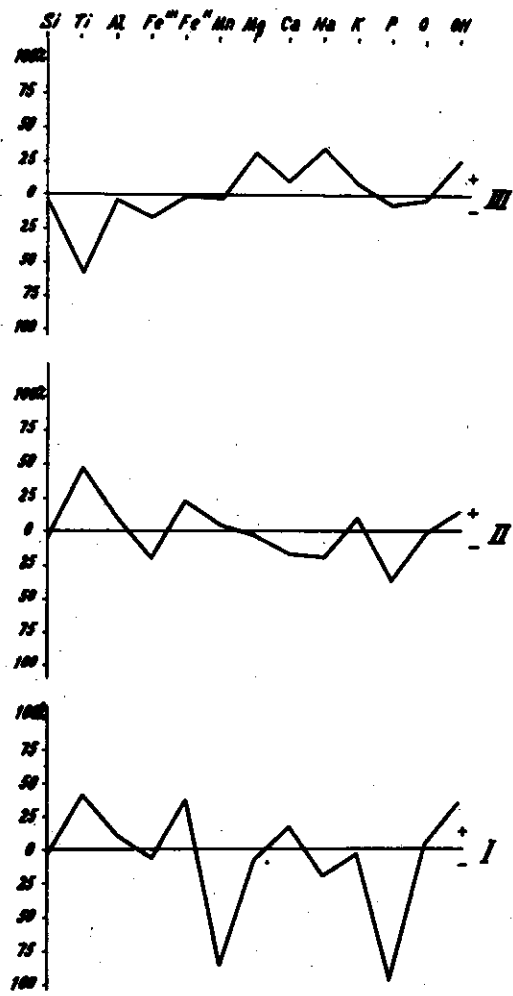


Рис.23. График миграции вещества в процессе пропилитизации (Месхетия). I-III - хлорит-альбитовая фация.

Si Ti Al Fe^mFe^{"m}Mn Mg Ca Na K P O OH

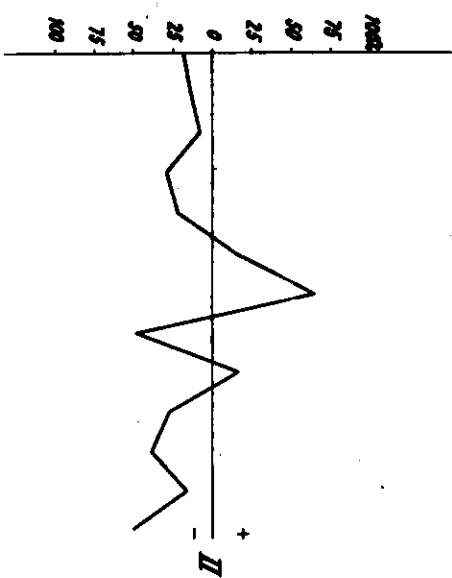


Рис.24. График миграции вещества в процессе пропилитизации (Имеретия, ул. Р. Зевгула) I - хлорит-альбитовая фации, II - пеомигматическая фация.

Si Ti Al Fe^mFe^{"m}Mn Mg Ca Na K P O OH

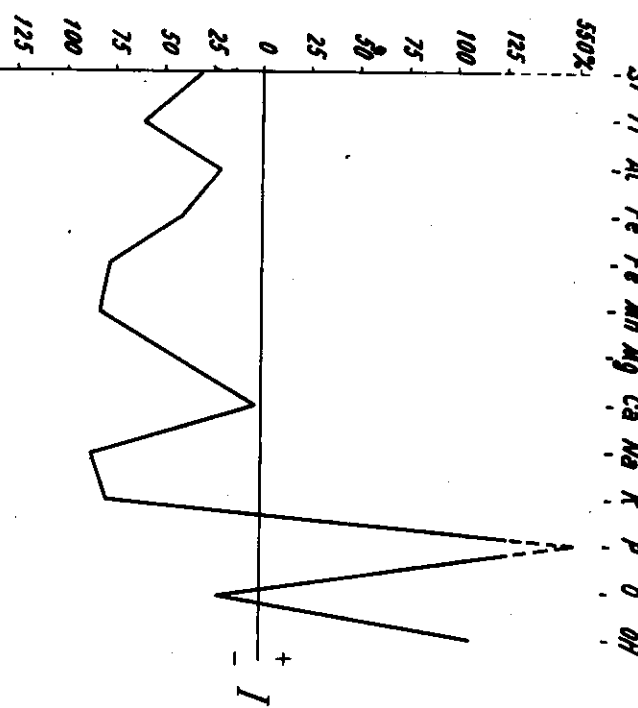


Рис.25. График миграции вещества в процессе гидротермальной артимитизации (Алжары). I - зона артимитов.

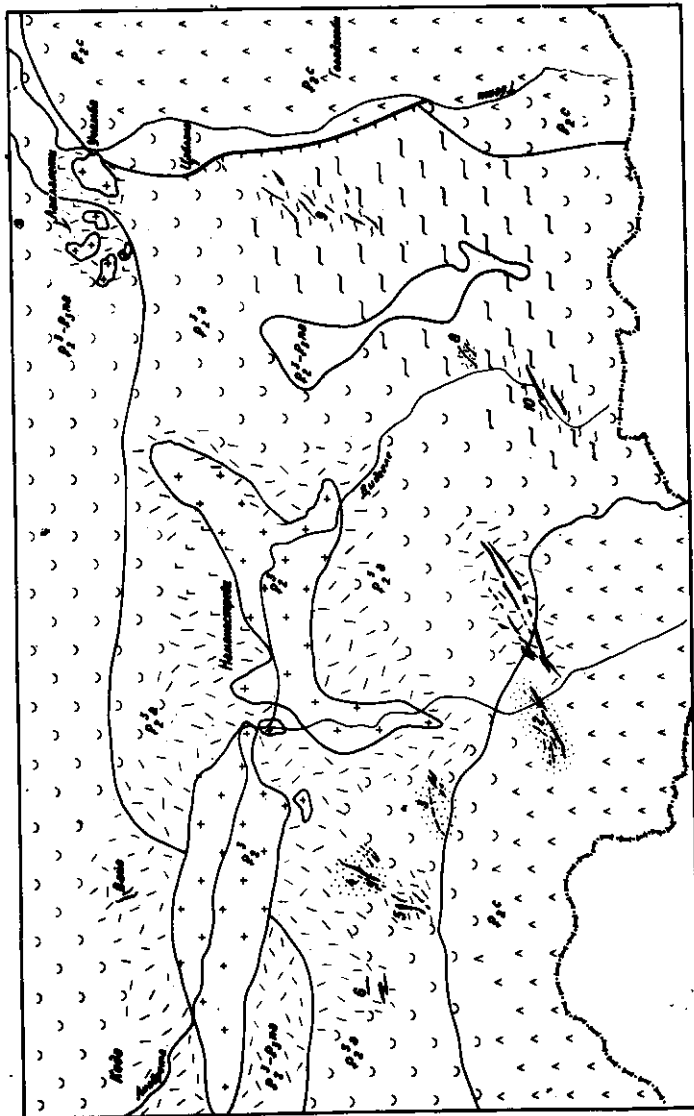


Рис.26. Схематическая геологическая карта Алматского района, гидрогеологическая распространения метасоматических и рудных формаций. 1 - хордит-альбитовые пропилиты, 2 - цеолитовые пропилиты, 3 - полевошпатово-серпентиновые метасоматиты, 4 - грязевены, 5 - окологодунные хлорит-карбонатовые метасоматиты межгорных тал., 6 - вторичные кварциты, 7 - артиллитизированные фации вторичных серпентитов, 8 - интрузивные тела, 9 - рудные кимы, 10 - разлом. Мета-полиметаллические месторождения: I - Варзас-Салыкогия, 2-Оболо-Канда-Кай, 3-Чалдабек-ла, 4-Верхнекая, 5-Балыкур, 6-Гобердинская, 8-Даше. Сернистокальциевыерудопроявления: 9-Гуда (обнаружение в приграницах р.Гуда Гуджантеге, Шавасакен, Сарынчукен, Зеленая) 10 - Гуда (обнаружение в ущ.р.Линке и на склоне г.Гана). Условные обозначения геокартографических индексов см. на рис.5.

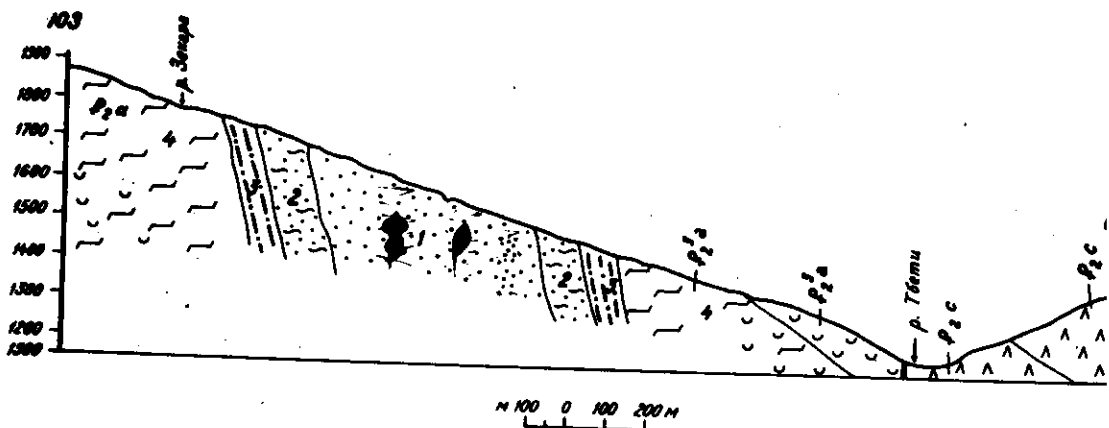


Рис.27. Геологический профиль на участке Гудна, с иллюстрацией зональности в аргиллизитах и взаимоотношения между вторичными кварцитами и пропилитами. 1-внутренняя зона аргиллизитов с серноколчеданным оруденением, парагенетическая ассоциация - ди-лик-ал-ру-пт (кв), 2- промежуточная зона - дик-ал-кв-пт, 3 - внешняя зона - каол-грс-сер-кв-пт, 4 - кремнеземная фашия. Остальные условные обозначения см. на рис.5.

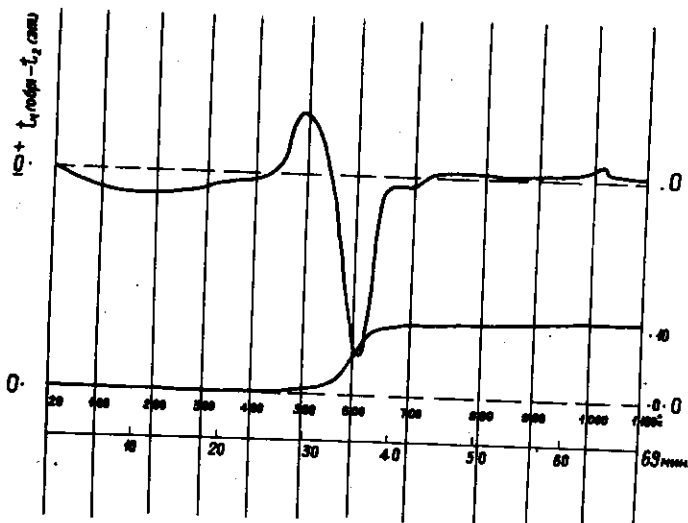


Рис.28. Термограмма , диаспор.

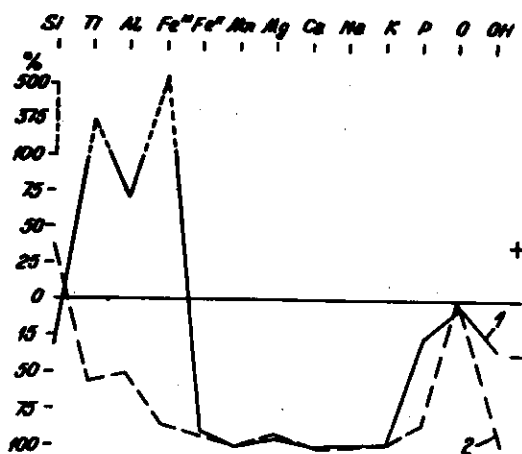


Рис.29.График миграции вещества в процессе формирования вторичных кварцитов.
1 - аргиллизитовая фашия (внутренняя зона), 2 - кремнеземная фашия.

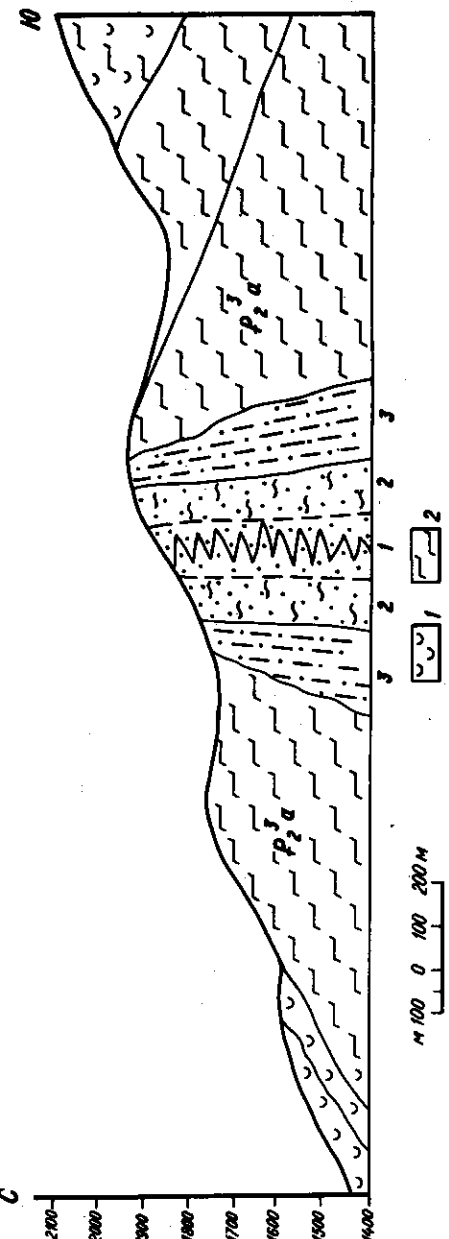


Рис.30.Геологический профиль на участке Гома, иллюстрирующий зональность в аргиллитах. Условные обозначения см.на рис.27.

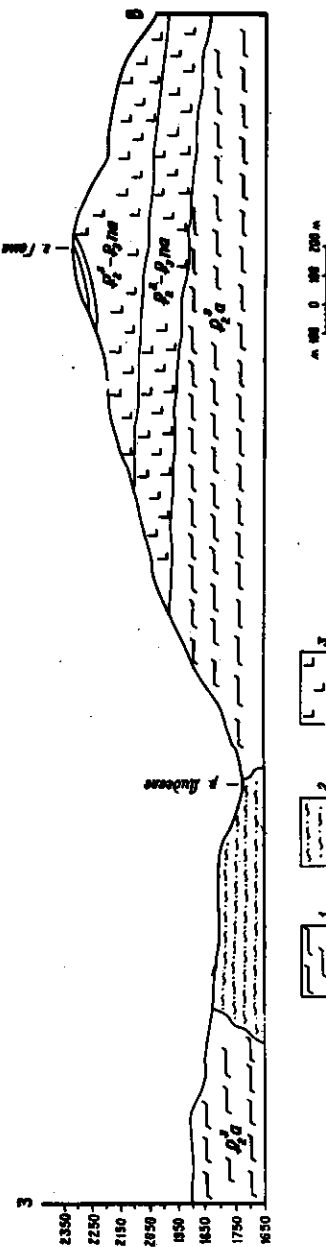


Рис.31.Геологический профиль на участке Гома, вдоль внешней зоны аргиллитов, показанных на рис.5.7, иллюстрирующий взаимоотношения между аргиллитовой и кремнеземной фацией, а также между различными кварцитами и гомским лавовым комплексом. 1-кремнеземная фация, 2-аргиллитовая фация, 3-лавы и лавовые брекции и туфобрекции гомского комплекса. Условные обозначения см.на рис.27.

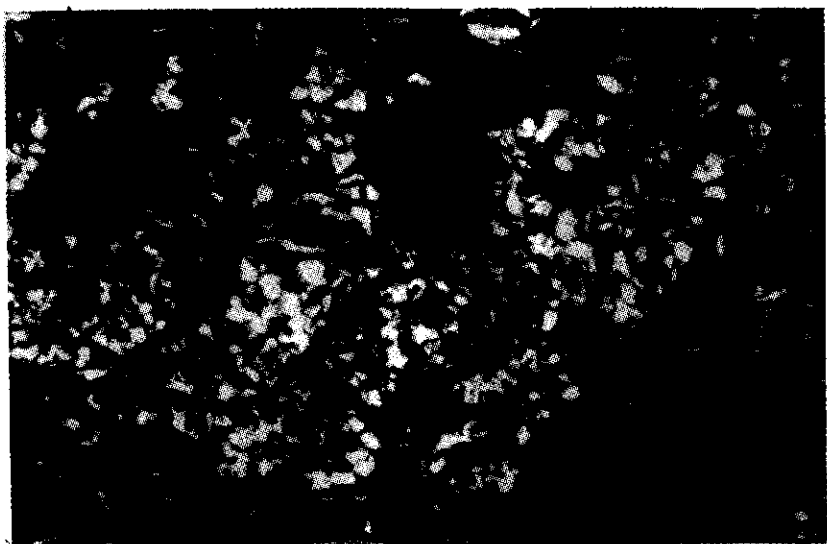


Рис.32. Вулканокласт кварцита в андезитовой туфобрекции гомского комплекса.



Рис.33. Вулканокласт кварцита в андезитовой туфобрекции гомского комплекса.

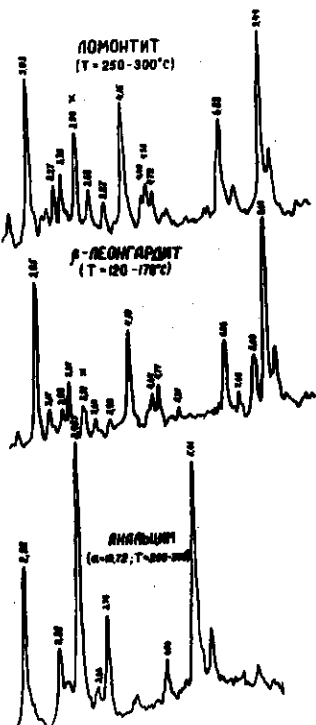


Рис. 34. Эталонные дифрактограммы монтита, β -леонгардита и высокотемпературного анальгита.

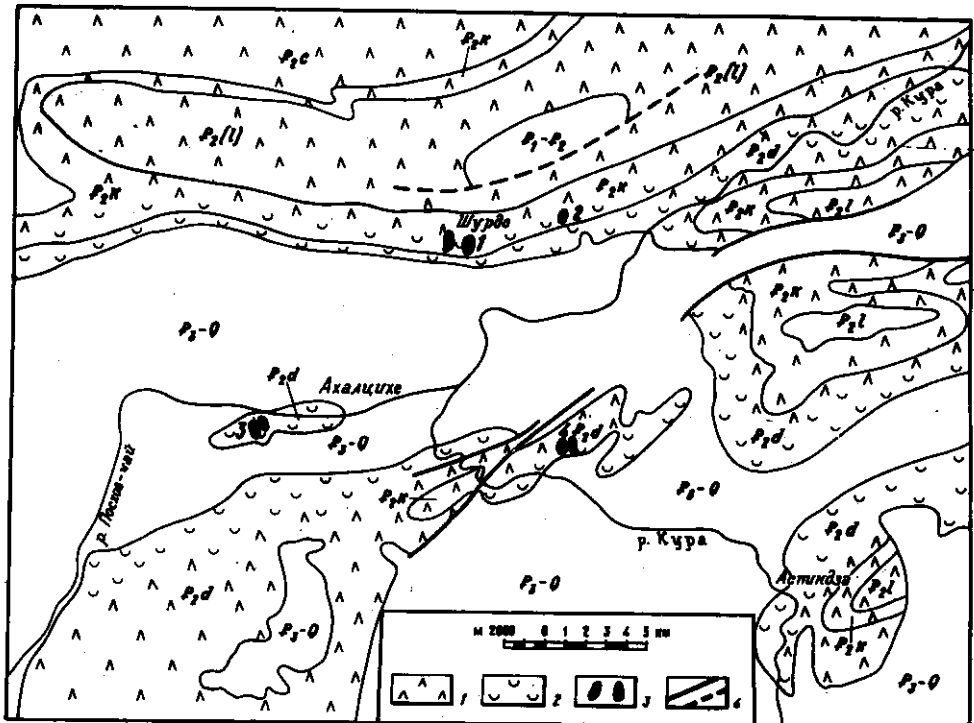


Рис.35.Геологическая схема распространения мескетских агат-халцедоновых месторождений (геологическая основа Ш.А.Адамия), с иллюстрацией распространения и взаимоотношения пропилитовых фаций. 1-хлорит-альбитовые пропилиты, 2-хлоритовые пропилиты, 3-агат-халцедоновые месторождения, 4-разломы. P_2c - средний пояс, пироксальная зона; P_3-O - верхнеэоцен-четвертичные нерасчлененные террасовые отложения. Остальные обозначения см.на рис.1.

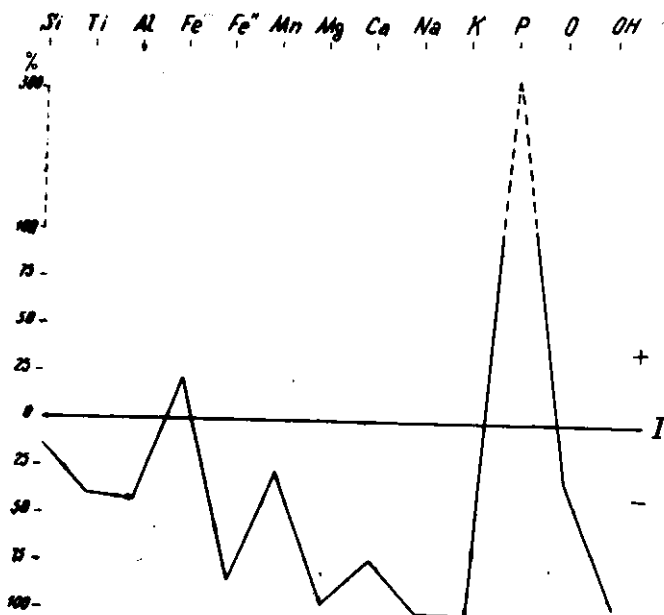


Рис.36.График миграции вещества в процессе гидротермальной аргиллитизации. I-зоны гидротермальных аргиллитов на агат-халцедоновом месторождении Шурдо.

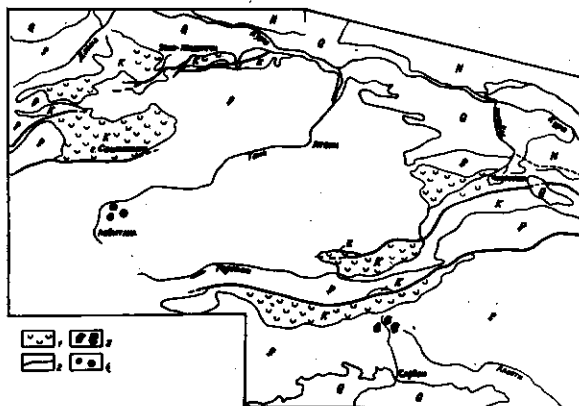


Рис.37.Геологическая схема района уш.р.Тедзамк, с указанием местонахождения вулканокластов и галек халцедона.
1-выходы вулканогенного мела;2-разломы,3-вулканоклассы халцедона, 4-галечки халцедона.

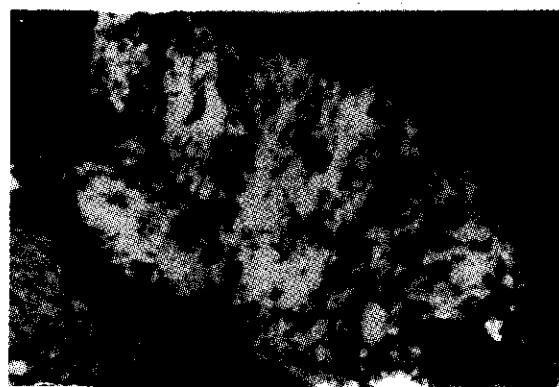


Рис.38.Вулканокласт халцедона в туфах ликанской свиты.Ник +, x 45.



Рис.39.Галька верхнемелового мергеля с микрофауной.Ник +, x 45.

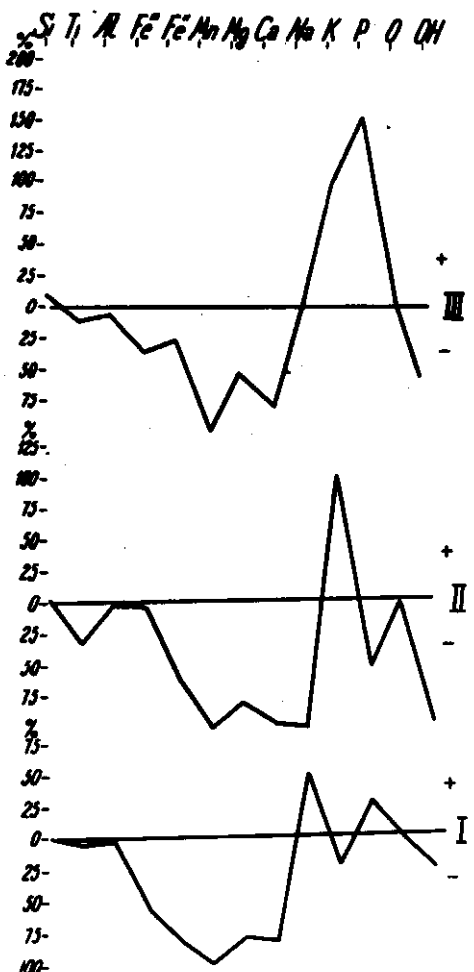


Рис.40.График миграции вещества в процессе щелочного метасоматоза (приконтактовая зона Мерисского интрузива).I-альбитовая фация, II-серицитовая фация, III-калишпатовая фация.

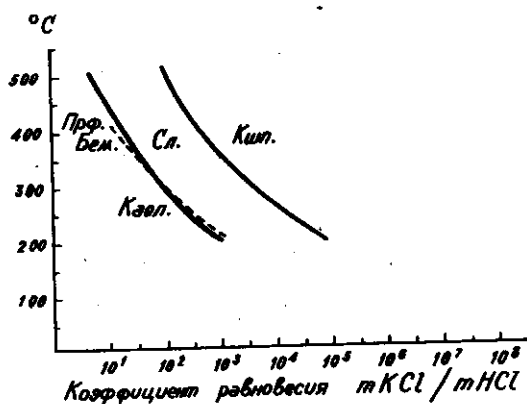


Рис.41. Изменения экспериментальных констант равновесия реакции с изменением температуры по Дж.Хемли.

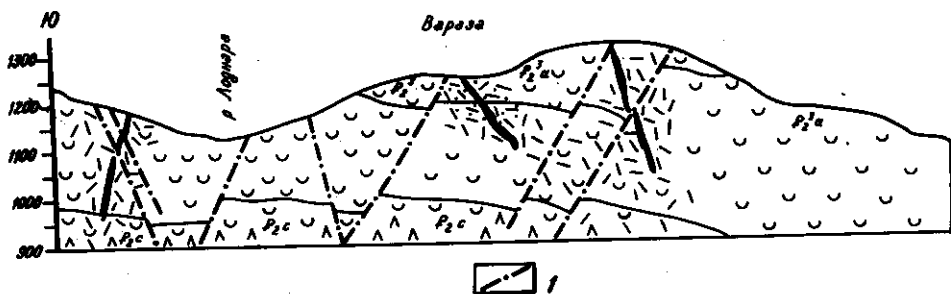


Рис.42. Геологический профиль на месторождении Варава-Салжогия, иллюстрирующий расположение рудных жил и взаимоотношения метасоматических формаций на этом участке. I - разломы. Остальные условные обозначения см. на рис.26.

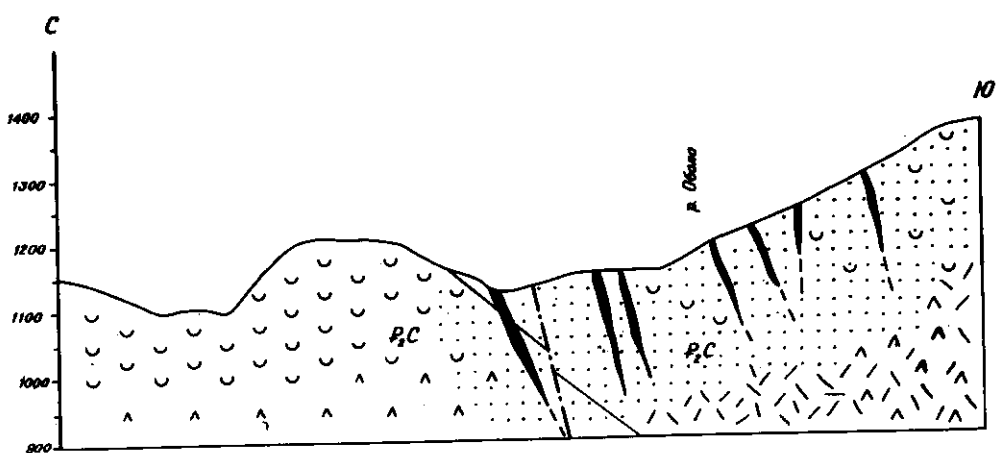


Рис.43. Геологический профиль на месторождении Оболо-Канлы-Кай, иллюстрирующий расположение рудных жил и взаимоотношение метасоматических формаций на этом участке. Условные обозначения см. на рис.21.

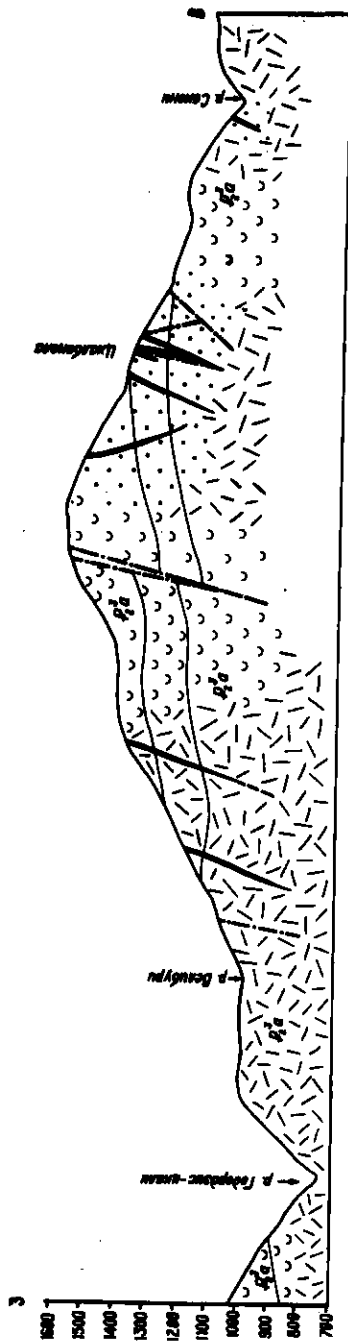


Рис.44.Геологический профиль на месторождениях Іханбокела, Великобуря, Годергискалы, Кылжарынорский район
положение рудных жил и взаимоотношение метасоматических формаций. Условные обозначения см.на
рис.26.

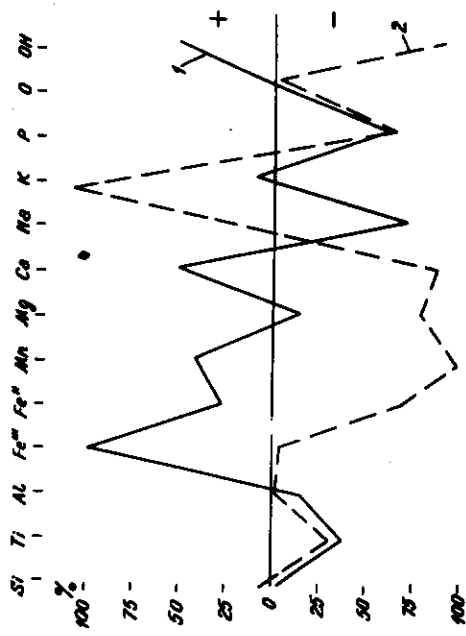


Рис.45.График магнитных веществ в процессе хромит-хоронинового
оксидурного метасоматоза (1) и при контактовой сернико-
тизации (2).

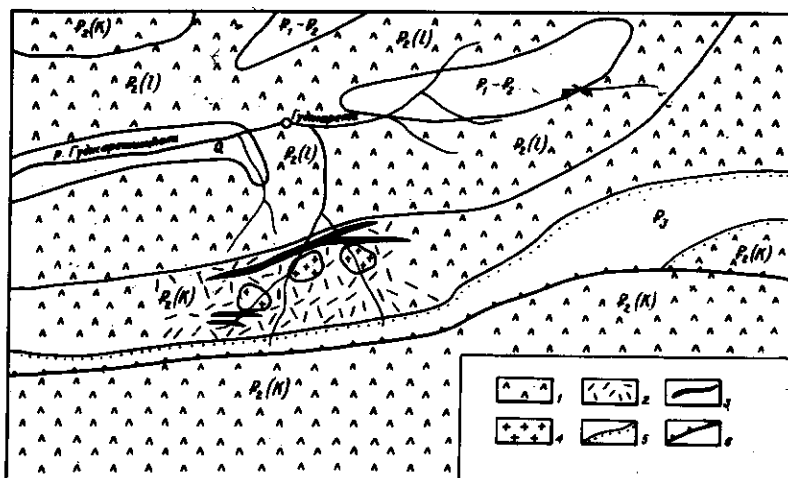


Рис.46. Схематическая геологическая карта района Гуджаретского рудопроявления (использованы материалы Н.А.Канделаки и Д.А.Касрадзе), с иллюстрацией распространения гидротермальных метасоматитов. 1-хлорит-альбитовые пропилиты, 2-околорудные и приконтактовые кварц-серпентин-карбонат-хлоритовые метасоматиты, 3-рудные зоны, 4-интрузивные тела, 5-линии трангрессивного залегания, 6-разлом. P_3 - верхний южен терригенный. Остальные условные обозначения геохронологических индексов см. в пояснении к рис.7.

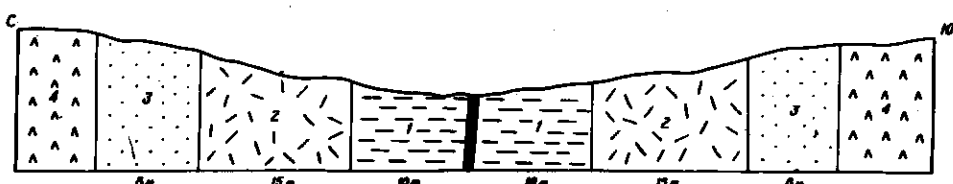


Рис.47. Геологический профиль отраженный горизонтальную зональность в околоврудных метасоматитах главного рудного тела Гуджаретского рудопроявления. 1-кварц-серпентитовая зона, 2-кварц-серпентин-хлорит-карбонатовая зона, 3-карбонат-хлоритовая зона, 4-пропилит хлорит-альбитовой фации.

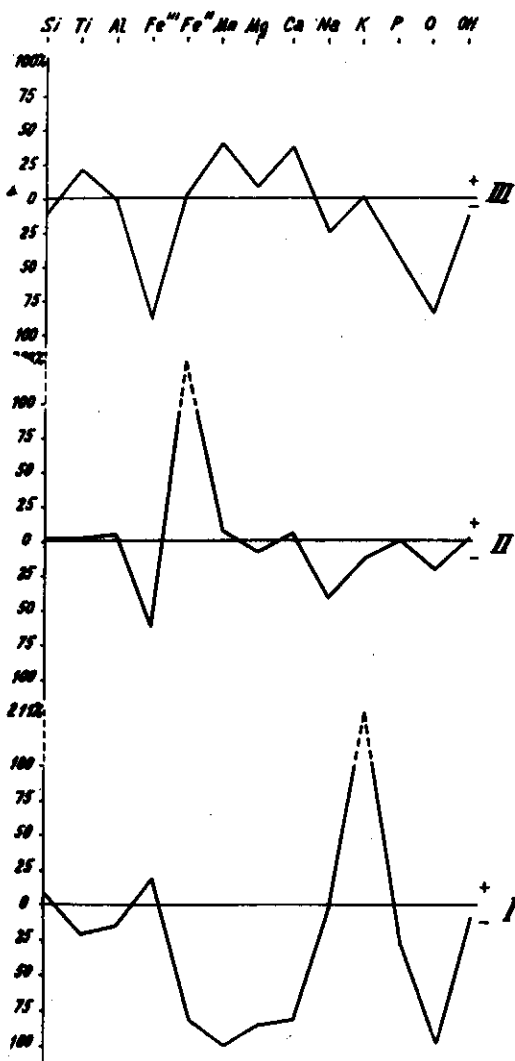


Рис.48.График миграции вещества в процессе околорудного метасоматоза Гуджаретского медно-полиметаллического рудопроявления. I-кварц-серицитовая зона, II-хлорит-карбонатовая зона, III-хлорит-карбонатовая зона.

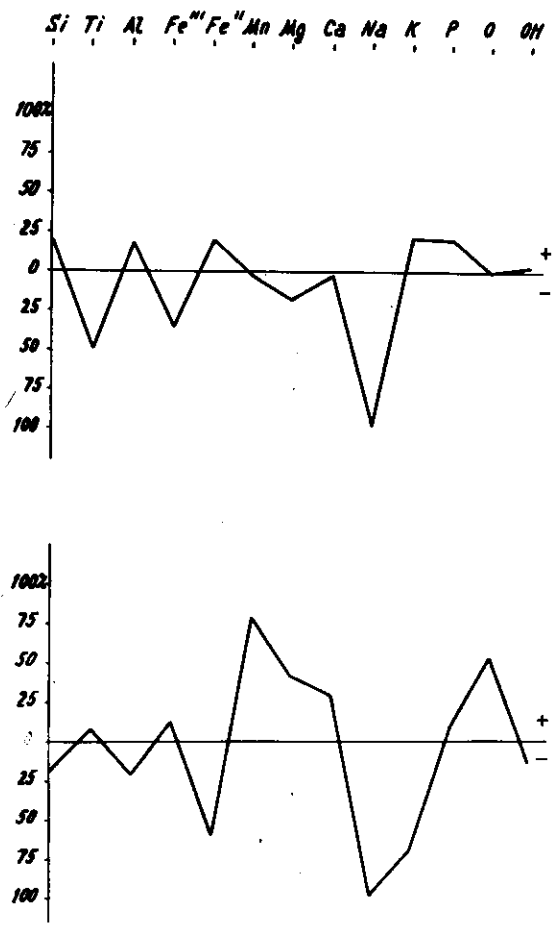


Рис.49.График миграции вещества в проплоскости околорудного метасоматоза Бекарского медно-полиметаллического рудопроявления. I-карбонат-серицит-хлоритовая зона, II-кварц-серицитовая зона, III-хлорит-карбонатовая зона.

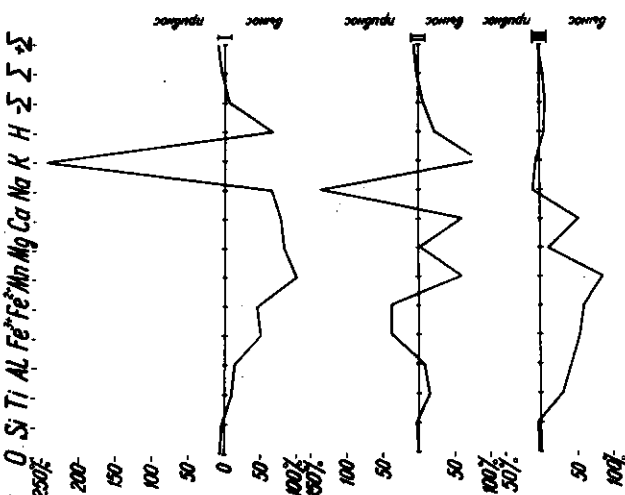


Рис. 51. График миграции вещества в процессе полиметаллическо-сернистого метасоматоза. I - кальцитовая фация, II - альбитовая фация, III - сернистая фация.

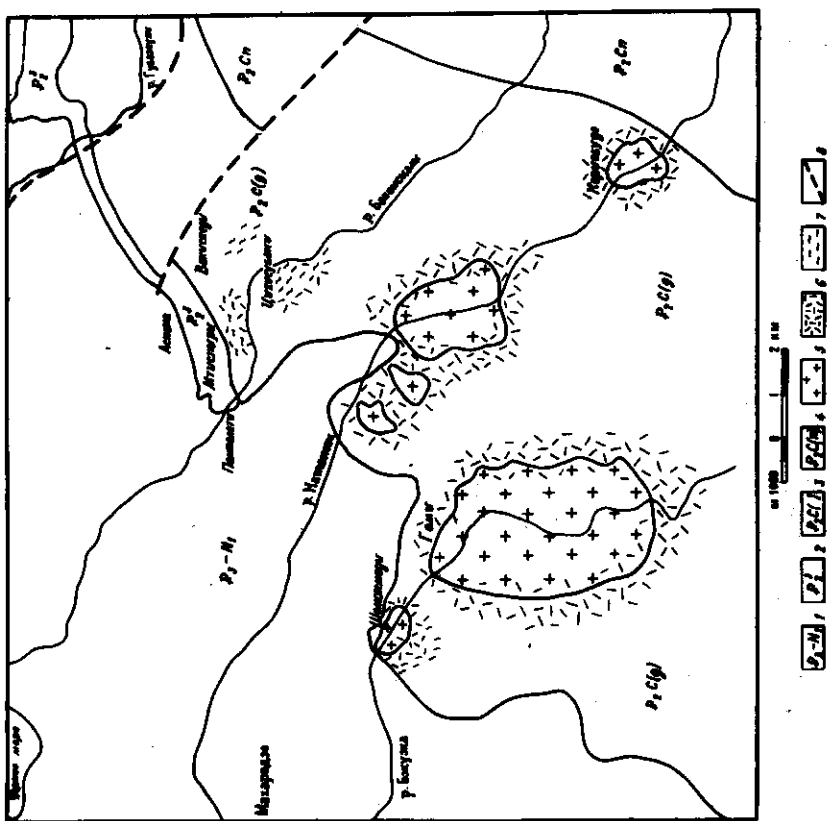


Рис. 56. Геологическая схема района Ванковского интузивного массива, показывающая взаимоотношение контактовых гнейсовых метасоматитов и метаморфомагнитовых артамититов. (Геологическая основа по материалам Ш.А. Абдика, И.П. Гамзалиеве, Г.Н. Надаредзе). 1 - терригенные верхнекочен-хегеновые осадки, 2 - вулканогенная верхнекоченская свита, 3 - туркестанская покласская средневознесенской чешуйчатой свиты, 4 - напольтарская подсвита средневознесенской чешуйчатой свиты, 5 - интузивные тела, 6 - цирконконтактовые шелочные метасоматиты, 7 - монтмориллонитовые артамидиты, 8 - разлом.

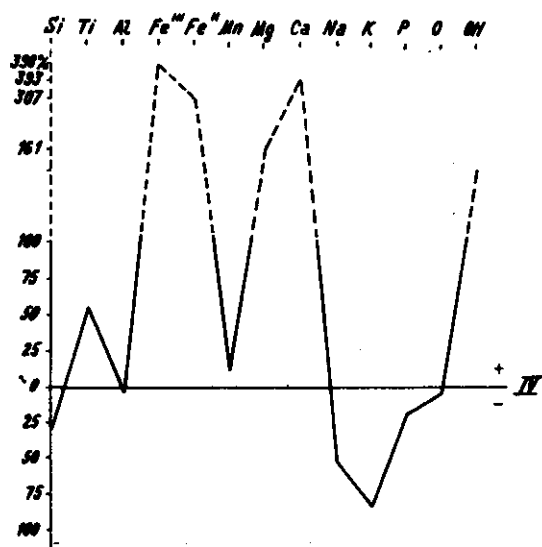


Рис. 52. График миграции вещества в процессе формирования эпизонов.

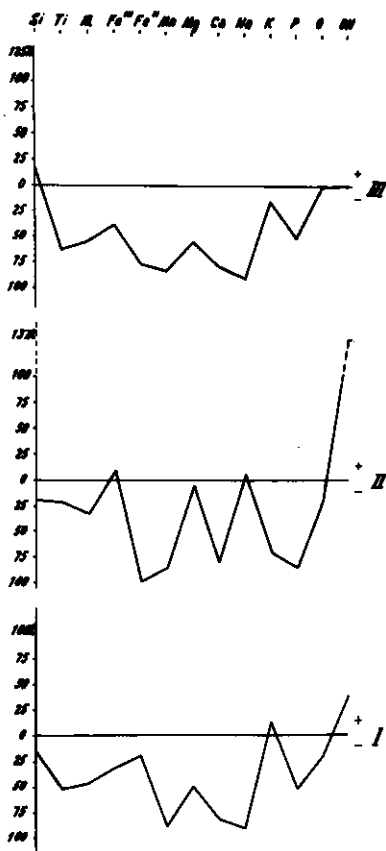


Рис. 53. График миграции вещества в процессе гидротермальной аргиллитизации.
I-II – монтмориллонитовая фация,
III – кварцитовая фация.

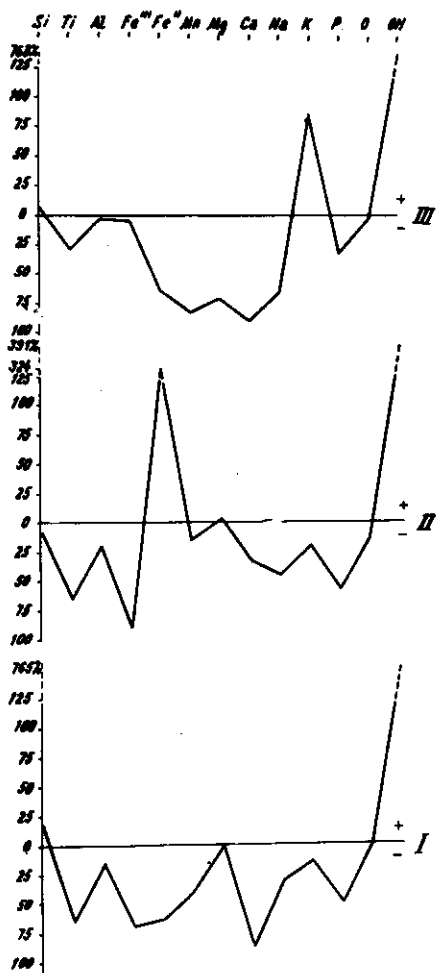


Рис.54.
График миграции вещества в процессе приконтактовой аргиллитизации.
Минеральные ассоциации: I - кв-каол-сер-грс-пт, II - каол-грс-ка-кв-пт,
III - кв-сер-грс-пт. I-II - аргиллиты,
III - остаточный кварц-серийито-
вый метасоматит.

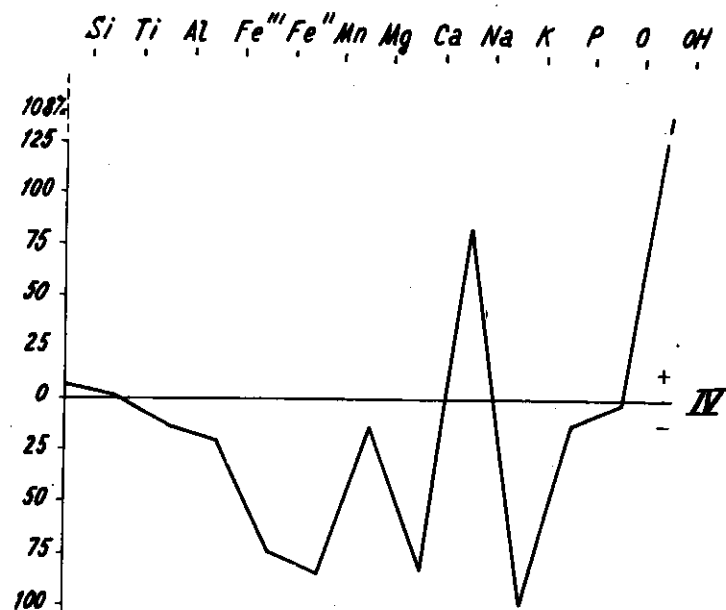


Рис.55. График миграции вещества в приконтактовой зоне
малых среднекремнистых интрузий. Остаточный
альбит.

С О Д Е Р Ж А Н И Е

Введение	5
I. Геологическое строение, геодинамическое развитие Аджаро-Триалетской складчатой зоны и вулканизм в ее пределах.	6
2. Метасоматические и рудные формации в Аджаро-Триа- летской складчатой зоне	12
3. Формация пропилитов	13
3.1. Распространение пропилитизации в меловой и палео- геновой вулканических толщах Аджаро-Триалетии	13
3.2. Фациальный и минералогический анализ зональ- ности	33
3.3. Внутриинтрузивные и приконтактовые пропилиты	37
3.4. Петрохимия процесса пропилитизации	39
3.5. Физико-химические условия и основные петрогенети- ческие факторы пропилитизации	56
3.6. Геодинамическая обстановка пропилитизации	59
Выводы	62
4. Формация вторичных кварцитов и серноколчеданных руд	64
4.1. Фациальный и минералогический анализ и геоло- гические условия формирования вторичных кварци- тов и серноколчеданных руд	65
4.2. Петрогенетические и физико-химические аспекты формирования вторичных кварцитов и их рудогене- рирующая роль	71
5. Гидротермальная минерализация пустот и формирование агат- халцедоновых месторождений.	73
5.1. Распределение и характер зональности минеральных ассоциаций пустот выполнения в палеогеновой вул- канической толще	74
5.2. Формирование палеогеновых агат-халцедоновых мес- торождений	79
5.3. Гидротермальная минерализация пустот в меловой вулканической толще	84
Выводы	86

6. Формации приконтактовых метасоматитов и связанные с ними рудные инерудные месторождения	87
6.1. Полевошпатовые и серицитовые метасоматиты аджарских и триалетских интрузий и медно-полиметаллическое рудообразование	88
6.1.1. Геологические условия образования, фациальный и минералогический анализ полевошпатово-серицитовых метасоматитов, петрологенные и физико-химические аспекты их формирования	89
6.1.2. Геология Аджарских медно-полиметаллических месторождений и характер окорудного процесса	93
6.1.3. Источник рудного вещества и основные рудогенетические и петрологенные факторы формирования медно-полиметаллических руд и окорудных метасоматитов Мерисского рудного узла	96
6.1.4. Медно-полиметаллические месторождения Триалетского хребта и их взаимоотношения с приконтактовой серицитизацией	102
Выводы	110
6.2. Полевошпатовые метасоматиты Вакиджварской группы интрузий и Асканское месторождение бентонитовых глин	111
6.2.1. Геологические условия формирования, фациальный, минералогический и петрохимический анализ полевошпатовых метасоматитов	112
6.2.2. Геологические условия формирования, фациальный, минералогический и петрохимический анализ монтмориллонитовых аргиллизитов	117
6.2.3. Пётрогенетические и физико-химические факторы полевошпатового метасоматоза и монтмориллонитовой аргиллитизации	120
Выводы	122
6.3. Регressive приконтактовые аргиллизиты	122

Выводы	125
7. Геодинамика, вулканизм и гидротермальный процесс.	125
8. Связь метаморфизма и метасоматоза с геодинамическими режимами.	130
8.1. Пропилитизация и региональный метаморфизм активных континентальных окраин	130
8.2. Метаморфизм срединно-океанических и интраподовых рифтов и сопоставление его с региональным метаморфизмом активных континентальных окраин	132
8.3. Пропилитизация в интраподовых рифтах и островных дугах	136
8.4. Зависимость метаморфизма и метасоматоза от тепловых режимов	137
Заключение	138
Литература	144

Напечатано по постановлению Редакционно-издательского совета
Академии наук Грузинской ССР

Рецензенты: канд. геол.-минерал. наук М.Б.Лордкипанидзе
канд. геол.-минерал. наук И.И.Хмаладзе

Редактор издательства Т.П.Бокучава
Техредактор Э.Б.Бекриа
ИБ I356

Сдано в набор 28.2.1980; Подписано к печати 31.1.1980; Формат
бумаги 70x108¹/16; Бумага офсетная; Печатн.л. 14; Уч.-изд.л. II,8;

УЭ 01013

Тираж 400;

Заказ II20

Цена 1 руб. 25 коп.

ГАОМФОУБСР "МЕЦНИРЕБА", თბილისი, 380060, კუტუზოვის ქ., 19

Издательство "Мецниреба", Тбилиси, 380060, ул.Кутузова, 19.

საქ. სსრ მფრ. აკადემიის სტამბა, თბილისი, 380060, კუტუზოვის ქ., 19

Типография АН ГССР, Тбилиси, 380060, ул.Кутузова, 19

Владимир Иванович Гугушвили

ПОСТВУЛКАНИЧЕСКИЙ ПРОЦЕСС И ФОРМИРОВАНИЕ МЕСТОРОЖДЕНИЙ
ПОЛЕЗНЫХ ИСКОПАЕМЫХ В ДРЕВНИХ ОСТРОВНЫХ ДУГАХ И
ИНТРАДУГОВЫХ РИФТАХ (НА ПРИМЕРЕ АДЖАРО-ТРИАЛЕТСКОЙ ЗОНЫ
КАВКАЗА)

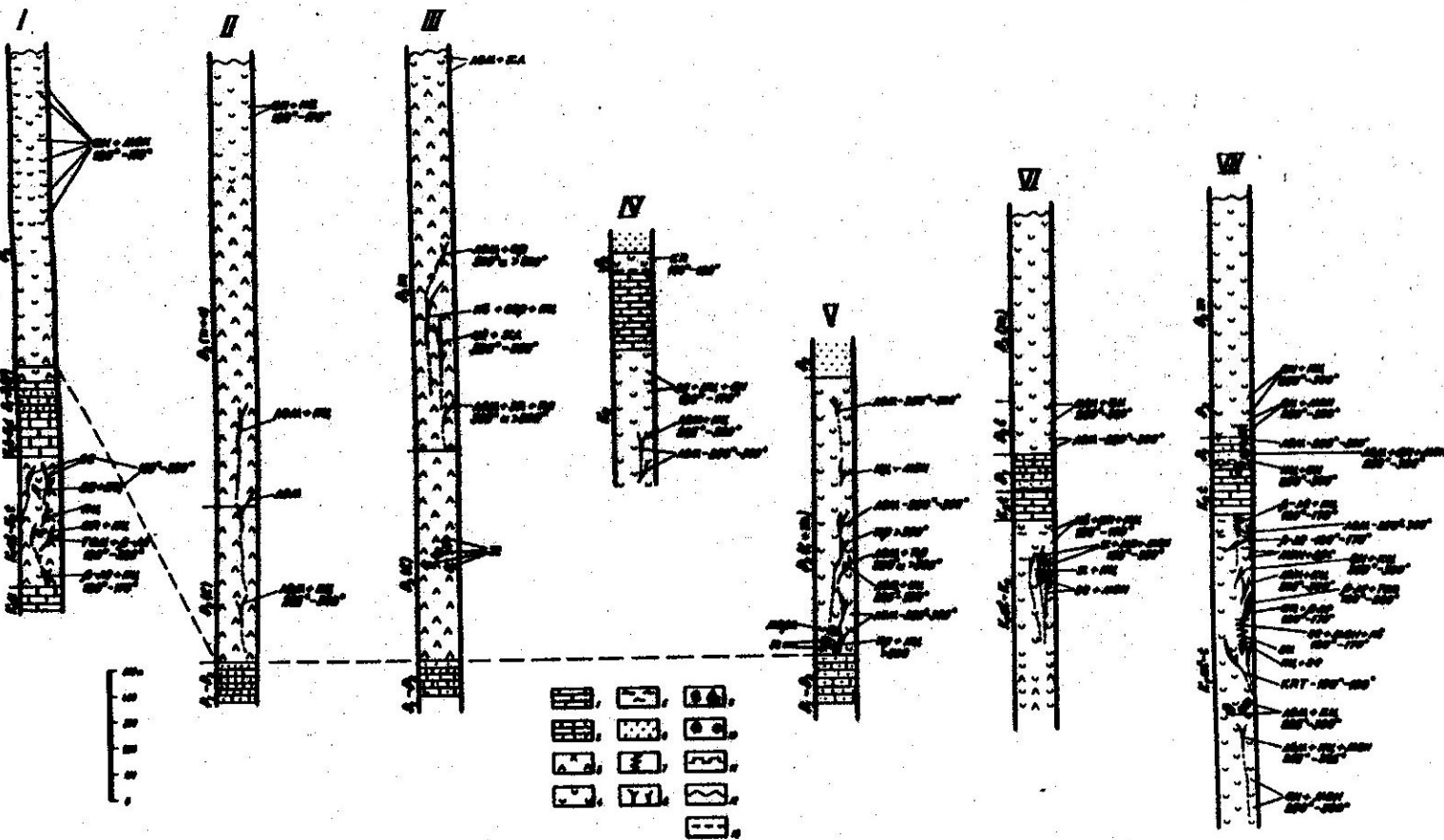


Рис.8 . Колонки, иллюстрирующие зональность пропилитов и распределение пропилитовых фаций в меловых и палеогеновых вулканических толщах: I-разрез по уш.р.Зварула, II-разрез по уш.р.Куры в Боржомском районе, III-разрез по уш.р.Сарван от г.Иурис-Кеди до с.Ардеван-Сарван и по уш.р.Хачков, IV-разрез по уш.р.Хведуретисцкали, V-разрез по уш.рр. Дрис-хеви и Тана, VI-разрез по уш.р.Тедзами в окрестностях Рконского монастыря и в уш.р.Шавцкала.

I - известняк, 2 - боржомский флиш, 3 - пропилиты хлорит-альбитовой фации, 4 - пропилиты цеолитовой фации, 5 - аргиллизиты, 6 - терригенные соадки, 7 - зоны дробления, 8 - гидротермальные жилы, 9 - вулканокласты, 10 - галька, 11 - разлом, 12 - разрыв, 13 - трансгрессивное залегание.

$K_{1,al}$ - альб-известковая толща; $K_{1,al-K_{2,t}}$ - альб-нижний турун, вулканогенная свита - базальто-андезит-базальт-риолитового состава; $K_{2,t}-K_{2,d}$ - верхний турун-давий-известковая толща; P_1-P_2 - палеоцен-нижний эоцен-боржомский флиш, чередование известковых глин, песчаников, мергелей, известняков; $P_2(l)$ - средний эоцен, ликанская свита-роговообманковые и пироксен роговообманковые базальтовые туфы и туфобрекции; $P_2(n+c)$ - средний эоцен, Нагваревская (Квабисхевская) и Чидильская свита. Первая - дифференцированная серия пород от базальтов до дацитов (делленитов), вторая-массивные базальтовые брекции. P_2m - средний эоцен-массивные андезитовые туфобрекции; P_3 - средний эоцен сложные андезитовые туфы; P_3 - верхний эоцен, песчаники.